

Rôle du facteur de virulence MGTC chez les mycobactéries et Pseudomonas aeruginosa et son inhibition par un peptide naturel

Claudine Belon

▶ To cite this version:

Claudine Belon. Rôle du facteur de virulence MGTC chez les mycobactéries et Pseudomonas aeruginosa et son inhibition par un peptide naturel. Virologie. Université Montpellier, 2015. Français. NNT: 2015MONTS072. tel-01619124

HAL Id: tel-01619124 https://theses.hal.science/tel-01619124

Submitted on 19 Oct 2017

HAL is a multi-disciplinary open access archive for the deposit and dissemination of scientific research documents, whether they are published or not. The documents may come from teaching and research institutions in France or abroad, or from public or private research centers. L'archive ouverte pluridisciplinaire **HAL**, est destinée au dépôt et à la diffusion de documents scientifiques de niveau recherche, publiés ou non, émanant des établissements d'enseignement et de recherche français ou étrangers, des laboratoires publics ou privés.





Délivré par L'UNIVERSITÉ DE MONTPELLIER

Préparée au sein de l'école doctorale Sciences Chimiques et Biologiques pour la Santé (CBS2)

Et de l'unité de recherche UMR 5235 CNRS – Dynamique des Interactions Membranaires Normales et Pathologiques (DIMNP)

Spécialité: Microbiologie

Présentée par Claudine Belon

RÔLE DU FACTEUR DE VIRULENCE MGTC CHEZ LES MYCOBACTÉRIES ET PSEUDOMONAS AERUGINOSA ET SON INHIBITION PAR UN PEPTIDE NATUREL

Soutenue le 20 avril 2015 devant le jury composé de

Mme Catherine ASTARIE-DEQUEKER, CR, CNRS Toulouse

Rapporteur

M. Jean-Louis HERRMANN, PU-PH, Université de Versailles St Quentin

Rapporteur

Mme Estelle JUMAS-BILAK, PU-PH, Université de Montpellier

Examinateur

Mme Emma COLUCCI-GUYON, CR, Institut Pasteur Paris

Examinateur (invitée)

Mme Anne BLANC-POTARD, CR, Université de Montpellier

Directeur de thèse



à la mémoire de Charles Belon, et de tous ceux qui nous ont aimés et dont l'absence nous attriste.



Remerciements

Durant ces quatre dernières années j'ai cotoyé un grand nombre de personnes, fait d'incroyables rencontres, vécu une expérience aussi soutenue qu'intense. Ma thèse s'achevant, l'heure est aux remerciements de celles et ceux qui m'ont accompagnée tout au long de ce parcours que ce soit au niveau professionnel ou personnel...

À Anne Blanc-Potard, directrice de thèse.

Je te remercie pour m'avoir fait confiance en me prenant sous ta responsabilité, pour ton implication dans mon travail. Malgré une tendance à materner tes étudiants, tu m'as permis d'évoluer dans le monde scientifique d'une manière remarquable grâce à tes conseils avisés et tes grandes qualités scientifiques et devenir moi-même une scientifique affirmée, prête à me lancer dans une carrière professionnelle.

À Estelle Jumas-Bilak, présidente de jury.

C'est avec grand plaisir que je vous retrouve au poste de présidente de jury. J'ai relu avec un sourire aux lèvres et un brin de nostalgie les remerciements à votre égard dans ma thèse de pharmacie, ils sont toujours d'actualité, même si depuis j'ai parcouru beaucoup de chemin. Vous qui avez su me guider et m'orienter tout au long (et c'est peu dire!) de mon cursus universitaire, je vous adresse une fois encore mes plus sincères remerciements.

À Catherine Astarie-Dequeker, rapportrice.

Je vous remercie d'avoir accepté d'endosser le rôle de rapporteur et de confronter mon travail à votre expertise scientifique pour une discussion qui sera sans aucun doute passionnante et constructive.

À Jean-Louis Herrmann, rapporteur.

En premier lieu je tiens à te remercier d'avoir accepté de juger mon travail en tant que rapporteur. Tes compétences de clinicien associées à une bonne connaissance de mon sujet de thèse seront très bénéfiques pour alimenter une discussion. Ensuite, je voudrais te remercier en tant que collaborateur pour les interactions qui en découlent, indispensables au bon déroulement et à l'enrichissement d'un travail de thèse.

À Emma Colucci-Guyon, examinatrice invitée.

Bien que tu ne fasses partie du jury qu'au titre d'invitée, pour cause de mauvais timing associé à des contraintes administratives, je souhaite te remercier pour ta présence dans ce jury de thèse. Tes connaissances aussi bien théoriques que pratiques dans le domaine du zebrafish sont à mes yeux indispensables pour étayer mon travail.

À Sylvain Godreuil, MCU-PH

Pour les mêmes raisons qu'Emma, et à mon grand regret, tu ne fais pas partie de mon jury de thèse. Cependant, je te remercie pour m'avoir fait découvrir le monde fabuleux des mycobactéries et pour m'avoir transmis un peu de ta passion pour l'épidémiologie moléculaire.

À mes directeurs d'unité

Catherine Braun-Breton pour m'avoir accueilli dès mon stage de Master 2 au sein de l'unité.

Georges Lutfalla, je voudrais vous remercier pour nos collaborations avec les poissons, pour m'avoir formée sur ces techniques, mais aussi pour m'avoir conseillée et orientée tout au long de ma thèse.

À mes chefs d'équipes

Laurent Kremer pour m'avoir accueilli au sein de ton équipe, du stage de Master 2 jusqu'au début de ma 4^{ème} année de thèse.

Virginie Molle pour avoir pris le relais en m'accueillant à ton tour dans ton équipe pour mes derniers mois de thèse.

À Caty Gonzales

Je ne te remercierai jamais assez pour ton implication incroyable à l'animalerie poissons, pour ta bonne humeur et pour ta gentillesse.

À mes encadrants et collègues de monitorat

Guillaume Charrière, je voudrais te remercier de m'avoir fait confiance pour enseigner avec toi, même si ça n'a pas toujours été facile, je suis vraiment très heureuse d'avoir pu travailler avec toi.

Gilda Sanchez, merci infiniment pour ton efficacité, ta disponibilité et ta gentillesse tout au long de notre collaboration en TP, je ne sais vraiment pas comment j'aurais fait sans toi!

À Laïla et Ali Gannoun

Laïla, merci d'avoir été là, au laboratoire pour discuter de mes projets, pour me donner de bons conseils... en-dehors du labo, avec Ali, pour les soirées festives, les rigolades à en avoir mal au ventre, la Tunisie, sans oublier les fameuses boulettes d'Ali.

À mes collègues et amis thésards, post-doc, ingé, techniciens ou étudiants et en particulier :

Laetitia, tu m'as servie de guide à mon arrivée au laboratoire, en particulier pour les poissons, merci pour ta patience, ta gentillesse et tout les bons moments passés ensemble. Audrey B, nous avons débuté dans le laboratoire au même moment... je te remercie pour toutes ces années où nous avons galéré côte à côte, de jour comme de nuit! Plus qu'une collègue, j'ai rencontré une amie.

Christian, Christian, Christian... Que dire à ton sujet ? Ce mélange de mauvaise humeur quasi permanente et d'esprit tendancieux étrangement similaire au mien fait de toi un ami cher avec qui j'ai apprécié partager du temps que ce soit au labo ou lors de nos soirées vin – tapas.

Tiffany, ma PS adorée, je voudrais te remercier pour la bonne ambiance que tu as su mettre au laboratoire malgré ton caractère bien trempé, également pour nos soirées et nos cours de pole qui sont bien triste sans toi!

Marc, rhalala... un peu nostalgique de l'époque où tu étais au laboratoire, les petites blagounettes, les massages, les tangos dans le couloir, les chants, toussa toussa... Bref, beaucoup de très bons souvenirs au labo mais aussi en-dehors (les voyages, festoch, ski, soirées et j'en passe) Merci pour tout ça!

À mes amis et tout particulièrement,

Audrey V, pour nos discussions, ton écoute surtout! Merci d'avoir pris le temps qu'on se voit avant que tu ne t'envoles vers Boston pour de nouvelles aventures...

Illiassou, merci à toi pour toutes les soirées endiablées passées ensemble et le soutien mutuel pendant ces années de thèse.

Lydia, je n'ai nullement besoin de t'écrire un roman pour t'exprimer mes remerciements car il existe un mot qui prend tout son sens lorsqu'il s'agit de toi et c'est tout simplement, merci.

Valentin pour nos promenades à Ikéa et à Casto, pour le réconfort que tu m'as apportée au décès de Petit chat, pour les crêpes à 3h du mat et j'en passe...

Ma Flo, même à l'autre bout du monde, tu réponds toujours présente lorsque j'ai besoin de toi, toujours à l'écoute, tu essaies de résoudre mes problèmes existentiels, nos 22 ans d'amitié y sont probablement pour quelque chose...

Ma petite Marie, toi aussi, toujours là pour m'écouter raconter ma vie passionnante mais aussi pour m'accueillir chez toi lorsque je viens à Paris.

François-Nicolas, merci de m'avoir fait découvrir le Lindy, merci pour les soirées swing, merci pour les travaux, merci d'être mon ami.

Fabien et Mélanie, même si je ne vous vois pas souvent, c'est toujours avec beaucoup de plaisir que je vous retrouve, vous êtes géniaux tout les deux, merci et restez comme vous êtes!

Marion, on ne se voit pas souvent non plus mais te retrouver me fais toujours beaucoup de bien, j'espère que l'on aura l'occasion de passer un peu de temps ensemble pendant encore de nombreuses années !

Guillaume, nos chemins se sont un peu éloignés depuis que tu t'es exilé à Valence mais j'espère que l'on aura l'occasion de se voir très bientôt. Merci d'avoir pris le temps de venir faire des travaux chez moi et surtout, merci d'avoir été là quand j'en ai eu besoin.

À mes profs de danse,

Mimi, Billy, Julien et Jessica qui m'ont permis de m'évader quelques heures par semaine et m'ont fourni les bouffées d'oxygène nécessaires à ma santé physique et mentale!

À ma famille et notamment,

Laurent et Sylvie pour votre soutien et pour le ravitaillement ponctuel en vivres, notamment pendant les périodes d'isolement nécessaires à la rédaction de mon manuscrit. Je vous souhaite plein de bonheur avec l'arrivée tant attendue de mon futur neveu.

Sophie, merci de m'avoir donné la chance d'être tatie pour la 1ère fois! Vous comptez beaucoup pour moi avec Marcel et Vincent, plein de bonheur à vous aussi!

Olivier, toujours aussi mystérieux, tu continues ta route aux côtés d'Isabelle et de ses enfants... Et malgré ta discrétion je sais que tu seras toujours là pour moi. Et j'ai envie d'ajouter, « à quand un petit neveu ou une petite nièce ? »!

Brigitte, maman, merci pour les bons repas du dimanche et les tupperwares qui vont avec, le raccommodage pour éviter de me retrouver dans des situations gênantes et enfin merci d'être toujours là, peut-être un peu trop parfois... Mais comme on dit, mieux vaut trop que pas assez!

Jean-Paul et Jacqueline, papy, mamie, toujours au top, des grands-parents de choc! J'espère que ça va durer encore de nombreuses années!

À tous ceux et celles qui m'ont aidés ou soutenus pendant ces quatre années et que je n'ai pas remerciés avant car malheureusement je ne peux pas citer tout le monde...

Enfin, je dédie ce travail à Aberdeen (alias Petit chat) pour son indéniable et indéfectible fidélité, tendresse et réconfort qu'elle m'a apportée.

Avant d'entrer dans le vif du sujet, je tiens également à souligner le courage extraordinaire des zebrafish morts pour la Science. Je les remercie vivement pour leur participation.

TABLE DES MATIERES

RE	MERCIE/	AENTS	5
T/	BLE DES	MATIERES	9
LI	STE DES A	BREVIATIONS	15
LI	STE DES T	ABLEAUX ET FIGURES	17
	INTROD	UCTION	21
•		RIES PATHOGENES RESPONSABLES D'INFECTIONS PULMONAIRES ET SANTE PUBLIQUE	
		tuberculose	
	1.1.1	Les mycobactéries : généralités	
	1.1.		
	1.1.		
	1.1.2	Origine et évolution de la tuberculose	
	1.1.3	Epidémiologie	
	1.1.4	Manifestations cliniques	
	1.1.5	Physiopathologie	28
	1.1.6	Traitement	30
	1.1.7	Prophylaxie	30
	1.2 In	fections pulmonaires dans le contexte mucoviscidosique	31
	1.2.1	La mucoviscidose	31
	1.2.2	Traitements antimicrobiens chez les patients mucoviscidosiques	31
	1.2.3	Pseudomonas aeruginosa	32
	1.2.4	Mycobacterium abscessus	33
	1.3 St	ratégies anti-virulence : les alternatives aux antibiotiques	34
	2 LEFAC	TEUR DE VIRULENCE MGTC	35
	2.1 Lc	protéine MgtC de S. Typhimurium et ses homologues	35
	2.2 O	ganisation génomique	35
	2.3 Ph	nylogénie	37
		ignement des protéines MgtC étudiées au cours de la thèse avec la protéine	
		le S. Typhimurium	38
		ructure du domaine C-terminal de la protéine MgtC	
		nction de MgtC	
		Rôle de MgtC dans la virulence bactérienne: MgtC et survie intracellulaire	
	2.6.1 2.6.		
	2.6.		
	2.6.		
	2.6.		
		Ď.	

	2.6.1	.5	Mycobacterium tuberculosis	42
	2.6.1	.6	Pseudomonas aeruginosa	43
	2.6.2	Rôl	e de MgtC dans la croissance en milieu carencé en magnésium	43
	2.6.2	2.1	Importance du magnésium dans les systèmes biologiques	43
	2.6.2	2.2	Chez S. Typhimurium	44
	2.6.2	2.3	Chez les autres pathogènes	44
	2.6.2	2.4	Fonction de MgtC et magnésium	44
	2.6.3	Rôl	e de MgtC et ATP	46
	2.6.3	3.1	La F ₁ F ₀ ATP synthase	46
	2.6.3	3.2	Mécanisme d'action de MgtC	46
			oothèse générale sur la fonction de MgtC	
2	.7 Ré	gul	ation de MgtC	48
	2.7.1	Ré	gulation transcriptionnelle et post-transcriptionnelle	48
	2.7.1		-,	
	10		ez S. Typhimurium	
	b		ez les autres pathogènes	
	2.7.1	.2	ARN messager senseur d'ATP	
	2.7.1		ARN antisens: AmgR	
	2.7.2	Ré	gulation post-traductionnelle: le peptide MgtR	50
3	LES PER	TIDI	S REGULATEURS DE LA VIRULENCE BACTERIENNE	51
3	.1 Le	s pe	eptides fonctionnels membranaires	51
3	.2 Mg	gtR:	peptide régulateur du facteur de virulence MgtC	52
	3.2.1	Ch	ez Salmonella Typhimurium	52
	3.2.1	.1	Découverte et caractérisation du peptide MgtR	52
	3.2.1	.1	Mécanisme d'action de MgtR	53
	a	Dé	gradation de MgtC par FstH	53
	b	Inte	eraction MgtR – MgtC	54
	c)	Au	tre cible de MgtR: le transporteur de magnésium MgtAMgtA	55
	3.2.1	.2	Rôle physiologique de MgtR lors d'une infection: régulation de MgtC	55
	3.2.2	Mg	ytR et autres pathogènes	56
3	.3 A	utre	peptide régulateur de l a virulence bactérienne: KdpF	57
4	LES MC	DEL	ES D'INFECTION	59
4	.1 My	/CO	bactéries et cellules phagocytaires	59
	4.1.1	Мс	acrophages	59
	4.1.1	.1	Phagocytose normale et devenir du phagosome	59
	4.1.1	.2	Principaux mécanismes de défense de l'hôte contre les bactéries	61
	a	Pro	duction de radicaux libres	
	b	Priv	vation d'éléments nutritifs ou excès de métaux toxiques	62
			sse du pH intravacuolaire	
	d	Pro	duction de peptides antimicrobiens	63
	e	Pro	duction d'enzymes lytiques	64

	4.1.	1.3 Phagocytose des mycobactéries et devenir dans le macrophage	64
	а) Mécanismes de contoumement et de modification de la maturation du phagosome	64
	b) Echappement du phagosome vers le cytosol et conséquences	65
	4.1.2	Neutrophiles	66
	4.1.	2.1 Rôle "traditionnel" des neutrophiles	66
	4.1.	2.2 Rôle des neutrophiles lors d'infections par les mycobactéries	67
	а) Neutrophiles vs mycobactéries	67
	b) Double rôle des neutrophiles dans l'infection mycobactérienne	68
	4.1.3	Coopération macrophages – neutrophiles	69
	4.2 M	ycobacterium marinum; modèle d'étude de la tuberculose	70
	4.2.1	Génomes: Mycobacterium marinum versus Mycobacterium tuberculosis	70
	4.2.2	Le modèle d'infection Mycobacterium marinum / Danio rerio	72
	4.2.	2.1 Etude de la virulence des mycobactéries	74
	4.2.	2.2 Etude de la physiopathologie de la tuberculose	75
	а) Rôle des macrophages	75
	b) Rôle des neutrophiles	76
	4.3 Ps	eudomonas aeruginosa et cellules phagocytaires	77
	4.3.1	Internalisation par les cellules phagocytaires	77
	4.3.2	Stratégies bactériennes d'échappement à la phagocytose	78
	4.3.	2.1 Perte de la motilité flagellaire	78
	4.3.	2.2 Sécrétion d'exopolysaccharides	78
	4.3.	2.3 Système de sécrétion de type III (T3SS)	79
	4.3.	2.4 Inhibition de PAR2	79
	4.3.3	Le modèle d'infection Pseudomonas aeruginosa / Danio rerio	79
II	OBJECT	IFS	81
1		R LE ROLE DU FACTEUR DE VIRULENCE MGTC CHEZ LES MYCOBACTERIES ET CHEZ	
F	SEUDOMO	ONAS AERUGINOSA	83
2	TESTER	LES POTENTIALITES « ANTI-VIRULENCE » DE PEPTIDES MEMBRANAIRES REGULATEURS	83
ш	RESULTA	ATS	85
		DU FACTEUR DE VIRULENCE MGTC	
1			
	1.1 Ide	entification d'un rôle de MgtC de Mycobacterium marinum dans la phagocyto	se
	87		
	1.1.1	Résumé de l'article 1	87
	1.1.2	Article 1 – Mycobacterium marinum plays a role in phagocytosis but is dispensable for	
	intrace	ellular multiplication	
	1.1.3	Résultats complémentaires	115
	1.1.3		
	suite	e à l'infection par la souche sauvage et le mutant mgtC de M. marinum	115
	1.1.		
	Myc	cobacterium marinum	116

	1.2 R	ole de MgtC chez le pathogene extracellulaire Pseudomonas deruginosa et	
	potenti	alités anti-virulence du peptide MgtR	118
	1.2.1	Résumé de l'article 2	118
	1.2.2	Article 2 – A macrophage subversion factor is shared by intracellular and extracellular	ar
	patho	ogens	119
	1.2.3	Résultats complémentaires	153
	1.2.	3.1 Etude de la résistance au stress oxydatif	153
	1.2.	3.1 Régulation de MgtC	153
	1.2.	3.2 Visualisation de l'infection dans le macrophage	
	1.2.	3.3 Etude de la phagocytose	155
2	LES PE	PTIDES REGULATEURS DE LA VIRULENCE	157
	2.1 Po	otentialités anti-virulence du peptide MgtR chez les mycobactéries	157
	2.1.1	Résumé de l'article 3	157
	2.1.2	Article 3 - Anti-virulence properties of the Salmonella MgtR peptide expressed in	
	myco	bacteria	
	2.1.3	Résultats annexes	
	2.1.		183
		urexpression du peptide membranaire KdpF chez Salmonella: modulation de	
	1601060188	ssion des gènes kdp et de la croissance intramacrophagique	
	2.2.1	Résumé de l'article 4	184
	2.2.2	Article 4 – Overexpression of the Salmonella KdpF membrane peptide modulates ssion of kdp genes and intramacrophage growth	105
	2.2.1	Rôle du peptide KdpF dans la virulence de Salmonella	
	2.2.1	Kole do peptide Kapi dansia vilolence de salmoneila	175
IV	DISCUS	SION	195
1	REGUI	LATION DE MGTC CHEZ LES MYCOBACTERIES ET CHEZ PSEUDOMONAS AERUGINOSA	197
	1.1 Re	égulation par le magnésium	197
	1.2 Re	égulation par le pH et activation intracellulaire chez P. aeruginosa	199
2	ROLE	(INTRA)MACROPHAGIQUE DE MGTC ET ETUDE DE LA VIRULENCE DANS LE MODELE DAN	10
RI	RIO		200
		éplication intramacrophagique et virulence dans le modèle d'infection	
		ryons de Danio chez M. marinum	200
		ise en évidence d'un nouveau rôle du facteur de virulence MgtC dans la	200
		cytose en utilisant le modèle Mycobacterium marinum	201
		bversion macrophagique chez Pseudomonas aeruginosa	
2			
3		RIETES ANTI-VIRULENCE DE PEPTIDES MEMBRANAIRES	206
		gtR comme potentielle molécule thérapeutique dans les infections à P .	p=25200000
		nosa et mycobactériennes	
	3 1 1	Interactions MatP/MatC	206

VI	BIBLIC	OGRAPHIE	215
٧	CON	CLUSION	211
	antib	iotiques	209
	3.2	Applications: utilisation de peptides synthétiques comme adjuvant des traitemen	nts
	aer	ruginosa et effet anti-virulence	. 207
	3.1.	.2 Expression hétérologue de MgtR chez les mycobactéries et chez Pseudomonas	

ABREVIATIONS

AAA+ ATPase Associée à diverses Activités cellulaires

ADN Acide désoxyribonucléique

ARN Acide ribonucléique

ARNm ARN messager
ARNt ARN de transfert

ATP Adénosine triphosphate

BAAR Bacille Acido-Alcoolo Résistant

BACTH Bacterial Adenylate Cyclase based Two-Hybrid system

BCG Bacille de Calmette et Guérin

CFP-10 Culture Filtrate Protein 10

CFTR Cystic Fibrosis Transmembrane conductance Regulator

CMH Complexe Majeur d'Histocompatibilité

CPA Cellule Présentatrice de l'Antigène

CR3 Complement Receptor 3

DAT Diacyltréhalose

DIM Phtiocerol dimycocérosate

EEA1 Autoantigène endosomal précoce 1

ESAT-6 Early Secretory Antigenic 6 kDa

F-ATPase F₁F₀ ATP synthase

GFP Green Fluorescent Protein

GM-CSF Granulocyte Macrophage Colony Stimulating Factor

GTPase Guanosine triphosphate synthase

h heure

HEp-2 Human Epithelial type 2
HNP Human Neutrophil Peptide

IDR Intra-Dermo-Réaction

IFN Interféron

IgG Immunoglobuline G

IL Interleukine

iNOS inductible Nitric Oxide Synthase

IS Séquence d'insertion

kDa kilobase

LAM Lipoarabinomannane

LAMP Lysosomal-Associated Membrane Protein

LOS Lipooligosaccharide LPS Lipopolysaccharide

ManLAM Phosphatidylinositol lipoarabinomannane

Mb Mégabase

MDR Multi-Drug Resistant

mM millimolaire

Mycobacterium marinum Mma

MTBC Mycobacterium tuberculosis Complex

NADPH Nicotinamide Adénine Dinucléotide Phosphate

Nramp Natural-resistance-associated macrophage protein

OMS / WHO Organisation Mondiale de la Santé / World Health Organization

P-ATPase ATP synthase de type P

Pa Pseudomonas aeruginosa PAM Peptide Anti-Microbien

PAMPs Pathogen-Associated Molecular Patterns

Polyacyltréhalose PAT

PGL Glycolipide phénolique phagocyte oxydase phox

Phosphatidylinositol mannose PIMS

PIP3 Phosphatidylinositol 3-phosphate Pattern-Recognition Receptors

PS Petite Stagiaire

PRRs

RD1 Régions de Différence 1

RMN Résonnance Magnétique Nucléaire ROS Espèces Réactives de l'Oxygène

SE Standard Error

SPI Salmonella Pathogenicity Island

St Salmonella enterica serovar Typhimurium

TDM Tréhalose dimycolate MT Transmembranaire TNF Tumor Necrosis Factor V-ATPase ATP synthase vacuolaire

Virus de l'Immunodéfiscience Humaine VIH

XDR eXtensively Drug Resistant

micromètre μm

TABLEAUX ET FIGURES

TA	В	LE	7	L	JX

Tableau 1 – Tableau récapitulatif des phénotypes de mutants mgtC chez différents
pathogènes (adapté de Alix and Blanc-Potard, 2007)45
Tableau 2 – Comparaison des facteurs de virulence de Mycobacterium marinum et de
Mycobacterium tuberculosis (Tobin and Ramakrishnan, 2008)
Tableau 3 – Protéines les plus représentées dans la souche sauvage et le mutant mgtC 116
Tableau 4 – Comparatif des phénotypes observés pour le mutant mgtC de M. marinum par
rapport à la souche sauvage dans les modèles d'infection de macrophage et
d'embryon de danio
FIGURES
Figure 1 – Taux d'incidence estimé de la tuberculose en 2013 (WHO, 2014)23
Figure 2 – Taux de mortalité estimé de la tuberculose en 2013 (WHO, 2014)23
Figure 3 – Nombre estimé de cas de tuberculoses MDR en 2013 (WHO, 2014)24
Figure 4 – Répartition des germes respiratoires chez les patients de plus de 20 ans atteints de
mucoviscidose en France (d'après les données du Registre Français de La Mucoviscidose
- Bilan Des Données 2012. 2014)25
Figure 5 – Représentation schématique de la paroi mycobactérienne25
Figure 6 – Représentation schématique de la structure d'un granulome (Ramakrishnan, 2012)
Figure 7 – Facteurs impliqués dans le phénotype de virulence de P. aeruginosa33
Figure 8 – Environnement génétique aux abords des gènes $mgtC$ de S. Typhimurium, S. Typhi,
Y. pestis, B. melitensis et M. tuberculosis (Blanc-Potard and Lafay, 2003)
Figure 9 – Environnement génétique aux abords des gènes mgtC de M. tuberculosis et de M.
marinum37
Figure 10 – Arbre phylogénétique simplifié des protéines MgtC obtenu par Neighbor-joining
(adapté de Blanc-Potard and Lafay, 2003; Gastebois et al., 2011)38
Figure 11 – Alignement des protéines MgtC de S. Typhimurium, M. tuberculosis, M. marinum et
P. aeruginosa39
Figure 12 – Schématisation de la topologie des domaines de MgtC et position des résidus
important pour la fonction en milieu carencé en magnésium et/ou dans les
macrophages40
Figure 13 – Fonction de MgtC chez S. Typhimurium48
Figure 14 – Régulation de MgtC chez S. Typhimurium50
Figure 15 – Différents rôles des peptides membranaires hydrophobes chez les bactéries (Alix
and Blanc-Potard, 2009)

Figure 16 – Structure et expression de MgtR	53
Figure 17 – Mécanisme d'action de MgtR	54
Figure 18 – Interaction MgtR – MgtC	55
Figure 19 - Rôle de MgtR chez S. Typhimurium dans la croissance intra-macrophagique (Al	ix
and Blanc-Potard, 2008)	56
Figure 20 – Modèles structuraux du dimère MgtR/MgtC TM4 généré par RosettaDock (Jean	n-
Francois et al., 2014)	57
Figure 21 – Cinétique de croissance de M. bovis BCG surexprimant kdpF dans des	
macrophages murins BMDM (Gannoun-Zaki et al. 2013)	58
Figure 22 – Modulation de la virulence mycobactérienne par le peptide KdpF	58
Figure 23 – Représentation schématique de la maturation du phagosome	60
Figure 24 - Systèmes antimicrobiens des macrophages	61
Figure 25 – Phagocytose par les neutrophiles	67
Figure 26 – Représentation circulaire du chromosome de Mycobacterium tuberculosis (Smith	٦,
2003)	70
Figure 27 - Représentation circulaire du chromosome et du plasmide pMM23 d	le
Mycobacterium marinum (Stinear et al., 2008)	70
Figure 28 – Diagrammes de la région ExtRD1 de M. marinum (A) et de la région RD1 de M	И.
tuberculosis (B) (adapté de Gao et al., 2004)	
Figure 29 – Le modèle d'infection Danio rerio	73
Figure 30 - Courbe de survie des embryons en fonction du temps après infection po	ar
Mycobacterium marinum (Davis et al., 2002)	74
Figure 31 - Virulence de la souche sauvage de Mycobacterium marinum et de mutan	its
extRD1 dans le modèle Danio rerio (Gao et al. 2004)	74
Figure 32 – Mécanismes et conséquences de la formation du granulome à un stade précod	е
et impact de RD1 (Davis and Ramakrishnan, 2009)	75
Figure 33 – Étapes de la formation du granulome dans la tuberculose (Bold and Ernst, 2009)	76
Figure 34 – Comportement des neutrophiles et conséquences lors d'une infection en utilisa	nt
le modèle M. marinum/Danio rerio (Yang et al., 2012a)	77
Figure 35 – Phagocytose de P. aeruginosa	78
Figure 36 – Visualisation de phagocytes infectés par P. aeruginosa (Brannon et al., 2009)8	30
Figure 37 – Infection d'embryons de Danio avec le mutant T3SS de P. aeruginosa (Brannon e)†
al., 2009)	30
Figure 38 – Infection d'embryons de Danio déplétés en phagocytes avec le mutant T3SS d	е
P. aeruginosa (Brannon et al., 2009)	80
Figure 39 – Expression relative du tnf((haut) et de l'il8 (bas) à différents temps post-infection	on
sous trois conditions différentes, embryons non injectés (control), souche sauvage (WT)	et
mutant mgtC (⊗mgtC) de M. marinum injectés en sous-cutanée	15

Figure 40 – Expression des gènes mgtC de P. aeruginosa dans différentes conditions1	54
Figure 41 – Visualisation de l'infection de macrophages J774 par la souche sauvage et	le
mutant mgtC de Pseudomonas aeruginosa	55
Figure 42 – Effets du mutant mgtC et de l'expression de MgtR sur la phagocytose lors d'un	ne
infection de macrophage1	55
Figure 43 – Schéma récapitulatif des effets régulateurs de KdpF chez Salmonella1	93
Figure 44 – Régulation de MgtC par le magnésium	98
Figure 45 – Schéma comparatif de la subversion macrophagique entre pathogènes	
intracellulaire et extracellulaire	205
Figure 46 – Interactions MgtR/MgtC de différents pathogènes	206
Figure 47 – Effets « anti-virulence » par expression hétérologue de MgtR chez M. bovis BCG	et
P. aeruginosa	209







Pour bien savoir les choses, il faut en savoir le détail et, comme il est presque toujours infini, nos connaissances sont toujours superficielles et imparfaites.

La Rochefoucault

Bactéries pathogènes responsables d'infections pulmonaires et santé publique

À l'heure actuelle, les maladies infectieuses d'origine bactérienne continuent à poser un véritable problème de santé publique, en relation avec la résistance aux antibiotiques et par conséquent à l'émergence de souches résistantes. J'ai principalement ciblé mon travail sur des bactéries pathogènes responsables d'infections pulmonaires. Dans ce chapitre je vais développer les problèmes causés par *Mycobacterium tuberculosis* et par certains pathogènes opportunistes chez les patients atteints de mucoviscidose.

Les mycobactéries sont à l'origine de pathologies infectieuses majeures, la principale étant la tuberculose, causée par *Mycobacterium tuberculosis*. Alors qu'une large gamme de médicaments antituberculeux et qu'un vaccin, le BCG (Bacillus de Calmette et Guérin) sont disponibles, l'Organisation Mondiale de la Santé (OMS) a estimé en 2013 à 9,0 millions le nombre de nouveaux cas dans le monde et a enregistré 1,5 millions de décès dus à la tuberculose avec une majorité de cas située dans les pays en voie de développement (figures 1 et 2) (WHO, 2014).

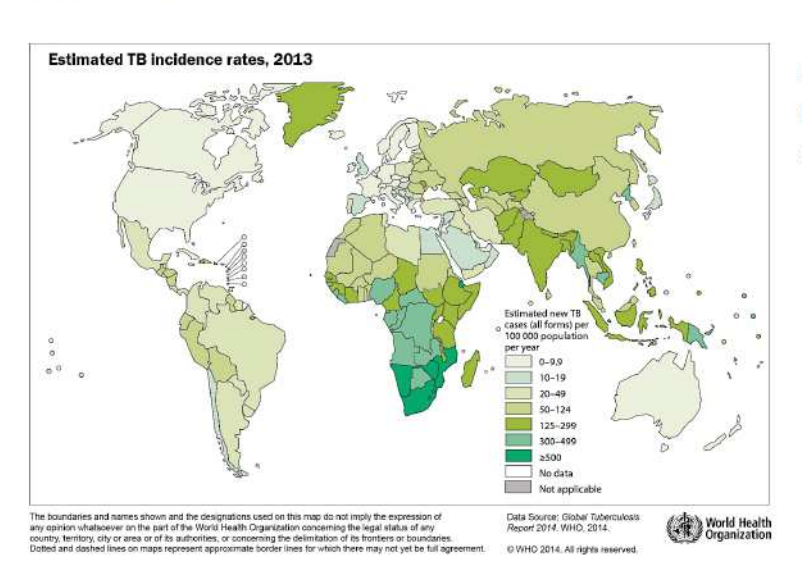


Figure 1 – Taux d'incidence estimé de la tuberculose en 2013 (WHO, 2014).

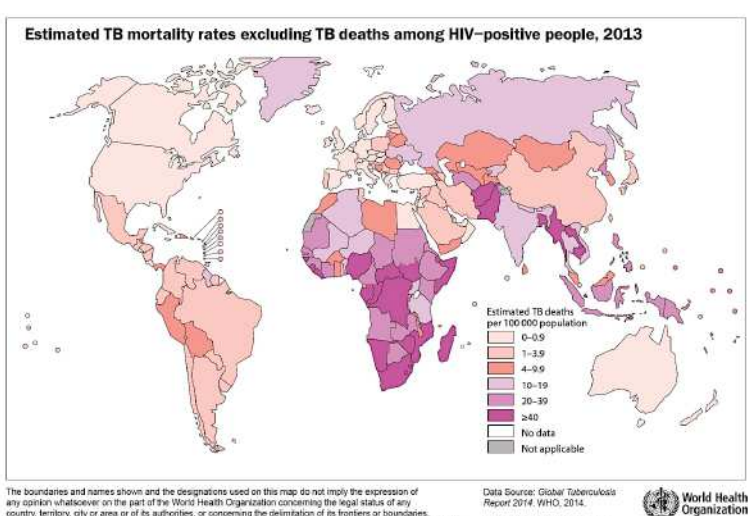


Figure 2 – Taux de mortalité estimé de la tuberculose en 2013 (WHO, 2014). Les décès chez les patients HIV positifs sont exclus.

La situation s'aggrave encore dans un grand nombre de pays en particulier due à la co-infection avec le virus du sida (Virus d'Immunodéficience Humaine ou VIH) mais aussi aux souches de M. tuberculosis devenues multi-résistantes (Multi-Drug Resistant ou MDR) voire ultra-résistantes (Extensively Drug Resistant ou XDR) (figure 3) (Gordon et al., 2009; WHO, 2014).

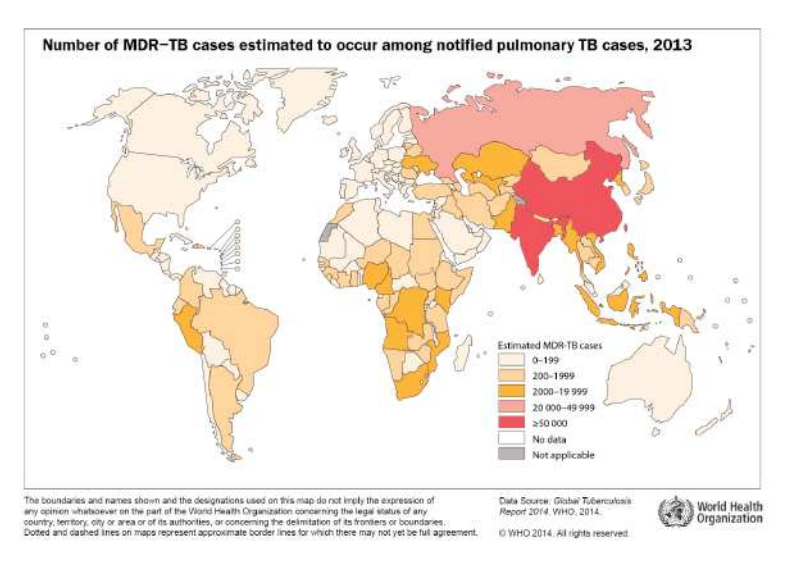
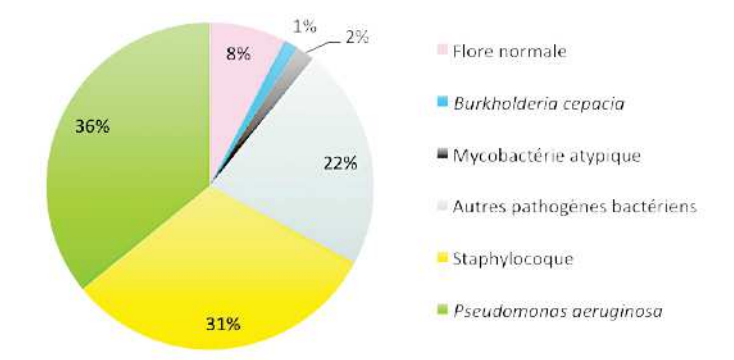


Figure 3 – Nombre estimé de cas de tuberculoses MDR en 2013 (WHO, 2014). Ces nombres ont été estimés parmi les cas de tuberculoses pulmonaires notifiés.

La lutte contre la tuberculose apparaît à l'heure actuelle comme une priorité en santé publique. L'OMS prévoit que le financement complet et la mise en œuvre intégrale du Plan mondial Halte à la tuberculose 2011-2015 permettront de sauver cinq millions de vie d'ici à 2015. Outre la vaccination, le diagnostic et le traitement des patients, le plan mondial Halte à la tuberculose 2011-2015 a pour objectif de favoriser et de promouvoir la recherche (WHO, 2006). Ainsi, de nombreux laboratoires se consacrent à l'étude de la pathogénie tuberculeuse d'un point de vue immunitaire et moléculaire.

De manière plus anecdotique, mais avec une fréquence en hausse entre 1999 et 2006, les mycobactéries atypiques, et notamment *Mycobacterium abscessus*, sont responsables d'infections pulmonaires chez les patients atteints de mucoviscidose (Roux et al., 2009). Or, les infections pulmonaires sont la cause principale de mortalité et de morbidité chez ces patients. Le pathogène principalement impliqué est *Pseudomonas aeruginosa* qui sera décrit dans le paragraphe 1.2.3. *M. abscessus*, qui sera décrit dans le paragraphe 1.2.4, est un pathogène émergent dans ce type d'infection (figure 4). Les problèmes de résistances aux antibiotiques sont également de plus en plus fréquents. En France, les souches de *P. aeruginosa* multi-résistantes représentent 23 % de la totalité des infections avec ce germe chez les patients de plus de 20 ans. Sont considérés comme multi-résistants les germes résistants à tous les antibiotiques dans au moins deux classes d'antibiotiques (*Registre Français de La Mucoviscidose - Bilan Des Données 2012.* 2014).

Figure 4 – Répartition des germes respiratoires chez les patients de plus de 20 ans atteints de mucoviscidose en France (d'après les données du Registre Français de La Mucoviscidose - Bilan Des Données 2012. 2014).



1.1 La tuberculose

1.1.1 Les mycobactéries : généralités

1.1.1.1 Filiation taxonomique des mycobactéries

Les mycobactéries appartiennent à l'ordre des Actinomycetales et plus précisément à la famille des Mycobacteriaceae qui ne comporte qu'un seul genre, le genre Mycobacterium. Les 200 espèces appartenant au genre Mycobacterium présentent plusieurs caractéristiques communes. La plus représentative est la paroi mycobactérienne représentée dans la figure 5.

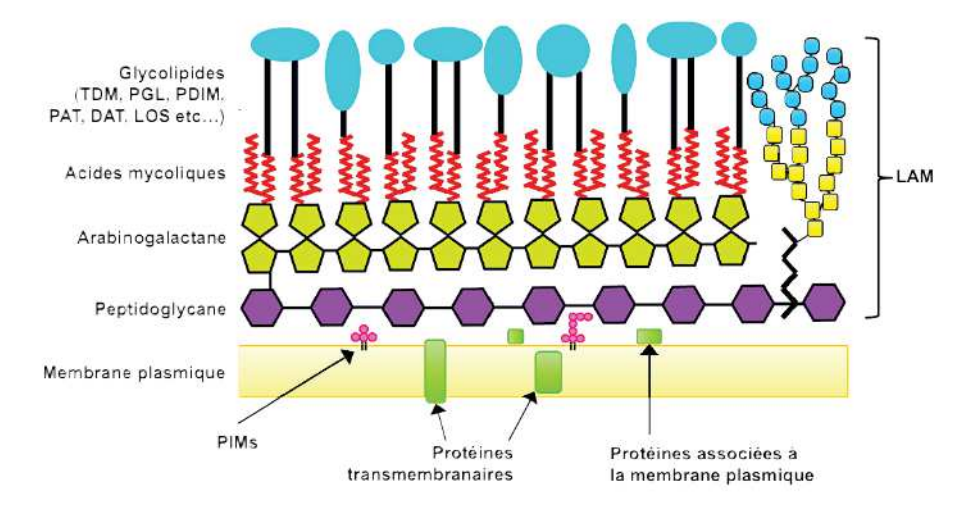


Figure 5 – Représentation schématique de la paroi mycobactérienne. Les mycobactéries sont caractérisées par la présence d'une épaisse couche externe riche en acides mycoliques constituant une barrière extrêmement efficace quant à sa perméabilité. LAM: Lipoarabinomannane; PIMs: Phosphatidylinositol mannosides.

Cette paroi cellulaire complexe joue un rôle actif dans le processus de virulence (Brennan and Nikaido, 1995; Scandurra et al., 2008). De plus, cette couche hydrophobe forme une barrière avec une perméabilité extrêmement limitée rendant les mycobactéries naturellement résistantes à une large variété de stress environnementaux incluant aussi bien la dessication que les agents antibactériens (Daffé and Draper, 1998). Cette paroi cellulaire est particulièrement riche en lipides complexes dont certains ont un rôle central dans la physiologie et la virulence de ces organismes (Gokhale et al., 2007). Cette richesse en lipides

et notamment en acides mycoliques la rend incapable de fixer les colorants usuels. En revanche, ce type de paroi est capable de fixer les colorants alcalins. De plus, elle résiste aux décolorations par traitement à l'acide et à l'alcool. Les mycobactéries sont qualifiées de Bacilles Acido-Alcoolo Résistants (BAAR). Pour leur coloration on utilise une coloration spécifique dite coloration de Ziehl-Neelsen.

Au sein de ce genre on distingue trois groupes: le premier groupe est constitué par les mycobactéries du « complexe tuberculosis » (MTBC) (M. tuberculosis, M. bovis et BCG, M. africanum, M. canettii, M.microti, M. caprae et M. pinnipedii). Ce groupe se caractérise par le fait que les mycobactéries sont uniquement retrouvées chez des hôtes mammifères. Le second groupe n'est constitué que d'une seule espèce, M. leprae, qui est restreinte à un seul hôte: l'homme. Quant au dernier groupe, il est constitué par les mycobactéries atypiques dont font parti M. marinum (décrit dans le paragraphe 4.2) et M. abscessus (paragraphe 1.2.4). Ces mycobactéries sont présentes dans l'environnement hydro-tellurique et peuvent contaminer l'homme ou les animaux par cet intermédiaire environnemental.

1.1.1.2 Classification phénotypique

La construction d'un arbre phylogénétique basée sur quatre gènes de ménages (ARNr16S, hsp65, sod et rpoB) a permis de mettre en évidence une caractéristique phénotypique (la vitesse de croissance) servant à classer les mycobactéries en deux groupes: celles à croissance lente (plus de 7 jours) et celles à croissance rapide (moins de 7 jours) (Devulder et al., 2005). Le groupe des bactéries à croissance lente comprend le complexe tuberculosis et des mycobactéries atypiques dont M. marinum tandis que le groupe des bactéries à croissance rapide est uniquement constitué par des mycobactéries atypiques dont M. abscessus.

1.1.2 Origine et évolution de la tuberculose

Reconnue dès le néolithique sur la base de témoignages anatomo-pathologiques, la tuberculose a fidèlement accompagné l'homme tout au long de son histoire. Chez l'homme, elle est majoritairement provoquée par M. tuberculosis, bacille découvert en 1882 par Robert Koch. Plus rarement, ce sont M. bovis et M. africanum qui sont en cause. Parmi les autres mycobactéries du complexe tuberculosis, le bacille de Calmette et Guérin (BCG) est une souche atténuée de M. bovis utilisé pour la vaccination. M. canettii a été plus tardivement reconnu comme étant une espèce responsable de tuberculose de l'homme. Quant à M. microti, c'est une espèce non pathogène pour l'homme mais qui est impliquée dans des infections animales.

Il est admis depuis quelques années que l'ensemble du complexe tuberculosis aurait évolué à partir d'un même ancêtre commun appelé M. prototuberculosis ou plus généralement désigné sous le terme de progéniteur du complexe tuberculosis. Cette théorie est survenue suite à l'observation d'une perte d'ADN de certaines lignées du complexe tuberculosis. Des

chercheurs ont émis l'hypothèse que cet ancêtre commun serait un pathogène humain et par conséquent contredirait l'hypothèse selon laquelle *M. tuberculosis* aurait évolué à partir de *M. bovis* agent de la tuberculose bovine (Brosch et al., 2002).

Une étude plus récente montre que le complexe tuberculosis est composé de 2 clades indépendants (Wirth et al., 2008). L'un est exclusivement composé de lignées provenant de l'homme tandis que l'autre est composé aussi bien d'isolats humains qu'animaux. Ce dernier dérivant d'une lignée de pathogènes humains, l'hypothèse selon laquelle le complexe tuberculosis aurait pour origine un hôte humain est renforcée. Par ailleurs, dans cette même étude, ils estiment l'âge du complexe tuberculosis à 40000 ans ce qui coïncide avec l'expansion des populations de l'homme "moderne" hors d'Afrique. De plus, ils observent une forte et récente expansion démographique de presque toutes les lignées de M. tuberculosis ce qui coïncide cette fois-ci avec l'explosion démographique de l'homme depuis les deux derniers siècles. Ils en concluent qu'il existerait une réelle dimension dynamique entre l'hôte humain et les populations de pathogènes.

1.1.3 Epidémiologie

Le réservoir de M. tuberculosis est strictement humain dans la mesure où la bactérie n'a jamais été retrouvée dans l'environnement. La tuberculose est une maladie contagieuse à déclaration obligatoire qui se propage par voie aérienne. L'infection d'un hôte se fait après inhalation de goutelettes (aérosol) contenant un faible nombre de bacilles (Pieters, 2008). Seules les personnes dont les poumons sont atteints peuvent transmettre l'infection.

Les conditions socio-économiques défavorables jouent un rôle déterminant dans le déclenchement de la maladie. En France, la tuberculose touche principalement les sujets âgés, les personnes en situation de précarité, les jeunes enfants, les personnes immuno-déprimées et les migrants en provenance de régions comme l'Afrique subsaharienne où les prévalences de la tuberculose et de l'infection à VIH sont élevées.

De nombreuses études ont montré que des génotypes particuliers étaient associés à une zone géographique donnée. Ainsi, des auteurs ont classé les souches tuberculeuses selon six lignées chacune associée à une région particulière, à l'exception d'une lignée dont la distribution géographique est large (Amériques, Europe, Nord de l'Afrique, Moyen Orient). Ce même article souligne le fait que certains de ces génotypes peuvent également être associé à un phénotype particulier (Gagneux and Small, 2007). En effet, les souches de génotype Beijing sont considérées dans certaines études comme hyper-virulentes (López et al., 2003; Manca et al., 2001; Roberts et al., 2007).

1.1.4 Manifestations cliniques

La primo-infection est caractérisée par l'envahissement de l'organisme par la bactérie pour la première fois. L'incubation dure 1 à 3 mois. Caractérisée par une Intra-Dermo-Réaction (IDR) positive chez un sujet non vacciné, cette phase est majoritairement asymptomatique (primo-infection latente). Quand elle s'exprime (primo-infection patente), les symptômes sont fatigue, anorexie, amaigrissement et à la radiographie du thorax, l'apparition du nodule primaire et d'adénopathies médiastinales. Deux évolutions sont possibles :

Contrôle de la maladie au niveau du granulome (voir paragraphe 1.1.5) : guérison spontanée dans 90 % des cas chez les patients immuno-compétents et dans 70 % des cas chez les immuno-déficients ou portage du bacille sans signe de maladie évolutive, on parle alors de tuberculose infection.

Le granulome ne contient plus la croissance bactérienne donnant lieu à une maladie évolutive pulmonaire pouvant, par dissémination lymphatique atteindre de nombreux organes (rein, os, méninges...), on parle alors de tuberculose maladie, mortelle dans 50 % des cas en l'absence de traitement. La tuberculose maladie est le plus souvent caractérisée par une réactivation des bacilles quiescents dans les granulomes. Les formes pulmonaires sont les plus fréquentes et les manifestations cliniques sont une altération de l'état général, une toux avec expectoration, une fièvre vespérale et des sueurs nocturnes ainsi qu'une anorexie. Il existe également des formes graves dites « miliaires » avec dissémination hématogène ainsi que des formes extra-pulmonaires.

1.1.5 Physiopathologie

La physiopathologie de la tuberculose est un phénomène complexe faisant intervenir deux types de facteurs, d'une part, la virulence du bacille et d'autre part, la nature et l'intensité des mécanismes de défense de l'hôte. L'étroite coopération cellulaire fait intervenir des réactions qui évolueront selon deux axes principaux: la formation du granulome et la nécrose tissulaire.

Lorsqu'un malade infecté émet, en parlant, en toussant, un aérosol de fines goutelettes, certaines sont chargées de quelques bacilles et sont alors mises en suspension dans l'atmosphère. Le sujet contact peut alors respirer ces goutelettes qui vont arriver aux alvéoles pulmonaires où elles rencontrent les macrophages alvéolaires qui vont phagocyter les bacilles tuberculeux.

Plusieurs situations sont possibles suite à ce premier contact. Si le nombre de mycobactéries n'est pas trop élevé, il y aura digestion et élimination des bacilles après phagocytose. Si la contamination est plus importante ou les défenses immunitaires de l'hôte sont affaiblies, des bacilles survivront et seront à l'origine de la phase de primo-infection. Dans le cas d'une primo-infection, il y aura mise en place par l'organisme d'une immunité à médiation cellulaire en 4 à 8 semaines entrainant un état d'hypersensibilité retardée. Cette immunité

limite le processus infectieux grâce à l'activation des macrophages mais aussi grâce à la nécrose tissulaire qui induit des conditions défavorables à la multiplication des bacilles.

Si l'organisme ne parvient pas à mettre en place des défenses immunitaires cellulaires rapidement, la multiplication des bacilles au niveau de la lésion entraine l'augmentation de la charge antigénique. La formation du granulome s'effectue alors par recrutement de lymphocytes et de macrophages. Bien que la fonction précise du granulome reste mal comprise, des études ont montré que les granulomes étaient des structures organisées de cellules épithélioïdes. Les bactéries sont généralement dans l'espace central nécrotique dans lequel on retrouve les macrophages morts et mourrants. Un grand nombre d'autres types cellulaires peuple également le granulome tels que les neutrophiles, les cellules dendritiques, les lymphocytes B et T et les cellules NK, ou les fibroblastes (figure 6) (Pieters, 2008; Ramakrishnan, 2012).

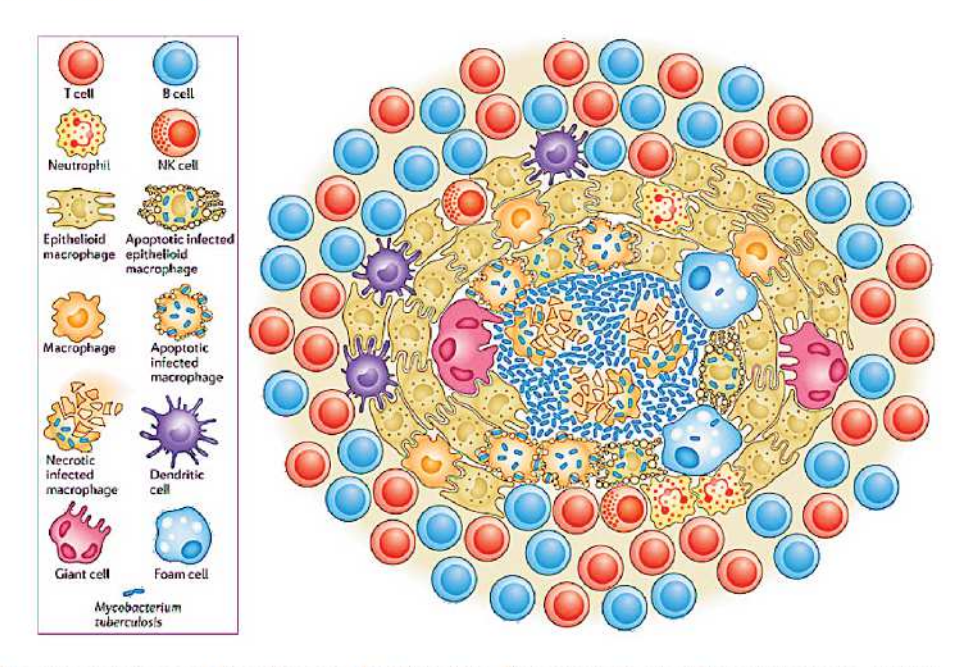


Figure 6 - Représentation schématique de la structure d'un granulome (Ramakrishnan, 2012).

D'un point de vue expérimental, la formation du granulome a été observée dans un modèle de souris infecté par M. tuberculosis. Cependant, des résultats particulièrement intéressants sur la formation du granulome et sa fonction ont été obtenus dans le modèle M. marinum / Danio rerio. En effet, comme cela sera décrit dans le paragraphe 4.2.2, les études menées chez le Danio indiquent que le granulome ne serait pas uniquement une structure bénéfique pour l'hôte permettant de contenir l'infection mais serait également bénéfique pour la multiplication et la dissémination bactérienne (Bold and Ernst, 2009; Davis and Ramakrishnan, 2009).

1.1.6 Traitement

Il existe 4 anti-tuberculeux majeurs dits de première intention: isoniazide, rifampicine, éthambutol et pyrazinamide. Le schéma thérapeutique actuel d'une tuberculose pulmonaire chez un sujet immuno-compétent est une prise quotidienne de chaque anti-tuberculeux majeur pendant 2 mois puis une association isoniazide/rifampicine les 4 mois suivants soit une durée totale de traitement de 6 mois. Dans certaines situations (résistance, co-infection VIH, rechutes) les médecins auront recours à des antibiotiques de seconde intention tels que certaines fluoroquinolones ou aminosides.

En ce qui concerne la résistance aux antibiotiques, l'OMS distingue deux types de tuberculose. La tuberculose multi-résistante (MDR) est définie comme la résistance à la rifampicine et à l'isoniazide, antibiotiques de référence. Chez les souches dites "ultra-résistantes" (XDR), d'émergence récente, s'y ajoute une résistance aux antibiotiques de seconde intention, les fluoroquinolones et à un ou plusieurs antibiotiques injectables (amikacine, capréomycine, kanamycine).

1.1.7 Prophylaxie

Le vaccin BCG (Bacille de Calmette et Guérin) a été mis au point au début du XXème siècle. La souche BCG est une souche atténuée de M. bovis. Les bases moléculaires de cette atténuation ont été élucidées grâce au séquençage des souches du MTBC. Ainsi, la comparaison des génomes a permis de mettre en évidence la délétion du locus RD1 (Regions of Difference) uniquement dans les souches BCG (Gordon et al., 2009). Par ailleurs, il a été montré que la virulence de M. tuberculosis et d'autres mycobactéries pathogènes nécessitait la sécrétion de deux protéines: ESAT-6 (Early Secretory Antigenic 6 kDa) et CFP-10 (Culture Filtrate Protein 10) (Tan et al., 2006). Ces protéines et un système de sécrétion sont codés par des gènes situés sur le locus RD1.

Bien que l'analyse de données cliniques a conclu que le BCG offrait une protection contre les formes disséminées de la maladie telles que les méningites tuberculeuses, il offre en revanche un faible protection contre la tuberculose pulmonaire de l'adulte dans les pays où la prévalence de la maladie est importante (Gordon et al., 2009).

Par ailleurs, des études ont montré que l'efficacité variait notamment avec les différentes régions géographiques (Gagneux and Small, 2007). Les différents génotypes pourraient être responsables des variations d'efficacité du BCG puisque chez la souris la protection du BCG est moindre contre les souches de génotype Beijing que contre la souche de laboratoire H37Rv (Grode et al., 2005; López et al., 2003).

1.2 Infections pulmonaires dans le contexte mucoviscidosique

1.2.1 La mucoviscidose

La mucoviscidose est une maladie autosomale récessive causée par une mutation du gène CFTR (Cystic Fibrosis Transmembrane conductance Regulator) localisé chez l'homme sur le chromosome 7. Bien que les organes atteints soient variés, ces effets sur les poumons provoquent des symptômes sévères avec un taux important de mortalité associé à une fonction pulmonaire déficiente. Le dysfonctionnement de la protéine CFTR provoque une augmentation de la viscosité du mucus et son accumulation notamment au niveau des poumons (Kreda et al., 2012; Ratjen, 2009). Le mucus ainsi accumulé est riche en nutriments qui constituent un bon environnement pour la colonisation bactérienne (Palmer et al., 2005; Sriramulu et al., 2005). Les poumons mucoviscidosiques sont infectés avec une flore microbienne complexe provoquant des infections chroniques et aiguës qui entrainent un déclin de la fonction pulmonaire, respiratoire et la mort prématurée des patients. Une fois l'infection bactérienne établie, son éradication par un traitement antibiotique n'est quasiment jamais obtenue (Bittar et al., 2008; Schobert and Jahn, 2010).

Malgré les progrès réalisés ces dernières années pour le traitement de la mucoviscidose, l'espérance de vie des patients reste très faible (autour de 37 ans), principalement à cause des infections bactériennes (Cystic Fibrosis Foundation, 2011).

1.2.2 Traitements antimicrobiens chez les patients mucoviscidosiques

Actuellement, il n'existe pas de traitement consensus antimicrobien pour éradiquer les infections bactériennes des poumons mucoviscidosiques (Döring et al., 2012; Jain and Smyth, 2012). Les traitements varient en fonction des établissements, des pays et même des continents. De nombreuses stratégies ont été utilisées variant la voie d'administration, les classes d'antibiotiques et la durée de traitement. Les antibiotiques inhalés, et principalement les aminosides, ont un taux de succès élevé pour l'éradication bactérienne, en particulier contre P. aeruginosa, dû à une administration directe de hautes doses d'antibiotiques dans la lumière bronchique avec une toxicité systémique limitée. Par exemple, l'inhalation de tobramycine a été utilisée pour traiter les infections bactériennes de long terme et chroniques avec un bénéfice significatif pour la fonction pulmonaire repoussant la réinfection et réduisant la mortalité (Ratjen et al., 2010; Ryan et al., 2011; Sawicki et al., 2012). Les antibiotiques par voie orale et intraveineuse ont aussi un intérêt attractif et actuellement les quinolones, en particulier la ciprofloxacine, sont les plus utilisés. Cependant, l'utilisation de la ciprofloxacine est parfois limitée par l'émergence rapide de résistances. Pour palier à ce problème, la ciprofloxacine est souvent associée à d'autres antibiotiques via des voies d'administration différentes. La combinaison de colistine ou de tobramycine inhalées avec de la ciprofloxacine per os a été efficace (Jain and Smyth, 2012). D'autres antibiotiques ont

été introduits et utilisés comme traitement alternatif tels que l'amikacine inhalée, l'aztréonam et l'association fosfomycine et tobramycine (Döring et al., 2012; Jain and Smyth, 2012; Narasimhan and Cohen, 2011).

Devant la multi-résistance naturelle de *M. abscessus* aux antibiotiques, il est recommandé de traiter les patients en associant un macrolide (azithromycine), un aminoside (amikacine) et au moins une autre drogue appartenant à une classe différente (Leung and Olivier, 2013).

Cependant, devant l'échec fréquent de ces antibiothérapies, il apparaît urgent de définir rapidement de nouvelles stratégies efficaces pour éradiquer ces infections (Sousa and Pereira, 2014) et par là-même de développer de nouvelles stratégies anti-infectieuses.

1.2.3 Pseudomonas aeruginosa

La communauté microbienne résidente dans les poumons mucoviscidosiques est connue pour être complexe et a considérablement changé, principalement à cause des altérations dans les régimes antibiotiques. Cependant, *P. aeruginosa* est toujours le pathogène le plus commun du mucus des patients mucoviscidosiques, avec la plus forte prévalence chez l'adulte (Bittar et al., 2008; Coutinho et al., 2008; Folkesson et al., 2012).

P. aeruginosa également appelé bacille pyocyanique est un micro-organisme ubiquitaire. On le retrouve dans de nombreux sites environnementaux mais plus particulièrement dans l'environnement hydrique. C'est un pathogène opportuniste à Gram négatif chez les patients hospitalisés ou immunodéprimés qui cause des infections pulmonaires, cutanées, urinaires ou encore gastro-intestinales (Coutinho et al., 2008; Silby et al., 2011). Son large génome est composé de près de 6000 gènes qui comprennent notamment des gènes associés à diverses voies métaboliques, des facteurs de virulence, de transport, d'efflux et de chemotactisme, conferrant à P. aeruginosa une grande capacité d'adaptation. De plus, cette bactérie est capable de coordonner les voies métaboliques, d'optimiser son potentiel nutritionel et reproductif selon les conditions et les ressources environnementales et ainsi survivre, croître et causer des infections dans différents environnements (Rau et al., 2010; Silby et al., 2011).

La présence de *P. aeruginosa* dans les voies aériennes mucoviscidosiques est fortement associée à une fonction pulmonaire faible, la morbidité et la mortalité des patients. En dépit de la réponse inflammatoire et des traitements antibiotiques intensifs et de long terme, les infections causées par le pathogène persistent dans les poumons mucoviscidosiques. Une fois entré dans les voies aériennes de ces patients, *P. aeruginosa* est presque impossible à éradiquer à cause de la remarquable plasticité de son génome lui permettant une adaptation rapide à un environnement mucoviscidosique considérablement stressant (Folkesson et al., 2012; Hogardt and Heesemann, 2010; Høiby et al., 2010). Après une colonisation par *P. aeruginosa* les patients peuvent souffrir d'épisodes successifs de re-

colonisation jusqu'à l'infection chronique qui peut persister plusieurs années ou ne jamais être éradiquée (Hogardt and Heesemann, 2010; Schelstraete et al., 2013).

Les infections aiguës et chroniques à *P. aeruginosa* se traduisent par deux phénotypes de virulence disctints. Un certain nombre de facteurs ont été impliqués dans l'un ou l'autre de ces phénotypes. Parmi eux, on peut citer le système de sécrétion de type 3 (T3SS) impliqué dans le phénotype de virulence aigu et la formation de biofilms qui décrit un phénotype de virulence chronique (figure 7) (Coggan and Wolfgang, 2012).

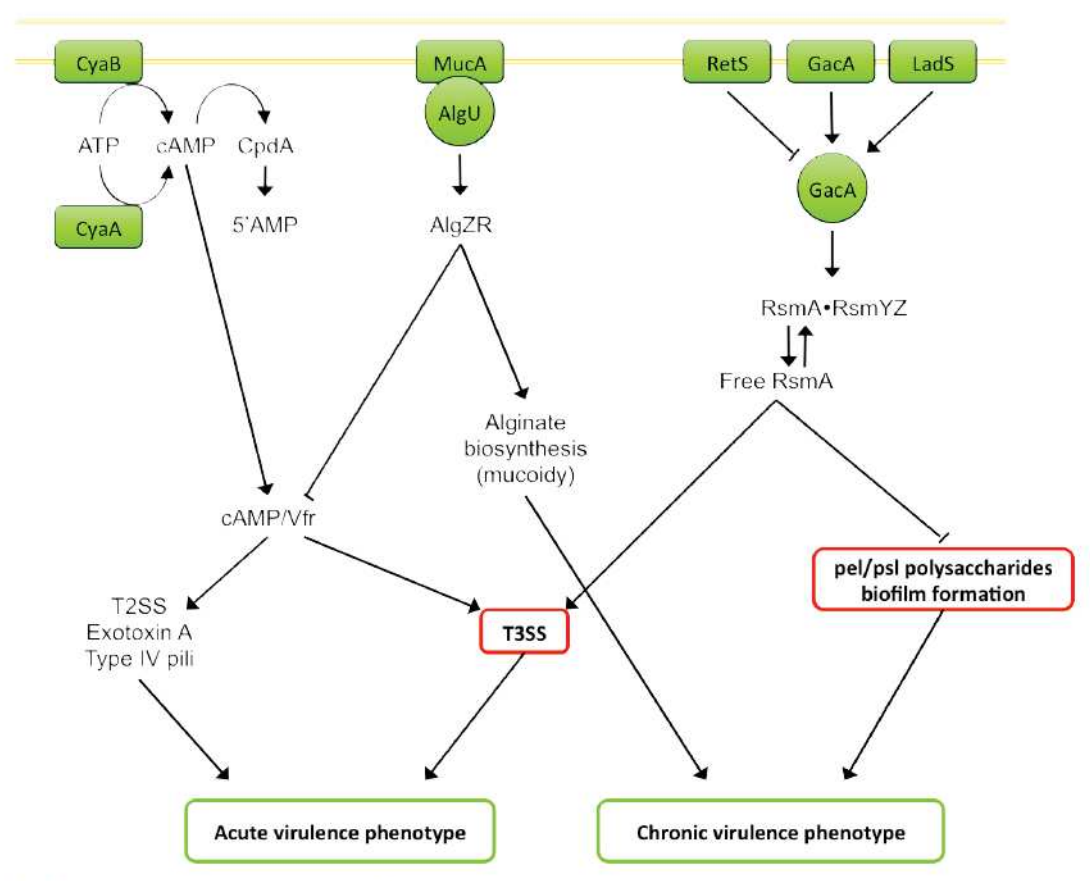


Figure 7 – Facteurs impliqués dans le phénotype de virulence de P. aeruginosa.

1.2.4 Mycobacterium abscessus

M. abscessus est une mycobactérie atypique à croissance rapide. Elle pousse sur milieu solide en 3 à 4 jours. Les colonies peuvent revêtir un morphotype rugueux ou lisse. Cet organisme est naturellement multi-résistant aux antibiotiques et c'est un pathogène émergent dans les infections chez les patients mucoviscidosiques. Son taux de prévalence total et estimé chez ce groupe de patients représente plus de la moitié de l'ensemble des mycobactéries atypiques isolées (Cystic Fibrosis Foundation, 2011; Seddon et al., 2013). Les infections à M. abscessus ont été associées à des pronostics cliniques défavorables dans la population mucoviscidosique, particulièrement après une transplantation de poumon (Gilljam et al., 2010; Luong et al., 2010; Watkins and Lemonovich, 2012).

Le haut niveau de résistance naturelle de M. abscessus à la plupart des classes d'antibiotiques est une caractéristique commune des espèces mycobactériennes. Cela est dû à la présence de leur paroi cellulaire imperméable, d'enzymes inactivant ou modifiant les antibiotiques, de pompes à efflux et de polymorphismes génétiques au niveau des gènes cibles. M. abscessus a la particularité d'être également naturellement résistant aux antituberculeux classiques tels que la rifampicine et l'éthambutol (Nessar et al., 2012).

1.3 Stratégies anti-virulence : les alternatives aux antibiotiques

Depuis quelques années, la résistance bactérienne aux antibiotiques a conduit à la recherche de nouvelles approches antibactériennes. Les facteurs de virulence en tant que cible thérapeutique se sont révélés comme une approche alternative, ou du moins complémentaire, pour traiter les infections microbiennes. Le principe de ces nouvelles molécules est de dénuer le pathogène de ses propriétés de virulence sans pour autant menacer son existence. L'utilisation de tels antibactériens permettrait alors de réduire la pression de sélection exercée par l'antibiothérapie et de limiter l'émergence de résistances. Ces nouvelles thérapeutiques permettraient également d'éviter l'altération du microbiote de l'hôte comme c'est le cas des antibactériens actuellement sur le marché. De plus, certains facteurs de virulence sont communs à plusieurs pathogènes et de ce fait, ces molécules auraient un large spectre d'action (Barczak and Hung, 2009; Cegelski et al., 2008; Rasko and Sperandio, 2010). Avec par exemple l'histidine kinase QseC qui possède des homologues chez au moins 25 pathogènes majeurs humains ou de plantes (Rasko et al., 2008). Cependant, de récentes études indiquent qu'il existe des mécanismes de résistance aux drogues anti-virulence. Certaines souches avec de telles résistances ont été isolées en milieu clinique (García-Contreras et al., 2013; Maeda et al., 2012) et d'autres ont été générées en laboratoire (Hung et al., 2005; Maeda et al., 2012; Smith et al., 2012). Malgré tout, certains auteurs affirment que la sélection de résistances peut être réduite ou même inversée en utilisant des combinaisons appropriées du facteur de virulence cible et du traitement, seul ou en association avec les médicaments thérapeutiques traditionnels existants (Allen et al., 2014).

C'est dans ce contexte que je me suis intéressée au facteur de virulence MgtC qui apparaît comme une cible particulièrement intéressante du fait de sa présence chez un grand nombre de pathogènes majeurs, incluant M. tuberculosis et P. aeruginosa. Ce facteur de virulence est une cible d'autant plus attractive qu'il existe chez S. Typhimurium un peptide naturel, MgtR, qui favorise la dégradation de MgtC.

2 Le facteur de virulence MgtC

Le facteur de virulence MgtC est une protéine initialement découverte et décrite chez Salmonella enterica serovar Typhimurium (Snavely et al., 1991). Deux fonctions ont été décrites. In vitro, MgtC permet l'adaptation à un milieu carencé en magnésium. Ex vivo, MgtC est indispensable à la survie intramacrophagique. Il s'est avéré que cette protéine était également présente chez plusieurs bactéries pathogènes intracellulaires majeures telles que Mycobacterium tuberculosis, mais également chez une bactérie pathogène extracellulaire, Pseudomonas aeruginosa. Ce facteur de virulence apparaît alors comme étant une cible thérapeutique particulièrement intéressante.

Dans cette partie je vais détailler les connaissances actuelles concernant MgtC chez S. Typhimurium et chez les autres bactéries pathogènes.

2.1 La protéine MgtC de S. Typhimurium et ses homologues

C'est l'étude de la protéine MgtB, l'un des trois transporteurs de Mg²⁺ de S. Typhimurium, qui a permis de mettre en évidence la protéine MgtC. En effet, l'analyse génomique a montré que les deux gènes étaient cotranscrits et formaient l'opéron mgtCB (Snavely et al., 1991). Par la suite, il a été montré qu'un petit peptide régulateur, MgtR, faisait également partie de cet opéron formant ainsi l'opéron mgtCBR (Alix and Blanc-Potard, 2008). Le peptide MgtR sera décrit dans le chapitre 3.

Des expériences de Southern ont permis de détecter des séquences mgtC dans les huit sousespèces de S. enterica (Blanc-Potard et al., 1999). Cependant, la distribution du gène mgtC reste très sporadique en ce qui concerne dix entérobactéries (Blanc-Potard and Groisman, 1997). MgtC est également présent chez les actinomycètes et une étude chez les mycobactéries a montré que les séquences mgtC n'ont pas été détectées dans toutes les espèces du genre Mycobacterium. En effet, elles sont absentes de certaines espèces à croissance rapide, M. smegmatis et M. fortuitum (Buchmeier et al., 2000). En revanche le gène mgtC est présent chez M. tuberculosis, M. marinum et deux homologues ont été retrouvés chez M. abscessus (Ripoll et al., 2009; Stinear et al., 2008). Le gène mgtC est donc réparti aussi bien chez des mycobactéries tuberculeuses que chez des mycobactéries non tuberculeuses.

2.2 Organisation génomique

Une étude bioinformatique, réalisée sur plus de 70 génomes, a permis de mettre en évidence 47 protéines homologues de MgtC issues de 41 génomes (Blanc-Potard and Lafay, 2003). Dans cette étude, les auteurs se sont intéressés à l'organisation génomique aux abords du gène mgtC. Plus particulièrement, ils ont étudié des gènes provenant de bactéries capables de survivre dans les macrophages. Chez S. Typhimurium, mgtC est cotranscrit avec mgtB, et l'opéron mgtCB est porté par l'îlot de pathogénicité SPI-3 de 17 kb (région absente d'une

bactérie très proche, Escherichia coli) (Blanc-Potard and Groisman, 1997) dont la teneur en G + C diffère de celle de l'ensemble du génome de S. Typhimurium. Or, l'absence de cette région chez une bactérie très proche et une teneur atypique en G + C sont des indicateurs d'évènements de transferts horizontaux (Blanc-Potard and Groisman, 1997; Lawrence and Ochman, 2002). Chez S. Typhi, Y. pestis et B. melitensis, un gène mgtB pourrait être en opéron avec mgtC suggérant l'acquisition concomittante de ces 2 gènes et dont la fonction pourrait être liée. Cependant, aucun homologue MgtB n'a été mis en évidence à proximité de mgtC chez M. tuberculosis et aucun homologue de gènes codant SPI-3 n'a été retrouvé à proximité de mgtC pour les génomes de Y. pestis, B. melitensis ou M. tuberculosis. Chez Brucella, la région étudiée est localisée en aval d'un locus d'ARNt. Ces loci sont reconnus comme être des points d'insertion d'ADN étranger. L'ensemble de ces résultats a montré que l'acquisition du gène mgtC a probablement eu lieu par transfert horizontal de gène (figure 8) (Blanc-Potard and Lafay, 2003).

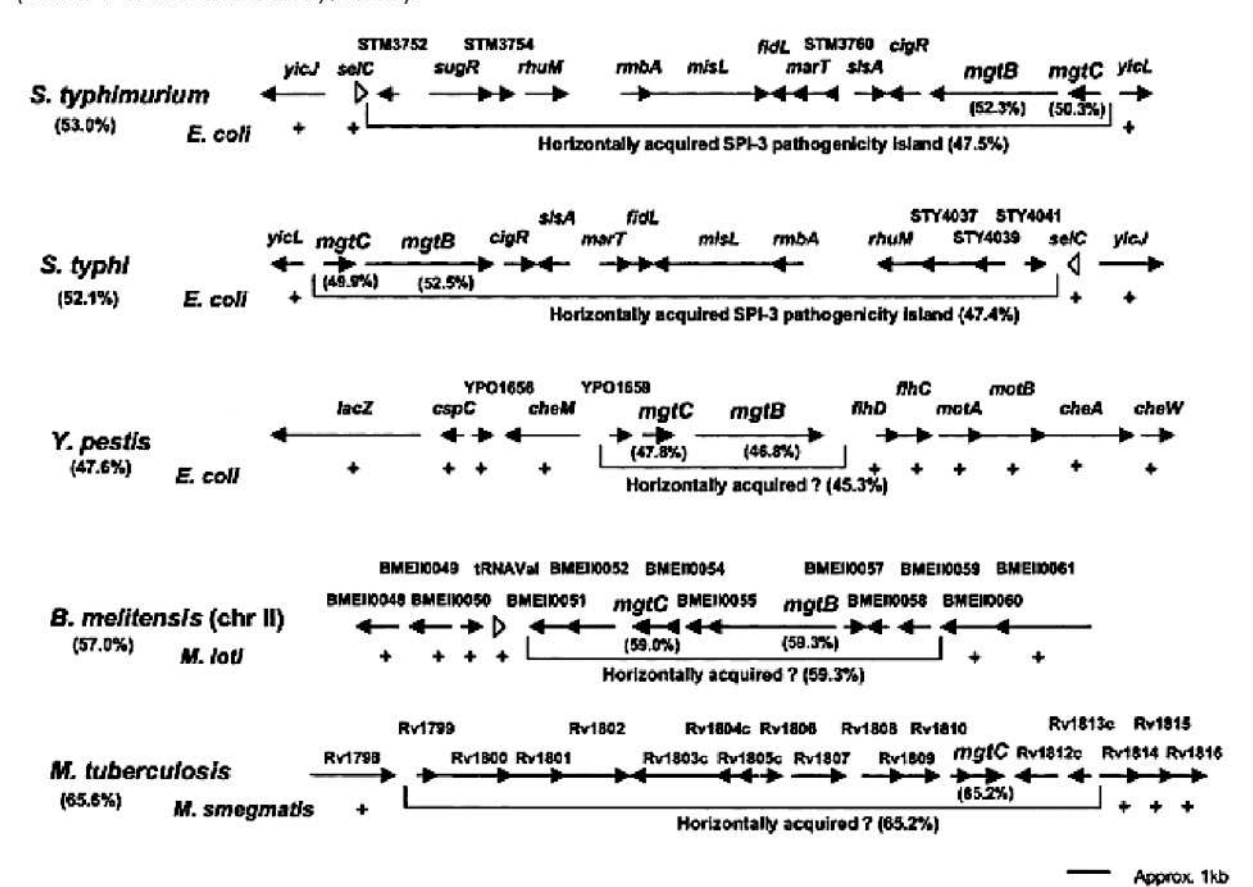


Figure 8 – Environnement génétique aux abords des gènes *mgtC* de S. Typhimurium, S. Typhi, Y. pestis, B. melitensis et M. tuberculosis (Blanc-Potard and Lafay, 2003). Les ORFs sont représentées par des flêches et les ARNt apparaissent sous forme de triangle blanc. L'ADN génomique de chaque espèce est comparé à l'ADN génomique d'une bactérie proche qui ne code pas pour un orthologue de MgtC. S. Typhimurium, S. Typhi et Y. pestis sont comparés à E. coli, B. melitensis à Mesorhizobium loti et M. tuberculosis à M. smegmatis. "+" indique la présence d'un orthologue dans l'espèce comparée. Les régions supposées de transfert horizontal sont indiquées. La teneur en G + C des génomes, les régions d'ADN supposées d'origine étrangère et les gènes mgtC et mgtB sont indiqués dans les crochets.

Chez les mycobactéries, M. marinum possède un homologue mgtC dont l'organisation génomique aux abords du gène est conservée avec celle de M. tuberculosis. Pour les deux espèces, mgtC est situé en aval de plusieurs gènes codant pour des protéines PPE et il est adjacent à un gène codant pour une protéine de fonction inconnue (MMAR_2686 ou Rv1810) (Figure 9).

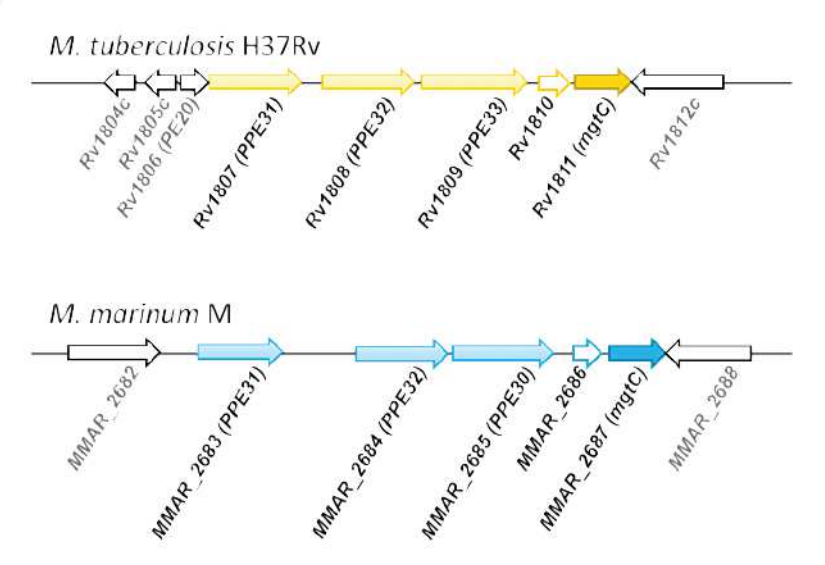


Figure 9 – Environnement génétique aux abords des gènes *mgtC* de *M. tuberculosis* et de *M. marinum*. Pour les deux espèces le gène *mgtC* (flêches colorées foncées) est adjacent à *Rv1810* (flêche blanche à liseré jaune) qui est l'homologue de *MMAR_2686* (flêche blanche à liseré bleu) et des gènes *PPE* (flêches colorées claires). Le gène *MMAR_2688* est homologue au gène *Rv1812c*.

2.3 Phylogénie

Les homologues MgtC ont fait l'objet d'une analyse phylogénétique avec construction d'un dendrogramme selon la méthode du neighbor-joining. Trois clusters distincts de protéines ont pu être identifiés. L'ensemble des homologues de ces trois groupes possède un domaine N-terminal bien conservé. En revanche, seul le cluster appelé groupe 1, possède un domaine C-terminal conservé. On retrouve dans le groupe 1 des homologues issus de plusieurs pathogènes intracellulaires tels que S. Typhymurium et S. Typhi, M. tuberculosis, Burkholderia, Brucella et Y. pestis pour lesquels le rôle de MgtC dans la virulence a été étudié et sera décrit dans le paragraphe 2.6.1. On remarquera que M. marinum est inclus dans ce groupe. Concernant M. abscessus il possède 2 homologues de la protéine MgtC (Ripoll et al., 2009) mais un seul des deux est inclus dans le groupe 1. De manière étonnante, un pathogène extracellulaire est également présent dans ce cluster. Il s'agit de Pseudomonas aeruginosa. Il existe aussi 2 homologues chez ce pathogène mais contrairement à M. abscessus, les deux homologues appartiennent au groupe 1 (Blanc-Potard and Lafay, 2003; Gastebois et al., 2011) (figure 10).

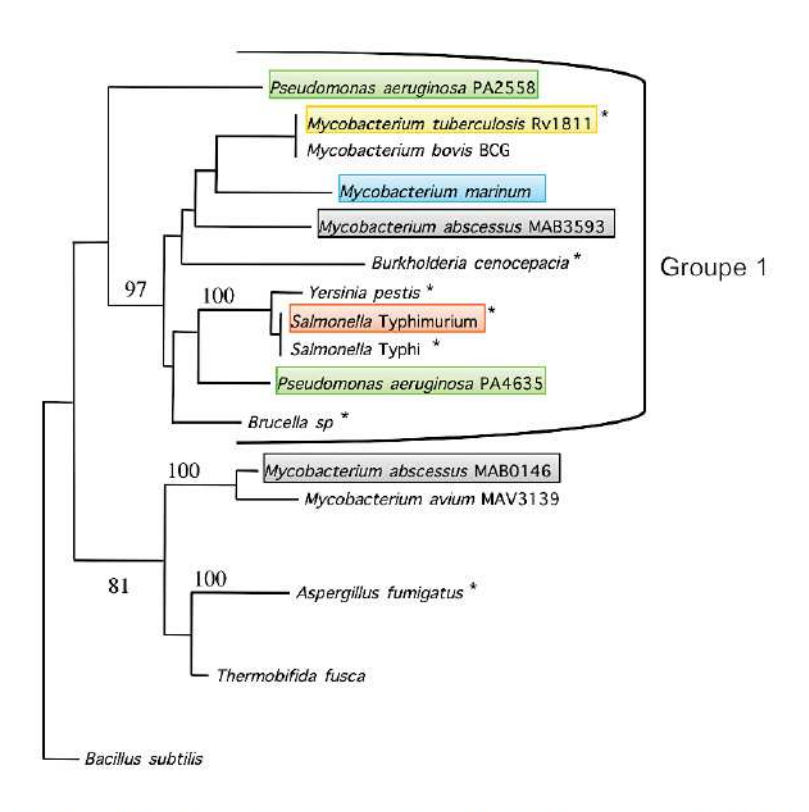


Figure 10 – Arbre phylogénétique simplifié des protéines MgtC obtenu par Neighbor-joining (adapté de Blanc-Potard and Lafay, 2003; Gastebois et al., 2011). Les astérisques indiquent les pathogènes dont le rôle de MgtC dans la virulence a été étudié.

2.4 Alignement des protéines MgtC étudiées au cours de la thèse avec la protéine MgtC de S. Typhimurium

MgtC est une protéine membranaire d'environ 230 acides aminés et 22,5 kDa avec un domaine N-terminal composé de 5 segments transmembranaires et un domaine C-terminal cytosolique (Rang et al., 2007; Snavely et al., 1991). L'alignement des séquences protéiques de MgtC de S. Typhimurium, M. tuberculosis et M. marinum (figure 11A) montre une grande similarité dans la partie N-terminale et une partie C-terminale plus divergente. Cependant, les 3 espèces partagent 5 résidus conservés qui sont important pour la fonction de MgtC chez S. Typhimurium (Rang et al., 2007). L'alignement des séquences protéiques de MgtC de S. Typhimurium et de P. aeruginosa (figure 11B) montre un profil similaire à l'alignement décrit précédemment avec notamment la conservation de 4 résidus impliqués dans la fonction de MgtC de S. Typhimurium (Rang et al., 2007).



Figure 18 aer Maigne 18 aer Maigne 18 protéines MgtC de S. Typhimurium, M. tuberculosis, M. marinum et P. aeruginosa. (A) L'alignement des séquences protéiques de MgtC de S. Typhimurium (numéro d'accès AAL22622.1), de M. tuberculosis (numéro d'accès NP_216327.1) et de M. marinum (numéro d'accès ACC41130.1) a été réalisé avec ClustalW. La ligne supérieure noire indique la partie C-terminale soluble. Les rectangles rouges indiquent les résidus conservés et essentiels pour la fonction de MgtC chez Salmonella.

P. aeruginosa PA4635 LGSLVVLCANILLRDIAQRLNRQDVLPAS-EAEQRYEVQIVCRAEDEIQVRSLMLHSLGS

P. aeruginosa PA4635 SDLRLQSLBSEDLDNPAKLEVRAELLGTPEAPAQLERLVSRVSLEKGVSSVRWQVFELAA :: . *:****:* .:

AAICLQGLGSVPAQEQGYKEIRAELVGHADYRKTRELIISRIGDNDNITAIHWSIDSQ--

** * *.*:** :::.*. *** **. :*: : .

* ::**:. :..:::::*.: .

(B) L'alignement des séquences protéiques de MgtC de S. Typhimurium (numéro d'accès AAL22622.1) et de P. aeruginosa (numéro d'accès AAG08023.1) a été réalisé avec ClustalW. Les lignes supérieures noires correspondent aux domaines transmembranaires (TM) du domaine N-terminal. Les rectangles rouges indiquent les résidus conservés et essentiels pour la fonction de MgtC chez Salmonella.

2.5 Structure du domaine C-terminal de la protéine MgtC

.::::******* ***:

S. Typhimurium

S. Typhimurium

Le domaine C-terminal soluble de MgtC de S. Typhimurium a été prédit pour adopter une topologie βαββαβ (Rang et al., 2007). Ce repliement, partiellement confirmé par spectroscopie RMN (Résonnance Magnétique Nucléaire), est retrouvé dans les domaines de liaison aux métaux. Cependant, les études de transport et électrophysiologiques ont démontré que MgtC n'était pas un transporteur de Mg2+ (Günzel et al., 2006; Moncrief and

Maguire, 1998). Par ailleurs, des expériences de mutagénèses de résidus acides conservés (chargés négativement) ainsi que des analyses sur le domaine C-terminal purifié ne soutiennent pas l'hypothèse d'une fixation du Mg²⁺ par MgtC (Rang et al., 2007). Ce repliement est également retrouvé dans les domaines de liaison de petites molécules (ARN, protéines ou acides aminés) qui sont appelés domaines ACT. Au-delà de la structure de la protéine, il a été mis en évidence que certains résidus conservés jouaient un rôle important dans la croissance en milieu carencé en magnésium et/ou dans la survie intramacrophagique, se traduisant par des phénotypes respectivement in vitro et/ou ex vivo (figure 12).

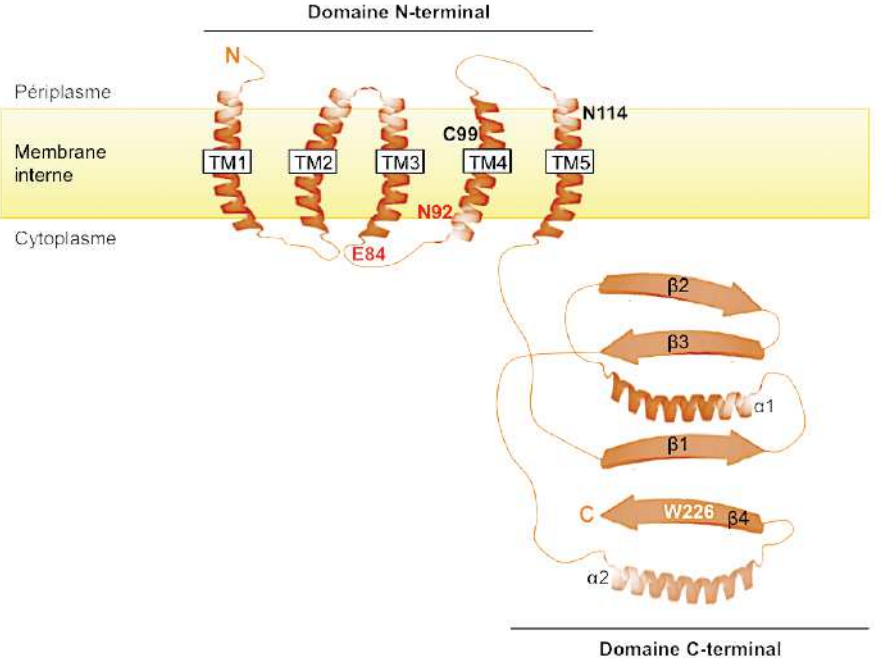


Figure 12 – Schématisation de la topologie des domaines de MgtC et position des résidus important pour la fonction en milieu carencé en magnésium et / ou dans les macrophages. Le modèle topologique de MgtC (5 hélices transmembranaires, TM1 à TM5, et un domaine C-terminal cytoplasmique) dérive d'une combinaison de prédiction de topologie et de la détermination expérimentale de la localisation C-terminale. La structure secondaire du domaine C-terminal a été partiellement caractérisée par RMN et prédite en se basant sur la reconnaissance de repliement. Les hélices α sont schématisées par des hélices et les feuillets β par des flêches. La position des acides aminés qui sont important pour la fonction, basée sur l'analyse de MgtC de Salmonella mais aussi de *P. aeruginosa*, est indiquée. En rouge sont indiqués les résidus ayant un rôle *in vitro* et *ex vivo*. En noir, ceux qui ont un rôle principalement *ex vivo* et en blanc, ceux ayant un rôle principalement *in vitro* (Rang et al., 2007).

Récemment, la structure du domaine C-terminal de MgtC de M. tuberculosis, déterminée par spectroscopie RMN, confirme le repliement sous la forme $\beta\alpha\beta\beta\alpha\beta$ et le domaine ACT (Yang et al., 2012b). Cependant, le domaine ACT diffère des domaines ACT standards puisqu'il semble qu'il ait perdu la capacité de se lier à de petites molécules. En revanche, le domaine ACT a été impliqué dans des phénomènes de dimérisation et des expériences de double hybride bactérien ont permis de montrer que la protéine MgtC pouvait dimériser et que le domaine C-terminal facilitait cette dimérisation (Yang et al., 2012b).

2.6 Fonction de MgtC

2.6.1 Rôle de MgtC dans la virulence bactérienne: MgtC et survie intracellulaire

L'étude phylogénétique des protéines MgtC a montré que le groupe 1 présentait une séquence conservée entre les pathogènes suggérant, par extrapolation, une fonction conservée (Blanc-Potard and Lafay, 2003). Un récapitulatif du rôle de MgtC dans la virulence des différents pathogènes décrits ci-après est disponible dans le tableau 1.

2.6.1.1 Salmonella enterica sérovars Typhimurium et Typhi

Les bactéries appartenant au genre Salmonella sont capables d'établir une infection systémique chez de nombreux hôtes tels que l'homme, les rongeurs, les volailles ou les bovins. La capacité de Salmonella à contourner la réponse immunitaire active de l'hôte est le résultat de facteurs de virulence spécialisés qui favorisent les infections à long terme (Lawley et al., 2006).

De manière plus spécifique, le rôle de MgtC dans la virulence a été étudié chez S. Typhimurium. Un criblage génétique utilisant une technique de microarray a permis d'identifier les gènes, parmi lesquels mgtC, indispensables au développement d'une infection systémique à long terme chez la souris dans laquelle S. Typhimurium peut persister jusqu'à un an après infection sans qu'elle ne succombe à celle-ci (Lawley et al., 2006). Le rôle de MgtC dans la virulence avait également été démontré en infectant des souris BALB/c (Blanc-Potard and Groisman, 1997). Au niveau cellulaire, des expériences ont été réalisées dans un modèle d'infection de macrophages J774. D'une part, il a été montré que le gène mgtC était très fortement induit dès 4h après infection (Eriksson et al., 2003). D'autre part, des données indiquent qu'un mutant mgtC est très atténué dans ce modèle. Des mutagénèses ont été réalisées sur quatre résidus (N92, C99, C155 et W226) de la protéine MgtC de S. Typhimurium qui sont conservés dans le groupe phylogénétique de Salmonella. La capacité des protéines mutées à complémenter le mutant mgtC a ensuite été testée. Il en est ressorti que les résidus N92, C99 et C155 sont essentiels pour la survie intramacrophagique (Rang et al., 2007).

Le rôle de MgtC dans la virulence a églament été décrit chez S. Typhi, agent responsable de la fièvre typhoïde chez l'homme. Dans un modèle d'infection cellulaire de monocytes humains, le mutant mgtC est atténué. La multiplication du mutant mgtC a également été testée dans un modèle de cellules épithéliales humaines HEp-2. Les résultats obtenus suggèrent un rôle de MgtC restreint à la phase d'invasion pour ce type de cellules. Ce phénotype, également observé dans les macrophages, n'a pas été étudié pour les autres sérovars de Salmonella mais suggère que MgtC pourrait être requis pendant la phase initiale de l'infection par S. Typhi (Retamal et al., 2009).

2.6.1.2 Burkholderia cenocepacia

B. cenocepacia, une bactérie environnementale commune, est aussi un agent pathogène opportuniste des patients atteints de mucoviscidose. Une expérience de mutagénèse signature-tagged dans un modèle d'infection de poumons de rats a permis d'identifier les gènes impliqués dans la survie bactérienne in vivo. Un des mutants les plus atténués portait une insertion dans le gène mgtC (Hunt et al., 2004). Un mutant mgtC testé dans un modèle d'infection cellulaire de macrophages murins a montré une diminution de la survie intramacrophagique confirmant la nécessité de MgtC pour la survie intracellulaire. Par ailleurs, ce mutant n'induit pas de retard dans la fusion phagolysosomale et les vacuoles contenant les bactéries sont rapidement ciblées par les lysosomes où les bactéries sont détruites (Maloney and Valvano, 2006).

2.6.1.3 Brucella suis

De la même manière que *S. enterica*, les espèces appartenant au genre *Brucella* ont développé des stratégies de virulence pour la survie intracellulaire. C'est dans ce contexte qu'un mutant *mgtC* de *B. suis* a été testé dans un modèle d'infection cellulaire de macrophages J774. Il a été montré que le mutant *mgtC* était atténué dans ce modèle et par conséquent que MgtC était nécessaire pour la croissance intramacrophagique de *B. suis*. Il a aussi été montré que *mgtC* ne semblait pas impliqué dans les stades précoces de la croissance intra-macrophagique (Lavigne et al., 2005).

2.6.1.4 Yersinia pestis

Y. pestis est un pathogène intracellulaire facultatif. C'est l'agent responsable de la peste. Le criblage de la mutagénèse Tn5-lacZ a identifié mgtC comme étant un gène important pour la survie de Y. pestis dans les macrophages. Des expériences dans un modèle d'infection de macrophages J774 a confirmé cette analyse. En effet, un mutant mgtC a une survie intracellulaire diminuée, il est atténué dans ce modèle. De plus, on peut distinguer deux temps lors de l'infection. Un temps précoce (entre 5 et 8 h post-infection) où la survie intracellulaire du mutant diminue considérablement. Suivi d'un temps plus tardif (entre 8 et 24 h post-infection) où la charge bactérienne reste stable (Grabenstein et al., 2006). De plus, la protéine MgtC de Y. pestis est capable de complémenter un mutant mgtC de S. Typhimurium dans les macrophages (Rang et al., 2007).

2.6.1.5 Mycobacterium tuberculosis

M. tuberculosis, agent responsable de la tuberculose est un pathogène très différent de S. enterica. Pourtant, ces deux micro-organismes partagent une stratégie équivalente de survie intraphagosomale. Dans un modèle d'infection cellulaire de macrophages humains issus de monocytes, le mutant mgtC est atténué. La complémentation restaure la fonction. Le gène mgtC est donc nécessaire pour la croissance de M. tuberculosis dans ce modèle (Buchmeier

et al., 2000). De plus, l'expression hétérologue de la protéine MgtC de M. tuberculosis dans un mutant mgtC de S. Typhimurium complémente très partiellement le phénotype dans les macrophages (Alix et al., 2006). Des expériences ont également été menées dans un modèle in vivo de souris BALB/c. L'analyse de la charge bactérienne des poumons et de la rate des animaux au cours du temps a montré que le mutant mgtC était également atténué dans ce modèle. Cela démontre que MgtC est nécessaire pour la croissance de M. tuberculosis dans un modèle d'infection in vivo (Buchmeier et al., 2000).

2.6.1.6 Pseudomonas aeruginosa

Bien que *P. aeruginosa* soit un pathogène extracellulaire, il possède deux homologues MgtC, tout deux appartenant au groupe 1 de l'arbre phylogénétique représenté par la figure 4 (Blanc-Potard and Lafay, 2003). Ces résultats suggèrent une fonction potentielle commune avec les protéines des pathogènes intracellulaires appartenant au même groupe phylogénétique. Pourtant, l'un des rôles majeurs de ce facteur de virulence est son importance dans la survie intramacrophagique (voir ci-dessus). En dépit du fait que *P. aeruginosa* soit un pathogène extracellulaire, une étape intracellulaire dans les cellules épithéliales des voies aériennes pourrait avoir lieu avant la formation de biofilms lors de la phase aigüe de l'infection (Garcia-Medina et al., 2005; Sana et al., 2012). Des expériences de complémentation hétérologues ont été réalisées avec les deux gènes *mgtC* de *P. aeruginosa* (*PA4635* et *PA2558*) dans un mutant *mgtC* de *S.* Typhimurium. Aucun des 2 gènes ne complémentent le phénotype dans les macrophages. Cependant, la mutation d'un seul résidu de *PA4635* (E112N) a permis une augmentation significative de la capacité de la protéine mutée à complémenter le mutant *mgtC* de *S.* Typhimurium dans les macrophages (Rang et al., 2007).

2.6.2 Rôle de MgtC dans la croissance en milieu carencé en magnésium

Le tableau 1 fournit un récapitulatif du rôle MgtC dans la croissance en milieu carencé en magnésium des différents pathogènes décrit ci-après.

2.6.2.1 Importance du magnésium dans les systèmes biologiques

Le magnésium est un élément indispensable à tous les systèmes biologiques. Au niveau cellulaire, il est présent sous forme de cation Mg²⁺. Cet ion est particulièrement abondant dans les cellules. Sa concentration intracellulaire sous forme libre a été évaluée à 0,9 mM chez S. Typhimurium (Froschauer et al., 2004). Il est impliqué comme cofacteur de nombreuses réactions enzymatiques. Il a également un rôle essentiel dans l'activité biologique de l'ATP puisque l'ATP doit être couplé au magnésium pour être active. De plus, les ions Mg²⁺ permettent de stabiliser l'ADN et l'ARN ou encore de maintenir l'intégrité des membranes cellulaires chargées négativement.

2.6.2.2 Chez S. Typhimurium

Le gène *mgtC* étant en opéron avec *mgtB* qui code pour un transporteur de magnésium, les études ont donc cherché à établir un lien entre MgtC et le magnésium.

Une première étude a montré que l'opéron mgtCB était nécessaire pour une croissance optimale en milieu carencé en magnésium (Soncini et al., 1996). Par la suite, il a été montré que MgtC avait par lui-même un rôle dans la croissance en milieu carencé en magnésium (Blanc-Potard and Groisman, 1997; Moncrief and Maguire, 1998; Rang et al., 2007). Un mutant mgtC présente une croissance très diminuée en condition de carence en Mg^{2+} alors que la complémentation restaure le phénotype observé avec la souche sauvage. De la même manière que pour la survie dans les macrophages, des mutagénèses ont été réalisées sur les résidus N92, C99, C155 et W226. Les protéines mutées ont alors été testées pour la complémentation du mutant mgtC en condition de carence en Mg^{2+} . Les résultats indiquent que les résidus N92, C155 et W226 sont essentiels à la croissance dans un milieu carencé en Mg^{2+} (Rang et al., 2007).

2.6.2.3 Chez les autres pathogènes

Le rôle de MgtC dans la croissance en milieu carencé en magnésium a également été étudié chez d'autres pathogènes. Les mutants mgtC de ces pathogènes sont déficients pour une croissance dans des milieux liquides à faibles concentrations en Mg²+ (10 à 20 µM). Le défaut de croissance est accentué avec la diminution de la concentration en Mg²+. Ces souches présentent une croissance normale dans des milieux avec une concentration forte en Mg²+ (10 mM) (Alix and Blanc-Potard, 2007). De plus, les protéines MgtC de Y. pestis, de P. aeruginosa et de M. tuberculosis ont été exprimées dans le mutant mgtC de S. Typhimurium pour évaluer si le phénotype était restauré lors de ces complémentations hétérologues (Alix et al., 2006; Rang et al., 2007). Alors que les protéines MgtC de Y. pestis et de M. tuberculosis complémentent le mutant mgtC de S. Typhimurium, seule l'une des deux protéines MgtC de P. aeruginosa (PA4635) restaure le phénotype. La fonction de MgtC vis-à-vis de la croissance en milieu carencé en magnésium est donc conservée pour la majorité des différentes espèces bactériennes pathogènes (Rang et al., 2007).

2.6.2.4 Fonction de MgtC et magnésium

Le parallèle entre le défaut de croissance des mutants mgtC dans les macrophages et dans les milieux carencés en Mg^{2+} a naturellement suggéré que l'environnement faiblement concentré en Mg^{2+} des macrophages était responsable du défaut de réplication des mutants mgtC. En accord avec cette hypothèse, l'addition de Mg^{2+} au milieu de culture cellulaire restaure partiellement le défaut de croissance des mutants mgtC de S. Typhimurium et B. Suis dans les macrophages (Blanc-Potard and Groisman, 1997; Lavigne et al., 2005). Cependant, une étude a révélé que les 2 fonctions (survie intramacrophagique et croissance en milieu carencé en Mg^{2+}) pouvaient être dissociées (Rang et al., 2007). En effet,

la protéine MgtC de *P. aeruginosa* complémente le mutant *mgtC* de *S.* Typhimurium en milieu carencé en Mg²⁺ mais pas dans les macrophages. D'autre part, une mutagénèse du gène *mgtC* de *Salmonella* a permis de caractériser des mutants MgtC à la position C99 qui empêchent le rôle de MgtC dans les macrophages sans affecter son rôle en culture de faible concentration en Mg²⁺. À l'inverse, un mutant MgtC W226A présente un défaut de croissance en milieu faiblement concentré en Mg²⁺ alors que sa fonction dans les macrophages reste intacte. Tous ces résultats convergent vers l'hypothèse que le phagosome n'est pas nécessairement carencé en Mg²⁺. Ceci est corroboré par des mesures directes de la concentration en Mg²⁺ dans le phagosome faites à un temps précoce d'infection (Martin-Orozco et al., 2006). Enfin, l'étude structurale menée sur le domaine C-terminal de MgtC de *M. tuberculosis* indique que la protéine n'aurait pas de fonction intrinsèque liée à la prise en charge du Mg²⁺ mais aurait un rôle régulateur indirect dans la prise en charge de ce cation (Yang et al., 2012b).

Pathogènes	Complémentation du mutant <i>mgtC</i> de S. Typhimurium ^a	Survie intra- macrophagique (ex vivo) ^b	Modèle animal (in vivo)°	Défaut de croissance en milieu de culture de concentration faible en Mg2+ (in vitro) ^d	Références
Salmonella enterica sérovar Typhimurium	ex vivo: oui in vitro: oui	Déficient	Souris (mortalité et survie à long terme)	< 50 μM	(Blanc-Potard and Groisman, 1997; Lawley et al., 2006; Rang et al., 2007)
Salmonella enterica sérovar Typhi	ND	Déficient	ND	10 µM	(Retamal et al., 2009)
Burkholderia cenocepacia	ND	Déficient	Rat (CFU poumons)	< 45 μM	(Hunt et al., 2004; Maloney and Valvano, 2006)
Brucella suis	ND	Déficient	ND	< 60 µM	(Lavigne et al., 2005)
Yersinia pestis	ex vivo: oui in vitro: oui	Déficient	ND	ND	(Grabenstein et al., 2006; Rang et al., 2007)
Mycobacterium tuberculosis	ex vivo: partiel in vitro: partiel	Déficient	Souris (CFU poumons et rate)	< 50 µM	(Alix et al., 2006; Buchmeier et al., 2000)
Pseudomonas aeruginosa	ex vivo: non in vitro: oui	ND	ND	ND	(Rang et al., 2007)

Tableau 1 – Tableau récapitulatif des phénotypes de mutants mgtC chez différents pathogènes (adapté de (Alix and Blanc-Potard, 2007)). ^aLe mutant mgtC de S. Typhimurium est complémenté avec les protéines MgtC des pathogènes indiqués qui restaure ou non les fonctions de survie intramacrophagique ($ex\ vivo$) et de croissance en milieu carencé en Mg^{2+} ($in\ vitro$). Les expériences pour la survie intramacrophagique ont été menées dans des macrophages dérivés de souris J774 (Alix et al., 2006; Rang et al., 2007). ^bLes mutants mgtC sont déficients pour la survie intramacrophagique. Les expériences ont été menées dans des macrophages dérivés de souris J774 (Alix et al., 2006; Blanc-Potard and Groisman, 1997; Grabenstein et al., 2006; Lavigne et al., 2005; Rang et al., 2007) et RAW 264.7 (Maloney and Valvano, 2006) ou dans des monocytes humains (Buchmeier et al., 2000; Retamal et al., 2009). ^cLes mutants mgtC sont déficients pour une infection dans le modèle animal indiqué. ^dLes mutants mgtC sont déficients pour la croissance aux concentration en Mg^{2+} indiquées. Le défaut de croissance est accentué au fur et à mesure de la diminution de la concentration en Mg^{2+}

2.6.3 Rôle de MgtC et ATP

Les pathogènes intracellulaires utilisent différentes stratégies pour survivre dans l'environnement acide des phagosomes notamment en sécrétant des facteurs de virulence qui ciblent l'ATPase vacuolaire de l'hôte et ainsi résister à l'acidité du phagosome. C'est le cas de Legionella pneumophila (Xu et al., 2010). M. tuberculosis affecte également l'ATPase vacuolaire de l'hôte pour inhiber l'acidification du phagosome (Wong et al., 2011). Chez Salmonella, l'expression de mgtC est modifiée en réponse aux changements du niveau d'ATP cytosolique et cette modification est nécessaire à la virulence du pathogène (Lee and Groisman, 2012). C'est dans ce contexte qu'une étude s'est intéressée à la F₁F₀ ATP synthase (Lee et al., 2013a).

2.6.3.1 La F₁F₀ ATP synthase

La F₁F₀ ATP synthase est responsable de la production d'ATP pour l'homéostasie énergétique de différentes espèces (Andries et al., 2005). Ce complexe couple la translocation de protons avec la synthèse/hydrolyse de l'ATP. Un complexe fonctionnel est critique pour les pathogènes intracellulaires qui demeurent dans un compartiment acide limité par une membrane. L'inactivation de l'atpB, le gène codant pour la sous-unité F₀ a de la F₁F₀ ATP synthase atténue la virulence de *Salmonella* chez la souris et le poulet (Turner et al., 2003).

2.6.3.2 Mécanisme d'action de MgtC

La protéine MgtC de M. tuberculosis ne possède pas de fonction intrinsèque liée à la prise en charge ou à la liaison du Mg²⁺ mais pourrait agir en tant que facteur régulateur basé sur une interaction protéine-protéine pouvant être facilitée par son domaine ACT (Yang et al., 2012b). Récemment, il a été établi que le facteur de virulence MgtC avait pour cible la propre F₁F₀ ATP synthase de Salmonella et que cette interaction était critique dans la contribution de MgtC pour la pathogénicité de Salmonella (Lee et al., 2013a). MgtC se lie à la sous-unité Fo a de la F1Fo ATP synthase ce qui entraîne l'altération des capacités de la F1Fo ATP synthase et plus précisément ses capacités de translocation de protons et de couplage translocation de protons et synthèse d'ATP. Cela a pour conséquence que Salmonella est capable de maintenir son niveau d'ATP physiologique, son pH cytosolique et son potentiel de membrane. D'autre part, le résidu N92 de MgtC qui est essentiel aux fonctions de croissance en milieu carencé en Mg²⁺ mais aussi de survie dans les macrophages (Rang et al., 2007), a été identifié comme étant nécessaire à la liaison avec la F₁F₀ ATP synthase. La mutation de ce résidu entraîne la perte de l'interaction de la protéine mutée avec la F1F0 ATP synthase ainsi que l'inhibition de la translocation de protons et de l'hydrolyse de l'ATP (Lee et al., 2013a).

2.6.4 Hypothèse générale sur la fonction de MgtC

Le rôle de MgtC dans les macrophages n'est probablement pas le résultat de l'adaptation à une carence en Mg²⁺ puisqu'il a été montré que les deux fonctions étaient indépendantes l'une de l'autre (Rang et al., 2007).

On sait désormais que la protéine MgtC inhibe la propre F_1F_0 ATP synthase de *Salmonella* lui permettant de survivre dans les macrophages (Lee et al., 2013a).

La contribution de MgtC de Salmonella dans la survie intramacrophagique et la capacité du pathogène à causer une infection léthale chez la souris apparaissent être dépendantes de sa capacité à altérer l'activité de la F_1F_0 ATP synthase puisque le défaut de virulence d'un mutant de la sous-unité F_0 a est inchangé après inactivation du gène mgtC.

De plus, Il a été proposé que la protéine MgtC aurait une ou plusieurs autres cibles que la F₁F₀ ATP synthase car un mutant mgtC présente une hyperpolarisation de la membrane mais également parce que la surexpression du gène mgtC réduit très légèrement le niveau d'ATP chez un mutant atpB (Lee et al., 2013a).

Une étude plus ancienne avait suggéré que MgtC pourrait moduler l'activité d'une ATPase de type P eucaryote (Günzel et al., 2006). Pour cela, la protéine MgtC de S. Typhimurium a été exprimée de manière hétérologue dans des oocytes de Xenopus laevis. L'analyse électrophysiologique a démontré que l'expression de MgtC pouvait avoir un effet significatif sur l'homéostasie ionique cellulaire grâce à la modulation de l'activité d'une Na*K*-ATPase. Les auteurs font l'hypothèse que lors d'une infection, MgtC pourrait servir de sous-unité de la Na*K*-ATPase de la cellule hôte ou activer de manière directe ou indirecte l'ATPase de type P de l'hôte. Alix et Blanc-Potard, tout comme Lee et collaborateurs s'accordent à dire que cette hypothèse est difficilement envisageable notamment lors d'une infection, dans la mesure où MgtC est une protéine membranaire et qu'il faudrait que la protéine soit sécrétée, traverse le périplasme et la membrane externe de la bactérie pour aller s'insérer dans la membrane de l'hôte (Alix and Blanc-Potard, 2007; Lee et al., 2013a).

Par ailleurs, bien que MgtC ne soit pas directement un transporteur de Mg²⁺ (Günzel et al., 2006), la protéine pourrait agir en séquestrant et / ou en facilitant le transport de Mg²⁺, par des transporteurs spécifiques (Rang et al., 2007). Plus généralement, MgtC pourrait promouvoir l'activité d'ATPases de type P, tel que le transporteur de magnésium MgtB (Alix and Blanc-Potard, 2007). Cette hypothèse est soutenue par le fait que MgtB est retrouvé dans des expériences de pull-down visant à identifier les protéines interagissant avec MgtC (Lee et al., 2013a) (figure 13).

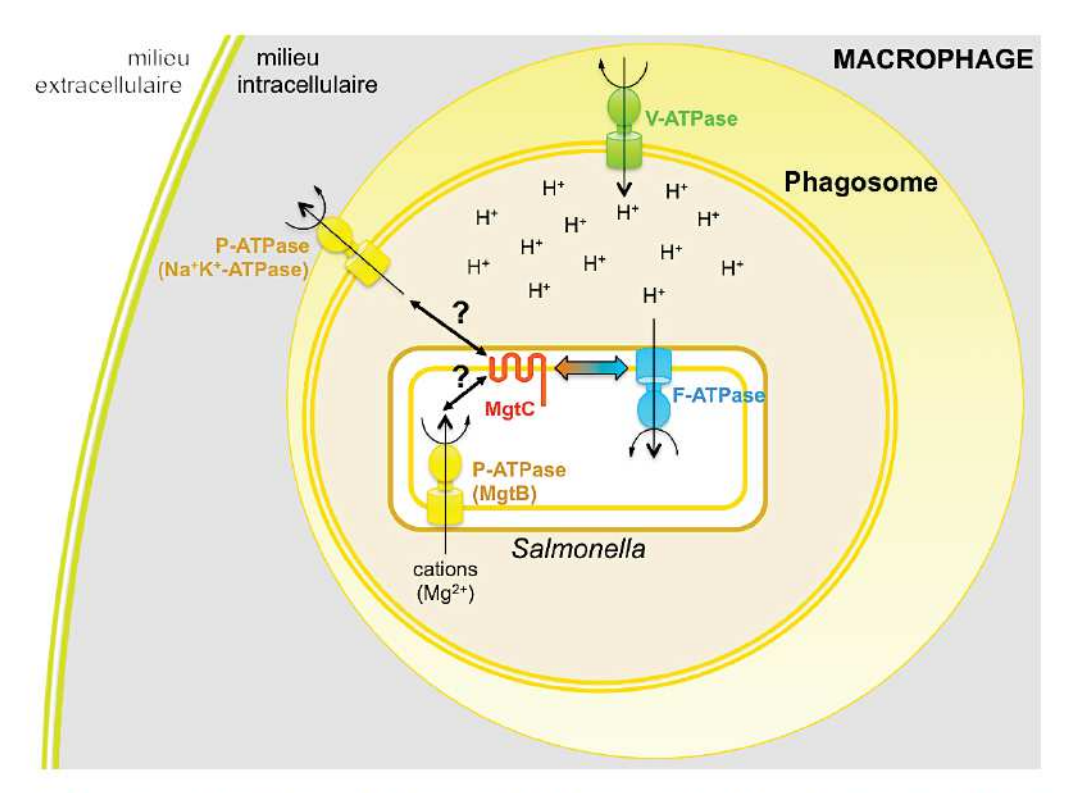


Figure 13 – Fonction de MgtC chez S. Typhimurium. Inhibition de la F₁F_o ATP synthase de *Salmonella* par interaction avec MgtC entraînant une diminution du niveau d'ATP intracellulaire augmenté par le pH acide du phagosome. MgtC pourrait agir sur d'autres cibles de manière directe ou indirecte telles que les ATPase de type P de l'hôte ou de la bactérie comme le transporteur de cations MgtB.

2.7 Régulation de MgtC

Salmonella met en oeuvre toute une variété de mécanismes pour réguler la production de MgtC dans des conditions particulières et pour un temps limité (figure 14).

2.7.1 Régulation transcriptionnelle et post-transcriptionnelle

2.7.1.1 Système régulateur PhoP-PhoQ et magnésium

a) Chez S. Typhimurium

Le système à deux composants PhoP-PhoQ contrôle l'expression de plusieurs facteurs de virulence chez S. Typhimurium (Miller et al., 1989). La protéine PhoQ est une kinase senseur qui répond à des changements environnementaux qui sont une faible concentration en Mg²⁺, la présence de peptides antimicrobiens, ou encore un pH acide (Bader et al., 2005; Prost et al., 2007). Lors de ces changements, elle phosphoryle la protéine PhoP qui va se lier à un grand nombre de promoteurs dont le promoteur mgtCBR et ainsi initier leur transcription. Concernant le magnésium, MgtC est très fortement induit par une faible concentration en Mg²⁺ (Véscovi et al., 1996). La fixation du cation à la partie cytoplasmique de PhoQ au niveau d'une région riche en résidus acides (Cho et al., 2006) provoque un changement de conformation de PhoQ (Véscovi et al., 1996, 1997) qui enclenche l'activité phosphatase de la kinase.

b) Chez les autres pathogènes

En-dehors de S. Typhimurium, la régulation de MgtC a peu été étudiée. Cependant, la régulation par PhoP, protéine du système à deux composants PhoP-PhoQ, a été mise en évidence pour S. Typhi et Y. pestis (Grabenstein et al., 2006; Retamal et al., 2009). De la même manière que pour S. Typhimurium, l'expression du gène mgtC de Y. pestis est fortement induite par une concentration faible en Mg²+ (Véscovi et al., 1996; Zhou et al., 2006). Chez M. tuberculosis, MgtC n'est pas régulé par ce qui est considéré comme PhoP. Et l'induction du gène mgtC de M. tuberculosis par une concentration faible en Mg²+ est de faible amplitude (1,8 fois) alors que les gènes situés en amont de mgtC (Rv1806 à Rv1810) sont clairement induits (Walters et al., 2006; Yang et al., 2012b). Cela est à mettre en relation avec le fait que l'amplitude de l'expression génique chez M. tuberculosis est de manière générale beaucoup moins forte que chez S. Typhimurium ou Y. pestis. Cela suggère que la régulation de mgtC aurait évolué différemment en fonction des espèces. Il a été proposé que mgtC pourrait être régulé par le magnésium seulement quand il est en opéron avec le gène codant pour le transporteur de magnésium, MgtB (Yang et al., 2012b).

2.7.1.2 ARN messager senseur d'ATP

Elle nécessite également un signal cytoplasmique détecté par l'ARN messager (ARNm) leader mgtCBR. Le pH acide produit aussi un gradient de protons à travers la membrane interne ce qui a pour effet d'augmenter le niveau d'ATP intracellulaire. Une petite ORF mgtM est sensible aux variations du niveau d'ATP. Les séquences adjacentes et incluant mgtM ont la capacité d'adopter deux structures tige-boucle A et B. Lorsque le niveau d'ATP est élevé la structure tige-boucle A permettra l'expression de l'opéron mgtCBR. Inversement lorsque le niveau d'ATP est faible, la structure tige-boucle B diminuera l'expression de l'opéron mgtCBR. Le mécanisme de régulation par un ARNm senseur d'ATP a donc été montré pour Salmonella mais les données évoquées pour d'autres pathogènes laissent penser qu'une telle régulation pourrait être mise en place chez d'autres pathogènes ayant des gènes mgtB et mgtC. Cela n'exclue pas le fait que l'on puisse retrouver ce type de régulation chez des pathogènes n'ayant pas d'homologue mgtB comme par exemple M. tuberculosis (Lee and Groisman, 2012).

2.7.1.3 ARN antisens: AmgR

Par ailleurs, la protéine PhoP est à l'origine de la transcription de l'ARN antisens AmgR qui dégrade préférentiellement la portion mgtC du transcrit mgtCBR. Le promoteur de amgR est localisé dans la région intergénique qui sépare les gènes mgtC et mgtB (Lee and Groisman, 2010).

2.7.2 Régulation post-traductionnelle: le peptide MgtR

En plus des régulations décrites précédemment, il existe un peptide MgtR qui favorise la dégradation de la protéine MgtC. L'opéron mgtCB décrit iniatialement est composé d'une séquence supplémentaire située en aval et codant pour le peptide transmembranaire MgtR pour former l'opéron mgtCBR. Le peptide a pour cible la protéine MgtC. Les deux protéines ont la capacité d'interagir directement l'une avec l'autre. La dégradation de MgtC est dépendante d'une protéase FtsH fonctionnelle. Le mécanisme précis de dégradation de MgtC par FtsH reste inconnu à ce jour. Cependant, il a été proposé que l'interaction entre MgtC et MgtR pourrait modifier la conformation de la protéine et en faire un substrat pour la dégradation via FtsH (Alix and Blanc-Potard, 2008). Le peptide MgtR fera l'objet d'une description détaillée dans le chapitre suivant.

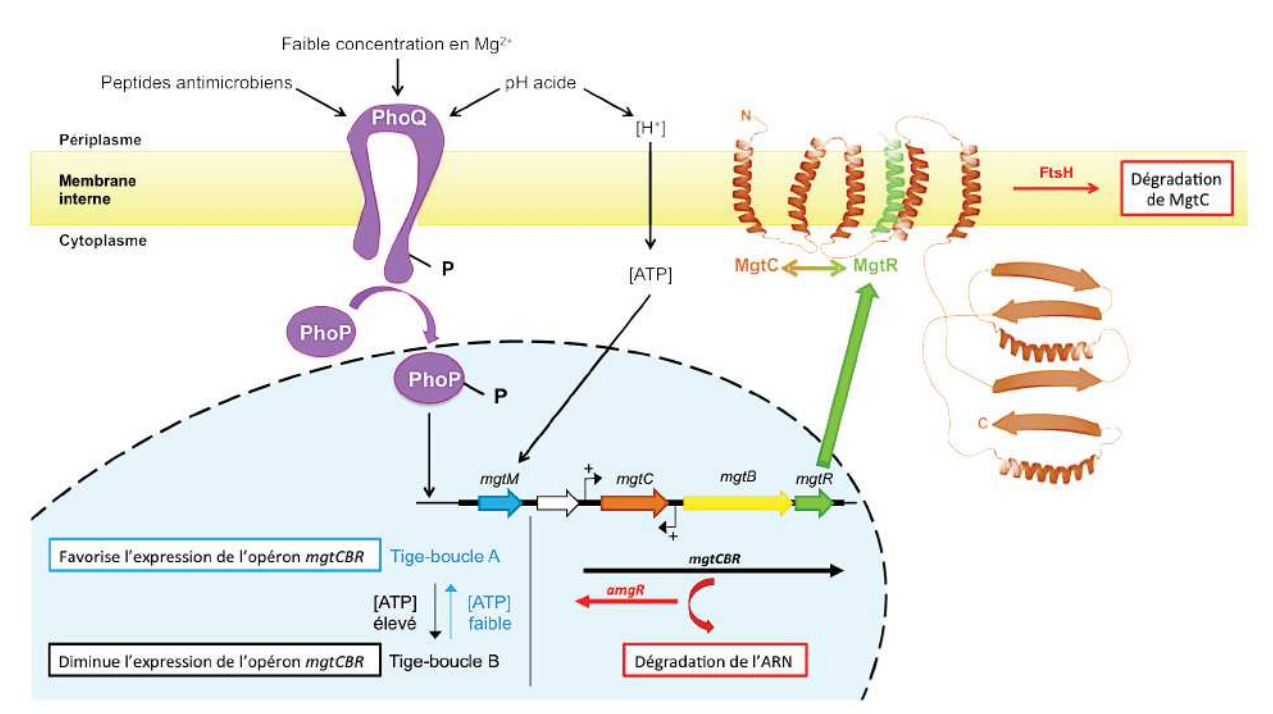


Figure 14 - Régulation de MgtC chez S. Typhimurium.

3 Les peptides régulateurs de la virulence bactérienne

Plusieurs classes de peptides fonctionnels et actifs ont été décrites chez les eucaryotes incluant les régulateurs de canaux ioniques, les chémoattracteurs, les hormones, les inhibiteurs de protéase, les cytotoxines et les antimicrobiens.

Chez les bactéries, alors que le rôle régulateur des petits ARNs non codants a largement été étudié au cours des dernières années (Waters and Storz, 2009), très peu d'études se sont penchées sur le rôle des petits ARNs codant pour des peptides.

Ces derniers se définissent par un cadre ouvert de lecture codant pour des protéines de moins de 50 acides aminés. Les quelques peptides fonctionnels qui ont été caractérisés sont principalement des peptides antimicrobiens ou des peptides signaux sécrétés. Pendant longtemps la bactérie à Gram positif *Bacillus subtilis* a été le principal modèle bactérien pour la caractérisation de peptides fonctionnels. Chez *B. subtilis*, les peptides jouent un rôle dans la sécrétion, la régulation cellulaire, les réponses au stress, le métabolisme, la traduction ou la sporulation (Zuber, 2001).

Dans la plupart des génomes, ces petites protéines ne sont pas annotées et ne sont pas détectées dans les études de protéomique. Une analyse génomique axée sur la recherche de petites séquences codantes chez les streptocoques a été nécessaire pour prédire l'existence de plusieurs peptides non annotés (Ibrahim et al., 2007). Dans le même contexte, malgré sa considérable utilisation comme modèle bactérien à Gram négatif, les gènes d'Escherichia coli codant pour de petites protéines ont largement été négligés jusqu'en 2008 où des recherches in silico menées sur son génome ont permis de révéler l'existence de peptides (Hemm et al., 2008). Des études chez E. coli et chez S. Typhimurium ont permis d'identifier de nouveaux peptides fonctionnels dont 50 % sont des peptides hydrophobes localisés au niveau de la membrane.

3.1 Les peptides fonctionnels membranaires

Ces peptides membranaires peuvent modifier l'activité et/ou la stabilité de protéines membranaires. Une interaction directe entre un peptide et une protéine membranaire pourrait induire des modifications structurales de la protéine ciblée et/ou entrer en compétition avec d'autres molécules. Certains sont régulés par des stress environnementaux et seraient impliqués dans l'adaptation à ces stress.

On distingue les peptides capables de réguler des protéines kinases senseurs (Lippa and Goulian, 2009), les peptides toxiques qui pourraient provoquer une déstabilisation membranaire et la mort cellulaire (Unoson and Wagner, 2008), les peptides qui pourraient moduler l'activité de transporteurs comme le transporteur KdpABC (Gaßel et al., 1999) ou encore les peptides qui modulent la dégradation de protéines membranaires comme le peptide régulateur MgtR (Alix and Blanc-Potard, 2008; Hemm et al., 2010; Hobbs et al., 2010) (figure 15).

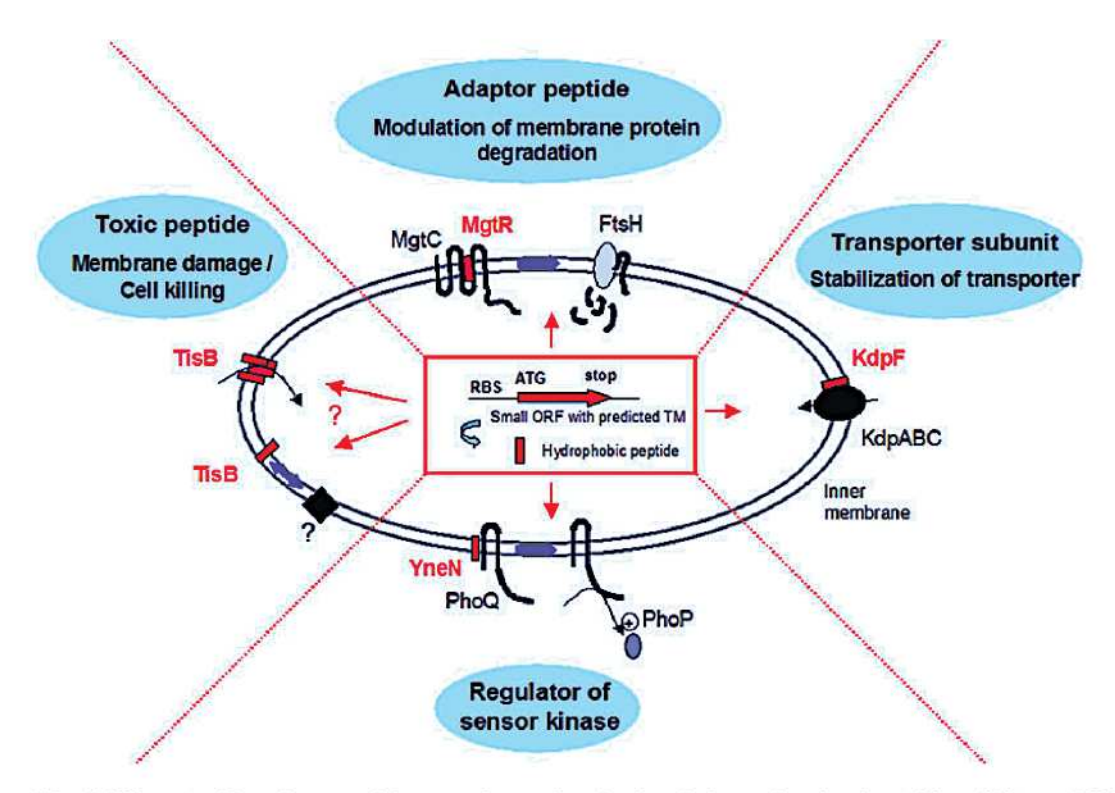


Figure 15 – Différents rôles des peptides membranaires hydrophobes chez les bactéries (Alix and Blanc-Potard, 2009).

Dans les paragraphes suivants je vais m'attarder sur les deux peptides auxquels je me suis intéressée dans le but d'évaluer leur capacité à moduler la virulence de bactéries pathogènes: MgtR, peptide régulateur de MgtC et KdpF.

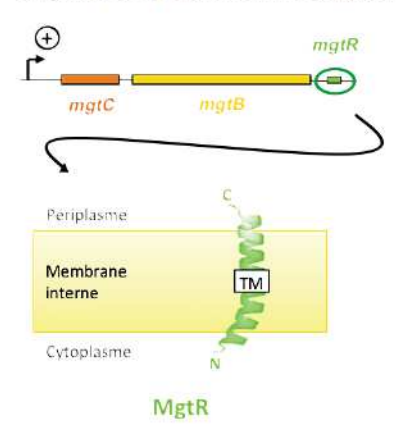
3.2 MgtR: peptide régulateur du facteur de virulence MgtC

3.2.1 Chez Salmonella Typhimurium

3.2.1.1 Découverte et caractérisation du peptide MgtR

Chez S. Typhimurium, le gène mgtC est co-transcrit avec mgtB qui code pour un transporteur de Mg^{2+} . Bien que l'expression de l'opéron mgtCB soit fortement induite dans un milieu carencé en magnésium, la protéine MgtC est difficilement détectable contrairement à la protéine MgtB. Cette régulation négative de MgtC est due à une région d'ADN située en aval du gène mgtB. Cette région code pour une petite ORF de 30 acides aminés appelée MgtR (Alix and Blanc-Potard, 2008). Le gène mgtR appartient à l'opéron mgtCB. MgtR est un peptide de la membrane interne de 3,5 kDA avec une courte extrêmité N-terminale cytoplasmique, une hélice α trans-membranaire hautement hydrophobe et une courte extrêmité C-terminale périplasmique (figure 16).

Figure 16 - Structure et expression de MgtR.



3.2.1.1 Mécanisme d'action de MgtR

a) Dégradation de MgtC par FstH

Chez les bactéries à Gram négatif, un petit nombre de protéases ATP-dépendantes (protéases AAA+) dégradent des protéines spécifiques, généralement par interaction directe avec la protéine substrat (Baker and Sauer, 2006). FtsH, la seule protéase AAA+ liée à la membrane chez Escherichia coli, joue un rôle important dans le contrôle qualité des protéines de membrane (Ito and Akiyama, 2005). Cette protéase reconnaît des séquences peptidiques déstructurées qui sont typiquement localisées aux extrêmités N- ou C-terminales de la protéine cible qu'elle dégrade ensuite progressivement. Des boucles internes contribuent également à la dégradation des substrats par la FstH et par d'autres protéases AAA+ (Datta et al., 2005; Hoskins and Wickner, 2006; Okuno et al., 2006). Chez S. Typhimurium, MgtR favorise la dégradation de MgtC par un mécanisme dépendant de la présence d'une FtsH fonctionnelle.

Le mécanisme précis reste inconnu mais le segment transmembranaire de MgtR interagit directement avec MgtC dans un système de double hybride bactérien (BACHT). L'hypothèse est que cette interaction pourrait déplier MgtC et en faire alors un substrat pour la dégradation par une FtsH (Alix and Blanc-Potard, 2008) (figure 17).

Fonctionnellement, MgtR ressemble aux protéines adaptatrices qui modulent l'activité des protéases AAA+ en favorisant ou en inhibant l'interaction entre des substrats spécifiques et des protéases AAA+ (Baker and Sauer, 2006; Dougan et al., 2002). La plupart des protéines adaptatrices interagissent directement avec le substrat en complexe avec la protéine AAA+ partenaire et modulent généralement la reconnaissance du substrat. Les adaptateurs sont souvent de petites protéines (100 à 200 résidus) codées par des gènes rarement cotranscrits avec les gènes codant pour leurs cibles. Aucune protéine adaptatrice avec des domaines transmembranaires n'a été identifiée à ce jour. MgtR diffère donc de ces adapteurs de par sa très petite taille (30 résidus), sa localisation membranaire et sa co-expression avec sa cible (Alix and Blanc-Potard, 2009).

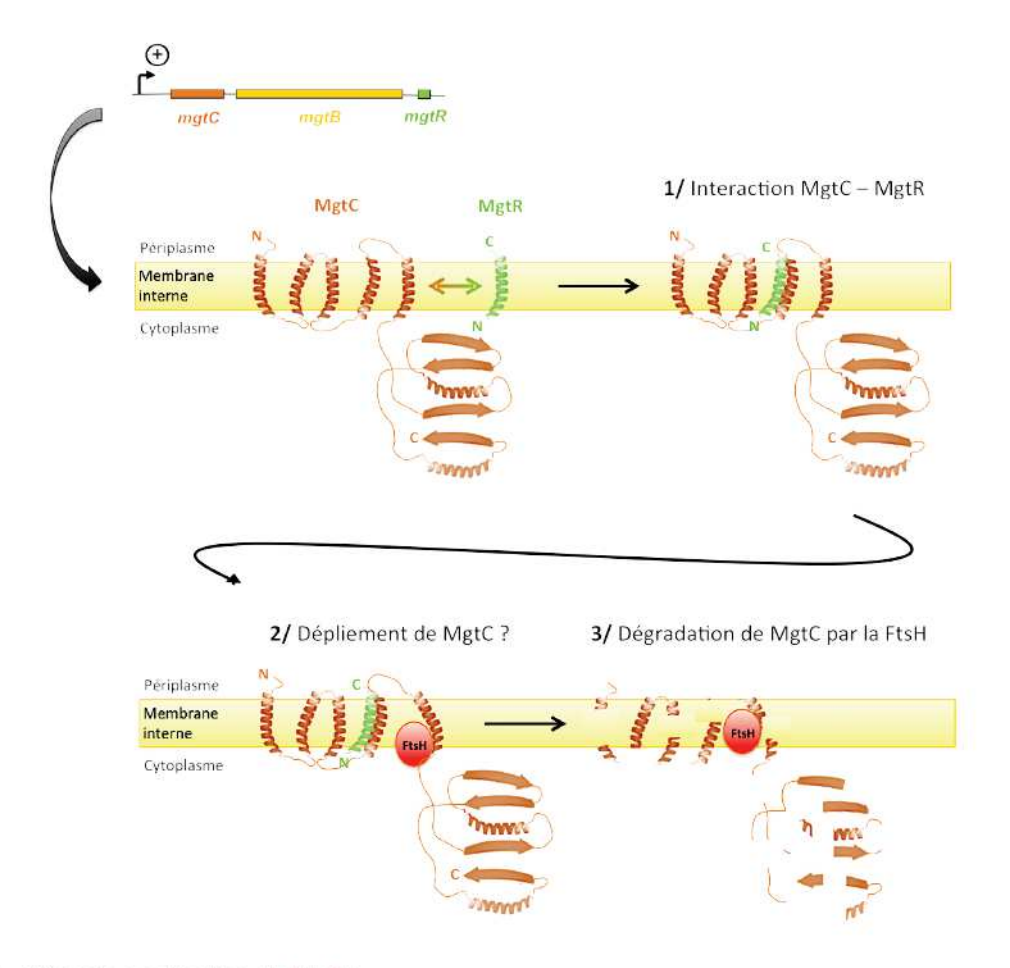


Figure 17 - Mécanisme d'action de MgtR.

b) Interaction MgtR - MgtC

Le système de BACHT a permis de démontrer que MgtR et MgtC interagissaient in vivo. La force de cette interaction est corrélée à la capacité de MgtR à médier la dégradation de MgtC. L'hydrophobicité et la structure en hélice α de MgtR sont importants pour sa fonction. L'interaction entre des hélices enchâssées dans la membrane reste difficile à prédire uniquement sur la base de la séquence en acides aminés. Cependant, certains motifs peuvent conduirent à des interactions hélice-hélice (Schneider et al., 2007).

MgtR possède un motif Ala-coil caractérisé par 3 petits résidus dans une répétition d'heptades. Ce motif est impliqué dans l'association d'hélices enchâssées dans la membrane (Walters and DeGrado, 2006). Le motif Ala-coil de MgtR semble essentiel pour l'interaction MgtC-MgtR et la dégradation de MgtC médié par MgtR. Dans MgtR, les mutations A10L, \$17I ou A24L n'empêchent pas l'expression ou la localisation à la membrane du peptide mais en revanche, abolissent complètement sa fonction de régulation et son interaction avec MgtC.

Des mutations dans MgtC ont également été identifiées empêchant sa régulation négative par MgtR et diminuant l'interaction MgtC – MgtR dans un système de BACHT. Ces mutations sont localisées dans la boucle cytoplasmique entre les 3ème et 4ème domaines transmembranaires (TM3 et TM4) de MgtC. Le contexte d'hélice transmembranaire est

essentiel pour sa correcte topologie et les boucles peuvent contribuer à la stabilité des interactions entre hélices (Schneider et al., 2007). Les mutations au niveau de la boucle pourraient donc perturber l'arrangement de l'hélice dans les TM3 et/ou TM4 et ainsi empêcher l'interaction avec MgtR. Par ailleurs, le TM4 de MgtC possède un motif Ala-coil. Cependant, les mutagénèses de simples résidus ne montre pas de contribution forte de ce motif dans l'interaction avec MgtR. Seule la mutation G108A a un effet mais qui n'est pas très prononcé. Le domaine d'interaction de MgtC serait complexe et impliquerait plus qu'un seul domaine TM (Alix and Blanc-Potard, 2008) (figure 18).

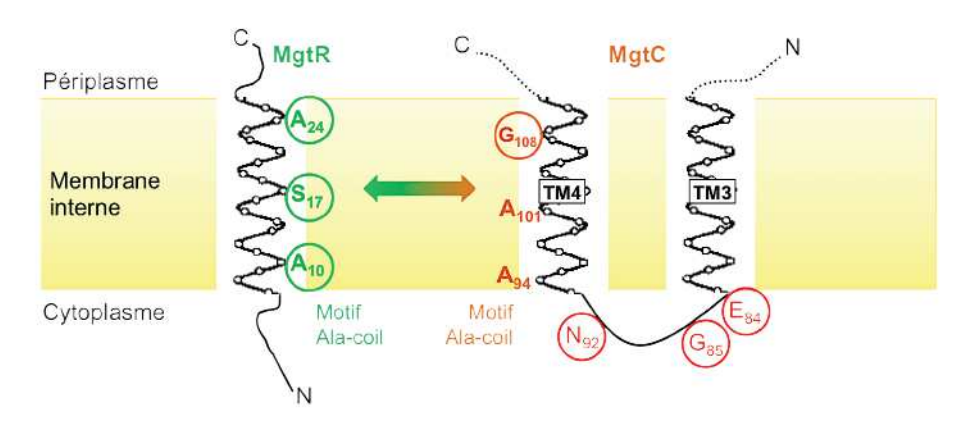


Figure 18 – Interaction MgtR – MgtC. Les résidus entourés en vert sur le peptide MgtR sont indispensables à l'interaction avec MgtC. La mutation des résidus entourés sur MgtC entraînent une diminution de l'interaction mais n'abolit pas cette interaction avec un effet mineur pour la mutation des résidus N92 et G108.

c) Autre cible de MgtR: le transporteur de magnésium MgtA

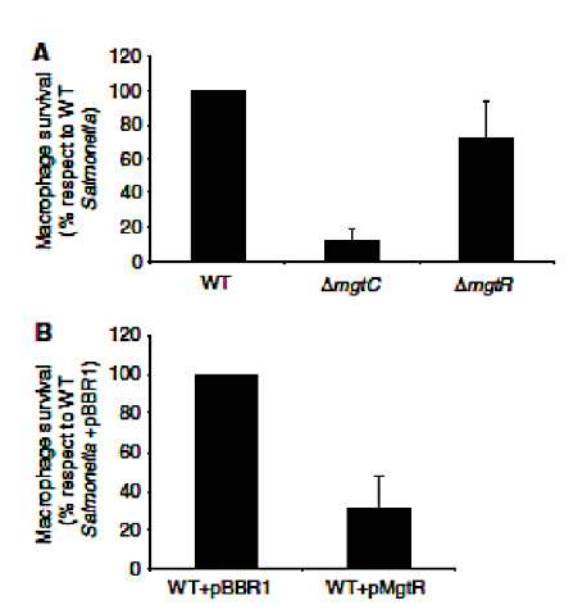
MgtA est l'un des trois transporteurs de magnésium identifié chez S. Typhimurium (Smith and Maguire, 1998). De la même manière que pour l'opéron mgtCBR, l'expression de MgtA est induite uniquement dans des conditions de carence en Mg^{2+} (Snavely et al., 1989, 1991). Récemment, une étude a montré que MgtA est également une protéine sous le contrôle direct du peptide MgtR. Le peptide limite le niveau de la protéine MgtA à de faibles concentrations en Mg^{2+} . L'expression de MgtA est augmentée dans une souche de Salmonella où le gène mgtR est délété, elle diminue dans une souche qui surexprime MgtR. Des expériences de BACHT ont révélé que MgtR se liait également à la protéine MgtA in vivo, sans affecter la transcription du gène mgtA. Le transporteur MgtA lié au peptide mgtR pourrait suivre une voie protéolytique similaire à celle proposée pour MgtC (Choi et al., 2012). En revanche, MgtR n'a aucun effet sur la stabilité du transporteur de magnésium MgtB (Alix and Blanc-Potard, 2008; Lee and Groisman, 2010).

3.2.1.2 Rôle physiologique de MgtR lors d'une infection: régulation de MgtC

Le fait que MgtC cible la F₁F₀ ATP synthase (Lee et al., 2013a) pourrait expliquer pourquoi Salmonella a développé des mécanismes variés pour restreindre la production de ce facteur de virulence à des conditions particulières et pour une période de temps limitée. La régulation négative par le peptide MgtR pourrait notamment être importante pour limiter la quantité de MgtC dans certaines conditions où le gène mgtC est fortement exprimé.

L'investigation du phénotype de croissance d'un mutant *mgtR* dans les macrophages a permis de mettre en évidence que MgtR n'avait pas un rôle majeur durant l'infection. Le mutant *mgtR* est très légèrement atténué pour la croissance intra-macrophagique. En revanche, la surexpression de MgtR dans une souche sauvage de S. Typhimurium réduit significativement la croissance intra-macrophagique de la souche. Cela pourrait être lié à un fort niveau de dégradation du facteur de virulence MgtC (figure 19) (Alix and Blanc-Potard, 2008).

Figure 19 – Rôle de MgtR chez S. Typhimurium dans la croissance intra-macrophagique (Alix and Blanc-Potard, 2008). La réplication des souches de Salmonella dans les macrophages J774 a été évaluée 18 h après infection. Les données représentent la moyenne des valeurs +SE d'au moins trois expériences indépendantes. (A) Analyse du mutant mgtR (ΔmgtR) en comparaison à une souche sauvage (WT) et un mutant mgtC (ΔmgtC). Les valeurs présentées sont un pourcentage relatif à la souche sauvage S. Typhimurium 14028s. (B) Analyse d'une souche sauvage de Salmonella qui surexprime MgtR (WT+pMgtR). Les valeurs présentées sont un pourcentage relatif à la souche sauvage S. Typhimurium 14028s avec le vecteur pBBR1MCS.



3.2.2 MgtR et autres pathogènes

MgtR est conservé chez plusieurs sérovars de *S. enterica* (*S.* Typhimurium, *S.* Typhi et *S.* choleraesuis) mais est absent d'autres espèces bactériennes qui codent pour MgtC (Alix and Blanc-Potard, 2008). Ainsi, bien que MgtC de *M. tuberculosis* soit hautement homologue à la protéine MgtC de *S.* Typhimurium, il ne semble pas exister chez *M. tuberculosis* d'homologue de MgtR. Cependant, il est possible que le peptide MgtR de *S.* Typhimurium puisse interagir avec la protéine MgtC de *M. tuberculosis* puisqu'une étude a démontré la formation d'un hétérodimère entre MgtR de *S.* Typhimurium et l'hélice transmembranaire 4 de MgtC de *M. tuberculosis* (Jean-Francois et al., 2014). À partir de contraintes expérimentales, un modèle structural de cet hétérodimère a été développé *in silico*. Même si l'étude est réalisée seulement avec le domaine TM4 isolé, d'après les auteurs, MgtR apparaît idéalement situé dans la membrane pour influencer la fonctionnalité de MgtC. Chez la protéine MgtC de *S.* Typhimurium, le résidu conservé C99 est critique pour la réplication intra-macrophagique (Rang et al., 2007). Le modèle structural obtenu suggère comment MgtR de *S.* Typhimurium pourrait interférer avec la fonctionnalité et l'activité de virulence au niveau du résidu équivalent (C98) de MgtC de *M. tuberculosis* (figure 20) (Jean-Francois et al., 2014).

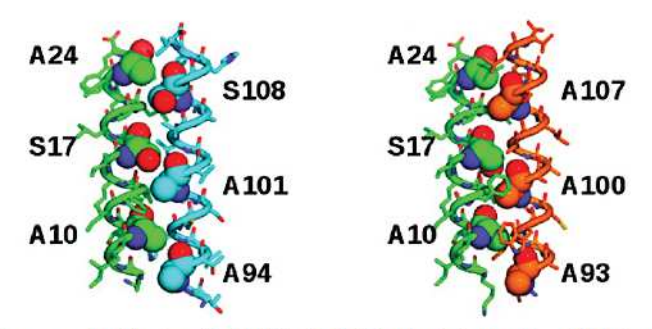


Figure 20 – Modèles structuraux du dimère MgtR/MgtC TM4 généré par RosettaDock (Jean-Francois et al., 2014). L'hélice verte est MgtR et les hélices bleues et oranges sont le domaine TM4 de MgtC respectivement dans les clusters majeurs et mineurs. Les résidus des motifs Ala-coil sont représentés par des sphères et leur position est indiquée en noir. Les autres résidus sont représentés par des bâtonnets.

3.3 Autre peptide régulateur de la virulence bactérienne: KdpF

Chez M. tuberculosis seulement deux peptides membranaires ont été identifiés dont KdpF (Gannoun-Zaki et al., 2013; Veyron-Churlet et al., 2011). C'est un peptide de 30 acides aminés qui a été utilisé pour établir les conditions d'une analyse structurale des domaines transmembranaires de M. tuberculosis (Hu et al., 2007).

Le gène kdpF est le premier gène de l'opéron kdpFABC. Le système Kdp a été très étudié chez E. coli. Il s'agit d'une ATPase de type P qui transporte les ions potassium (K+) avec une haute affinité (Greie, 2011; Greie and Altendorf, 2007). Chez E. coli le peptide KdpF a été proposé pour être une sous-unité impliquée dans la stabilisation du complexe KdpABC in vitro (Gaßel et al., 1999). Cependant, le rôle de KdpF in vivo reste évasif puisqu'il n'est pas essentiel pour la fonction du transporteur Kdp (Gaßel et al., 1999).

L'expression de l'opéron *kdpFABC* est dépendant de la concentration externe en K+ aussi bien chez *E. coli* que chez *M. tuberculosis* ou *S.* Typhimurium (Frymier et al., 1997; Greie, 2011; Greie and Altendorf, 2007; Hamann et al., 2008; Steyn et al., 2003).

L'opéron kdpFABC est régulé par le système à deux composants KdpDE lui-même codé par un opéron adjacent. Ce système semble jouer un rôle dans la virulence de plusieurs bactéries pathogènes (Freeman et al., 2013). Il a un rôle dans la pathogénicité de M. tuberculosis puisqu'une souche où les gènes kdpDE sont délétés, a une virulence augmentée (Parish et al., 2003). Chez Salmonella, le système à deux composants KdpDE joue aussi un rôle dans la pathogénicité. Une souche de S. Typhimurium où les gènes kdpDE sont délétés est atténuée dans le modèle nématode et présente une survie diminuée dans les macrophages (Alegado et al., 2011).

Par ailleurs, la surexpression de KdpF chez M. bovis BCG diminue la croissance intramacrophagique (figure 21) et altère la morphologie des cordes. Bien que le mécanisme soit inconnu, il pourrait être relié au fait que le peptide KdpF est capable d'interagir avec le senseur KdpD. Le mécanisme impliqué pourrait aussi être dû à l'interaction de KdpF avec d'autres protéines. KdpF est capable d'interagir avec MmpL7, une protéine de membrane qui a clairement été impliquée dans la virulence de *M. tuberculosis* (Cox et al., 1999; Domenech et al., 2005). Cette interaction pourrait entrainer une modification de la paroi cellulaire. Une interaction avec le complexe KdpABC pourrait quant à elle moduler le transport de K+ (figure 22) (Gannoun-Zaki et al., 2013). Par ailleurs, des données récentes suggèrent une sensibilité accrue au stress oxydatif (L. Gannoun). KdpF apparaît donc comme un peptide membranaire attractif puisqu'il présente des fonctions anti-virulence lors d'une surexpression chez les mycobactéries.

Figure 21 – Cinétique de croissance de *M. bovis* BCG surexprimant *kdpF* dans des macrophages murins BMDM (Gannoun-Zaki *et al.* 2013).

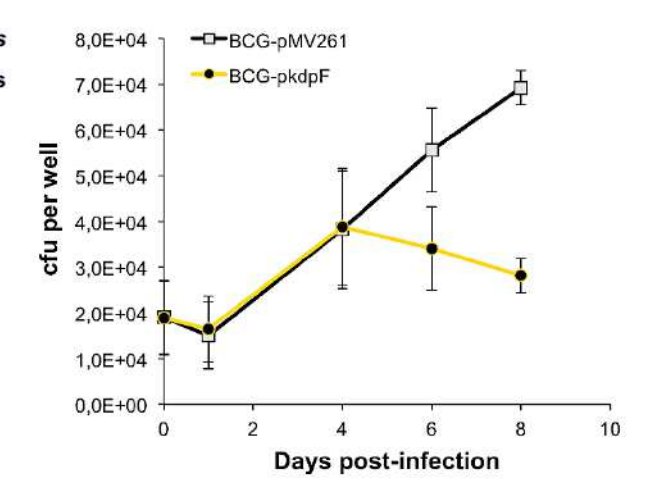
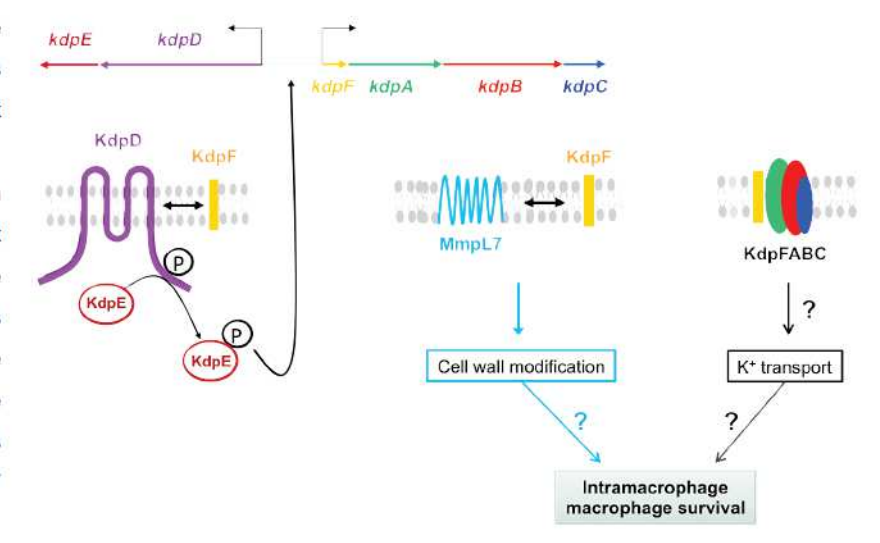


Figure 22 - Modulation de la virulence mycobactérienne par le peptide KdpF.

L'interaction observée entre KdpD et KdpF ne semble pas moduler significativement l'expression des gènes kdp. L'effet sur la multiplication intramacrophagique pourrait être due à la modulation de l'expression d'autres gènes régulés par le système KdpDE ou à l'interaction de KdpF avec d'autres protéines que KdpD tels que MmpL7 ou le complexe KdpFABC.



4 Les modèles d'infection

Face aux problèmes de santé publique évoqués dans le premier chapitre, mon travail s'est basé sur une nouvelle stratégie thérapeutique qui consiste à cibler un facteur de virulence. Je me suis donc intéressée à la fois à la cible (le facteur de virulence MgtC) et à une potentielle molécule thérapeutique (le peptide régulateur MgtR qui cible la protéine MgtC), mais plus précisément aux propriétés anti-virulence de MgtR.

L'étude de ces molécules nécessite l'utilisation de modèles d'infection aussi bien cellulaires qu'animaux. Ce chapitre est donc consacré à la description des modèles d'infection utilisés pendant la thèse.

4.1 Mycobactéries et cellules phagocytaires

Le système immunitaire chez l'homme et de manière plus générale, chez les vertébrés, est très complexe. On distingue l'immunité innée et l'immunité adaptative. Le système immunitaire inné permet à l'organisme de se défendre contre les agents infectieux de manière rapide et non spécifique, à l'inverse du système immunitaire adaptatif qui confère une protection plus tardive mais plus durable et spécifique. Nous allons nous intéresser aux cellules phagocytaires qui font parties de l'immunité innée et plus particulièrement aux macrophages et aux polynucléaires neutrophiles plus couramment appelés neutrophiles. Ces leucocytes ont la particularité de ne pas être associés à un organe ou un tissu particulier. Ils peuvent se déplacer librement dans l'organisme et ont la capacité d'éliminer les corps étrangers de l'organisme grâce à de nombreux mécanismes.

4.1.1 Macrophages

Les macrophages représentent la niche principale parmi les cellules hôtes pour la croissance et la survie de *M. tuberculosis*. À travers l'expression de nombreux récepteurs de la surface cellulaire, le macrophage reconnaît, lie et internalise les particules étrangères, incluant les mycobactéries. Cela initie un processus complexe de contrôle de la croissance intracellulaire des bactéries via une cascade de signaux qui résultent de la libération de médiateurs antimicrobiens et de médiateurs de l'immunité innée (Kaisho and Akira, 2000).

4.1.1.1 Phagocytose normale et devenir du phagosome

Lors d'une phagocytose normale les mouvements de la membrane associés à l'actine permettent d'ingérer les bactéries via des récepteurs. Les vacuoles intracellulaires ainsi formées et appelées phagosomes subissent une série d'évènements de fission et de fusion qui modifient la composition de leur membrane limitante et de leur contenu par un processus qui ressemble à la progression de la voie d'endocytose et qui est étroitement lié à cette voie. Ce processus constitue la maturation du phagosome et permet à la vacuole d'acquérir des propriétés de dégradation et donc de développer sa fonction microbicide (Berón et al., 1995; Tjelle et al., 2000) (figure 23).

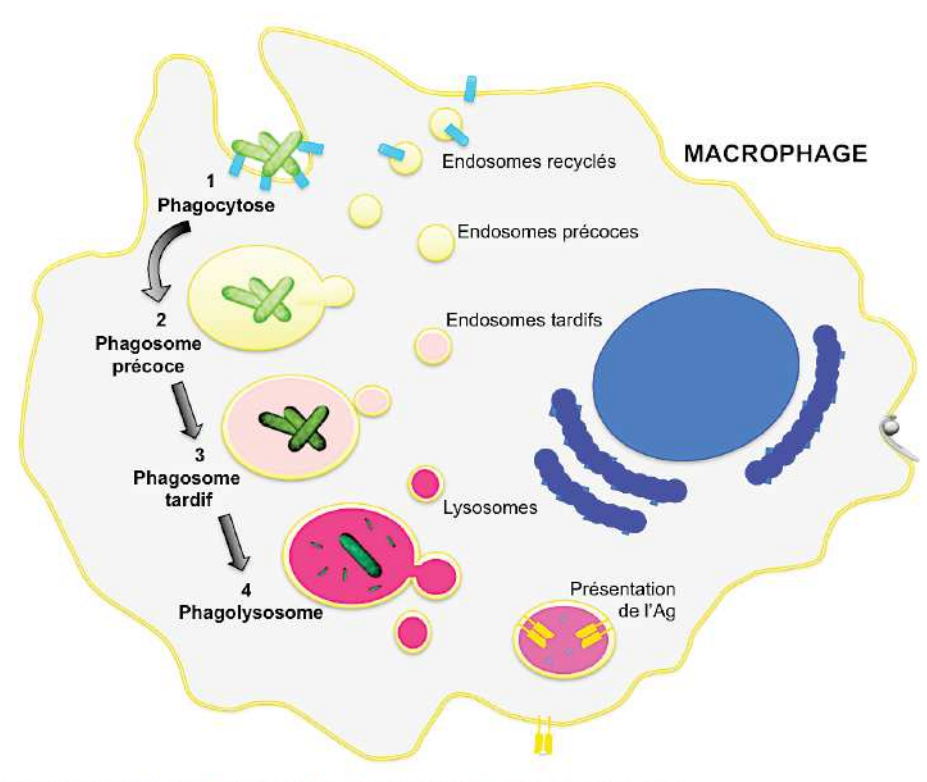


Figure 23 - Représentation schématique de la maturation du phagosome.

La phagocytose est typiquement définie par la prise en charge de particules de plus de 0,5 αm (Chen et al., 1997). Elle est initiée via l'implication de récepteur ou via des ligands microbiens ou des ligands de l'hôte déposés à la surface du pathogène. Il existe deux types de récepteurs PRRs (pattern-recognition receptors) à la surface du macrophage. Lorsque les PRRs reconnaissent des molécules PAMPs (Pathogen-Associated Molecular Patterns) à la surface des micro-organismes, ils sont dits non-opsoniques. Lorsqu'ils reconnaissent des molécules de l'hôte déposées à la surface des micro-organismes, ils sont dits opsoniques. Ce type de récepteur comprend notamment le CR3 (complement receptor 3) qui reconnaît les particules opsonisées par le complément C3bi mais aussi le FcγR qui reconnaît les particules opsonisées par les IgG (Flannagan et al., 2012; Vieira et al., 2002).

Une fois internalisé le contenu du phagosome doit être digéré. Pour les phagocytes présentateurs de l'antigène (macrophages et cellules dendritiques) les antigènes dérivent de la dégradation des micro-organismes qui sont présentées dans un second temps à la surface du phagocyte. Pour achever cette dégradation, les phagosomes passent par une série d'étapes de maturation en interagissant avec les endosomes précoces, tardifs puis les lysosomes. Ces interactions permettent au phagosome d'acquérir de nouvelles molécules mais également de perdre des molécules devenues inutiles via le tri et le recyclage des endosomes créant ainsi une dynamique de la membrane du phagosome (Kinchen and Ravichandran, 2008).

Le phagosome précoce perd rapidement la membrane plasmique. Il interagit avec les endosomes précoces et recyclés. Ces interactions permettent notamment le recrutement de la GTPase Rab5 à la membrane du phagosome. Ainsi un certain nombre de marqueurs

spécifiques des endosomes précoces (EEA1, Rab5) vont être transférés au phagosome précoce. Dix à trente minutes après sa formation, le phagosome perd les caractéristiques des endosomes précoces et recrute les marqueurs des endosomes tardifs (Rab7, récepteur mannose-6-phosphate) (Pitt et al., 1992). Le pH interne s'est acidifié autour de 5,5. On parle alors de phagosome tardif. Le phagolysosome est finalement formé quand les phagosomes tardifs fusionnent avec les lysosomes qui sont remplis d'hydrolases (nucléases, lipases, glycosidases, protéases et cathepsines). Le pH interne devient alors très acide (pH \approx 4,5). Les lysosomes amènent aussi les protéines membranaires LAMP et l'ATPase de type V. Cette dernière est une pompe à protons qui concoure à l'acidification du contenu phagolysosomal. Enfin, les phagolysosomes peuvent éventuellement fusionner avec des vésicules du Golgi portant le CMH-II pour permettre la présentation des peptides antigéniques formés (Smith and May, 2013).

4.1.1.2 Principaux mécanismes de défense de l'hôte contre les bactéries

On distingue deux types de systèmes antimicrobiens chez le macrophage. Les systèmes dépendants de l'oxygène qui impliquent la production d'espèces réactives de l'oxygène et du nitrogène [1]. Il existe ensuite des systèmes indépendants de l'oxygène qui sont aussi multifactoriels et qui peuvent impliquer la privation d'éléments nutritifs [2], l'acidification de la vacuole phagolysosomale [3], la production de défensines et d'autres peptides antimicrobiens [4] et l'action d'enzymes hydrolytiques lysosomales [5] (figure 24).

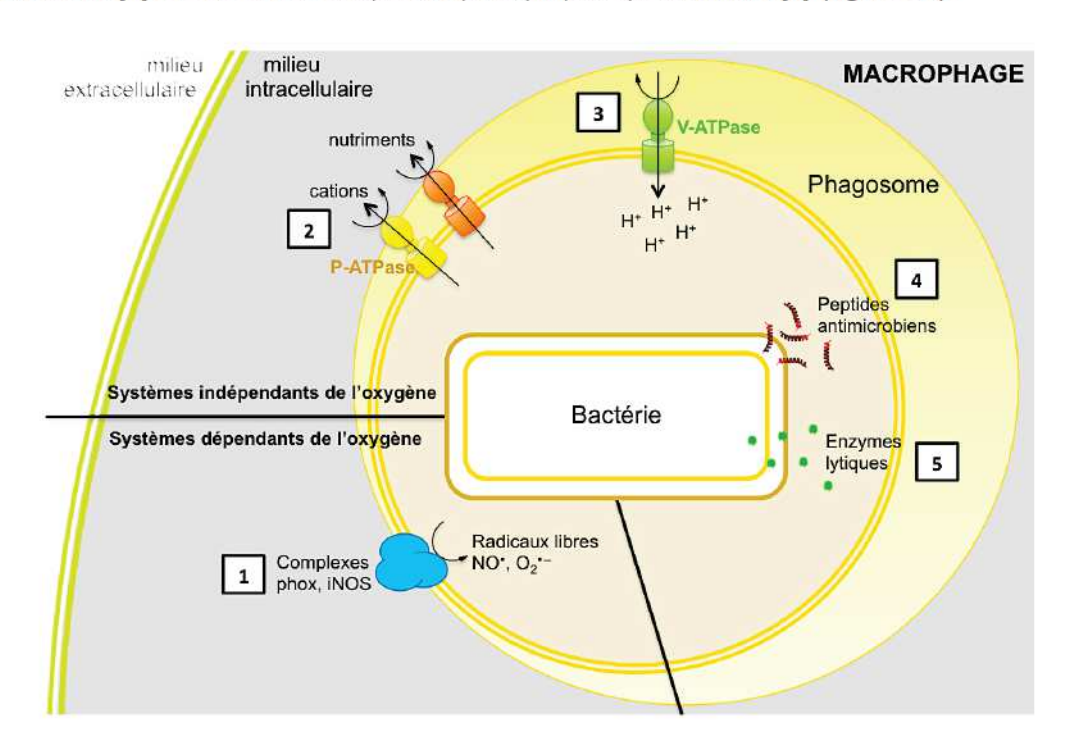


Figure 24 - Systèmes antimicrobiens des macrophages.

a) Production de radicaux libres

Les plus importants systèmes antimicrobiens des cellules phagocytaires sont les voies de la NADPH phagocyte oxydase (phox) et de l'oxyde nitrique synthase inductible (iNOS) qui sont responsables de la génération des radicaux superoxyde (O2⁻¹) et oxyde nitrique (NO¹), respectivement. Bien que ces systèmes dépendent tout les deux de la NADPH et de l'oxygène et fonctionnent parfois ensemble, la phox et l'iNOS sont des complexes enzymatiques séparés avec une régulation indépendante. Le radical superoxyde O2⁻¹ est rapidement converti en peroxyde d'hydrogène (H2O2) et autres espèces réactives de l'oxygène (ROS) essentiels pour la fonction microbicide du phagocyte (Fang, 2004; Nunes et al., 2013). Les sous-unités de phox sont régulées notamment par l'action de cytokines inflammatoires (TNF-α, IFN-γ, GM-CSF) et de produits bactériens comme le LPS sur leurs transcriptions ou leurs activations (Fang, 2004). Le radical oxyde nitrique (NO¹) peut inhiber la réplication de l'ADN bactérien (Schapiro et al., 2003). L'activation de la transcription de iNOS est l'aboutissement d'une cascade de réaction déclenchée par la détection de facteurs microbiens et de cytokines (TNF-α, IFN-γ, IL-1β) par les récepteurs du macrophage (Fang, 2004; Mattila and Thomas, 2014).

b) Privation d'éléments nutritifs ou excès de métaux toxiques

Un autre système antimicrobien consiste à réduire l'accès des pathogènes aux éléments nutritifs importants à travers une isolation spatiale et des mécanismes moléculaires actifs de privation de nutriments. Ainsi, le fer et le manganèse sont activement exclus du phagosome par l'action d'un transporteur de métaux Nramp1 (Natural Resistance-Associated Membrane Protein) également connu sous le nom de SLC11A1 (Fortier et al., 2005). L'exclusion du fer et du manganèse de la lumière phagosomale par Nramp1 a longtemps été considérée comme un système modèle pour la métallobiologie de l'immunité antimicrobienne. En revanche, le rôle des autres nutriments, incluant les ions métalliques tels que le cuivre et le zinc, bien que reconnu importants pour l'immunité (Maggini et al., 2007; Solomons, 2007), est resté opaque dans le contexte des interactions hôte-pathogène. Cependant, des études récentes fournissent un certain nombre d'évidences argumentant pour l'utilisation de nutriments métalliques par les cellules immunitaires afin d'empoisonner les pathogènes invasifs (Botella et al., 2012; Russell, 2011; Shafeeg et al., 2011). Concernant le magnésium, comme indiqué précédemment, des mesures directes ont révélé que sa concentration était stable dans les phagosomes à un temps précoce (environ 1 mM) (Martin-Orozco et al., 2006). Par ailleurs, des études ont montré une carence en d'autres nutriments indispensables à la multiplication bactérienne. Il s'agit des acides aminés, pyrimidines, purines et vitamines (Appelberg, 2006; Kohler et al., 2002).

c) Baisse du pH intravacuolaire

La capacité d'acidifier son contenu est fondamentale pour la physiologie du phagosome. Pour affecter directement la croissance bactérienne l'acidification augmente l'efficacité des autres composants microbicides. Par exemple, de nombreuses enzymes hydrolytiques sont pH sensibles et requièrent des conditions acides pour une activité optimale. La translocation de protons permet également la persistance de l'activité de la phox et fournit un substrat pour la génération des ROS dans la vacuole phagocytaire (Fialkow et al., L'acidification du phagosome peut aussi directement contribuer au processus de maturation en régulant les évènements de traffic membranaire (Steinberg et al., 2007). Initialement, le milieu intravacuolaire est légèrement alcalin. Puis il subit une acidification graduelle, typiquement jusqu'à des valeurs de pH inférieures à 5,5 (Jankowski and Grinstein, 2002; Lukacs et al., 1991). Le degré d'acidification peut cependant varier entre neutrophiles et macrophages. Les phagosomes de macrophages affichent une acidification forte et rapide tandis que les phagosomes de neutrophiles initialement alcalins présentent par la suite une acidification modérée (Jankowski et al., 2002). Les taux variables de consommation de protons par la phox justifieraient la disparité du pH entre les types cellulaires (Steinberg et al., 2007). Par ailleurs, ce processus d'acidification est dépendant d'une ATPase vacuolaire (V-ATPase) (Lukacs et al., 1990), un complexe enzymatique multimérique associé à la membrane phagosomale. Cette V-ATPase est une pompe active qui transforme l'énergie de l'hydrolyse de l'ATP en un mouvement de protons à travers la membrane du phagosome (Steinberg et al., 2007). Elle peut être spécifiquement inhibée par une bafilomycine A1, ce qui aura pour conséquence le blocage intravacuolaire (Yoshimori et al., 1991).

d) Production de peptides antimicrobiens

Le premier peptide antimicrobien (PAM) a été décrit au début des années 80 (Steiner et al., 1981). Depuis, on dénombre plus de 2400 PAMs dont la majorité proviennent des eucaryotes (http://aps.unmc.edu/AP/). Les PAMs sont des composés de la réponse immunitaire conservés au cours de l'évolution et retrouvés chez de nombreux organismes (Rakoff-Nahoum et al., 2004; Zasloff, 2002). Ils sont présents dans les granulations des cellules phagocytaires et sont capables d'éliminer un large spectre de micro-organismes dont les bactéries. En-dehors de leurs actions antimicrobiennes directes, les PAMs interagissent aussi avec l'hôte lui-même: ils peuvent être chemo-attractants pour les neutrophiles et les monocytes, moduler la production de cytokine ou encore lier et neutraliser le LPS (Wassing et al., 2014). Les deux classes majeures de PAMs communément retrouvées chez l'homme sont les cathélicidines et les défensines. Elles se différencient par leur structure: les premières ont une structure en hélice α tandis que les défensines ont une structure en feuillet β stabilisé par trois ponts disulfures. En revanche, de manière similaire, les deux types de PAM nécessitent

une ou plusieurs étapes protéolytiques pour générer un peptide mature (Gennaro and Zanetti, 2000; White et al., 1995).

e) Production d'enzymes lytiques

Le dernier mécanisme utilisé pour éliminer les bactéries fait appel à plus de 50 hydrolases acides lysosomales différentes. Ainsi, l'action concertée de protéases, lipase, nucléases, glycosidases et phosphatases permet la complète désintégration d'un grand nombre de structures complexes tels que les micro-organismes morts ou mourants. La cathepsine qui appartient à la famille des enzymes lysosomales est composée de sérine protéases, d'aspartate protéases et de cystéine protéases. Toutes ces enzymes ont des activités antimicrobiennes directes (Flannagan et al., 2012).

4.1.1.3 Phagocytose des mycobactéries et devenir dans le macrophage

De nombreux pathogènes ont développé des mécanismes pour interrompre, arrêter ou rediriger la voie entière de maturation du phagosome.

Lors d'une infection mycobactérienne, les voies de signalisation du phagosome sont altérées grâce à de multiples mécanismes de manière à perturber les activités microbicides de la cellule hôte et/ou les fonctions du phagosome (Guirado et al., 2013; Reiner, 1994). M. tuberculosis est ainsi capable de stopper la maturation normale du phagosome (Via et al., 1997). Par ailleurs, plusieurs études ont mis en évidence que les étapes précoces dans la maturation du phagosome n'étaient pas altérées. En effet, lors de l'internalisation, l'étape d'interaction du phagosome avec l'endosome précoce est conservée chez les mycobactéries (Clemens and Horwitz, 1996; Russell et al., 1996; Sturgill-Koszycki et al., 1996). Certaines caractéristiques des endosomes précoces sont conservées, notamment la GTPase Rab5, alors que la GTPase Rab7, spécifique des endosomes tardifs, n'est pas retrouvé au niveau du phagosome (Via et al., 1997). De la même manière, l'interaction du phagosome avec les endosomes recyclés n'est pas non plus altérée (Clemens and Horwitz, 1996). D'autres études suggèrent que M. tuberculosis serait capable de s'échapper du phagosome (Pieters, 2008; Simeone et al., 2012).

a) Mécanismes de contournement et de modification de la maturation du phagosome Les mécanismes impliqués concernent majoritairement les étapes tardives de la maturation du phagosome et les molécules impliquées dans ces processus proviennent à la fois de l'hôte et des mycobactéries (Nguyen and Pieters, 2005).

L'inhibition de la maturation complète du phagosome implique le défaut de recrutement des protéines effectrices de la GTPase Rab5 à la membrane phagosomale tel que l'autoantigène 1 endosomal précoce (EEA1) (Fratti et al., 2001). EEA1 est nécessaire pour l'apport d'hydrolases lysosomales et d'ATPases vacuolaires (Fratti et al., 2001; Sturgill-Koszycki et al., 1994). La Coronin 1, une protéine de l'hôte uniquement exprimée dans les leucocytes,

est également impliquée dans la prévention de la maturation du phagosome (Ferrari et al., 1999; Tailleux et al., 2003). Plus récemment, des études se sont focalisées sur l'utilisation des réserves d'acides gras de l'hôte et leur métabolisme pour la persistence de *M. tuberculosis* dans le phagosome (Daniel et al., 2011; Lee et al., 2013b; Peyron et al., 2008).

Un grand nombre de composants de la paroi mycobactérienne dont certains sont représentés dans la figure 5, sont impliqués dans ces mécanismes de contournement et de modification de la maturation du phagosome.

Le phosphatidylinositol lipoarabinomannane (ManLAM) de M. tuberculosis serait capable de modifier le traffic et la fusion phagolysosomale (Chan et al., 1991; Chua and Deretic, 2004) en altérant l'action du PIP3 qui est un lipide critique de l'hôte, intermédiaire dans le recrutement de GTPases vacuolaires au phagosome (Roth, 2004).

Plusieurs glycolipides de la paroi mycobactérienne ont été identifiés comme étant impliqués dans la phagocytose des mycobactéries (Astarie-Dequeker et al., 2010; Tabouret et al., 2010). Les lipooligosaccharides (LOS) sont ainsi capables de moduler la phagocytose de M. marinum (Alibaud et al., 2014; Ren et al., 2007). D'autres molécules associées à la paroi tels que les diacyltrehaloses (DAT) et les polyacyltrehaloses (PAT), les phtiocerol dimycocerosates (DIM) ou les glycolipides phénoliques (PGL) sont impliquées dans la phagocytose chez M. tuberculosis ou M. leprae (Astarie-Dequeker et al., 2009; Rousseau et al., 2003; Schlesinger and Horwitz, 1991; Vilcheze et al., 2014).

Les phosphatidylinositol mannose (PIMs), plus communément retrouvés chez des mycobactéries moins virulentes que M. tuberculosis, peuvent quant à eux promouvoir la fusion du phagosome avec les endosomes précoces (Vergne et al., 2004).

Enfin, des glycolipides tel que le trehalose dimycolate (TDM) peuvent interférer avec le traffic membranaire et donc interférer dans la maturation du phagosome (Kan-Sutton et al., 2009).

b) Echappement du phagosome vers le cytosol et conséquences

De nombreuses études ont fourni des preuves que M. tuberculosis entrait et se divisait dans les phagosomes des macrophages (Guirado et al., 2013). Cependant, une controverse persiste à propos de l'échappement du pathogène du phagosome vers le cytosol (Welin and Lerm, 2012). Des images de microscopie électroniques ont montré des bacilles dépourvus de membrane phagosomale quelques jours après infections (Myrvik et al., 1984). Chez M. marinum, il a clairement été établi que le pathogène avait la capacité d'échapper au phagosome vers le cytosol grâce à un système de propulsion via l'actine et de manière similaire à Listeria (Stamm et al., 2003). D'autres ont montré la nécessité du locus RD1 pour cet échappement (Smith et al., 2008).

Par ailleurs, aussi bien M. tuberculosis que M. marinum seraient éjectés de l'amibe Dictyostelium à travers une structure d'actine appelée éjectosome, utilisant des éléments de RD1 (Hagedorn et al., 2009). M. tuberculosis peut également s'échapper du phagosome des

cellules dendritiques et des macrophages après plusieurs jours en cultures (van der Wel et al., 2007). Ce phénomène a été identifié comme dépendant de RD1 et ESAT-6 (Houben et al., 2012).

Plusieurs études ont donc proposé que M. tuberculosis pourrait être présent dans le cytosol quelques jours après infection dans le but de s'échapper des cellules et de se propager vers d'autres cellules adjacentes (Guirado et al., 2013). En effet, M. tuberculosis et M. marinum sont capables d'induire une rupture du phagosome qui est suivie de près par la mort cellulaire par nécrose des macrophages infectés (Simeone et al., 2012). Récemment, il a été montré que les capacités de M. tuberculosis à réduire l'acidification phagosomale et à accéder au cytosol étaient liées (Simeone et al., 2015).

4.1.2 Neutrophiles

4.1.2.1 Rôle "traditionnel" des neutrophiles

Les neutrophiles sont les leucocytes les plus abondants dans la circulation sanguine humaine. Ils jouent un rôle crucial dans la défense immunitaire contre les pathogènes bactériens et fongiques et participent également au développement de la réaction inflammatoire (Mócsai, 2013; Nathan, 2006).

Dans la circulation les neutrophiles cherchent les signes d'infection ou d'inflammation qui déclenchent une série d'évènements aboutissant à la migration des neutrophiles à travers la paroi des vaisseaux et à l'intérieur des tissus jusqu'au site d'invasion microbien (Ley et al., 2007; Nourshargh et al., 2010). Lorsqu'ils rencontrent les particules infectieuses, les neutrophiles entament un processus d'élimination microbienne par phagocytose (Nordenfelt and Tapper, 2011). Des agents toxiques, incluant les espèces réactives de l'oxygène (ROS) générées grâce à l'activité de la NADPH oxydase (Leto and Geiszt, 2006), et le contenu des granules intracellulaires (Borregaard et al., 2007; Soehnlein, 2009) sont ensuite libérés dans le phagosome ce qui a pour conséquences la mort et la digestion des microorganismes (Mócsai, 2013) (figure 25).

D'un point de vue clinique, une neutrophilie est initialement observée lors d'une infection. Cependant, certaines infections peuvent se compliquer de neutropénie notamment lors d'infections à *Brucella* ou à *Salmonella* (Arnoulet and Sebahoun, 2005). Ces neutropénies sont considérées comme un marqueur de mauvais pronostic (Fine et al., 1996).

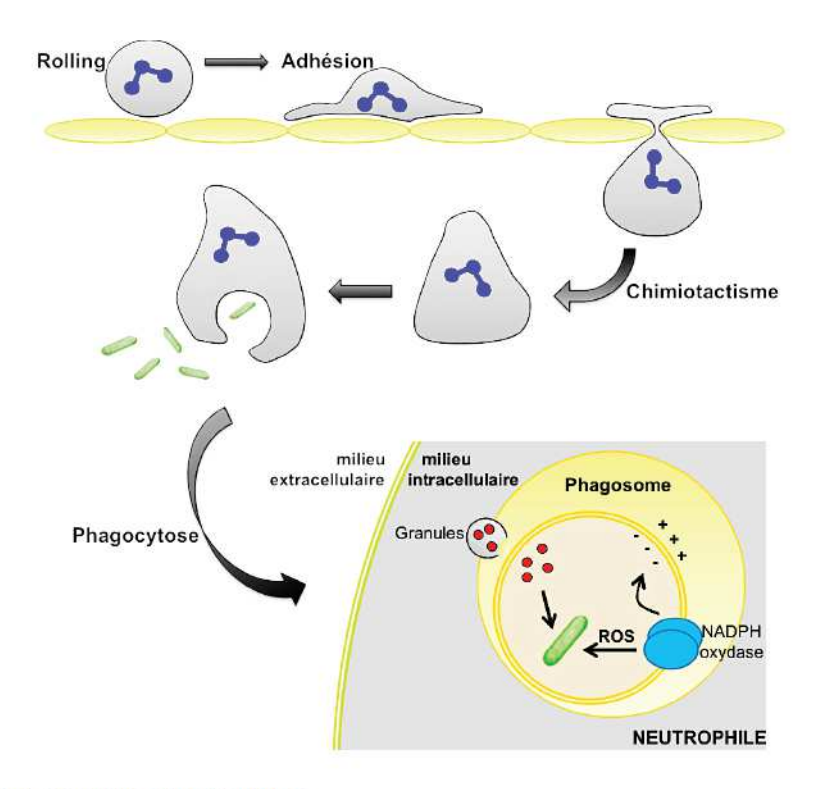


Figure 25 - Phagocytose par les neutrophiles.

4.1.2.2 Rôle des neutrophiles lors d'infections par les mycobactéries

Les pathogènes intracellulaires et notamment les mycobactéries, sont principalement pris en charge par les macrophages. Cependant, des études récentes fournissent d'importantes et nouvelles connaissances sur le rôle des neutrophiles dans le combat contre les pathogènes intracellulaires. L'analyse d'individus sains ayant été en contact avec des patients tuberculeux révèle une forte corrélation inverse entre le risque d'infection tuberculeuse et le nombre de neutrophiles dans le sang périphérique. Il a également été montré que la croissance ex vivo des mycobactéries dans le sang total était très fortement augmentée en l'absence de neutrophiles. Par ailleurs, les peptides anti-microbiens dérivant des neutrophiles inhibent la croissance mycobactérienne dans des cultures bactériennes in vitro (Martineau et al., 2007).

a) Neutrophiles vs mycobactéries

Les neutrophiles sont recrutés aux sites d'infection où ils reconnaissent les mycobactéries, soit directement, soit via opsonisation, et les internalisent. Les neutrophiles sont activés dans la circulation sanguine, interagissent avec les produits microbiens et sont stimulés par des cytokines et des chemokines. Ce changement s'accompagne d'une modification de l'expression des molécules de surface et de l'augmentation de la fonction microbicide (Mantovani et al., 2011). En réponse à M. tuberculosis et M. bovis BCG, les neutrophiles synthétisent et sécrètent des cytokines (Lowe et al., 2012; Lyons et al., 2004; Shigenaga et al., 2001; Sugawara et al., 2004).

Le fait que les neutrophiles soient capables de tuer les mycobactéries internalisées est très controversé, en particulier avec les souches virulentes de M. tuberculosis. Bien que les probables variabilités expérimentales expliquent certaines disparités entre les études in vitro il semblerait qu'à la fois l'élimination et l'échec d'élimination soient des conséquences possibles in vivo. Cela dépendra des nombreux facteurs spécifiques de l'hôte et de l'organisme, qui ensemble pourrait déterminer les conséquence de la stimulation mycobactérienne.

Plusieurs mécanismes pourraient expliquer comment les neutrophiles tuent ou réduisent la croissance des mycobactéries et notamment via l'action de peptides de neutrophiles humains (HNP), membres de la famille des α -défensines. Les HNP sont des protéines cationiques stockées dans les granulations azurophiles des neutrophiles. Elles se lient aux molécules anioniques, incluant les composants de la membrane plasmique, pour perturber l'intégrité membranaire et mener à la perte du contenu cellulaire (Fu, 2003).

Récemment, une étude a montré que la phagocytose de M. tuberculosis par des neutrophiles humains enclenchait leur programme microbicide qui cependant ne réussit pas à éliminer la mycobactérie. Au lieu de ça, M. tuberculosis, grâce à la région de virulence RD1, provoque une nécrose cellulaire dépendante des espèces réactives de l'oxygène (Corleis et al., 2012).

b) Double rôle des neutrophiles dans l'infection mycobactérienne

Neutrophiles: cheval de Troie pour la dissémination des bactéries?

En théorie, une élimination efficace pourrait permettre aux neutrophiles de stopper l'infection à une étape très précoce (Lowe et al., 2012).

En absence d'élimination, non seulement l'infection pourrait progresser localement mais les neutrophiles infectés pourraient aussi se déplacer dans l'organisme vers d'autres sites, en particulier si les bacilles atteignent la circulation systémique (Lowe et al., 2012). Ce mécanisme a été décrit pour les neutrophiles de souris qui sont capables de phagocyter des mycobactéries vivantes au site d'infection puis de les transporter vers les nodules drainant la lymphe par migration dans les vaisseaux lymphatiques et ceci de manière similaire à la migration des cellules dendritiques lors d'une réponse immunitaire générale (Abadie et al., 2005).

Contribution des neutrophiles pour la phase chronique de la tuberculose

Les neutrophiles ont non seulement un rôle dans la phase précoce de l'infection tuberculeuse mais aussi dans la phase chronique de la tuberculeuse puisque qu'ils ont un rôle dans l'apparition de dommages tissulaires induits lors de l'infection. Chez la souris, il a été suggéré que la libération excessive d'IL-17 lors d'expositions mycobactériennes répétées provoque un recrutement de neutrophiles et des dommages tissulaires médiés par ces

cellules (Cruz et al., 2010). Cette réponse semble être atténuée par la production d'IFN © pendant une réponse immunitaire antimycobactérienne normale (Nandi and Behar, 2011) indiquant que l'accumulation de neutrophiles et les dommages tissulaires qui en découlent pourraient être causés par l'échec du système immunitaire à contenir les agents infectieux (Mócsai, 2013).

Double rôle des neutrophiles

Ce double rôle des neutrophiles dans la tuberculose a été décrit chez la souris. Les auteurs suggèrent que les neutrophiles régulent négativement l'inflammation pendant les stades précoces de l'infection mycobactérienne tandis qu'ils contribuent à l'inflammation et à l'élimination mycobactérienne lors d'une tuberculose chronique (Zhang et al., 2009). Cependant, il n'est pas certain que l'IL-10, qui est la cytokine proposée pour être responsable de la plupart des effets chez la souris (Zhang et al., 2009), soit également libérée par les neutrophiles humains (Davey et al., 2011). L'ensemble de ces informations suggère que les neutrophiles pourraient avoir un rôle beaucoup plus vaste (protecteur ou parfois pathogénique) que ce qui avait été décrit jusqu'à maintenant lors d'infection mycobactérienne.

4.1.3 Coopération macrophages – neutrophiles

Lorsqu'un neutrophile internalise un bacille il peut éliminer le pathogène. Dans ce cas, le phagocyte va généralement mourir in situ par apoptose ou nécrose avant d'être ingéré par un macrophage. Influencée par le type de mort cellulaire du neutrophile et la libération de cytokines avant la mort, la réponse du macrophage pourra être pro- ou anti-inflammatoire (Lowe et al., 2012).

In vitro, les études montrent que l'association de macrophages à des neutrophiles apoptotiques ou à des granulations purifiées de neutrophiles augmente l'activité bactériostatique des phagocytes mononucléaires contre M. tuberculosis (Tan et al., 2006).

Le contact macrophage-neutrophile peut induire des changements transcriptionnels. Par exemple, les neutrophiles stimulent la production de cytokines pro-inflammatoires par les macrophages infectés par M. tuberculosis via des récepteurs de co-stimulation (Hoshino et al., 2007).

Comme je vais le détailler dans les paragraphes suivants, l'utilisation de M. marinum dans le modèle d'infection d'embryons de danio a permis d'étudier la contribution à la fois des neutrophiles et des macrophages lors d'infections en temps réel.

4.2 Mycobacterium marinum: modèle d'étude de la tuberculose

4.2.1 Génomes: Mycobacterium marinum versus Mycobacterium tuberculosis

Le génome de la souche de laboratoire H37Rv, séquencé en 1998, est représenté sur la figure 26 (Cole et al., 1998). Le génome de M. marinum, séquencé à partir d'une souche « M », est représenté sur la figure 27. La souche « M » contient également un large plasmide ppM23 qui contient 29 séquences codantes ainsi qu'un opéron de résistance au mercure avec 2 gènes codant pour des enzymes spécifiques de la famille des recombinases et qui seraient à l'origine de la mobilité indépendante de cet élément (Stinear et al., 2008).

Figure 26 – Représentation circulaire du chromosome de Mycobacterium tuberculosis (Smith, 2003)

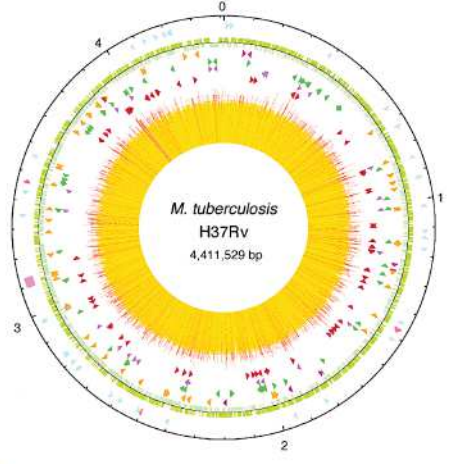
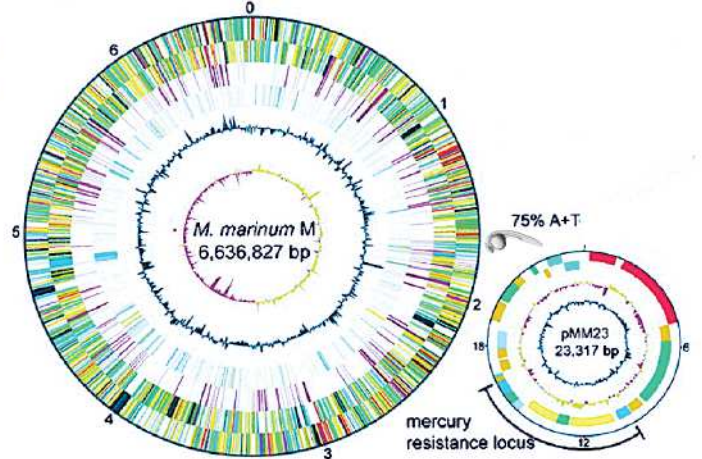


Figure 27 – Représentation circulaire du chromosome et du plasmide pMM23 de *Mycobacterium marinum* (Stinear et al., 2008).



Le génome de M. marinum mesure environ 1,5 fois celui de M. tuberculosis. Cette différence reflète l'étendue de son spectre d'hôtes par rapport à M. tuberculosis. Cependant, les génomes ont 85 % de régions orthologues identiques. Une analyse de l'ARNr 16S de 80 espèces mycobactériennes a confirmé une intime relation entre M. marinum et M. tuberculosis du point de vue de leur évolution. Cette même analyse a permis de faire l'hypothèse que les deux espèces dériveraient d'un même ancêtre commun possédant des capacités d'adaptation aussi bien à un hôte qu'à une niche environnementale (Tobin and Ramakrishnan, 2008). La principale différence entre les génomes est donc les 2,2 Mb supplémentaires de M. marinum. Il a été suggéré qu'une majeure partie de cette séquence

résulterait d'une diminution du génome de M. tuberculosis à partir de l'espèce ancestrale, renonçant à la niche environnementale et se spécialisant pour survivre exclusivement à l'intérieur d'un hôte. Finalement, M. marinum aurait continué à acquérir de nouveaux loci puisque il y a des preuves de transferts latéraux et de duplication de gènes concourant à l'accroissement du génome de M. marinum après la divergence avec M. tuberculosis (Tobin and Ramakrishnan, 2008). La proximité génétique des deux espèces a été illustrée notamment par l'étude des gènes ESAT-6 et CFP-10 tout deux codant pour des protéines impliquées dans la virulence de M. tuberculosis. Ces deux protéines situées dans la région RD1 du génome de M. tuberculosis ont été retrouvées chez M. marinum dans une région nommée extRD1 (extended RD1) (figure 28) (Gao et al., 2004).

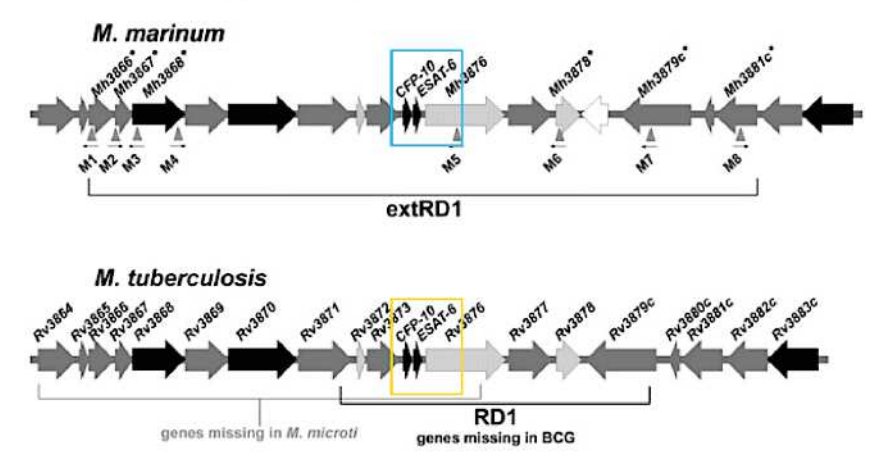


Figure 28 – Diagrammes de la région ExtRD1 de *M. marinum* (A) et de la région RD1 de *M. tuberculosis* (B) (adapté de (Gao et al., 2004)). Les gènes ESAT-6 et CFP-10 sont encadrés par un rectangle coloré.

Plus généralement, des études ont révélé que M. tuberculosis et M. marinum partageaient des facteurs de virulence orthologues. Comme le montre le tableau 2, les fonctions des principaux facteurs de virulence de M. tuberculosis sont conservées chez M. marinum ce qui fait de ce dernier un bon outil pour l'étude des bases moléculaires de la virulence chez les mycobactéries (Tobin and Ramakrishnan, 2008).

Molecule	M. marinum		M. tuberculosis	
	Presence	Mutant phenotype	Presence	Mutant phenotype
Cell wall lipids		ere and		
kasB (mycolic acid structure)	+	Attenuated, Rifampicin, defensin hypersusceptibility	+	Attenuated, Rifampicin hypersusceptibility
PDIM	Altered stereochemistry, Biosynthetic pathway, transporters present	ND	+	Attenuated
TDM	Biosynthetic pathway present	ND	+	Attenuated
PGL	Biosynthetic pathway present	ND	Some strains (e.g. W-Beijing)	Presence of PGL correlates with hypervirulence
SL1	_ **	NA	+ ' ' ' ' ' ' ' '	None reported
Carotenoids				
CrtB	+	Attenuated		i.e.
CrtP	+	Attenuated	+	ND
Erp	+	Attenuated, Rifampicin hypersusceptibility	+	Attenuated, detergent sensitivity
ESX secretion				-
ESX-1	*	Attenuated, phagolysosome fusion, granuloma formation, haemolysis	+	Attenuated, altered cytokine profile, phagolysosome fusion and others
ESAT-6	+	Attenuated	+	Attenuated
CFP-10	+	Attenuated	+	Attenuated
EspA	Probable, but orthologue unclear	ND	+	Attenuated
EspB	+	Attenuated	+	ND
ESX-5	+	Attenuated	+	ND

Tableau 2 – Comparaison des facteurs de virulence de *Mycobacterium marinum* et de *Mycobacterium tuberculosis* (Tobin and Ramakrishnan, 2008).

4.2.2 Le modèle d'infection Mycobacterium marinum / Danio rerio

Mycobacterium marinum est un pathogène spécifique des poissons et d'autres animaux aquatiques avec un large spectre d'hôtes (amphibiens, crustacés, mollusques). On le retrouve aussi bien dans les eaux douces que dans les eaux salées avec une répartition géographique mondiale. L'homme représente un hôte accidentel et une impasse épidémiologique. M. marinum présente un grand intérêt pour l'étude des bases moléculaires de la pathogenèse mycobactérienne du fait de sa proximité génétique et clinique avec M. tuberculosis. De plus, sa manipulation demande un niveau de sécurité L2 moins contraignant que celui de M. tuberculosis (L3) puisque le risque de contamination à l'homme par M. marinum est moins élevé que par M. tuberculosis. Par ailleurs, la croissance de M. marinum est beaucoup plus rapide que celle de M. tuberculosis. Les animaux à sang froid constituent l'hôte naturel de M. marinum. L'infection de ces animaux est réalisée avec succès et la mycobactérie provoque une maladie granulomateuse semblable à la tuberculose. C'est pour cela que le modèle d'infection expérimentale chez le Danio rerio (danio ou zebrafish) a été proposé comme modèle d'étude de la tuberculose.

Le Danio rerio est un hôte particulièrement intéressant. En effet, en plus de la réponse innée, cet animal possède un système immunitaire adaptatif complexe semblable à celui des mammifères. Les embryons de poisson sont exploités pour étudier les interactions hôte/pathogène de nombreuses bactéries et notamment les mycobactéries (Meijer et al., 2014). Les embryons ont l'avantage d'avoir un développement externe et d'être transparents ce qui permet de visualiser l'infection en temps réel chez l'animal vivant. De plus, ils possèdent des macrophages fonctionnels dès 30 hpf et des neutrophiles fonctionnels

dès 48 hpf, compétents pour une infection. Ceci permet d'étudier les effets de l'immunité innée. Il est également possible d'étudier l'immunité adaptative chez des embryons matures infectés car celle-ci se développe plus tardivement (la circulation des lymphocytes n'apparaît que vers le 21 ème jour post-fertilisation) (Pozos and Ramakrishnan, 2004).

Par ailleurs, plusieurs types de manipulations génétiques sont possibles chez cet animal.

Des lignées transgéniques ont été développées. Le mutant Golden a une pigmentation moins intense que l'animal sauvage. À partir de ce mutant des lignées transgéniques qui portent un marqueur fluorescent spécifique d'un type cellulaire ont vu le jour. Ainsi, les lignées Tg(mpx:eGFP) (Renshaw et al., 2006) et Tg(mpeg1:mCherry-F) (Bernut et al., 2014) ont été construites en prenant des promoteurs spécifiques respectivement de granulocytes et de macrophages et en clonant des protéines fluorescentes en aval. Le gène mpx code pour la myéloperoxydase qui est un marqueur spécifique des neutrophiles. Ces derniers sont marqués en vert dans la lignée Tg(mpx:eGFP) alors que les macrophages sont marqués en rouge dans la lignée Tg(mpeg1:mCherry-F).

Chez l'embryon de danio, l'inhibition transitoire de l'expression de gènes est désormais possible par introduction de morpholinos qui sont des oligonucléotides antisens modifiés. Les morpholinos dirigés contre le gène pu.1 codant pour un facteur de transcription myéloïde permettent de dépléter l'embryon en macrophages (Clay et al., 2007; Rhodes et al., 2005). En fonction de la dose utilisée, l'embryon peut être déplété à la fois en macrophages et en neutrophiles.

Ce modèle d'infection offre également la possibilité d'injecter dans différents compartiments. L'injection intra-veineuse est la plus utilisée mais l'injection peut également se faire en sous-cutanée, dans la cavité otique ou encore dans le péricarde (figure 29).

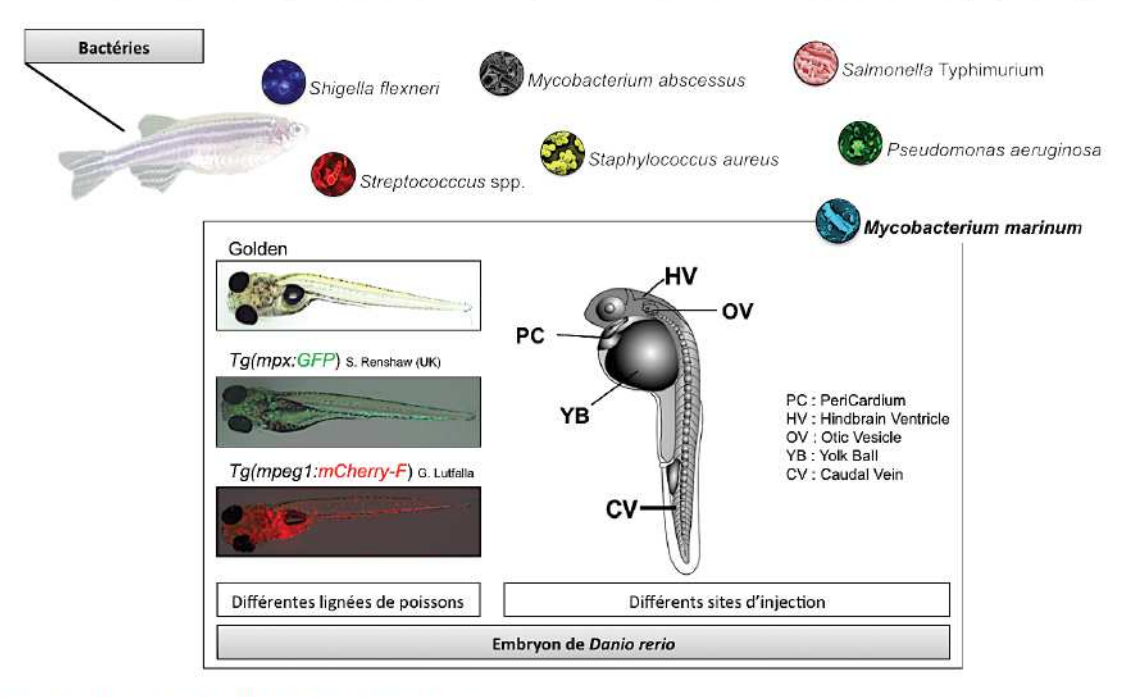


Figure 29 - Le modèle d'infection Danio rerio.

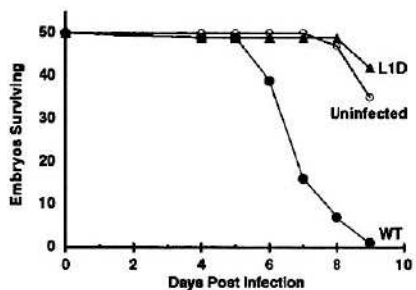
Une étude a démontré que M. marinum causait une infection systémique chez les embryons de danio avec les caractéristiques clefs des mycobactérioses du poisson adulte, notamment, l'aggrégation des macrophages dans des structures granulomateuses (Davis et al., 2002). Depuis, les embryons de poissons sont utilisés dans le modèle M. marinum/danio pour les avantages énoncés précédemment. Ce modèle s'est révélé être particulièrement intéressant depuis qu'il a permis de visualiser l'interaction Mycobacterium-macrophage à un stade précoce de l'infection. D'un point de vue technique, pour visualiser les bactéries on utilise généralement des souches qui expriment de manière constitutive une protéine fluorescente (GFP ou mCherry).

4.2.2.1 Etude de la virulence des mycobactéries

Le modèle M. marinum/danio est largement utilisé pour l'étude de la virulence des mycobactéries. La virulence est déterminée par deux paramètres qui sont, d'une part la survie du poisson après infection par M. marinum et d'autre part, l'évaluation de la croissance bactérienne dans l'animal. Chez des embryons infectés par M. marinum, la mortalité est plus précoce que chez des embryons non infectés (figure 30) (Davis et al., 2002; Gao et al., 2004).

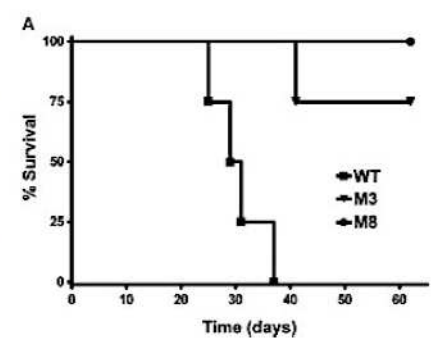
Figure 30 – Courbe de survie des embryons en fonction du temps après infection par *Mycobacterium marinum* (Davis et al., 2002).

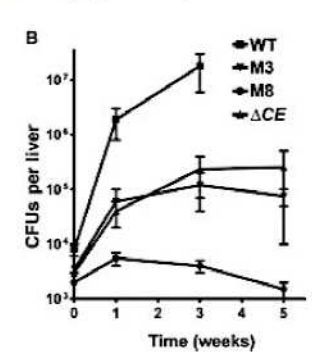
WT: souches infectées; Uninfected: souches non infectées; L1D: souche mutante atténuée.



Pour évaluer la croissance des bactéries, les poissons sont lysés puis le nombre de bactéries viables est déterminé par comptage sur boîtes à différents temps post-infection. Ce modèle permet également d'étudier la virulence de mutants de M. marinum. Ces derniers sont construits par délétion de gènes impliqués dans la virulence des mycobactéries. C'est le cas de mutants extRD1 où le locus extRD1, impliqué dans la virulence de M. marinum, est délété. On observe alors une diminution de la mortalité et du nombre de bactéries viables traduisant une pathologie moins virulente et donc une forme atténuée de la maladie (figure 31).

Figure 31 - Virulence de la souche sauvage de Mycobacterium marinum et de mutants extRD1 dans le modèle Danio rerio (Gao et al. 2004). (A) Pourcentage de survie des embryons en fonction du temps. (B) Nombre de CFUs dans les embryons en fonction du temps. WT: souche sauvage; M3, M8 et ΔCE: mutants extRD1.





4.2.2.2 Etude de la physiopathologie de la tuberculose

a) Rôle des macrophages

Le granulome a longtemps été uniquement considéré comme une structure bénéfique pour l'hôte permettant de contenir l'infection (Davis and Ramakrishnan, 2009; Rubin, 2009). Cependant, l'analyse de l'infection en temps réel dans le modèle danio a bouleversée cette vision des choses en suggérant que le granulome pouvait également promouvoir l'infection (Davis and Ramakrishnan, 2009). Dans cette étude, les auteurs ont utilisé deux types de souches de M. marinum: des souches virulentes sauvages et des souches mutées par délétion du locus RD1 ce qui implique des souches dont la virulence est atténuée. Ils ont alors pu mettre en évidence l'importance de RD1 dans les étapes de formation du granulome. En effet, lors de l'infection par un mutant RD1, la formation du granulome est retardée et l'expansion bactérienne est faible par rapport au modèle virulent (figure 32) (Bold and Ernst, 2009; Pozos and Ramakrishnan, 2004).

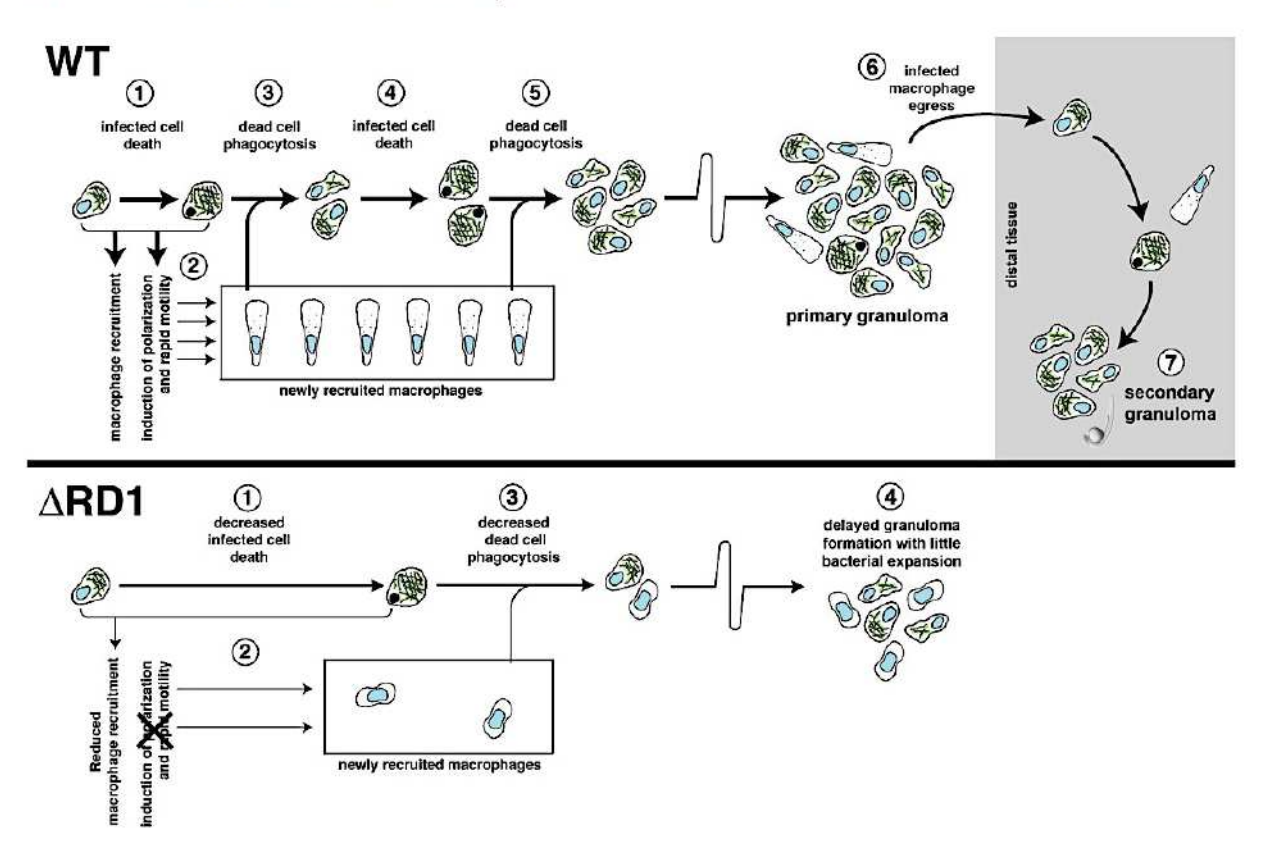


Figure 32 – Mécanismes et conséquences de la formation du granulome à un stade précoce et impact de RD1 (Davis and Ramakrishnan, 2009).

Les observations faites fournissent des éléments sur la manière dont les mycobactéries pathogènes exploitent le granulome pour une expansion locale et une dissémination systémique révélant ainsi un nouveau mécanisme de dissémination bactérienne telle que l'attraction de macrophages non-infectés vers l'aggrégat et le transfert intermacrophagique des bactéries (figure 33).

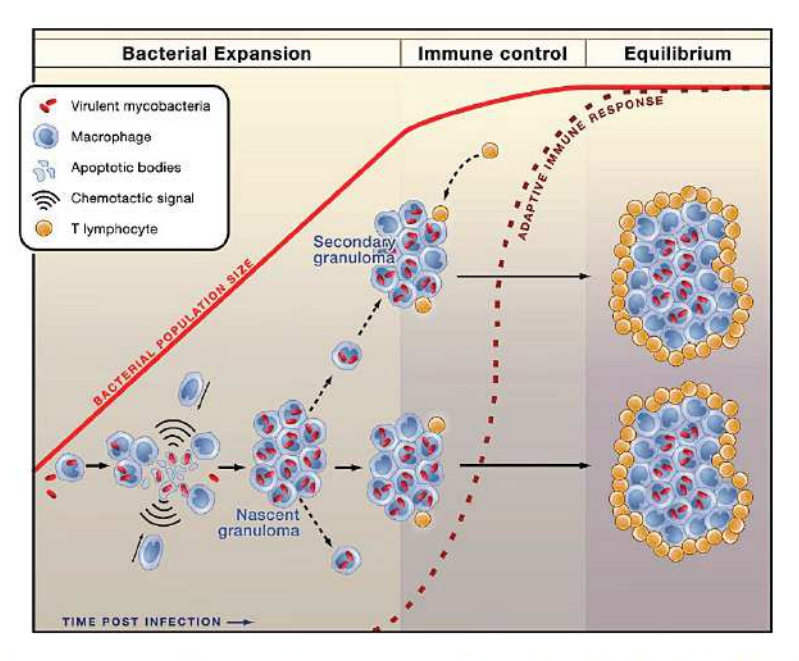
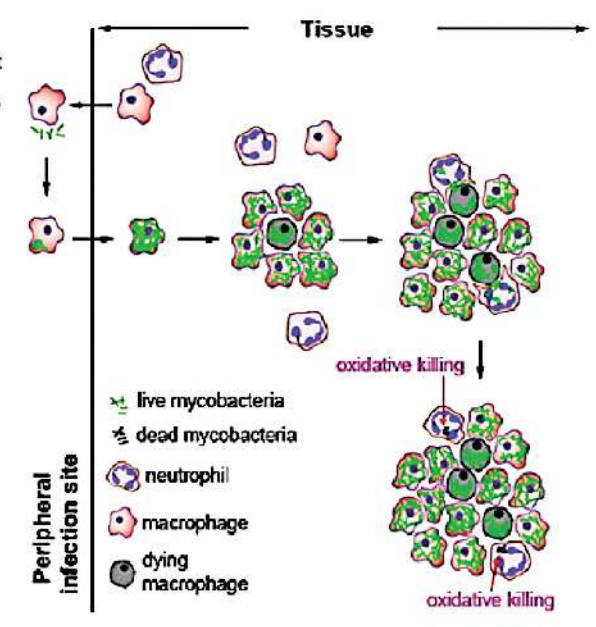


Figure 33 - Étapes de la formation du granulome dans la tuberculose (Bold and Ernst, 2009).

b) Rôle des neutrophiles

Dans la tuberculose, bien que la présence des neutrophiles aux sites d'infection soit connue depuis longtemps, leur rôle dans la défense contre les mycobactéries reste vague. La traçabilité génétique et la transparence des embryons de danio ont donc été exploitées pour monitorer le comportement des neutrophiles et ses conséquences lors d'une infection par M. marinum (figure 34). Chez le zebrafish, le monitorage in vivo d'une infection mycobactérienne a montré que les neutrophiles n'interagissaient pas avec les bacilles lors de la phase très précoce de l'infection mais que les neutrophiles étaient recrutés par la suite au granulome naissant en réponse à des signaux provenant des macrophages infectés mourants à l'intérieur du granulome et qu'ils vont phagocyter. Ensuite, quelques neutrophiles tuent rapidement des mycobactéries internalisées grâce à des mécanismes dépendants de la NADPH oxydase (Yang et al., 2012a). Ce phénomène sert donc, non seulement à nettoyer le site d'infection mais aussi à contenir l'infection (Mócsai, 2013). Il faut noter que ces infections ont été réalisées dans le compartiment sanguin (Yang et al., 2012a). Alors que les neutrophiles internalisent peu des bactéries tel qu'E. coli dans ce compartiment, ils sont très efficaces pour s'en débarrasser dans un compartiment tissulaire (Colucci-Guyon et al., 2011). L'action des neutrophiles vis-à-vis de M. marinum suite à une infection sous-cutanée n'a pas été étudiée.

Figure 34 – Comportement des neutrophiles et conséquences lors d'une infection en utilisant le modèle *M. marinum/Danio rerio* (Yang et al., 2012a).



4.3 Pseudomonas aeruginosa et cellules phagocytaires

La phagocytose est un processus critique dans le répertoire inné des défenses contre *P. aeruginosa*. Les structures cellulaires et les récepteurs qui gouvernent la phagocytose du pathogène et comment ceux-ci interagissent avec les effecteurs du pathogène et les facteurs de virulence ne sont pas entièrement élucidés (Lovewell et al., 2014).

4.3.1 Internalisation par les cellules phagocytaires

Les évènements de signalisation qui gouvernent la prise en charge de *P. aeruginosa* par les neutrophiles et les macrophages sont complexes. L'internalisation est médiée par le contact et la liaison bactérie-phagocyte, conjointement à la reconnaissance de récepteurs de *P. aeruginosa* et à la signalisation en aval pour réguler l'ingestion. Par ailleurs, l'internalisation est dictée par de nombreux facteurs incluant l'expression de récepteurs sur le phagocyte autant que l'expression et l'exposition de ligands sur le pathogène.

La motilité flagellaire est un déterminant bactérien clef pour la sensibilité phagocytaire de *P. aeruginosa* par les phagocytes murins et humains. L'internalisation de *P. aeruginosa* semble être actine-dépendante et contrôlée par la voie de signalisation PI3K/Akt (figure 35) (Lovewell et al., 2014).

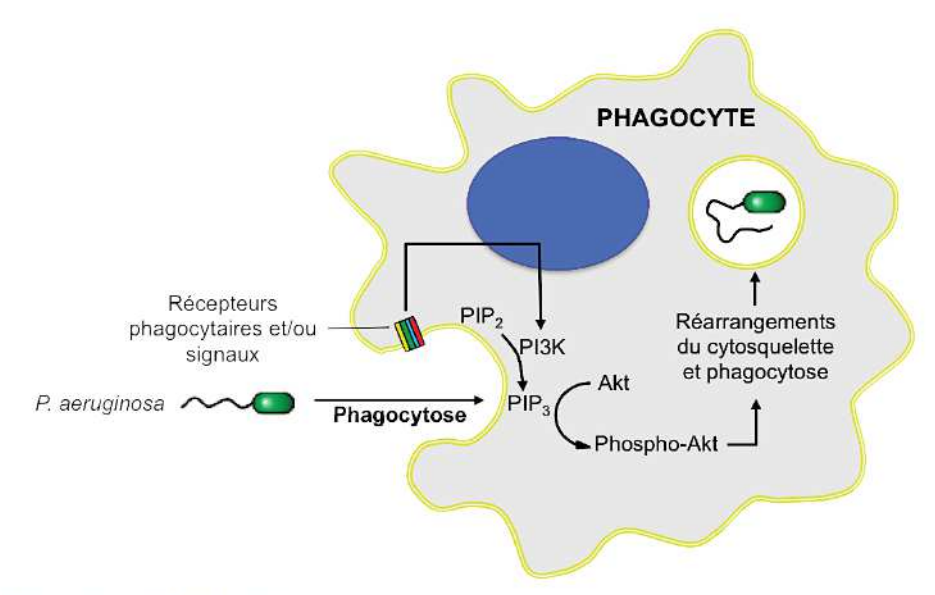


Figure 35 - Phagocytose de P. aeruginosa.

4.3.2 Stratégies bactériennes d'échappement à la phagocytose

P. aeruginosa est sensible à l'internalisation et la dégradation par les cellules phagocytaires. Cependant, de nombreuses tactiques ont été identifiées par lesquelles le pathogène est capable de diminuer sa vulnérabilité vis-à-vis de la phagocytose (Lovewell et al., 2014).

4.3.2.1 Perte de la motilité flagellaire

La motilité flagellaire a été identifiée comme un élément critique d'activation phagocytaire in vitro et in vivo (Amiel et al., 2010). La perte de la motilité flagellaire, indépendamment du flagelle lui-même, fournit à la bactérie une augmentation de sa résistance d'environ 100 fois à la prise en charge phagocytaire notamment par les macrophages et les neutrophiles (Amiel et al., 2010). Ce phénomène est indépendant des autres facteurs de virulence bactériens ou de l'opsonisation par l'hôte. Il est dû à l'activation bactérienne de la voie de signalisation cellulaire de l'hôte PI3K/Akt (Lovewell et al., 2011, 2014). Le pathogène est donc capable de passer dans un état non-motile caractérisé par la formation de biofilms qui permettent la colonisation de l'hôte par la bactérie (Folkesson et al., 2012; Luzar et al., 1985). La perte de motilité flagellaire contribue donc à la résistance phagocytaire et par conséquent à la persistence bactérienne et l'entrée dans une phase chronique de l'infection.

4.3.2.2 Sécrétion d'exopolysaccharides

P. aeruginosa possède un nombre de loci génétiques capables de générer ou modifier les exopolysaccharides, la production d'alginate et le phénotype mucoïde (Mishra et al., 2012; Ryder et al., 2007). Des analyses génétiques ont identifié que l'expression de certains de ces gènes était impliquée dans la résistance phagocytaire (Krieg et al., 1988; Oliver and Weir, 1985).

4.3.2.3 Système de sécrétion de type III (T3SS)

P. aeruginosa possède un T3SS qui lui permet d'injecter des protéines effectrices directement dans les cellules hôtes (Le Berre et al., 2011; Ben Haj Khalifa et al., 2011). Parmi ces protéines effectrices, il a été montré que les toxines ExoT et ExoS limitaient la prise en charge de P. aeruginosa par les macrophages (Hauser, 2009). De manière générale, ces protéines effectrices contribuent à la persistence de l'infection par atténuation de l'ingestion et de la clairance par les phagocytes. Elles facilitent aussi la mort cellulaire entraînant l'exacerbation de la sévérité de l'infection (Engel and Balachandran, 2009).

4.3.2.4 Inhibition de PAR2

Un autre facteur de virulence a été identifié comme responsable de l'inhibition fonctionnelle de la phagocytose. Il s'agit de la métalloprotéinase élastolytique LasB qui clive des récepteurs de l'hôte tel que PAR2 (Dulon et al., 2005). Ainsi, la perte de PAR2 chez des neutrophiles diminue significativement la prise en charge phagocytaire de *P. aeruginosa* par un mécanisme non défini (Moraes et al., 2008). L'activation de PAR2 entrainerait le recrutement de la machinerie phagocytaire (Buddenkotte et al., 2005) et la protéine pourrait agir comme récepteur phagocytaire direct (Lovewell et al., 2014).

4.3.3 Le modèle d'infection Pseudomonas aeruginosa / Danio rerio

Depuis que la réponse phagocytaire de l'hôte a été décrite comme la clef déterminante dans la pathologie infectieuse, de nombreux modèles de réponses des cellules phagocytaires à *P. aeruginosa* (in vitro et animaux) ont été développés.

Bien que le modèle murin soit apparu pendant longtemps comme le modèle animal le plus pertinent pour l'étude des interactions hôte-pathogène, les avantages décrits dans le paragraphe 4.2.2 pour le danio ont été mis à profit pour l'étude des interactions hôte-pathogène des infections aigües de *P. aeruginosa*. Le danio est sensible à l'infection par *P. aeruginosa* et dépend des mécanismes de l'immunité innée pour le contrôle des infections bactériennes.

Ce modèle a donc été utilisé et a permis d'observer le comportement des phagocytes en temps réel dans l'animal vivant (Brannon et al., 2009; Clatworthy et al., 2009). Il a été montré qu'à la fois les neutrophiles et les macrophages phagocytaient puis éliminaient les bacilles (figure 36). Le rôle dans la virulence du système de sécrétion de type 3 (T3SS) a été étudié dans le cas d'une infection aigüe et a montré que le mutant T3SS était atténué dans ce modèle (figure 37). En revanche, la déplétion des embryons en phagocytes, grâce à l'utilisation de morpholinos dirigés contre le gène pu.1, montre une virulence similaire entre la souche sauvage et le mutant T3SS (figure 38). Ces travaux soulignent l'implication des cellules phagocytaires lors de l'infection aiguë à P. aeruginosa.

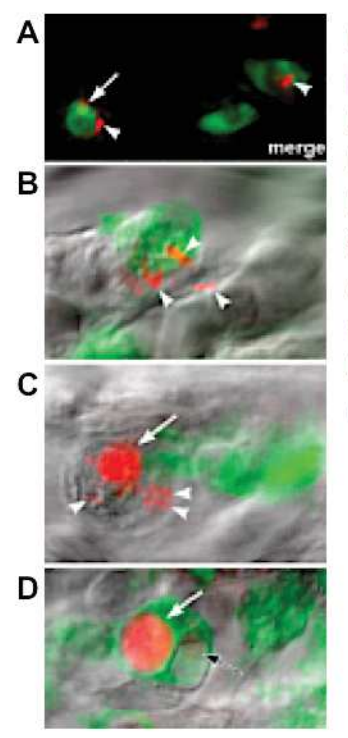


Figure 36 – Visualisation de phagocytes infectés par *P. aeruginosa* (Brannon et al., 2009). Les phagocytes ont une fluorescence verte. Les bactéries fluorescencent en rouge. (A) Cellules ayant phagocyté les bactéries. Les triangles indiquent les bactéries dans les phagocytes. La flêche indique les bactéries digérées. (B) Cellules avec des bactéries à 2 hpi. Les triangles indiquent les bactéries à l'intérieur ou adhérentes aux cellules. (C) Cellules contenant des bactéries intactes (triangles) ou digérées (flêche), 2 hpi. (D) Cellule avec une vacuole contenant un relargage de fluorescence rouge (flêche blanche) et une seconde vacuole contenant presque plus de fluorescence rouge (flêche noire), probablement après digestion complète de P. aeruginosa.

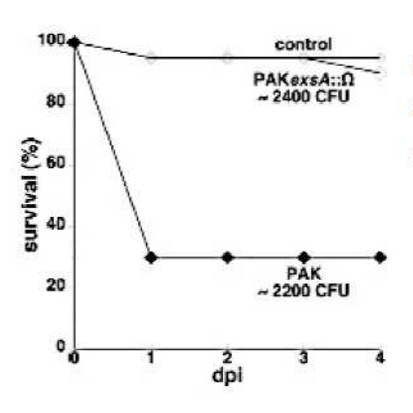


Figure 37 – Infection d'embryons de Danio avec le mutant T3SS de *P. aeruginosa* (Brannon et al., 2009). Courbe de survie du mutant T3SS atténué. PAK, souche sauvage; PAKexsA::A, mutant T3SS.

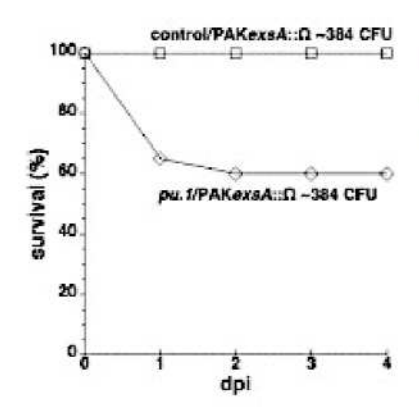


Figure 38 – Infection d'embryons de Danio déplétés en phagocytes avec le mutant T3SS de *P. aeruginosa* (Brannon et al., 2009). Courbe de survie du mutant T3SS. *pu.1/PAKexsA*:: A, mutant T3SS avec déplétion des embryons en phagocytes; control/PAKexsA:: A, mutant T3SS sans déplétion des embryons en phagocytes.

II OBJECTIFS



Pour résoudre un problème ou pour atteindre un but, vous n'avez pas besoin de connaître toutes les réponses à l'avance.

Mais vous devez avoir une idée claire du problème ou l'objectif que vous souhaitez atteindre

W. Clement Stone

MgtC est un facteur de virulence présent chez de nombreux pathogènes intracellulaires majeurs incluant Mycobacterium tuberculosis. Cette protéine joue un rôle majeur dans la survie intra-macrophagique mais le rôle de MgtC in vivo reste inconnu. Une grande partie de mon travail a porté que l'étude de MgtC de Mycobacterium marinum. De manière surprenante, MgtC est également présent chez le pathogène extracellulaire Pseudomonas aeruginosa et j'ai contribué à une étude du rôle de MgtC chez ce pathogène extracellulaire. De plus, la découverte du peptide membranaire régulateur MgtR, capable de favoriser la dégradation de MgtC, fait de ce facteur de virulence une cible thérapeutique de choix dans le cadre d'une stratégie anti-virulence et j'ai exploité cette piste chez les mycobactéries et chez Pseudomonas aeruginosa.

1 Étudier le rôle du facteur de virulence MgtC chez les mycobactéries et chez Pseudomonas aeruginosa

Dans le but de mieux comprendre le rôle du facteur de virulence MgtC chez les mycobactéries, nous avons utilisé le modèle Mycobacterium marinum qui est fréquemment utilisé comme modèle d'étude de la tuberculose. Un premier objectif est d'évaluer la régulation de MgtC chez M. marinum. Un second objectif est de déterminer si les fonctions de MgtC décrites chez M. tuberculosis sont conservées chez M. marinum pour ensuite utiliser le modèle d'infection M. marinum/Danio rerio qui a d'ores et déjà fait ses preuves dans la compréhension des mécanismes de la pathogénèse tuberculeuse.

D'autre part, le rôle de MgtC n'ayant jamais été étudié chez un pathogène extracellulaire, il nous a semblé particulièrement intéressant de l'étudier chez *P. aeruginosa*. Cette étude a été menée dans un modèle d'infection cellulaire de macrophages et *in vivo* dans le modèle d'infection d'embryons de danio. Dans ce projet, mon objectif était de mieux comprendre le rôle MgtC dans le macrophage et d'étudier sa régulation.

2 Tester les potentialités « anti-virulence » de peptides membranaires régulateurs

Pour valider MgtC en tant que nouvelle cible thérapeutique, mon second objectif était d'étudier le peptide membranaire MgtR en tant que potentielle molécule thérapeutique. MgtR n'étant présent que chez Salmonella, il nous fallait dans un premier temps déterminer si ce peptide est capable d'interagir avec les protéines MgtC issues d'autres pathogènes, mycobactéries et P. aeruginosa. J'ai également évalué les potentielles propriétés antivirulence de MgtR chez ses pathogènes en utilisant les mêmes modèles d'infection (modèle cellulaire de macrophage et modèle animal du danio) que pour l'étude de MgtC.

En marge de cet objectif principal, j'ai participé à l'étude d'un autre peptide, KdpF, ayant des potentialités anti-virulence. Cette étude a été réalisée chez le pathogène intracellulaire S. Typhimurium.

III RESULTATS



L'expérience ne trompe jamais ; seuls vos jugements errent, qui se promettent des résultats étrangers à notre expérimentation personnelle.

Léonard de Vinci

1 Rôle du facteur de virulence MgtC

1.1 Identification d'un rôle de MgtC de Mycobacterium marinum dans la phagocytose

1.1.1 Résumé de l'article 1

MgtC est un facteur de virulence impliqué dans la croissance intramacrophagique et présent chez plusieurs pathogènes intracellulaires, notamment Mycobacterium tuberculosis et Salmonella enterica serovar Typhimurium. MgtC participe aussi à l'adaptation à une carence en magnésium.

Dans le but de mieux comprendre le rôle de MgtC chez les mycobactéries, j'ai construit un mutant mgtC chez Mycobacterium marinum.

J'ai pu montrer que le gène mgtC de M. marinum était fortement induit par une absence de magnésium et était nécessaire pour une croissance optimale dans un milieu carencé en magnésium. J'ai ensuite étudié le comportement du mutant mgtC de M. marinum dans le modèle d'infection d'embryons de Danio rerio. J'ai utilisé une lignée transgénique de danio marquant spécifiquement les neutrophiles. D'après les courbes de survie, le mutant mgtC n'est pas atténué dans ce modèle d'infection. En revanche, les résultats indiquent que la phagocytose du mutant mgtC par les neutrophiles est augmentée par rapport à celle de la souche sauvage dans le cas d'une infection sous-cutanée. Une augmentation de la phagocytose de la souche mutée est également observée, ex vivo, dans une lignée cellulaire murine de macrophages J774. Par ailleurs, aucune différence n'a été trouvée entre le mutant mgtC et la souche sauvage au niveau de l'adhésion bactérienne aux macrophages et de l'internalisation par des cellules épithéliales. Contrairement au rôle décrit chez les autres pathogènes intracellulaires, MgtC de M. marinum ne contribue pas significativement à la réplication intramacrophagique.

Ces résultats indiquent donc une fonction inattendue de MgtC de M. marinum à une étape précoce de l'infection dans les cellules phagocytaires. De plus, les résultats indiquent que bien que la fonction de MgtC soit conservée entre les pathogènes concernant l'adaptation à des conditions de carence en magnésium, son rôle à l'égard des cellules phagocytaires peut différer, probablement en raison des différents styles de vie des pathogènes.

1.1.2 Article 1 – Mycobacterium marinum plays a role in phagocytosis but is dispensable for intracellular multiplication



RESEARCH ARTICLE

Mycobacterium marinum MgtC Plays a Role in Phagocytosis but is Dispensable for Intracellular Multiplication

Claudine Belon^{1,2}, La¨ıla Gannoun-Zaki^{1,2}, Georges Lutfalla^{1,2}, Laurent Kremer^{1,2,3}, Anne-Be´ atrice Blanc-Potard^{1,2*}



*anne.blanc-potard@univ-montp1.fr



GOPEN ACCESS

Citation: Belon C, Gannoun-Zaki L, Lutfalla G, Kremer L, Blanc-Potard A-B (2014) Mycobacterium marinum MgtC Plays a Rolein Phagocytosis but is Dispensable for Intracellular Multiplication. PLoS ONE 9(12): e116052. doi:10.1371/journal.pone. 0118052

Editor: Jeíro'me Nigou, Centre National de la Recherche Scientifique - Universite' de Toulouse, France

Received: September 18, 2014

Accepted: December 4, 2014

Published: December 29, 2014

Copyright: © 2014 Belon et al. This is an openaccess article distributed under the terms of the <u>Creative Commons Attribution License</u>, which permits unrestricted use, distribution, and reproduction in any medium, provided the original author and source are credited.

Data Availability: The authors confirm that all data underlying the findings are fully available without restriction. All relevant data are within the paper and its Supporting Information files.

Funding: French National Agency (ANR ZebraFlam) and European Community's Seventh Framework Programme (FP7-PEOPLE-2011-ITN) under Grant Agreement PITN-GA-2011-289209 for the Marie-Curie Initial Training Network FishForPharma. CB is supported by a MRT fellowship from the French Ministry of Research and the Fondation for Medical Research (FRM FDT20140930905). The funders had no role in study design, data collection and analysis, decision to publish, or preparation of the manuscript.

Competing Interests: Laurent Kremer is a PLOS ONE Editorial Board member. This does not alter the authors' adherence to PLOS ONE Editorial policies and criteria.

Abstract

MgtC is a virulence factor involved in intramacrophage growth that has been reported in several intracellular pathogens, including Mycobacterium tuberculosis and Salmonella enterica serovar Typhimurium. MgtC participates also in adaptation to Mg²⁺ deprivation. Herein, we have constructed a mgtC mutant in Mycobacterium marinum to further investigate the role of MgtC in mycobacteria. We show that the M. marinum mgtC gene (Mma mgtC) is strongly induced upon Mg2+ deprivation and is required for optimal growth in Mg2+-deprived medium. The behaviour of the Mma mgtC mutant has been investigated in the Danio rerio infection model using a transgenic reporter zebrafish line that specifically labels neutrophils. Although the mgtC mutant is not attenuated in the zebrafish embryo model based on survival curves, our results indicate that phagocytosis by neutrophils is enhanced with the mgtC mutant compared to the wild-type strain following subcutaneous injection. Increased phagocytosis of the mutant strain is also observed ex vivo with the murine J774 macrophage cell line. On the other hand, no difference was found between the mgtC mutant and the wild-type strain in bacterial adhesion to macrophages and in the internalization into epithelial cells. Unlike the role reported for MgtC in other intracellular pathogens, Mma MgtC does not contribute significantly to intramacrophage replication. Taken together, these results indicate an unanticipated function of Mma MgtC at early step of infection within phagocytic cells. Hence, our results indicate that although the MgtC function is conserved among pathogens regarding adaptation to Mg2+ deprivation, its role towards phagocytic cells can differ, possibly in relation with the specific pathogen's lifestyles.



Introduction

MgtC is a virulence factor common to several intracellular pathogens [1]. It was first described in *Salmonella enterica* serovar Typhimurium (*S.* Typhimurium) as required for intramacrophage multiplication and systemic infection in mice [2–4]. Later, it was described as a critical factor for the intramacrophage growth of *Mycobacterium tuberculosis*, *Brucella suis*, *Yersinia pestis*, *Burkholderia cenocepacia* and *Salmonella enterica* serovar Typhi [5–9]. Despite its importance in the virulence of various bacterial pathogens, the mechanism by which MgtC promotes intracellular growth remains unknown. *Salmonella* MgtC has been recently shown to directly interact with bacterial F₁F_o ATP synthase, thereby altering its ability to translocate protons and to couple translocation to ATP synthesis [10]. Hence, modulation of F-ATP synthase activity is proposed to drive the ability of MgtC to promote intramacrophage replication.

MgtC has been associated to adaptation to low Mg²⁺ environments in broth media in the various pathogens mentioned above, based on the observation that growth of the corresponding *mgtC* mutants is impaired in Mg²⁺ deprived media [1]. Moreover, expression of *mgtC* gene is highly induced by deprivation of external Mg²⁺ concentration in S. Typhimurium and Y. pestis [11, 12], which are two organisms where *mgtC* is cotranscribed with the Mg²⁺ transporter encoded by *mgtB*. However, *mgtC* has been shown to be only slightly induced by Mg²⁺ limitation in *M. tuberculosis* [13, 14], suggesting that Mg²⁺ may regulate MgtC only in bacterial species where it is cotranscribed with a Mg²⁺ transporter.

MgtC is a membrane-associated protein that harbors a conserved hydrophobic N-terminal and a more divergent soluble C-terminal domain that exhibits conservation among proteins from intracellular pathogens as S. Typhimurium and M. tuberculosis [15]. MgtC has been shown to play a role in M. tuberculosis virulence in macrophage and mice infection models [5] but the contribution of mgtC in mycobacterial physiology and virulence needs further investigation. Because MgtC is conserved between M. tuberculosis and Mycobacterium marinum, we aimed to address its role in M. marinum virulence, as well as its regulation by magnesium. M. marinum is closely related to M. tuberculosis not only in its pathology but also genetically [16, 17], and has been increasingly used as a suitable model for understanding the pathogenesis of tuberculosis. As a natural host for this pathogen, zebrafish provides a powerful vertebrate model to study M. marinum pathogenesis. Moreover, because of their genetic tractability and optical transparency, zebrafish embryos have been successfully used to investigate hostbacteria interactions and the role of innate immunity during M. marinum infection [18-20].

The present results indicate that *Mma mgtC* transcription is strongly induced by magnesium deprivation and, unexpectedly, that *Mma* MgtC appears dispensable for intramacrophage replication but plays a role in phagocytosis, a phenotype first uncovered in zebrafish embryos.



Materials and Methods

Bacterial strains and growth culture conditions

Mycobacterium marinum M and Mycobacterium smegmatis mc²155 strains were grown at 30°C and 37°C, respectively, in Sauton's medium containing 0.025% of tyloxapol (Sigma) or on Middlebrook 7H10 agar plates supplemented with 10% Oleic acid-Albumin-Dextrose-Catalase (OADC) enrichment, in the presence of kanamycin (25 mg/ml), hygromycin (80 mg/ml) and zeocin (25 mg/ml), when required. Low magnesium medium was obtained by replacing the magnesium sulfate in the Sauton's medium by a similar concentration of potassium sulfate. Escherichia coli (DH5a) was used for cloning and was grown in LB medium with zeocin (25 mg/ml) at 37°C.

RNA extraction and qRT-PCR

RNA was prepared from 5 ml of mid-logarithmic bacterial cultures (grown in Sauton's medium containing or not magnesium). Bacteria were harvested, resuspended in 1 ml of RNA protect reagent (Qiagen) and incubated for 1 h at room temperature. Bacteria were centrifuged and resuspended in 1 ml of RLT buffer from RNeasy Mini kit (Qiagen), transferred in a Lysing matrix B tube (MP Bio) and disrupted with a bead-beater apparatus (3 times, 45 sec, maximal speed). RNA was purified with the RNeasy kit, according to manufacturer's instructions. DNA was further removed using DNAsel (Invitrogen). cDNA was produced using Superscript III reverse transcriptase (Invitrogen). Controls without reverse transcriptase were done on each RNA sample to rule out DNA contamination. Quantitative real-time PCR was performed using an in-house SYBR Green mix and a 480 light cycler instrument (Roche). PCR conditions were as follows: 3 min denaturation at 98°C, 45 cycles of 98°C for 5 sec, 68°C for 10 sec and 72°C for 10 sec. The sigA gene (MMAR_2011) was used as internal control. The sequences of primers used for qRT-PCR are listed in S1 Table.

Construction of *M. marinum mgtC* mutant and complemented strains

A strain deleted for the *mgtC* gene was constructed in *M. marinum* M using mycobacteriophage-mediated allelic exchange to replace *mgtC* by a hygromycin cassette. The construction of the allelic exchange substrate (AES) phasmid, the preparation of phage and the phage transduction was performed as described [21]. One kb long sequences upstream and downstream of *mgtC* were cloned into the pJSC347 on both sides flanking the hygromycin cassette. The mutant was checked by PCR and southern blot using probes corresponding to the *mgtC* and hygromycin genes. Complementation of the *mgtC* mutant was performed using a chromosomal copy of the *mgtC* gene placed under the control of its own promoter. A DNA fragment including the *mgtC* gene and 840 bp upstream (which contains the intergenic region between *MMAR_2685* and *MMAR_2686* as well as *MMAR_2687* gene) was amplified by PCR using primers pMV306-*Xba*I-59



and pMV306-HindIII-39 and was cloned at the XbaI and HindIII sites of the integrative vector pMV306 [22]. The resulting plasmid was electroporated in the mgtC mutant to integrate the mgtC gene with its upstream sequences at the chromosomal attB site with selection on 7H10 agar plates containing kanamycin. As a control, the empty pMV306 vector was also electroporated into the wild-type strain and the mgtC mutant strain.

Zebrafish embryos injections and microscopy

Experiments were performed using the golden zebrafish mutant [23] or the Tg(mpx:EGFP) where GFP is specifically expressed in neutrophils [24]. Zebrafish were raised and maintained according to standard procedures [25]. Embryos were obtained from pairs of adult fish by natural spawning and raised at 28.5°C in tank water. Ages are expressed as hours or days post fertilization (hpf or dpf). Mycobacteria from mid-log phase cultures grown in Sauton's medium were washed twice in PBS, resuspended in PBS and homogenized with a 26G syringe (five times) at an OD₆₀₀ of 3. Zebrafish larvae of 30 hpf (caudal vein injection) or 3 dpf (subcutaneous injection) were anesthetized by immersion in buffered tricaine (Sigma A-5040) and manually dechorionated, if needed. For subcutaneous infection, embryos were fed with tetrahymenas from 5 dpf to the end of the experiment, 3 times per week. They were injected with 1 nl of bacterial suspension using a Tritech Research digital microINJECTOR (MINJ-D). To determine bacterial loads in infected embryos, groups of two infected embryos were collected and dissociated using the BD mycoprep Kit. Suspensions were homogenized with a 26G syringe (five times) and dilutions were plated on Middlebrook 7H10 supplemented with 25 mg/ml of kanamycin to determine the colony forming units (CFU). All quantitative results are from triplicate experiments. Wide-field, brightfield and fluorescence live microscopy of infected embryos were performed using an Olympus MVX10 epifluorescence microscope. Images were acquired with a digital color camera (Olympus XC50) and processed using CellSens (Olympus). Fluorescence filters cubes (FITC-MVX10 and TRITC-MVX10) were used to detect green and red light, respectively. Confocal fluorescence microscopy was performed using a Leica DM2500CSQ upright microscope with a Leica TCS SPE confocal scan head, differential interference contrast (DIC) optics and a SuperZGalvo SPE z-step controller. For fixed-sample observations, embryos in 50% glycerol in PBS were mounted flat onto depression transparent slides with a coverslip and observed with a 106 Leica Apo 0.3 NA, 406 Leica Apo oil 1.15 NA or 636 Leica Apo oil 1.33 NA objectives. Overlays of fluorescent and DIC images and 2D reconstructions of image stacks were processed and assembled using LAS-AF software. Final image analysis and visualization were performed using GIMP 2.8 freeware to adjust levels and brightness and to remove out-of-focus background fluorescence.



Ethics statement

All animal experiments described in the present study were conducted at the University Montpellier 2 according to European Union guidelines for handling of laboratory animals (http://ec.europa.eu/environment/chemicals/lab animals/ home en.htm) and were approved by the Direction Sanitaire et Ve'te'rinaire de l'He'rault and Comite' d'Ethique pour l'Expe'rimentation Animale under reference CEEA-LR-13007. The breeding of adult fish adhered to the international guidelines specified by the EU Animal Protection Directive 2010/63/EU and adult zebrafish were not sacrificed for this study. For survival curves, cardiac rhythm was used as a clinical criteria to fix the endpoint at which embryos are euthanized using the anaesthetic Tricaine up to a lethal dose. Condition of the infected animals was monitored three times a day. For CFU counts, embryos were anaesthetized with Tricaine up to a lethal dose before lysis with triton. Embryos that survive infection were anaesthetized with Tricaine up to a lethal dose before bleach treatment. For live imaging analysis, embryos were anaesthetized with Tricaine. For microscopic observation of fixed samples, embryos were fixed with 4% paraformaldehyde after being anaesthetized with Tricaine up to a lethal dose.

Macrophage infection assays

J774 cells were maintained at 37° C in 5% CO₂ in Dulbecco's modified Eagle medium (DMEM) (Gibco) supplemented with 10% fetal bovine serum (FBS) (Gibco). J774 cells were allowed to adhere in a 24-well plate at a density of 5610^4 cells/well for 24 h at 37° C in 5% CO₂.

For infection, M. marinum cultures grown exponentially in Sauton's medium $(OD_{600}$ around 0.8 to 1) were centrifuged, washed in phosphate buffer saline (PBS) and bacterial clumps were disrupted by 8 successive passages through a 26G needle. The remaining aggregates were then eliminated with a short spin (1 min at 1,100 rpm). For experiments including the wbbl2 mutant as control, mycobacteria were grown on Sauton's agar plates (to induce LOS production in the wild-type strain) containing 10% OADC enrichment for 5-7 days as described [26]. Bacterial lawns were scraped off the plates, resuspended in 1 ml of PBS and clumps were disrupted as indicated above followed by low speed centrifugation to eliminate aggregates. In all experiments, macrophages were infected at a multiplicity of infection (MOI) of approximately 2. The infection was allowed to proceed for 3 h at 32°C in 5% CO2 prior to exposure to 200 mg/ml gentamicin for 60 min to kill the remaining extracellular bacteria. Infected cells were then washed three times with PBS. Cells were then lysed with 0.1 ml of 1% Triton X-100 in PBS and the number of intracellular mycobacteria counted by plating appropriate dilutions onto Middlebrook 7H10 agar plates. To evaluate the numbers of phagocytosed bacteria, the ratio between the count of internalized bacteria and the count of bacteria in the inoculum was determined. For kinetic experiments, earlier infection times (0.5, 1, and 2 h) were also assessed. To evaluate the multiplication rate, after the three washes with PBS, infected cells were incubated for 5 days in DMEM medium supplemented with 20 mg/ml gentamicin (a concentration that



prevents growth of *M. marinum* strains) at 32°C in 5% CO₂ prior to cell lysis and bacterial enumeration. The ratio between the number of internalized bacteria at day 5 and the number of internalized bacteria after 3 h infection was calculated. To evaluate bacterial adherence, the same procedure was applied, except that J774 cells were incubated 30 min with 10 mg/ml cytochalasin D prior to infection or were incubated at 4°C during the phagocytic time. All results are derived from a least three independent experiments where strains are tested in triplicate.

To visualize and count the number of bacterium-containing macrophages, a similar protocol was used except that macrophages were allowed to adhere on coverslips prior to infection with fluorescent bacteria carrying the pMV261_mCherry (Table 1). Following exposure to gentamycin, infected cells were washed three times in PBS and labeled with fluorescein-conjugated phalloidin (Sigma), according to the manufacturer's instructions to visualize the shape of the cells. Stained cells were then observed using a Zeiss Axioimager and quantification of mycobacterium-residing cells was determined by counting 20 fields per coverslip. Each strain was analyzed in triplicate.

HeLa cells infection assays

HeLa cells were maintained at 37°C in 5% CO₂ in DMEM supplemented with 10% fetal bovine serum. HeLa cells were allowed to adhere in 24-well plates at a density of 5610⁴ cells per well for 24 h at 37°C in 5% CO₂. For infection, mycobacteria were prepared as described above from Sauton's agar plates because the *wbbl2* mutant was also included in the experiment. The internalization protocol was similar to the phagocytosis protocol.

Extraction and analysis of mycobacterial apolar lipids

M. marinum strains were grown to mid-log growth phase in Sauton's medium containing or not magnesium sulfate and labeled with 0.5 mCi/ml [1-14C]propionate (specific activity of 54 mCi/mmol, American Radiolabeled Chemicals, Inc) for 24 h. The non-polar fraction was separated from the polar fraction as described [27]. The [1-14C]-propionate-labeled apolar lipids were extracted by adding 2 ml of CH₃OH/0.3% NaCl (100/10; v/v) and 2 ml of petroleum ether to the cell pellet followed by stirring for 1 h. After centrifugation, the upper petroleum ether layer was removed and 2 ml of petroleum ether was added to the lower phase. The combined petroleum ether extracts were then evaporated under a nitrogen stream to yield apolar lipids that were resuspended in CH₂Cl₂ and analyzed by TLC using silicagel plates (5735 silicagel 60F254; Merck, Darmstadt, Germany). Equivalent amounts of lipids (20 000 cpm) were spotted on TLC plates that were run in various solvent systems: Petroleum ether/ diethylether 9:1 (v/v) for PDIM; chloroform/methanol 19:1 (v/v) for TDM and PGL and chloroform/methanol 99:1 (v/v) for PAT. TLCs were exposed to a Kodak Biomax MR film for 24h.



Table 1. Bacterial strains and plasmids.

Strains, plasmids, phages	Description or phenotype	Source/Ref.
Mycobacterium marinum strai	ns	
Mma M	wild-type	[16]
Mma DmgtC	DmgtC	This study
Mma DmgtC+mgtC	DmgtC+attB::mgtC	This study
Mma Dwbbl2	Dwbbl2	[26]
Mycobacterium smegmatis st	rains	
mc ² 155	Electroporation-proficient ept mutant of M. smegmatis strain mc26	[49]
Plasmid		
pJSC347	Vector for cloning allelic-exchange substrates to be used for specialized transduction, Hyg ^R	[50]
pMV306	Single-copy-integrating vector, Kan ^R	[22]
pMV306-mgtC	pMV306 carrying the mgtC gene and 840 bp upstream, Kan ^R	This study
pMV261-mCherry	pMV261 carrying mCherry under the control of the hsp60 promoter, Zeo ^R	<u>[51]</u>
Phage		
phAE159	Conditionally replicating shuttle phasmid derived from the lytic mycobacter- iophage TM4	Kind gift from W.R. Jacobs

Statistical analyses

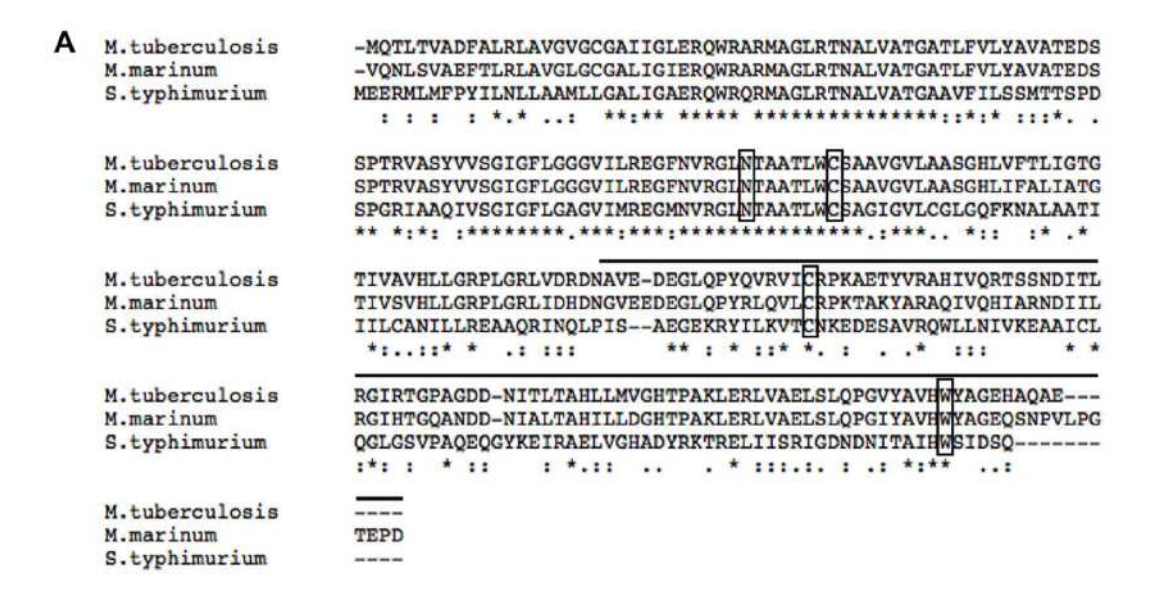
For zebrafish embryos infections, statistical analyses were performed using GraphPad Prism 4 (Graphpad Software). Survival curves were compared between two groups by using the logrank test. For cells infection assays, averages were compared by using an unpaired Student *t*-test. Only *P*-values _ 0.05 were considered as statistically significant.

Results

Identification of a MgtC-like protein in *M. marinum* and construction of *Mma mgtC* mutant strain

An MgtC-like protein is encoded by the MMAR_2687 gene in M. marinum genome (http://mycobrowser.epfl.ch/marinolist.html). The Mma MgtC protein shares strong similarity to the Mtb MgtC protein (82% identity, 90% similarity) (Fig. 1A), the major difference residing in the very C-terminal end of the protein. The sequence of Mma MgtC is also well conserved with that of S. Typhimurium MgtC in the N-terminal half of the protein (61% identity, 73% similarity), but more divergent in the C-terminal half (102 last a.a. 20% identity, 37% similarity). In addition, Mma MgtC harbors four conserved residues that have been shown to be important for Salmonella MgtC function (Fig. 1A) [28]. The genomic organization around mgtC is conserved between M. marinum and M. tuberculosis (Fig. 1B). In both species, mgtC is located downstream of several genes coding for PPE proteins and is adjacent to a gene coding for a protein of unknown function (Rv1810 or MMAR_2686). This genomic organization differs from the one of S. Typhimurium where mgtC is in operon with a gene that encodes a Mg²⁺





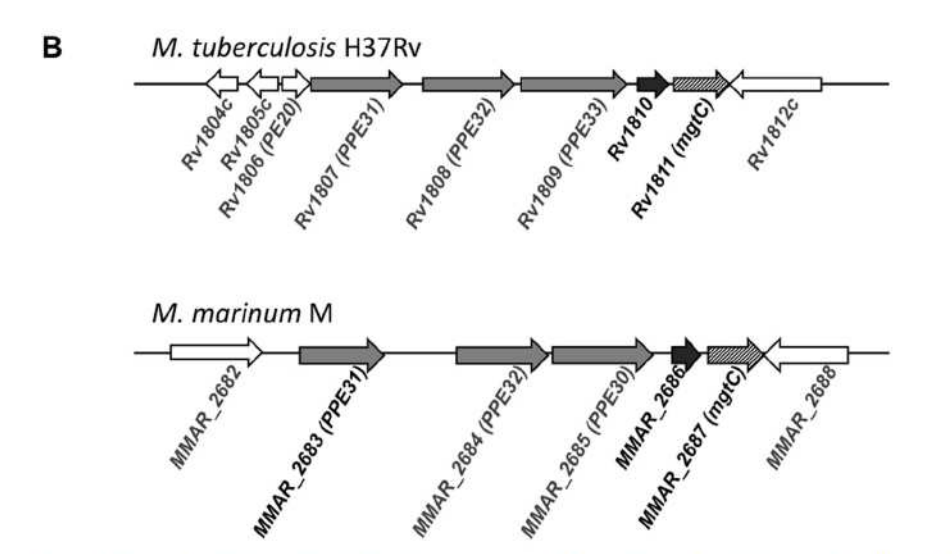


Fig. 1. Alignment of mycobacterial MgtC proteins and genetic environment of mgtC gene. (A) Alignment of S. Typhimurium MgtC (Accession Number AAL22622.1), M. tuberculosis MgtC (Accession Number NP_216327.1) and M. marinum MgtC (Accession Number ACC41130.1) using ClustalW. The upper line indicates the soluble C terminal part. Rectangles indicate four conserved residues that have been shown to be essential for Salmonella MgtC function. (B) Genetic environment of mgtC gene (striped arrows) in M. tuberculosis and M. marinum genomes. In both species, the mgtC gene is adjacent to Rv1810 that is homologous to $MMAR_2686$ (black arrows) and to PPE genes (grey arrows). The $MMAR_2688$ gene is homologous to Rv1812c.

transporter. The position of the regulatory sequences that drive *Mma mgtC* expression is notknown.

To investigate the role of *mgtC* in *M. marinum* pathogenesis, we generated a loss-of-function mutation by replacing the *mgtC* gene with a Hygro^r cassette *via* homologous recombination. The mutation was confirmed by PCR and Southern



blotting (S1 Fig.). This mutation was complemented by introducing in the chromosome the wild-type mgtC gene as well as upstream sequence at the bacterial att site.

Regulation of *Mma mgtC* expression by Mg²⁺ and growth of *mgtC* mutant in Mg²⁺ deprived medium

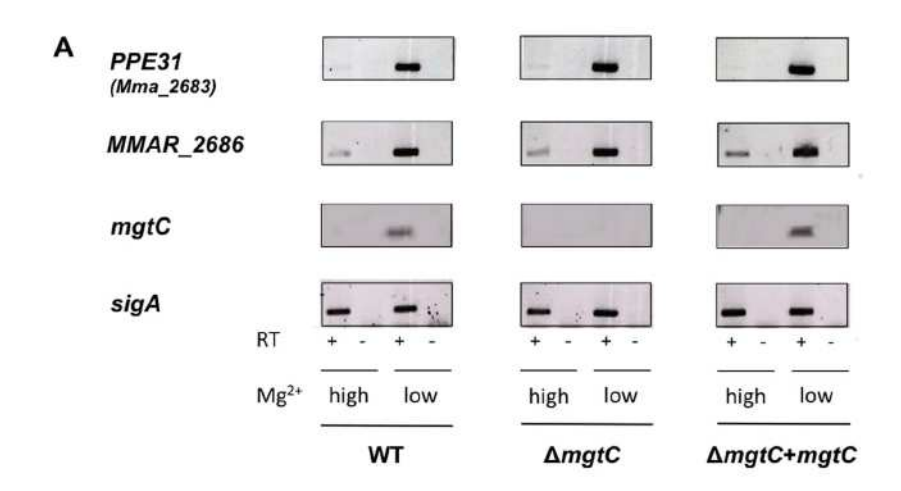
MgtC is highly induced by low Mg²⁺ concentrations in *S*. Typhimurium [11]. In *M. tuberculosis*, Mg²⁺ deprivation only slightly induced the *mgtC* gene (1.5 fold) whereas genes upstream of *mgtC* (Rv1806 through Rv1809) are clearly induced [13, 14]. *M. marinum* M strain was grown in Sauton's medium with or without Mg²⁺ and RNA was extracted to monitor the expression of *mgtC* along with two upstream genes: *MMAR*_2686 that is located immediately upstream *mgtC* and *MMAR*_2683 (*PPE31*), which is the first of the *PPE* genes. RT-PCR experiments indicated that expression of all three genes is highly induced by Mg²⁺ deprivation (Fig. 2A) whereas the control gene *sigA* is similarly transcribed in both conditions. Quantitative RT-PCR using *sigA* gene as internal control indicated an induction level by low Mg²⁺ of about 30 fold for *PPE31* and *mgtC* (Fig. 2B). The induction rate of MMAR_2686 is lower (about 5 fold), due to higher endogenous expression in high Mg²⁺ medium.

RNA extraction was also performed from mgtC mutant and complemented strain, to test the expression of mgtC from an ectopic location. As anticipated, the mgtC gene is not expressed in the mgtC mutant (whereas PPE31 and $MMAR_2686$ are expressed and regulated similarly than in the wild-type context) (Fig. 2). The mgtC gene is expressed and regulated by Mg^{2+} in the complemented strain to a level similar to the one found in the wild-type strain. This result demonstrates that mgtC is properly expressed and regulated at the attB locus in the complemented strain. Thus, upstream sequences present in the complementation vector (i.e included in the 840 bp upstream mgtC) are sufficient for Mg^{2+} regulation of mgtC.

The growth rate of the *mgtC* mutant was evaluated in liquid cultures. The mutant shows a slight growth defect at late exponential phase in Mg²⁺-deprived broth medium (Fig. 3A), but not in medium supplemented with Mg²⁺ (Fig. 3B). As expected, the complemented strain behaves similarly to the wild-type strain in Mg²⁺-deprived medium, confirming the proper expression of the *mgtC* gene at the *attB* locus.

Together, these data indicate that MgtC is induced by Mg²⁺ deprivation and required for optimal growth in Mg²⁺-deprived medium in *M. marinum*. The results allowed validating the complementation of *mgtC* mutant by an extrachromosomal copy of the gene with its upstream DNA sequence.





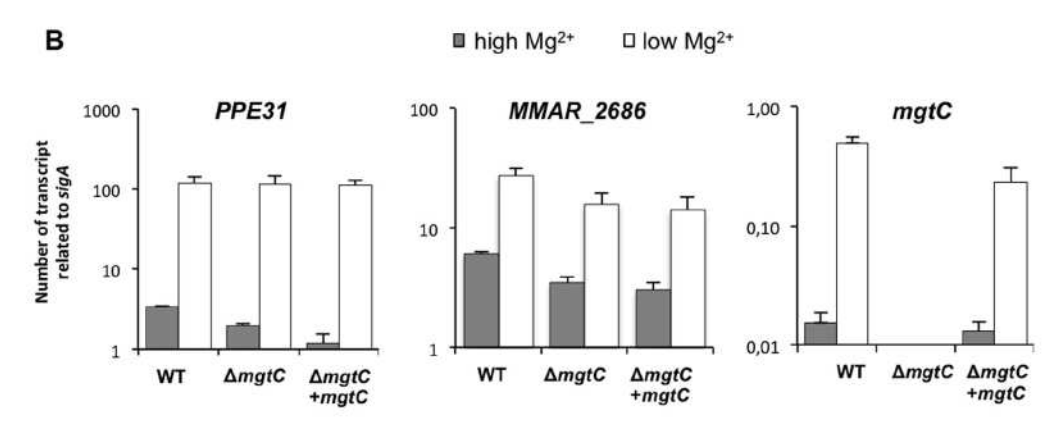
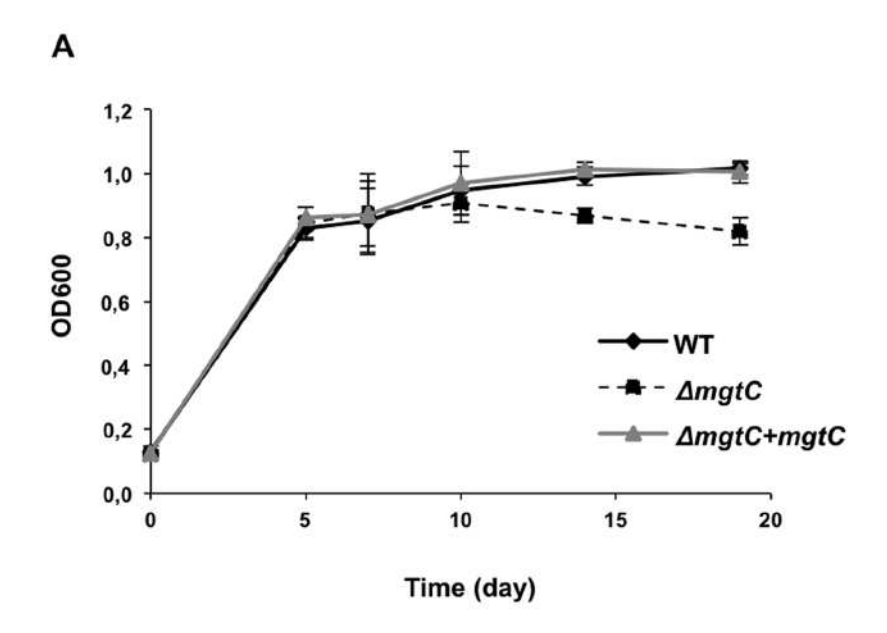


Fig. 2. Expression of *Mma mgtC* and upstream genes in high Mg²⁺ and low Mg²⁺ conditions. (A) RT-PCR experiment on RNA isolated from *M. marinum* strains grown in high or low Mg²⁺ with primers specific for *mgtC*, *MMAR_2686*, *MMAR_2683* (PPE31) and *sigA*. Experiment was carried outwith wild-type strain, *mgtC* mutant strain and complemented strain. Controls where reverse transcriptase was omitted (indicated by RT-) are done to verify the absence of genomic DNA contamination in the RNA sample. The *sigA* gene is used as control. (B) Quantification of *mgtC*, *MMAR_2686* and *MMAR_2683* RNA by Q-RT-PCR experiment using RNA isolated from *M. marinum* strains grown in high or low Mg²⁺. The sigma factor *sigA* was used as an internal standard. Results are expressed as means+standard deviations (SD) from a representative experiment performed in triplicate.

Behaviour of *mgtC* mutant upon intravenous infection in zebrafish embryos

Studies were undertaken using the zebrafish infection model to probe the pathogenicity of the *Mma mgtC* mutant. *MmaM*, DmgtC mutant and DmgtC+attB::mgtC strains were transformed with pMV261_mCherry (S1 Table) and red fluorescent mycobacteria were injected intravenously (iv) in the Caudal Haematopoietic Tissue (CHT) in 30 hpf embryos. In this biological system, ivinjected mycobacteria are rapidly phagocytosed by circulating macrophages [29]. The infected embryos were monitored for survival and bacterial loads at different time points. The survival curves indicated that the virulence of the mgtC mutant is not significantly different from the parental Mma M or the complemented strains





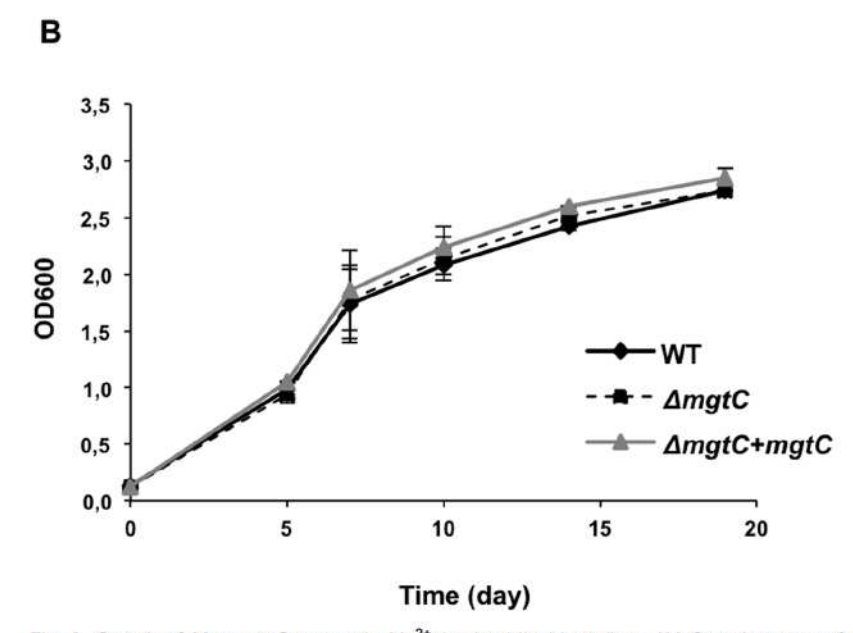


Fig. 3. Growth of $Mma\ mgtC$ mutant in Mg^{2+} deprived liquid medium. (A) Growth curves of $M.\ marinum$ wild-type, DmgtC and DmgtC+mgtC::attB strains grown in Sauton's medium without magnesium. (B) or in regular Sauton's medium supplemented with magnesium. OD_{600} is indicated over the growth period. The curves from two independent experiments are shown with SD.

(Fig. 4A). The bacterial loads after 3 dpi or 5 dpi were slightly lower with the mgtC mutant, since less CFU were counted in embryos injected with the mutant strain comparatively to the wild-type strain (Fig. 4B). The number of neutrophils



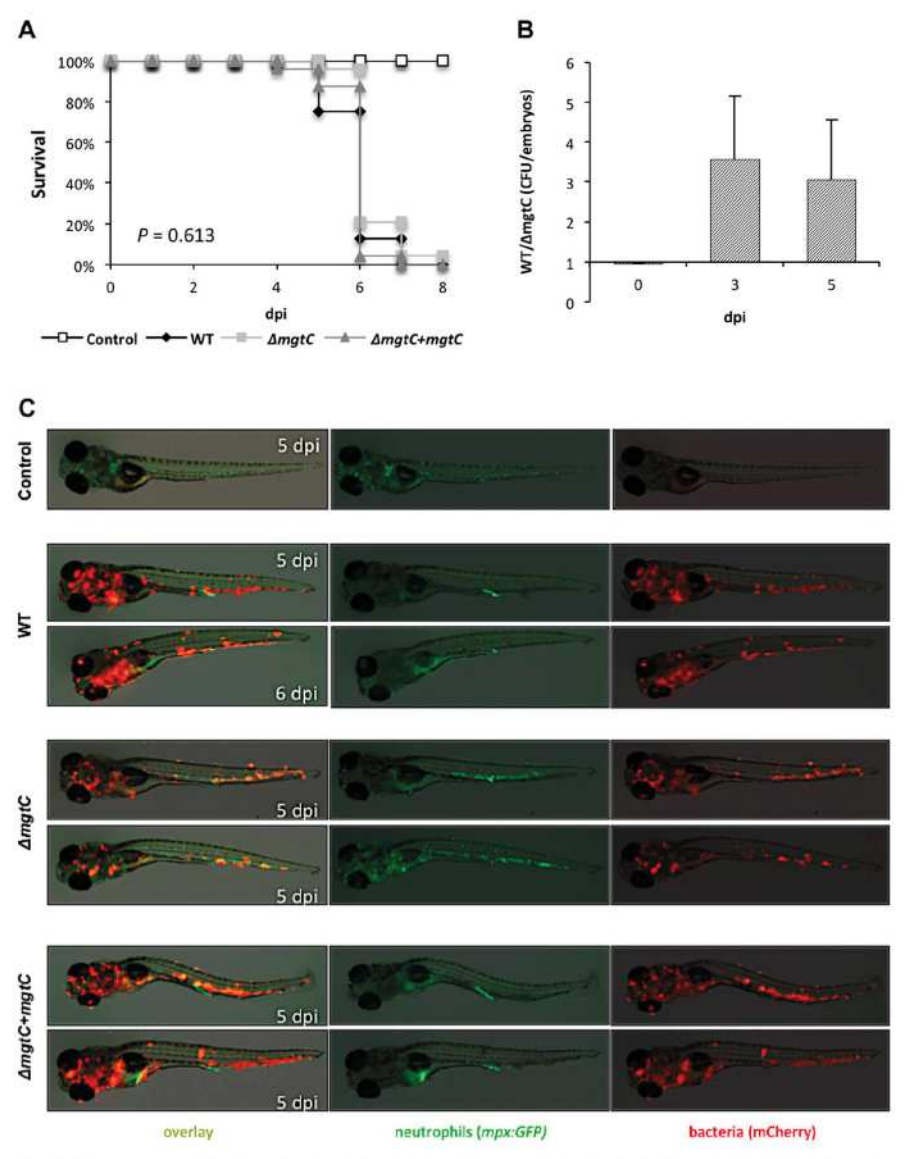


Fig. 4. Intravenous infection of zebrafish with the *Mma mgtC* mutant. (A) Survival of 30 hpf embryos intravenously infected with 150–200 CFU of wild-type *M. marinum*, DmgtC mutant or complemented strain compared to non-injected controls (n524). Results are from a representative experiment (infection with 133 CFU for wild-type, 142 CFU for mgtC mutant and 205 CFU for complemented strain) out of three independent experiments. (B) Ratio of whole embryo bacterial counts between *Mma* M and mgtC mutant strain-infected embryos at 0, 3 and 5 dpi. A ratio of 1 indicates equal CFU values. A ratio _ 1 indicates that WT CFU are higher than mgtC mutant CFU. Results are expressed as mean CFU per embryo+SD from four independent experiments (0 and 5 dpi) or two independent experiments (3 dpi). The mild difference between mutant and wild-type strains is not statistically significant (Student Test). (C) Visualization of neutrophils in mpx:GFP infected larvae at late stages of infection (one day before embryo's death). Neutrophils fluoresce in green while mchemy-expressing bacteria fluoresce in red. Neutropenia occurs in wild-type and complemented strains but not in the mgtC mutant.



has been shown to dramatically decrease in zebrafish larvae unable to control bacterial proliferation upon injection with *Staphylococcus* or *Shigella* and neutropenia has been proposed to correlate with bacterial overgrowth [30, 31]. We took advantage of the *mpx*:GFP transgenic line (harbouring green fluorescent neutrophils) to follow the behaviour of neutrophils at late time of infection. By infecting *mpx*:GFP embryos with *M. marinum* strains, we observed the day before embryo's death that the increased number of bacteria is associated with a drastic decrease of green fluorescence in wild-type and complemented strains, indicative of a neutropenia (Fig. 4C). Interestingly, neutropenia was not observed with the *mgtC* mutant strain the day before embryo's death.

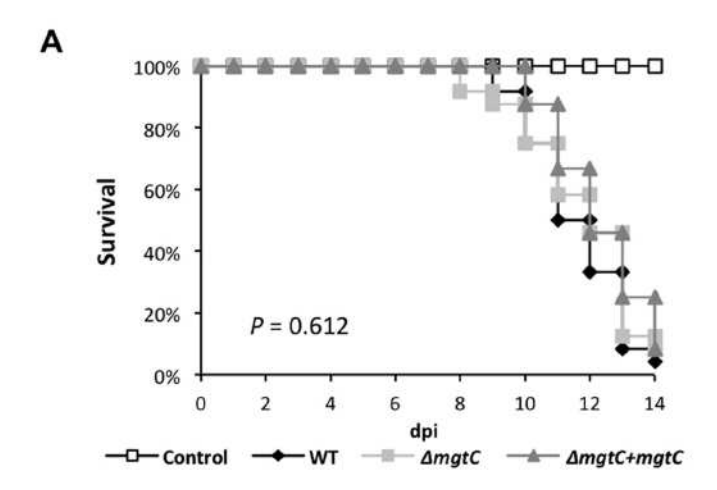
Overall, these results suggest that the *mgtC* mutant may not replicate as efficiently as the wild-type strain in zebrafish embryos, but that this effect is not sufficient to influence the outcome of the infection since embryos died similarly with both strains.

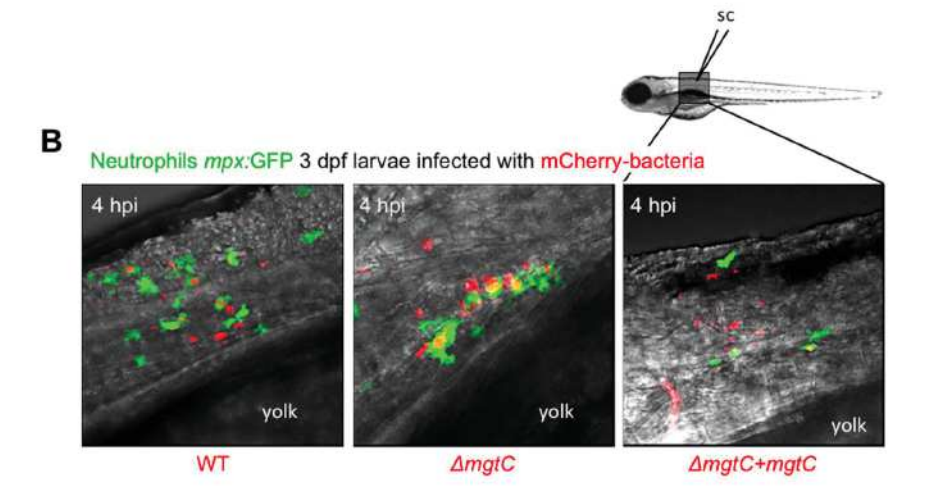
The *Mma mgtC* mutant is more efficiently phagocytosed than its parental strain

To further explore the behaviour of *Mma* strains towards neutrophils at early infection time, we carried out subcutaneous injections because it has been reported that, with this injection route, bacteria are directly taken up by neutrophils recruited at the infection site [32]. These previous subcutaneous experiments were performed using non-pathogenic E. coli and we report here for the first time subcutaneous injections of Mma. Comparing the death curves of embryos failed to show differences between the wild-type and mutant strains (Fig. 5A). Confocal microscopy was then used to study the recruitment of neutrophils at the early stage of infection (4 hpi). In agreement with the previous report on E. coli [32], we show here that neutrophils are recruited at the injection site and that mycobacteria are taken up by neutrophils upon sub-cutaneous injection (Fig. 5B). Interestingly, a higher proportion of red fluorescent bacteria within the green fluorescent neutrophils was detected with the mutant than with its parental or complemented strains, suggesting that the frequency at which the mutant is phagocytosed by neutrophils is higher than the other strains (Fig. 5B). The quantification of infected neutrophils confirmed a significant higher number for mgtC mutant, which was approximately twice that of the two reference strains (Fig. 5C).

To further investigate the behaviour of the *mgtC* mutant towards phagocytosis, experiments were carried out using phagocytic and non-phagocytic cells. Measurement of entry of bacteria into murine J774 macrophages indicated a two-fold increased uptake with the mutant strain as compared to the wild-type or complemented strains (Fig. 6A). The phagocytosis rate was next addressed by visualization of fluorescent bacteria and numeration of infected macrophages, leading to a similar pattern (Fig. 6B). An increased phagocytosis of similar magnitude was also observed upon infection of primary bone-marrow derived macrophages isolated from mice (BMDM) (data not shown). When the cells were







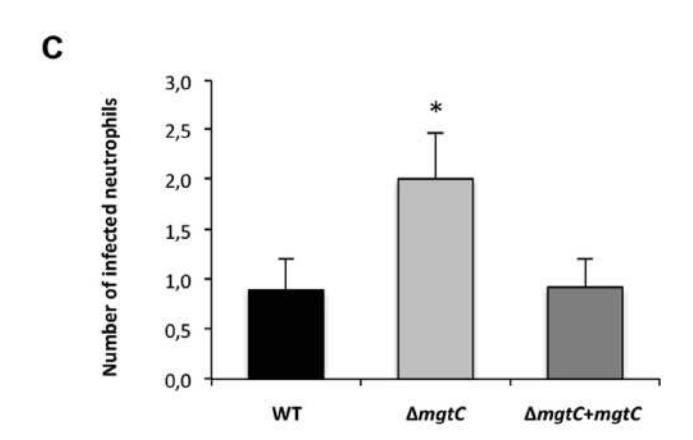
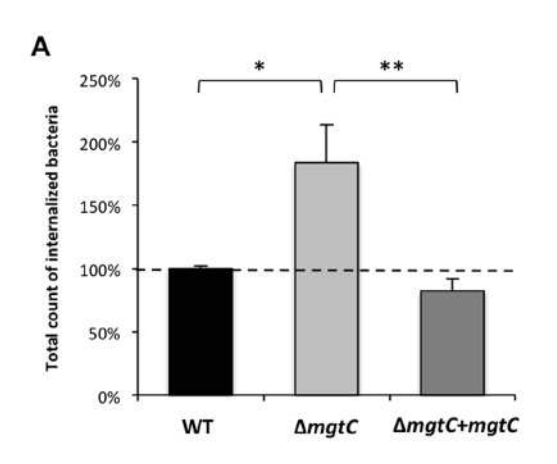
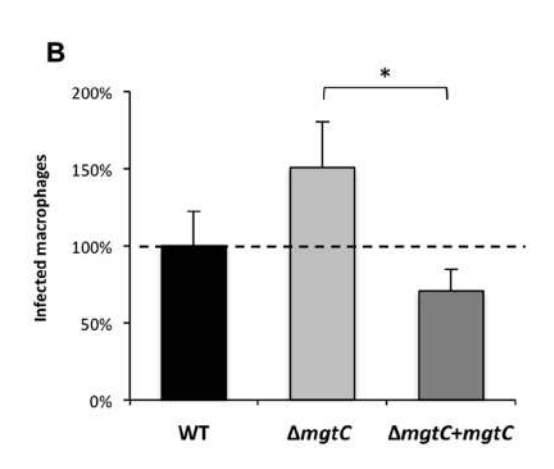
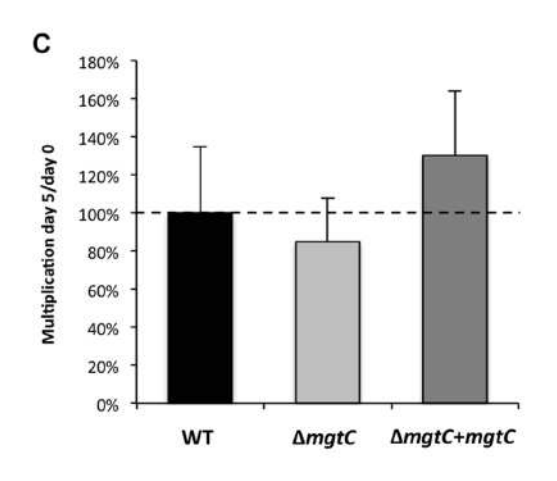




Fig. 5. Increased phagocytosis of *mgtC* mutant by neutrophils upon subcutaneous injection of zebrafish embryos. (A) Survival of embryos subcutaneously injected at 3 dpf with approximately 50–100 CFU of wild-type *M. marinum*, *mgtC* mutant, complemented strain or PBS as control (n524). Results are from a representative experiment (infection with 119 CFU for wild-type, 74 CFU for *mgtC* mutant and 32 CFU for complemented strain) out of three independent experiments. A drawing of the injection site is shown. (B) Maximum intensity projection of neutrophil-phagocytosed bacteria at the site of injection, at 4 hpi by confocal microscopy. (C) Quantification of bacterial phagocytosis by neutrophils. The number of neutrophils containing phagocytosed bacteria at the site of injection was counted at 4 hpi using confocal microscope of a minimum of 10 embryos. Results are expressed+SD from a representative (104 CFU for wild-type, 82 CFU for *mgtC* mutant and 34 CFU for complemented strain) of three independent experiments. Asterisk indicates statistical significance (* *P* * 0.05).







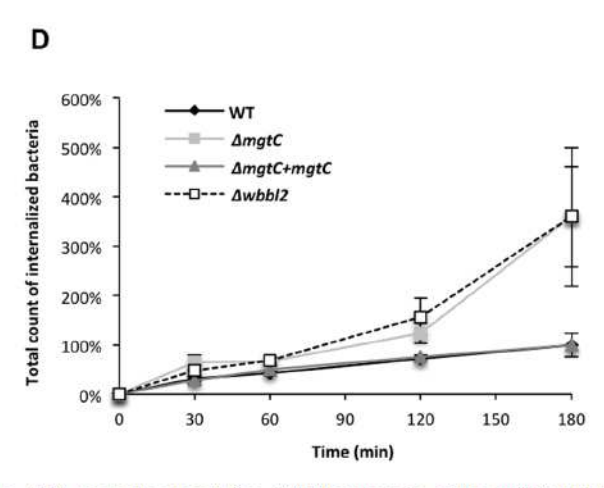


Fig. 6. Phagocytosis and replication of the *mgtC* mutant in the J774 macrophage cell line. (A) Phagocytosis of the *mgtC* mutant and complemented strains by J774 macrophages is normalized to 100% for the wild-type strain. Results are expressed as means+SD from four independent experiments. (B) Numeration of macrophages infected with *mcherry*-expressing bacteria, normalized to 100% for the wild-type strain. Results are expressed as means+SD from three independent experiments. (C) Replication of the *mgtC* mutant and complemented strains by J774 macrophages normalized to the wild-type strain. Results are expressed as means+SD from four independent experiments. (D) Kinetic of phagocytosis of the *mgtC* mutant and complemented strains by J774 macrophages normalized to 100% for the wild-type strain at 180 min. The *wbbl2* mutant strain is used as a positive control. Results are expressed as means § SD (error bars) from three independent experiments. Asterisks indicate statistical significance (* P, 0.05; ** P, 0.01).

doi:10.1371/journal.pone.0116052.g006

PLOS ONE | DOI:10.1371/journal.pone.0116052 December 29, 2014



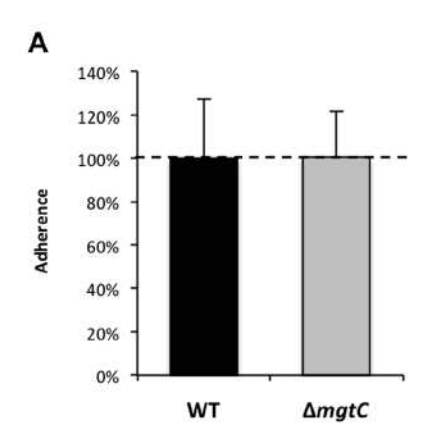
lysed five days after infection to monitor the replication rate, the replication of the mutant appeared slightly lower than the other strains but the difference was not significant (Fig. 6C), which was also confirmed in BMDM (data not shown). We next analyzed the kinetic of mgtC mutant phagocytosis by including a Mma mutant defective in lipooligosaccharide (LOS) production (Dwbbl2 strain), which had been shown to be more efficiently phagocytosed by macrophages [26]. Both the mgtC and the wbbL2 mutant share a highly similar kinetic profile (Fig. 6D). Differences with the parental strain appear more pronounced after 1 hr of infection, suggesting that inactivation of mgtC does not alter very early step of bacterial phagocytosis. Accordingly, when the experiment was carried out at 4°C to prevent active phagocytosis, no difference between the mgtC mutant and the parental strain was observed (Fig. 7A). A similar pattern was also observed following addition of cytochalasin D that prevents actin-driven phagocytosis (Fig. 7B). Hence, the increased phagocytosis of the mutant strain appears mediated by an actin-dependent process. Collectively, these results suggest that the higher phagocytic rate of mgtC mutant is not due to increased bacterial adherence to macrophages but is very likely due to a higher uptake of bacteria.

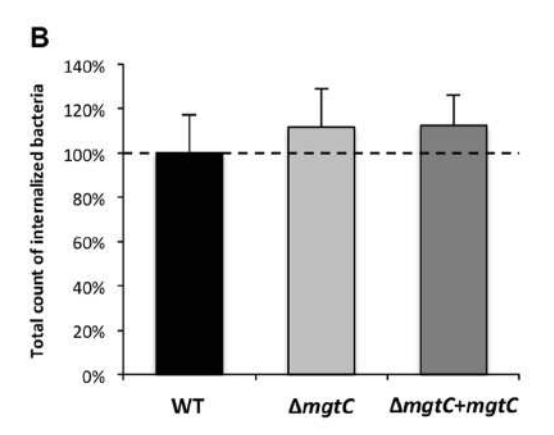
Mycobacterium species have been shown to have the ability to invade non-phagocytic cells, as epithelial cells [33, 34]. To investigate the behaviour of the mgtC mutant towards non-phagocytic cells, internalization experiments were performed using epithelial HeLa cells (Fig. 7C). Whereas the wbbL2 mutant deficient for LOS synthesis shows higher internalization in HeLa cells, the mgtC mutant, as well as its parental and complemented counterpart, were equally internalized. From these results, it can be inferred that the phenotype of the mgtC mutant is restricted to professional phagocytes.

Cell surface analysis

Whereas the function of MgtC in mycobacteria remains unknown, its recent identification as a protein that modulates ATP-synthase in Salmonella implies that MgtC may have pleiotropic effects. Previous studies in Salmonella indicated that the level of some outer membrane proteins are modulated in a mgtC mutant grown in low Mg2+ medium, which may be related with defect in bacterial division and cell elongation [35]. Bacterial surface plays a role in phagocytosis. In this respect, several mycobacterial (glycol)lipids are involved in many aspects of host pathogenesis [36, 37], including the internalization of bacteria by phagocytic and non-phagocytic cells. As mentioned above, LOS are bacterial surface molecules capable to modulate Mma phagocytosis [26, 38]. That the wbbL2 and mgtC mutants are different toward internalization within epithelial cells suggests that mgtC mutant does not act by modulating expression of LOS. However, other cell wall-associated molecules, such as diacyltrehaloses (DAT) and polyacyltrehaloses (PAT), phtiocerol dimycocerosates (DIM) or phenolic glycolipids (PGL), have been reported to participate in M. tuberculosis/M. leprae phagocytosis [39-42].







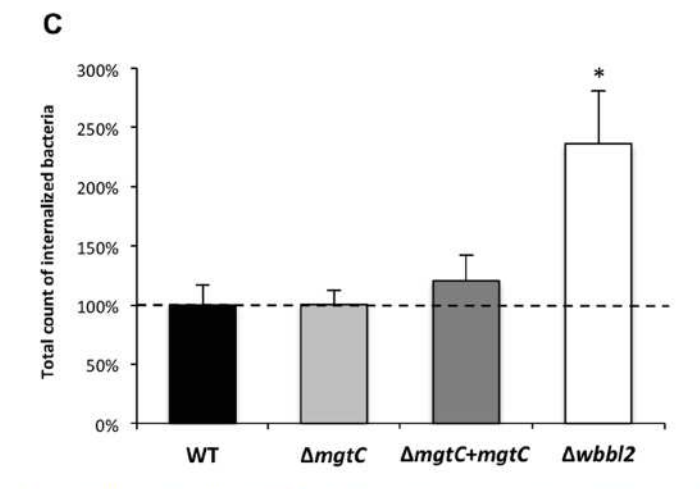


Fig. 7. Adherence of the *mgtC* mutant on J774 macrophages and internalization in HeLa cells. (A) Adherence of the *mgtC* mutant strain to J774 macrophages after a 3-hr period of infection at 4°C, as compared to the WT strain. Results are normalized to 100% for the wild-type strain and expressed as means+SD from three independent experiments. (B) J774 macrophage internalization of the WT, the *mgtC* mutant and the complemented strains after a 3-hr period of infection in the presence of cytochalasin D (10 mg/ml). Results are normalized to 100% for the wild-type strain and expressed as means+SD from three independent experiments. (C) Internalization of the *mgtC* mutant and complemented strains in HeLa cells. The *wbbl2* mutant strain is included as a positive control. Results are normalized to 100% for the wild-type strain and expressed as means+SD from four independent experiments. Asterisks indicate statistical significance (* P, 0.05).

To investigate the molecular basis that may explain the different phagocytosis rate of the mgtC mutant, we compared the profile of TDM/PGL, DIM and PAT in wild-type, mgtC mutant and complemented strain grown in Sauton's medium with or without Mg²⁺ (S2 Fig.). No significant differences were found between the three strains. If bacterial surface indeed differ between the wild-type and the mutant strains, this implies that differences rely on other surface molecules or that experimental conditions are not suitable to detect more subtle qualitative/ quantitative differences.



Discussion

MgtC appears as a unique virulence factor, shared by several intracellular bacterial pathogens, which, at least in S. Typhimurium inhibits bacterial's own F_1F_0 ATP synthase [10]. To further investigate the role of MgtC in mycobacteria, we have investigated its regulation and function in Mma virulence.

The transcription of the Mma mgtC gene and an upstream PPE gene (PPE31) is highly induced by Mg²⁺ limitation (about 30 fold). Complementation experiments demonstrated that the mgtC regulation is driven by a Mg2+-dependent regulatory element present between the end of PPE genes and the mgtC gene and do not rely on the PPE31 upstream sequences. The regulation of Mma mgtC is similar to that of S. Typhimurium and Y. pestis but contrasts with that of M. tuberculosis where the mgtC gene is only slightly induced (1.5 fold) by Mg²⁺ deprivation [13, 14]. Hence, a strong regulation by Mg2+ is not restricted to cases where mgtC is co-transcribed with an Mg²⁺ transporter (as S. Typhimurium Y. pestis). The fact that magnesium dependent expression of MgtC is conserved in phylogenetically distantly related bacteria is probably linked to the conserved function of MgtC in adaptation to magnesium fluctuations as indicated by the requirement of Mma MgtC for optimal growth in Mg2+-deprived broth medium. Despite the conserved role of M. tuberculosis MgtC for optimal growth in low Mg²⁺ media [5], the poor regulation of Mtb mgtC by Mg²⁺ suggests that mgtC regulation has evolved differently in this species. This could be related to the fact that M. tuberculosis is less exposed to environmental conditions, where magnesium concentrations are fluctuating, than non-tuberculous pathogens like M. marinum which have an external lifestyle and have to cope with various environmental changes.

MgtC is regarded as an intramacrophage multiplication factor in several intracellular bacterial pathogens that replicate in phagosomes, including M. tuberculosis [1]. However, we failed to detect a significant multiplication defect of the Mma mgtC mutant in either J774 macrophages or bone-marrow derived macrophages, even though a slight defect was observed. The lack of strong phenotype for the Mma mgtC mutant upon zebrafish embryos infection and intramacrophage replication may be related to the Mma intracellular niche. Even though *Mma* displays many similar virulence traits to *M. tuberculosis*, it exhibits also notable differences such as the ability to promote actin tail formation in the cytoplasm, probably to favor cell-to-cell spread [43]. Mma escapes from the phagosome rapidly and with a frequent rate [44], which may explain the lack of contribution of MgtC in intramacrophage replication. Another hypothesis to explain the discrepancy between the intracellular phenotypes of M. tuberculosis and Mma mgtC mutants may be related to the M. tuberculosis genetic background. Whereas a mgtC mutant constructed in the Erdman background exhibited an intramacrophage replication defect [5], an independent unpublished work reported in a review [45] failed to observe an intracellular growth defect for an mgtC mutant constructed in the H37Rv background, supporting the view that the



genetic requirements and/or macrophage cell type may account for these differences.

The use of transgenic zebrafish embryos with fluorescent neutrophils allowed us to follow neutrophil behaviour in vivo upon Mma infection. Earlier studies demonstrated that neutrophils are very efficient to engulf E. coli on tissue surface but are virtually unable to phagocytose microbes in fluid environments [32]. Consistently, we confirm here that *Mma* can be phagocytosed by neutrophils shortly after infection upon subcutaneous injection, whereas neutrophils do not phagocytose *Mma* at initial site of infection when injected in the circulation [46]. After injection in the circulation, neutrophils are recruited to the granulomas where they phagocytize dying infected macrophages [46]. At later stages of infection, we observed a neutrophil depletion associated with bacteremia preceding the death of the larvae following infection with wild-type Mma. Neutropenia has also been reported in zebrafish embryos unable to control Staphylococcus or Shigella proliferation [30, 31]. This behaviour has been proposed to be a critical correlate of bacterial overgrowth [30], supported by the fact that in clinical infection, leukopenia is observed in overwhelming infections and is regarded as a poor prognostic sign [47]. Interestingly, neutropenia is not seen in embryos infected with the Mma mgtC mutant. The finding that bacterial loads in embryos are restricted with the mutant strain supports the idea of a direct link between neutropenia and the bacterial burden.

Mma MgtC is dispensable for intramacrophage replication, but we uncovered a novel role for MgtC in the early phase of macrophage infection. Our results indicate the Mma mgtC mutant is more efficiently phagocytosed than the wildtype strain by neutrophils upon subcutaneous infection of zebrafish embryos. This was subsequently confirmed in ex vivo experiments using various types of macrophages. In addition, this phenotype appears specific to phagocytic cells since no difference was found in epithelial cells, which contrasts with a LOS defective mutant that clearly showed increased uptake by macrophages and epithelial cells. In addition, kinetic experiments, as well as experiments carried out at 4°C, indicate that MgtC does not play a role in the initial attachment events of bacteria to macrophages but rather in later steps of the internalization process. Moreover, experiments carried out in the presence of cytochalasine D confirmed that this phenotype relies on an actin-based process. Cumulatively, our results demonstrate that the presence of MgtC limits the phagocytic process. Despite of its phagocytosis phenotype, the mgtC mutant is not attenuated in the zebrafish larvae infection model. This finding is consistent with other studies in Mma or M. tuberculosis mutants that also exhibited higher phagocytosis rate and were not correlated with an increased virulence phenotype in animal models [26, 39].

Several surface/cell wall components, including LOS, DAT/PAT, DIM and PGL, have been shown to modulate mycobacterial phagocytosis [36]. The glycan-rich outer layer of *M. tuberculosis* cell wall can act as an antiphagocytic capsule but its effect is mediated by limiting the association of the bacterium with macrophages [48], which thus differs from MgtC effect. Given the distinct phenotypes characterizing the *mgtC* and LOS mutants towards non-phagocytic cells, we



propose that the differences reside unlikely in these glycolipids. DAT/PAT deficiency improved binding and entry of *M. tuberculosis* both in phagocytic and non-phagocytic cells, thus also differing from the phenotype of *Mma mgtC* mutant [39]. Interestingly, DIM deficiency reduced *M. tuberculosis* internalization in macrophages in an actin-dependent process, without affecting the bacterial binding to macrophages [40]. However, our TLC analysis failed to reveal major differences in DIM between the strains in the conditions tested. Moreover, no differences were found in the other lipids tested (DAT/PAT and PGL). Hence, experimental conditions may not be optimized to detect quantitative differences in those lipids or other surface molecules may be involved. Alternatively, the uptake phenotype may be driven by a mechanism that triggers signaling pathways of phagocytic receptors and/or early trafficking without noticeable bacterial surface modification.

In conclusion, our results indicate that the Mg²⁺ regulation of MgtC and its role for optimal growth in Mg²⁺-deprived media is conserved among bacteria that are not phylogenetically linked as *M. marinum* and *S.* Typhimurium. The role of MgtC in macrophages has been previously reported to be dissociated from its role in low Mg²⁺ medium [28]. This view is further substantiated by the present study, since *Mma* MgtC appears to have a role towards phagocytic cells linked to phagocytosis rather than intracellular multiplication. Even though the precise role of *Mma* MgtC during the infection process remains to be established, our results suggest that the involvement of MgtC towards professional phagocytes has evolved in bacterial pathogens, possibly to fit to the specific pathogen's lifestyles.

Supporting Information

S1 Fig. Construction of *mgtC* mutant in *M. marinum*. A) A DNA substrate for allelic replacement of the *M. marinum mgtC* gene was generated by cloning 979 bp upstream and downstream *mgtC* sequences to flank the *hyg*^R gene. The locations of primers 1/19, 2/29 and 3/39 used to check the *mgtC* mutant by PCR are indicated by arrows. Electrophoresis migration of PCR fragments 1 (primers 1/19), 2 (primers 2/29) and 3 (primers 3/39) amplified from cultures of wild-type and *mgtC* mutant strain is shown. The upper lane indicates the 1569 bp DNA fragment cloned in the integrative vector pMV306 to complement the *Mma mgtC* mutant. B) Southern blot analysis of the *mgtC* mutant. The genomic structure of gene replacement mutant was examined by Southern blot analysis. Chromosomal DNA of wild-type and *mgtC* mutant strains were digested with *Xho*I and probed with either a segment of DNA of *mgtC* or the *hyg*^R cassette. Hybridization signals at the expected size are detected (1792 bp for the *mgtC* probe in the wild-type strain and 3012 bp for *hyg* probe in the mutant strain). doi:10.1371/journal.pone.0116052.s001 (TIFF)

S2 Fig. Lipid profiles. One-dimensional autoradiographic TLC of [1-¹⁴C]-propionate-labeled apolar lipids from *M. marinum* wild-type, *mgtC* mutant and complemented strains grown in Sauton's liquid medium A) or in Sauton's liquid



medium without magnesium B). Equal amount (20,000 cpm) of radiolabeled lipids were spotted on TLC plates run in various solvents: chloroform/methanol (19:1, v/v) for TDM/PGL, chloroform/methanol (99:1, v/v) for PAT and petroleum ether/diethylether 9:1 (v/v) for PDIM.

doi:10.1371/journal.pone.0116052.s002 (TIFF)

S1 Table. Primers used in the study. doi:10.1371/journal.pone.0116052.s003 (DOC)

Acknowledgments

We thank Steve Renshaw (University of Sheffield, UK) for providing the mpx::GFP fish line and William Jacobs (Albert Einstein College of Medicine, Bronx, NY) for the gift of phAE159 phage. We thank Catherine Gonzalez for fish facility maintenance, Audrey Bernut for assistance with confocal microscopy and the RIO Imaging platform at University Montpellier 2.

Author Contributions

Conceived and designed the experiments: CB LGZ GL ABBP. Performed the experiments: CB LGZ ABBP. Analyzed the data: CB LGZ GL LK ABBP. Contributed reagents/materials/analysis tools: GL LK. Wrote the paper: CB ABBP.

References

- Alix E, Blanc-Potard A-B (2007) MgtC: a key player in intramacrophage survival. Trends Microbiol 15: 252–256.
- Blanc-Potard A-B, Groisman EA (1997) The Salmonella selC locus contains a pathogenicity island mediating intramacrophage survival. EMBO J 16: 5376–5385.
- Lawley TD, Chan K, Thompson LJ, Kim CC, Govoni GR, et al. (2006) Genome-wide screen for Salmonella genes required for long-term systemic infection of the mouse. PLoS Pathog 2: e11.
- Thompson JA, Liu M, Helaine S, Holden DW (2011) Contribution of the PhoP/Q regulon to survival and replication of Salmonella enterica serovar Typhimurium in macrophages. Microbiology 157: 2084–2093.
- Buchmeier N, Blanc-Potard A-B, Ehrt S, Piddington D, Riley L, et al. (2000) A parallel intraphagosomal survival strategy shared by Mycobacterium tuberculosis and Salmonella enterica. Mol Microbiol 35: 1375–1382.
- Lavigne J-P, O'Callaghan D, Blanc-Potard A-B (2005) Requirement of MgtC for Brucella suis intramacrophage growth: a potential mechanism shared by Salmonella enterica and Mycobacterium tuberculosis for adaptation to a low-Mg²⁺ environment. Infect Immun 73: 3160–3163.
- Grabenstein JP, Fukuto HS, Palmer LE, Bliska JB (2006) Characterization of phagosome trafficking and identification of PhoP-regulated genes important for survival of Yersinia pestis in macrophages. Infect Immun 74: 3727–3741.
- Maloney KE, Valvano MA (2006) The mgtC Gene of Burkholderia cenocepacia is required for growth under magnesium limitation conditions and intracellular survival in macrophages. Infect Immun 74: 5477–5486.
- Retamal P, Castillo-Ruiz M, Mora GC (2009) Characterization of MgtC, a virulence factor of Salmonella enterica serovar Typhi. PLoS One 4: e5551.
- Lee E-J, Pontes MH, Groisman EA (2013) A bacterial virulence protein promotes pathogenicity by inhibiting the bacterium's own F₁F₀ ATP synthase. Cell 154: 146–156.

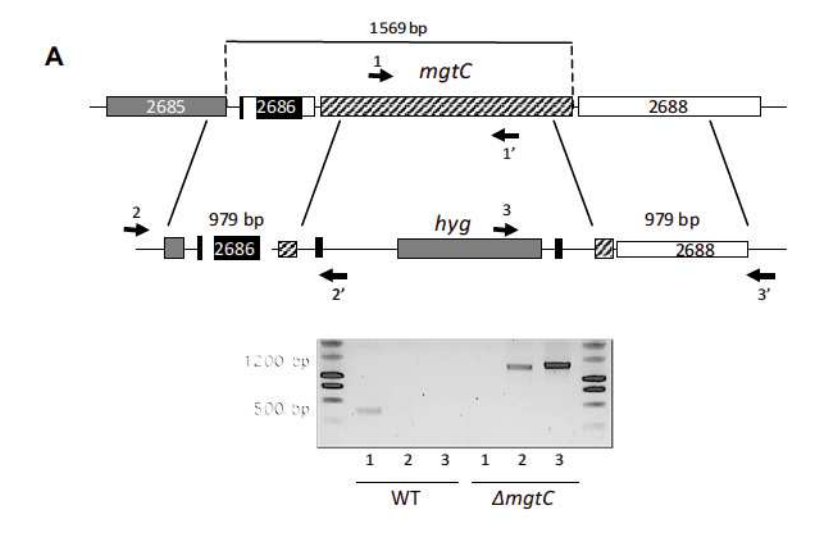


- Ve'scovi EG, Soncini FC, Groisman EA (1996) Mg²⁺ as an extracellular signal: environmental regulation of Salmonella virulence. Cell 84: 165–174.
- Zhou D, Han Y, Qin L, Chen Z, Qiu J, et al. (2005) Transcriptome analysis of the Mg²⁺-responsive PhoP regulator in Yersinia pestis. FEMS Microbiol Lett 250: 85–95.
- Walters SB, Dubnau E, Kolesnikova I, Laval F, Daffe M, et al. (2006) The Mycobacterium tuberculosis PhoPR two-component system regulates genes essential for virulence and complex lipid biosynthesis. Mol Microbiol 60: 312–330.
- Yang Y, Labesse G, Carre're-Kremer S, Esteves K, Kremer L, et al. (2012) The C-terminal domain of the virulence factor MgtC is a divergent ACT domain. J Bacteriol 194: 6255–6263.
- Blanc-Potard A-B, Lafay B (2003) MgtC as a horizontally-acquired virulence factor of intracellular bacterial pathogens: evidence from molecular phylogeny and comparative genomics. J Mol Evol 57: 479-486
- Stinear TP, Seemann T, Harrison PF, Jenkin GA, Davies JK, et al. (2008) Insights from the complete genome sequence of Mycobacterium marinum on the evolution of Mycobacterium tuberculosis. Genome Res 18: 729–741.
- Tobin DM, Ramakrishnan L (2008) Comparative pathogenesis of Mycobacterium marinum and Mycobacterium tuberculosis. Cell Microbiol. 10: 1027–1039.
- Ramakrishnan L (2013) Looking within the zebrafish to understand the tuberculous granuloma. In: Divangahi M, editor. The new paradigm of immunity to tuberculosis. Advances in experimental medicine and biology. Springer New York, pp. 251–266.
- Meijer AH, van der Vaart M, Spaink HP (2014) Real-time imaging and genetic dissection of hostmicrobe interactions in zebrafish. Cell Microbiol 16: 39–49.
- Torraca V, Masud S, Spaink HP, Meijer AH (2014) Macrophage-pathogen interactions in infectious diseases: new therapeutic insights from the zebrafish host model. Dis Model Mech 7: 785–797.
- Larsen MH, Biermann K, Tandberg S, Hsu T, Jacobs William R (2007) Genetic manipulation of Mycobacterium tuberculosis. Current Protocols in Microbiology. John Wiley & Sons, Inc.
- Stover CK, de la Cruz VF, Fuerst TR, Burlein JE, Benson LA, et al. (1991) New use of BCG for recombinant vaccines. Nature 351: 456–460.
- Lamason RL, Mohideen M-APK, Mest JR, Wong AC, Norton HL, et al. (2005) SLC24A5, a putative cation exchanger, affects pigmentation in zebrafish and humans. Science 310: 1782–1786.
- Renshaw SA, Loynes CA, Trushell DMI, Elworthy S, Ingham PW, et al. (2006) A transgenic zebrafish model of neutrophilic inflammation. Blood 108: 3976–3978.
- Westerfield M (2007) The zebrafish book: a guide for the laboratory use of zebrafish (*Danio rerio*), 5th ed. Eugene: University of Oregon Press.
- Alibaud L, Pawelczyk J, Gannoun-Zaki L, Singh VK, Rombouts Y, et al. (2014) Increased phagocytosis of Mycobacterium marinum mutants defective in lipooligosaccharide production. J Biol Chem 289: 215–228.
- Dobson G, Minnikin DE, Minnikin SM, Parlett JH, Goodfellow M, et al. (1995) Systematic analysis of complex mycobacterial lipids. Chemical Methods in Bacterial Systematics. Goodfellow M. and Minnikin D.E., (eds). pp. 237–265.
- Rang C, Alix E, Felix C, Heitz A, Tasse L, et al. (2007) Dual role of the MgtC virulence factor in host and non-host environments. Mol Microbiol 63: 605–622.
- Clay H, Davis JM, Beery D, Huttenlocher A, Lyons SE, et al. (2007) Dichotomous role of the macrophage in early Mycobacterium marinum infection of the zebrafish. Cell Host Microbe 2: 29–39.
- Mostowy S, Boucontet L, Mazon Moya MJ, Sirianni A, Boudinot P, et al. (2013) The zebrafish as a new model for the *in vivo* study of *Shigella flexneri* interaction with phagocytes and bacterial autophagy. PLoS Pathog 9: e1003588.
- Prajsnar TK, Cunliffe VT, Foster SJ, Renshaw SA (2008) A novel vertebrate model of Staphylococcus aureus infection reveals phagocyte-dependent resistance of zebrafish to non-host specialized pathogens. Cell Microbiol 10: 2312–2325.



- Colucci-Guyon E, Tinevez J-Y, Renshaw SA, Herbomel P (2011) Strategies of professional phagocytes in vivo: unlike macrophages, neutrophils engulf only surface-associated microbes. J Cell Sci 124: 3053–3059.
- Bermudez LE, Shelton K, Young LS (1995) Comparison of the ability of Mycobacterium avium, M. smegmatis and M. tuberculosis to invade and replicate within HEp-2 epithelial cells. Tuber Lung Dis 76: 240–247
- Flesselles B, Anand NN, Remani J, Loosmore SM, Klein MH (1999) Disruption of the mycobacterial cell entry gene of *Mycobacterium bovis* BCG results in a mutant that exhibits a reduced invasiveness for epithelial cells. FEMS Microbiol Lett 177: 237–242.
- Alix E, Miki T, Felix C, Rang C, Figueroa-Bossi N, et al. (2008) Interplay between MgtC and PagC in Salmonella enterica serovar Typhimurium. Microb Pathog 45: 236–240.
- Astarie-Dequeker C, Nigou J, Passemar C, Guilhot C (2010) The role of mycobacterial lipids in host pathogenesis. Drug Discov Today Dis Mech 7: e33–e41.
- Tabouret G, Astarie-Dequeker C, Demangel C, Malaga W, Constant P, et al. (2010) Mycobacterium leprae phenolglycolipid-1 expressed by engineered M. bovis BCG modulates early interaction with human phagocytes. PLoS Pathog. 6: e1001159.
- Ren H, Dover LG, Islam ST, Alexander DC, Chen JM, et al. (2007) Identification of the lipooligosaccharide biosynthetic gene cluster from Mycobacterium marinum. Mol Microbiol 63: 1345– 1359.
- Rousseau C, Neyrolles O, Bordat Y, Giroux S, Sirakova TD, et al. (2003) Deficiency in mycolipenateand mycosanoate-derived acyltrehaloses enhances early interactions of Mycobacterium tuberculosis with host cells. Cell Microbiol 5: 405–415.
- Astarie-Dequeker C, Le Guyader L, Malaga W, Seaphanh F-K, Chalut C, et al. (2009) Phthiocerol dimycocerosates of M. tuberculosis participate in macrophage invasion by inducing changes in the organization of plasma membrane lipids. PLoS Pathog 5: e1000289.
- Schlesinger LS, Horwitz MA (1991) Phenolic glycolipid-1 of Mycobacterium leprae binds complement component C3 in serum and mediates phagocytosis by human monocytes. J Exp Med 174: 1031–1038.
- Vilcheze C, Molle V, Carrere-Kremer S, Leiba J, Mourey L, et al. (2014) Phosphorylation of KasB regulates virulence and acid-fastness in Mycobacterium tuberculosis. PLoS Pathog. 10: e1004115.
- Stamm LM, Morisaki JH, Gao L-Y, Jeng RL, McDonald KL, et al. (2003) Mycobacterium marinum escapes from phagosomes and is propelled by actin-based motility. J Exp Med 198:1361–1368.
- Collins CA, De Maziere A, van Dijk S, Carlsson F, Klumperman J, et al. (2009) Atg5-independent sequestration of ubiquitinated mycobacteria. PLoS Pathog 5: e1000430.
- Smith I (2003) Mycobacterium tuberculosis pathogenesis and molecular determinants of virulence. Clin Microbiol Rev 16: 463–496.
- Yang C-T, Cambier CJ, Davis JM, Hall CJ, Crosier PS, et al. (2012) Neutrophils exert protection in the early tuberculous granuloma by oxidative killing of mycobacteria phagocytosed from infected macrophages. Cell Host Microbe 12: 301–312.
- Fine M, Smith M, Carson C, Mutha S, Sankey S, et al. (1996) Prognosis and outcomes of patients with community-acquired pneumonia: A meta-analysis. JAMA 275: 134–141.
- Stokes RW, Norris-Jones R, Brooks DE, Beveridge TJ, Doxsee D, et al. (2004) The glycan-rich outer layer of the cell wall of *Mycobacterium tuberculosis* acts as an antiphagocytic capsule limiting the association of the bacterium with macrophages. Infect Immun 72: 5676–5686.
- Snapper SB, Melton RE, Mustafa S, Kieser T, Jacobs WR (1990) Isolation and characterization of efficient plasmid transformation mutants of Mycobacterium smegmatis. Mol Microbiol 4: 1911–1919.
- Sambandamurthy VK, Wang X, Chen B, Russell RG, Derrick S, et al. (2002) A pantothenate auxotroph of *Mycobacterium tuberculosis* is highly attenuated and protects mice against tuberculosis. Nat Med 8: 1171–1174.
- Alibaud L, Rombouts Y, Trivelli X, Burguie're A, Cirillo SLG, et al. (2011) A Mycobacterium marinum TesA mutant defective for major cell wall-associated lipids is highly attenuated in Dictyostelium discoideum and zebrafish embryos. Mol Microbiol 80: 919–934.

Figure S1



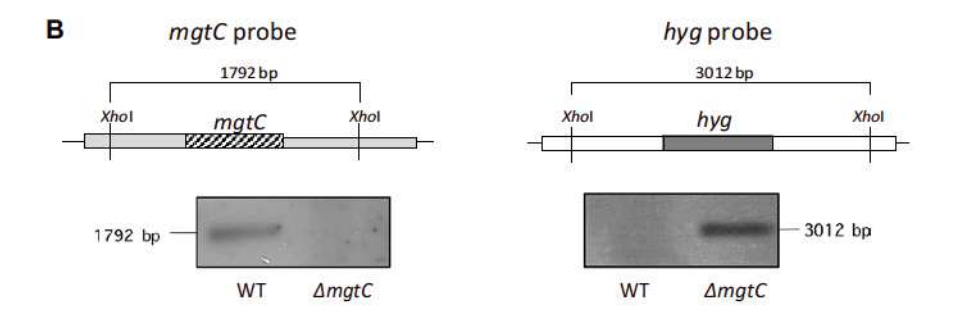


Figure S2

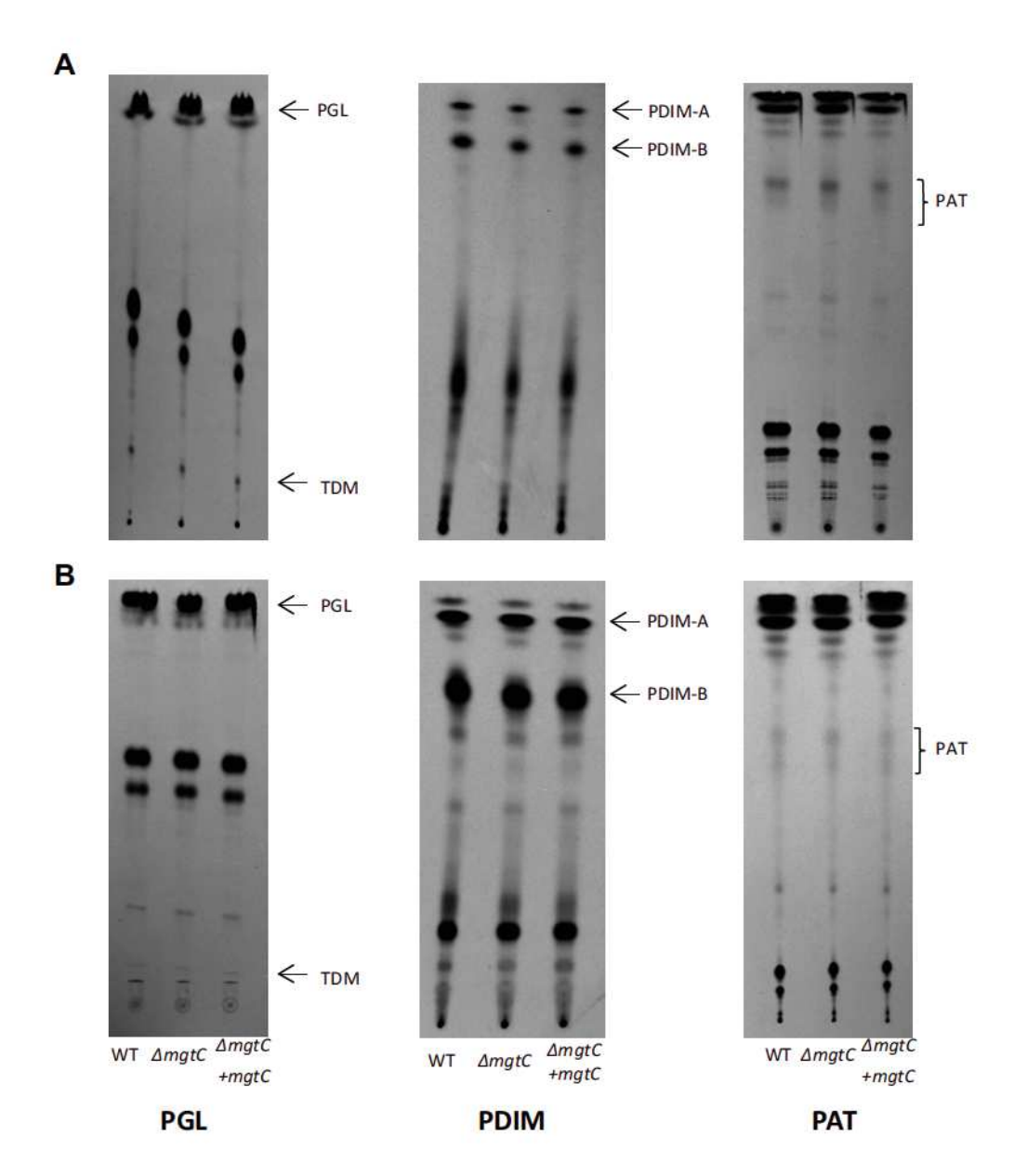


Table S1

Primers	Sequences
pMV306-Xbal-5'	GGTCTAGACAGCCAGGCTAGTGGGGA
pMV306-HindIII-3'	CCCAAGCTTTCAGTCCGGCTCGGTGCC
Mma_mgtC_qPCR_F	GGAGCCACGCTATTCGTCTT
Mma_mgtC_qPCR_R	GCGCAAAGATCAAGTGTCCG
Mma_2686_qPCR_F	GGCTGTCTGCCATGATTTGG
Mma_2686_qPCR_R	ATCCGGGATTGTGGGTCTTC
PPE31_Mma_qPCR_F	CCGTAGAGGCCCAATACTGC
PPE31_Mma_qPCR_R	AGTGTTGGAAGACGCCAGTC
SigA_Mma_qPCR_F	ACGGTGATCGTGCGAAAAAC
SigA_Mma_qPCR_R	CGCGTAGGTGGAGAACTTGT
mgtCint-F	TGGTGGCCACCGGAGCCAC
mgtCint-R	CAACAGGATGTGGGCGGTC
pMV5'	GCCCGGCCAGCGTAAGTAG
pJSC347-SpeI-up-5'	GGACTAGTGTATCCATGCTGTGCACC
pJSC347-HindIII-up-3	CCCAAGCTTCGCTCGATGCCGATGAGG
pJSC347-XmaI-down-5'	CCCCCGGGGCTGGTGGCCGAGCTGTC
pJSC347-KpnI-down-3'	GGGGTACCGTCAGGTGGCCAAGCCCG

1.1.3 Résultats complémentaires

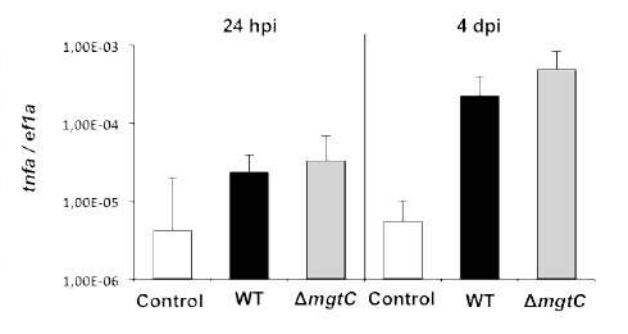
1.1.3.1 La réponse inflammatoire de l'hôte dans le modèle d'infection d'embryons de Danio suite à l'infection par la souche sauvage et le mutant mgtC de M. marinum

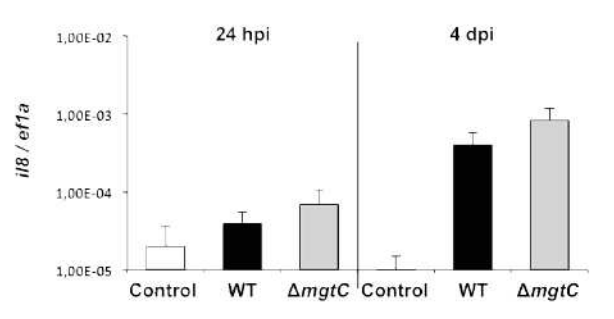
La réponse inflammatoire de l'hôte est un aspect important des infections mycobactériennes. Face à un recrutement de neutrophiles et une phagocytose du mutant mgtC augmentés, nous avons quantifié l'expression d'un certain nombre de cytokines, notamment le TNF(et l'IL-8. Le TNF(est une cytokine pro-inflammatoire principalement sécrétée par les macrophages notamment lors de la phase aigüe d'une infection. L'IL-8 est une chémokine, également sécrétée par les macrophages et connue pour être un facteur de chimiotactisme des neutrophiles et donc induire leur recrutement.

Des extractions d'ARN ont donc été réalisées à partir d'embryons infectés par voie souscutanée par la souche sauvage et le mutant mgtC, ou non infectés (control) aux temps 24 hpi et 4 dpi. J'ai ensuite effectués une qRT-PCR avec des oligos spécifiques des cytokines. Le gène ef1a a été utilisé comme référence.

Les résultats obtenus ont montré que, comme lors d'une infection par voie intraveineuse, les deux cytokines, TNF(et IL-8, sont induites. Cette induction est plus marquée à 4 dpi. Concernant le TNF(, l'induction semble identique entre les deux souches. Pour l'IL-8, l'induction à 24 hpi et à 4 dpi est légèrement plus forte avec le mutant mgtC mais la différence avec la souche sauvage n'est pas significative. Cette légère différence est en accord avec l'augmentation de recrutement des neutrophiles observée avec le mutant mgtC (figure 39). Les autres cytokines testées (IFN©1; IFN©2; IL1 β ; CXC1; CXC3; CXC4; CXC5; CXC6) ne montraient pas de différence d'induction entre les deux souches (résultats non montrés).

Figure 39 – Expression relative du *tnf*((haut) et de l'il8 (bas) à différents temps post-infection sous trois conditions différentes, embryons non injectés (control), souche sauvage (WT) et mutant *mgtC* (⊗ *mgtC*) de *M. marinum* injectés en souscutanée. Le nombre de CFU injectées pour le WT et le mutant *mgtC* sont respectivement de 47 et 150. Une RT-PCR quantitative en temps réel sur des ARN extraits de l'embryon entier a été réalisée en utilisant *ef1a* comme gène de référence; les barres d'erreur représentent les intervalles de confiance à 95% (Student's *t*-test). Une absence de chevauchement des barres d'erreur indique *P*<0.05.





1.1.3.2 Analyse protéomique comparative de la souche sauvage et du mutant mgtC de Mycobacterium marinum

Une analyse protéomique a été réalisée pour identifier une protéine d'environ 25 kDa qui semblait plus exprimée dans le mutant mgtC. Des expériences complémentaires ont finalement montré qu'il s'agissait d'un artefact causé par la présence d'hygromycine dans les cultures du mutant mgtC mais les données de protéomique pourraient être informatives. Par ailleurs, cette taille étant proche de celle de MgtC de M. marinum (25,8 kDa), nous pensions également détecter la protéine MgtC dans cette analyse.

L'analyse protéomique a été réalisée 3 fois selon les conditions suivantes. Toutes les expériences ont été réalisées à partir de lysats de la fraction membranaire provenant de cultures ayant poussé en présence d'hygromycine pour le mutant mgtC. Pour les deux premières expériences, les lysats provenaient de cultures en milieu Sauton normal. La troisième expérience a été réalisée à partir de lysats provenant de cultures en milieu Sauton normal ou carencé en Mg^{2+} .

MgtC n'a jamais été détecté même à partir de lysat carencé en Mg²⁺. Il est possible que l'expression de la protéine soit trop faible ou réfractaire à l'analyse protéomique pour laquelle les protéines membranaires sont moins représentées.

Cependant, la première expérience a permis de mettre en évidence des différences entre la souche sauvage et le mutant mgtC. Les principales sont répertoriées dans le tableau 3.

Protéines plus représentées dans la souche sauvage (WT)	MW (kDa) 24,2
phosphoglycerate mutase, Gpm_1 [Mycobacterium marinumM]	
TRK system potassium uptake protein CeoB [Mycobacterium marinum M]	24,1
glycosyl transferase [Mycobacterium marinum M]	25,3
short-chain type oxidoreductase [Mycobacterium marinum M]	26,1
ipoprotein LpqQ [Mycobacterium marinumM]	25,9
ipoate biosynthesis protein B LipB [Mycobacterium marinum M]	25,1
glucose-inhibited division protein B Gid [Mycobacterium marinum M]	24,8
triosephosphate isomerase Tpi [Mycobacterium marinumM]	27,3

Protéines plus représentées dans le mutant mgtC	MW (kDa)
glycerophosphoryl diester phosphodiesterase GlpQ1 [Mycobacterium marinum M]	
methyltransferase [Mycobacterium marinum M]	30,5
short-chain type dehydrogenase/reductase [Mycobacterium marinum M]	29,8
phosphate-transport system transcriptional regulatory protein PhoY1 [Mycobacterium marinum M]	24,2
adenylate kinase (ATP-AMP transphosphorylase), Adk [Mycobacterium marinum M]	20,1
conserved lipoprotein LppX [Mycobacterium marinumM]	24,0
transcriptional regulatory protein (possibly TetR-family) [Mycobacterium marinum M]	23,7
phosphate-transport system regulatory protein, PhoY2 [Mycobacterium marinum M]	24,7
transcription regulator, TetR family [Mycobacterium marinum M]	23,0
adenine phosphoribosyltransferase, Apt [Mycobacterium marinum M]	19,0

Tableau 3 – Protéines les plus représentées dans la souche sauvage et le mutant *mgtC*. La sélection est basée sur le nombre de peptides (cut-off > 3 et absence pour l'autre souche).

Cette analyse fait ressortir de nombreuses protéines dont la représentation peptidique est différente pour les deux souches. La signification biologique de ces résultats reste inconnue. Parmi les protéines retrouvées dans cette analyse, nous nous sommes notamment intéressés à Adk qui présentait un intérêt par rapport à des données non publiées chez *Salmonella* (EA Groisman, communication personnelle). J'ai mené une étude pour évaluer si la transcription du gène adk était différente dans la souche sauvage et le mutant mgtC. Les résultats ont montré qu'il n'y avait pas de différence à ce niveau-là. Ne disposant pas d'anticorps dirigé contre cette protéine pour confirmer les données de protéomique, les investigations se sont arrêtées à ce stade.

1.2 Rôle de MgtC chez le pathogène extracellulaire Pseudomonas aeruginosa et potentialités anti-virulence du peptide MgtR

1.2.1 Résumé de l'article 2

Les bactéries pathogènes ont développé des stratégies pour s'adapter à l'environnement de l'hôte et résister à la réponse immunitaire de l'hôte. Plusieurs pathogènes bactériens intracellulaires, notamment Salmonella enterica et Mycobacterium tuberculosis, partagent le facteur de virulence MgtC acquis par transfert horizontal de gène et qui est important pour la multiplication intramacrophagique.

MgtC est également présent chez le pathogène *Pseudomonas*. Nous avons donc étudié pour la première fois le rôle de MgtC dans la virulence d'un pathogène extracellulaire, *Pseudomonas aeruginosa*. Ma contribution dans cette étude s'est faite principalement aux niveaux de la compréhension des mécanismes impliqués dans les phénotypes décrits et de la régulation de la protéine MgtC de *P. aeruginosa*. J'ai également étudié l'effet antivirulence du peptide MgtR de *Salmonella* sur la protéine MgtC de *P. aeruginosa*.

Un mutant mgtC a été construit par nos collaborateurs du LISM à Marseille. Ils ont étudié l'effet du magnésium et la formation de biofilm.

Audrey Bernut a montré que le mutant mgtC de P. aeruginosa est atténué dans le modèle d'infection d'embryon de danio. Ce phénotype atténué est dépendant de la présence de macrophages. Lors d'expérimentations ex vivo, Anne Blanc-Potard a montré que le mutant mgtC de P. aeruginosa est plus sensible que la souche sauvage à l'effet bactéricide des macrophages et j'ai montré que cela différait du phénotype d'un mutant T3SS. Cependant, les deux souches ont le même comportement lorsque les macrophages sont traités avec un inhibiteur de l'ATPase vacuolaire. Ces résultats sont en faveur de l'implication d'une étape intramacrophagique lors d'une infection aigüe à P. aeruginosa et ils suggèrent que MgtC nécessite l'acidification phagosomale pour jouer son rôle intracellulaire.

De plus, MgtC est nécessaire pour une croissance optimale dans un milieu carencé en Mg²⁺, une propriété partagée par les facteurs MgtC des pathogènes intracellulaires.

MgtC partage donc une fonction similaire entre pathogènes intracellulaires et extracellulaire ce qui contribue à la subversion macrophagique et affine l'adaptation de la réponse immunitaire de l'hôte en relation aux différents styles de vie bactériens.

Enfin, les phénotypes observés avec le mutant mgtC dans les modèles d'infection peuvent être mimés par une souche sauvage qui exprime un peptide antagoniste de MgtC (MgtR), ce qui désigne MgtC comme une nouvelle cible prometteuse dans le cadre d'une stratégie anti-virulence.

1.2.2 Article 2 – A macrophage subversion factor is shared by intracellular and extracellular pathogens



RESEARCH ARTICLE

A Macrophage Subversion Factor Is Shared by Intracellular and Extracellular Pathogens

Claudine Belon¹, Chantal Soscia², Audrey Bernut¹, Aurélie Laubier², Sophie Bleves^{2*}, Anne-Béatrice Blanc-Potard^{1*}

1 Laboratoire de Dynamique des Interactions Membranaires Normales et Pathologiques, Université de Montpellier, CNRS-UMR5235, Montpellier, France, 2 CNRS & Aix-Marseille Université, Laboratoire d'Ingénierie des Systèmes Macromoléculaires (UMR7255), Marseille, France

These authors contributed equally to this work.

* bleves@imm.cnrs.fr (SB); anne.blanc-potard@univ-montp2.fr(ABBP)



GOPEN ACCESS

Citation: Belon C, Soscia C, Bernut A, Laubier A, Bleves S, Blanc-Potard A-B (2015) A Macrophage Subversion Factor Is Shared by Intracellular and Extracellular Pathogens. PLoS Pathog 11(6): e1004969. doi:10.1371/journal.ppat.1004969

Editor:Alan R. Hauser, Northwestern University, UNITED STATES

Received: December 18, 2014

Accepted: May 21,2015

Published: June 16,2015

Copyright: ©2015Belonetal. This is an open accessarticle distributed undertheterms of the Creative Commons Attribution License, which permits unrestricted use, distribution, and reproduction in any medium, provided the original authorandsourceare credited.

DataAvailabilityStatement:Allrelevantdataare within the paper and its Supporting Information files.

Funding: This work is supported by Vaincre La Mucoviscidose (IC1002, IC0902 and RF20110600446/1/1/47). CB is supported by a MRT fellowship from the French Ministry of Research and the Fondation for Medical Research (FRM FDT20140930905). AB is supported by a VLM fellowship (RF20110600446/1/1/47). The funders had no role in study design, data collection and analysis, decision to publish, or preparation of the manuscript.

Abstract

Pathogenic bacteria have developed strategies to adapt to host environment and resist host immune response. Several intracellular bacterial pathogens, including Salmonella enterica and Mycobacterium tuberculosis, share the horizontally-acquired MgtC virulence factor that is important for multiplication inside macrophages. MgtC is also found in pathogenic Pseudomonas species. Here we investigate for the first time the role of MgtC in the virulence of an extracellular pathogen, Pseudomonas aeruginosa. A P. aeruginosa mgtC mutant is attenuated in the systemic infection model of zebrafish embryos, and strikingly, the attenuated phenotype is dependent on the presence of macrophages. In ex vivo experiments, the P. aeruginosa mgtC mutant is more sensitive to macrophage killing than the wild-type strain. However, wild-type and mutant strains behave similarly toward macrophage killing when macrophages are treated with an inhibitor of the vacuolar proton ATPase. Importantly, P. aeruginosa mgtC gene expression is strongly induced within macrophages and phagosome acidification contributes to an optimal expression of the gene. Thus, our results support the implication of a macrophage intracellular stage during P. aeruginosa acute infection and suggest that Pseudomonas MgtC requires phagosome acidification to play its intracellular role. Moreover, we demonstrate that P. aeruginosa MgtC is required for optimal growth in Mg2+ deprived medium, a property shared by MgtC factors from intracellular pathogens and, under Mg2+ limitation, P. aeruginosa MgtC prevents biofilm formation. We propose that MgtC shares a similar function in intracellular and extracellular pathogens, which contributes to macrophage resistance and fine-tune adaptation to host immune response in relation to the different bacterial lifestyles. In addition, the phenotypes observed with the mgtC mutant in infection models can be mimicked in wild-type P. aeruginosa strain by producing a MgtC antagonistic peptide, thus highlighting MgtC as a promising new target for anti-virulence strategies.



Competing Interests: The authors have declared that no competing interests exist.

Author Summary

Pathogenic bacteria have to resist host immune response and MgtC is used by several intracellular pathogens to promote bacterial multiplication inside macrophages. Here we investigated MgtC's role in the virulence of an extracellular pathogen, *Pseudomonas aeruginosa*. A *P. aeruginosa mgtC* mutant is attenuated in zebrafish embryos, but only in the presence of macrophages. Moreover, this mutant is more rapidly killed by macrophages than the wild-type strain. Both phenotypes can be mimicked upon production of a MgtC antagonistic peptide in wild-type *Pseudomonas* strain. MgtC thus provides a singular example of a virulence determinant that promotes strategies to subvert the antimicrobial behavior of macrophages, in both intracellular and extracellular pathogens and our results support an intramacrophage stage during in *P. aeruginosa* acute infection, as well as an interplay between MgtC role and phagosome acidification. In addition, *P. aeruginosa* MgtC is required for growth in Mg²⁺ deprived medium, a property shared by MgtC factors from intracellular pathogens, and limits biofilm formation. MgtC may share a similar function in intracellular and extracellular pathogens, with an outcome adapted to the different bacterial lifestyles

Introduction

Pathogenic bacteria have developed numerous strategies to adapt to host environment and common strategies can be used by pathogens that share similar lifestyle or similar environmental niches. MgtC is a virulence factor common to several intracellular pathogens [1]. It was first described in Salmonella enterica serovar Typhimurium (S. Typhimurium) as required for intramacrophage multiplication and systemic infection in mice [2-4]. MgtC appears as a singular factor that promotes pathogenicity by inhibiting the Salmonella's own F1F0 ATP synthase [5]. MgtC has been shown to directly interact with F₁F₀ ATP synthase, thereby altering its ability to translocate protons and to couple translocation to ATP synthesis. Salmonella mgtC is highly regulated both at the transcriptional and post-transcriptional levels. This regulation includes a positive regulation by Mg²⁺ deprivation [6] and by an increase in cytosolic ATP [7] as well as a negative regulation by the MgtR peptide [8]. MgtC was also described as a critical factor for the intramacrophage growth of Mycobacterium tuberculosis, Brucella suis, Yersinia pestis, Burkholderia cenocepacia and Salmonella enterica serovar Typhi, being a virulence factor in a mouse model for M. tuberculosis and B. cenocepacia [9-13]. More recently, a contribution for MgtC in phagocytosis has been uncovered in Mycobacterium marinum [14]. In addition, MgtC has been involved in adaptation to low Mg2+ environments in these many pathogens [1]. However, the role of MgtC in low Mg²⁺ environments can be dissociated from its role in macrophages, suggesting that MgtC has a dual function [15].

Genes encoding MgtC-like proteins are found in a limited number of eubacterial genomes and phylogenetic analysis suggested that *mgtC* has been acquired by horizontal gene transfer repeatedly throughout bacterial evolution [16]. Alignment of MgtC-like proteins as well as hydrophobicity pattern clearly define two domains: an hydrophobic N-terminal part, highly conserved in all MgtC-like proteins, and a soluble C-terminal part that is much more variable, but specifically conserved in the subgroup of MgtC proteins from intracellular pathogens [16]. Noticeably, this phylogenetic subgroup also contains two MgtC-like proteins, PA4635 and PA2558, from *Pseudomonas aeruginosa* [16], suggesting a potential common function with proteins from intracellular pathogens. Because of this phylogenetic clustering, we have previously investigated whether the *P. aeruginosa mgtC*-like genes can complement a *S*. Typhimurium



 $\Delta mgtC \, strain \, [\underline{15}]. PA4635 \, fully \, complemented \, the \, Salmonella \, mgtC \, mutant \, for \, growth \, in \, low \, Mg^{2+} \, medium \, but \, not \, in \, macrophages. \, On the \, other \, hand, \, PA2558 \, failed \, to \, complement \, the \, Salmonella \, \Delta mgtC \, mutant \, for \, growth \, both \, in \, low \, Mg^{2+} \, medium \, and \, in \, macrophages. \, In \, addition, a mino-acid sequence a lignment of MgtC-like proteins \, from \, Salmonella \, phylogenetic \, subgroup \, indicated \, that \, some \, conserved \, residues \, important \, for \, Salmonella \, MgtC \, function \, are \, not \, conserved \, in \, PA2558 \, [\underline{15}]. \, Taken \, together, \, these \, results \, suggested \, that \, only \, PA4635 \, shares \, functional \, properties \, with \, the \, Salmonella \, MgtC \, and \, is \, herein \, referred as \, P. \, aeruginosa \, MgtC.$

In the present study, we investigated for the first time the role of MgtC in an extracellular pathogen, P. aeruginosa. The environmental bacterium and opportunistic human pathogen P. aeruginosa is a major cause of mortality in cystic fibrosis (CF) patients. Interestingly, MgtC has been highlighted as a horizontally-acquired gene shared by several opportunistic bacteria infecting CF patients [17]. P. aeruginosa virulence and resistance to treatment is largely due to its ability to form biofilms, whose stability can be affected by extracellular cations [18,19]. P. aeruginosa is known to impair host phagocytic functions in chronic lung infections of CF patients. However, macrophages can play a protective role against P. aeruginosa infection in a systemic model of infection in zebrafish embryos, where P. aeruginosa has been shown to be phagocytosed by macrophages [20]. In addition, despite the fact that P. aeruginosa is an extracellular pathogen, an intracellular step in airway epithelial cells might occur before the formation of biofilm during the acute phase of infection [21,22]. In the present study, we have constructed a P. aeruginosa mgtC mutant and have analysed its infection phenotype in animal and cellular models, as well as biofilm formation. We also investigated mgtC gene expression in vitro and in cellulo. In addition, MgtR, a peptide that has been proposed as a MgtC antagonist in Salmonella [8] has been heterologously produced in a wild-type P. aeruginosa strain (P. aeruginosa does not encode a MgtR homologue). We establish that MgtC contributes to Pseudomonas acute infection and resistance to macrophage killing, thus being a factor that subverts the antimicrobial behavior of macrophages both in intracellular and extracellular pathogens.

Results

Phylogenetic analysis of MgtC-like proteins from Pseudomonas species

The genome of *P. aeruginosa* strain PAO1 encodes two MgtC-like proteins, PA4635 and PA2558, which both belong to the same phylogenetic subgroup as *Salmonella* MgtC [16]. In Fig 1A, we provided a phylogenetic analysis of this subgroup that focused on proteins from bacterial pathogens able to replicate in macrophages for which MgtC role in virulence has been studied, as well as proteins from opportunistic bacteria infecting CF patients.

As mgtC sequences may have been acquired by horizontal gene transfer [16], we investigated the distribution of mgtC coding sequence in Pseudomonas genomes and performed phylogenetic analysis. MgtC appeared to be conserved in all P. aeruginosa strains present in the Pseudomonas genome database [23,24], including the atypical PA7 strain [24]. In addition, MgtC was found in the insect pathogen Pseudomonas entomophila as well as the closely related Pseudomonas putida (> 85% identity with PA4635, Fig 1B). In contrast, other Pseudomonas species harbor MgtC-like proteins that largely differ from PA4635 (below 40% identity, Fig 1B) or do not harbor any MgtC-like protein (Pseudomonas syringae). This analysis indicates a strong association of MgtC with Pseudomonas species that are pathogenic for humans and insects, suggesting a putative role during animal/human host infection.

To address the role of MgtC in P. aeruginosa, we constructed an in-frame deletion in mgtC (PA4635) to avoid any polar effect on the expression of the downstream PA4636 gene (S1 Fig). The resulting $\Delta mgtC$ mutation was complemented by a single copy of the mgtC gene with its own promoter inserted into the unique attB site in strain PAO1 (S1 text).



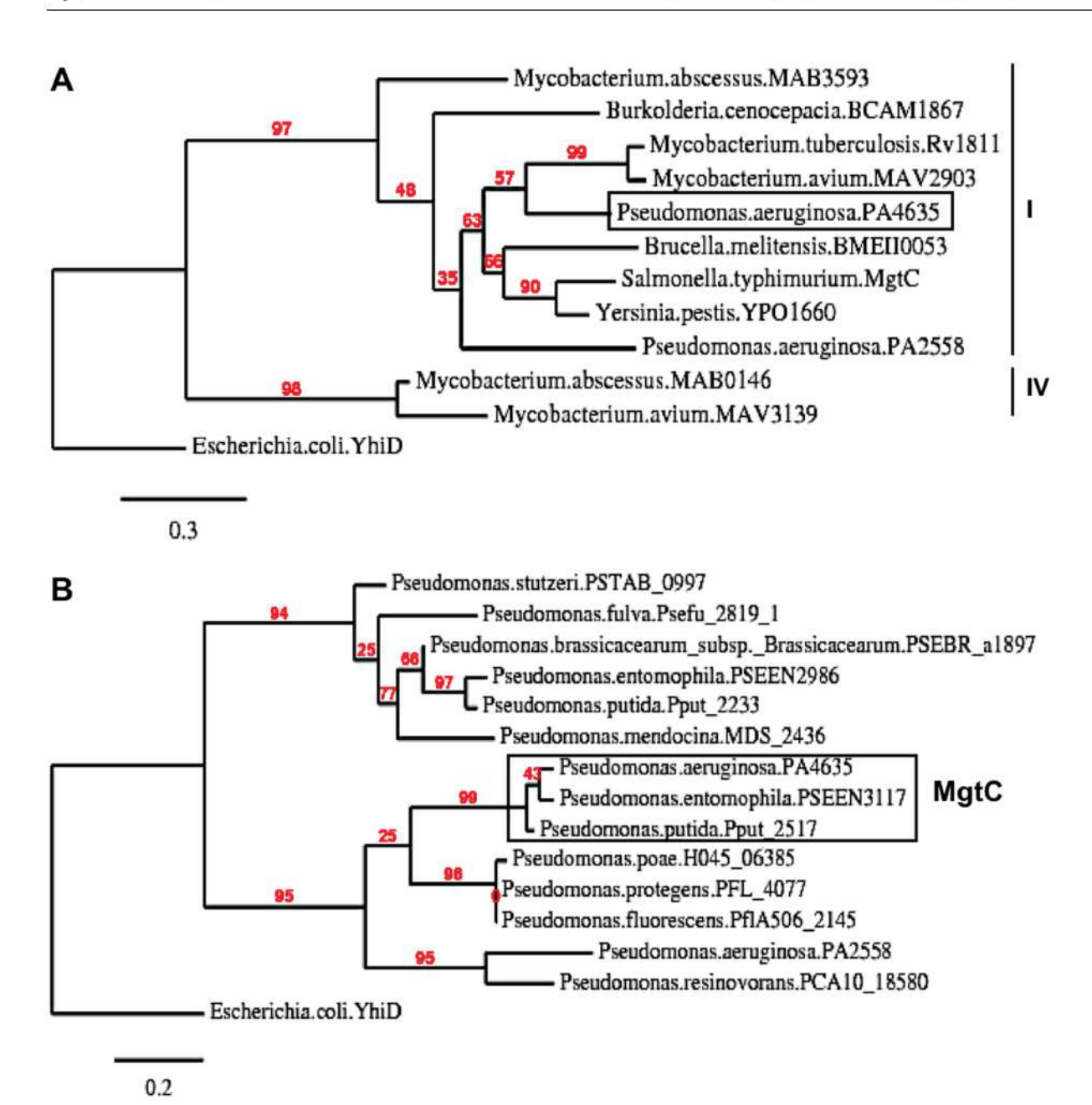


Fig 1. Phylogenetic analysis of *Pseudomonas* MgtC-like proteins. (A) Phylogenetic tree of MgtC-like proteins from bacterial pathogens that survive in macrophages for which MgtC role in virulence has been studied (*S.* Typhimurium, *M. tuberculosis*, *B. suis*, *B. cenocepacia*, *Y. pestis*) and opportunist bacterial pathogens found in CF patients (*P. aeruginosa*, *B. cenocepacia*, *M. avium*, *M. abscessus*). Several bacteria, including *P. aeruginosa*, encode two MgtC-like proteins. Phylogenetic analyses were carried out with the "Phylogeny.fr" web server (http://www.phylogeny.fr) [57] using MUSCLE, PhyML and TreeDyn softwares. Numeration of phylogenetic groups follows a previous analysis [58]. *Escherichia coli* YhiD is used as a distantly related MgtC-like protein [16] to root the tree. (B) Phylogenetic tree of MgtC-like sequences recovered from *Pseudomonas* genomes. MgtC-like protein sequences were recovered from *Pseudomonas* genomes. MgtC-like protein sequences were recovered from BlastP analysis using PA4635 sequence on completed genomes from the *Pseudomonas* genome database (https://v2.pseudomonas.com/) [23]. PA4635 is conserved (>99% identity) in the 10 *P. aeruginosa* genomes other than PAO1 found in the *Pseudomonas* database, including the divergent strain PA7. Besides *P. aeruginosa* genomes, MgtC is found in *P. entomophila* and *P. putida* (>85% identity with PA4635). Other genomes harbors MgtC-like proteins that differ from PA4635 (<40% identity with PA4635).



MgtC is important for *P. aeruginosa* virulence in the *Danio rerio* infection model in a macrophage-dependent manner

To evaluate the role of MgtC in *P. aeruginosa* virulence, we used the zebrafish (*Danio rerio*) embryo model. This model, which has been used for various intracellular and extracellular bacterial pathogens, is a model of choice to investigate the contribution of cells from the innate immune system during infection [25]. The *Danio* has been successfully used to monitor the role of *P. aeruginosa* determinants in virulence based on survival curves of larvae infected with mutants deficient in type III secretion system (T3SS) or Quorum Sensing [20,26]. Bacteria producing a fluorescent protein were injected intravenously in the caudal vein of embryos (Fig 2A) at 30 hours post-fertilization, a time where macrophages, but not neutrophils, are fully functional and capable of engulfing invading bacteria [27]. The survival curves of infected embryos indicated that MgtC is a critical virulence determinant in this model since the *mgtC* mutant is significantly attenuated as compared to the wild-type PAO1 strain (Fig 2B). In agreement, fluorescence microscopy of 18 hpi infected embryos showed a lower bacterial burden with PAO1 strain than *mgtC* mutant (Fig 2C).

Confocal microscopy at early time after injection allowed us to visualize bacteria phagocytosed by macrophages close to the site of injection (Fig 2D). Macrophages can be depleted from zebrafish embryos with a validated method that uses antisens oligonucleotides (morpholinos) against the myeloid transcription factor gene pu.1 [28,29]. Macrophage-depleted zebrafish embryos have been shown to be hypersusceptible to P.aeruginosa infection [20]. In addition, it has been shown that macrophage depletion restored the virulence of the attenuated T3SS mutant in zebrafish embryos [20]. We carried out experiments with Tg(mpeg1::mCherry) embryos in which macrophages are visualized as red cells [29]. Therefore, macrophage depletion can be checked upon pu.1 morpholinos injection (S2 Fig). Interestingly, the survival curve of macrophage-depleted embryos was similar upon infection with wild-type and mutant strains (Fig 2E and S3 Fig), indicating that macrophage depletion suppresses the difference between wild-type and mutant strain. Taken together, these results suggest that MgtC acts by protecting P.aeruginosa against macrophages.

MgtC contributes to *P. aeruginosa* resistance to macrophage killing in J774 macrophages

The virulence of P. aeruginosa is associated with its ability to resist the innate immune system notably because of a cytotoxic action towards macrophages and the T3SS plays a major role in Pseudomonas cytotoxicity [30]. We thus tested the cytotoxicity of the mgtC mutant on J774 macrophages and showed that the mutant is slightly but significantly less cytotoxic than the wild-type strain or the complemented strain (Fig 3A). However, the reduction of cytotoxicity was much lower than the one observed with a T3SS mutant (Fig 3A). Given our results in zebrafish embryos, we hypothesized that MgtC may play a role in the ability of P. aeruginosa strains to resist killing by phagocytic cells. We therefore tested the sensitivity of P. aeruginosa strains to the bactericidic activity of J774 macrophages. Whereas the T3SS mutant behaves similarly than the wild-type strain towards the killing by macrophages after phagocytosis, our results indicated that the mgtC mutant is more sensitive to macrophage killing than the wild-type or complemented strain, with a striking difference at time 1.5 hr (Fig 3B). The survival decrease of the wild-type strain at the second time point may account for a slower killing, but may also be due in part to the damage of infected macrophages.

Salmonella MgtC can inhibit the bacterial F-ATP synthase and modulate physiological ATP levels and cytosolic pH, which has been proposed to play a role in the ability of Salmonella strain to replicate in macrophages [5]. Moreover, acidification of the phagosome has been



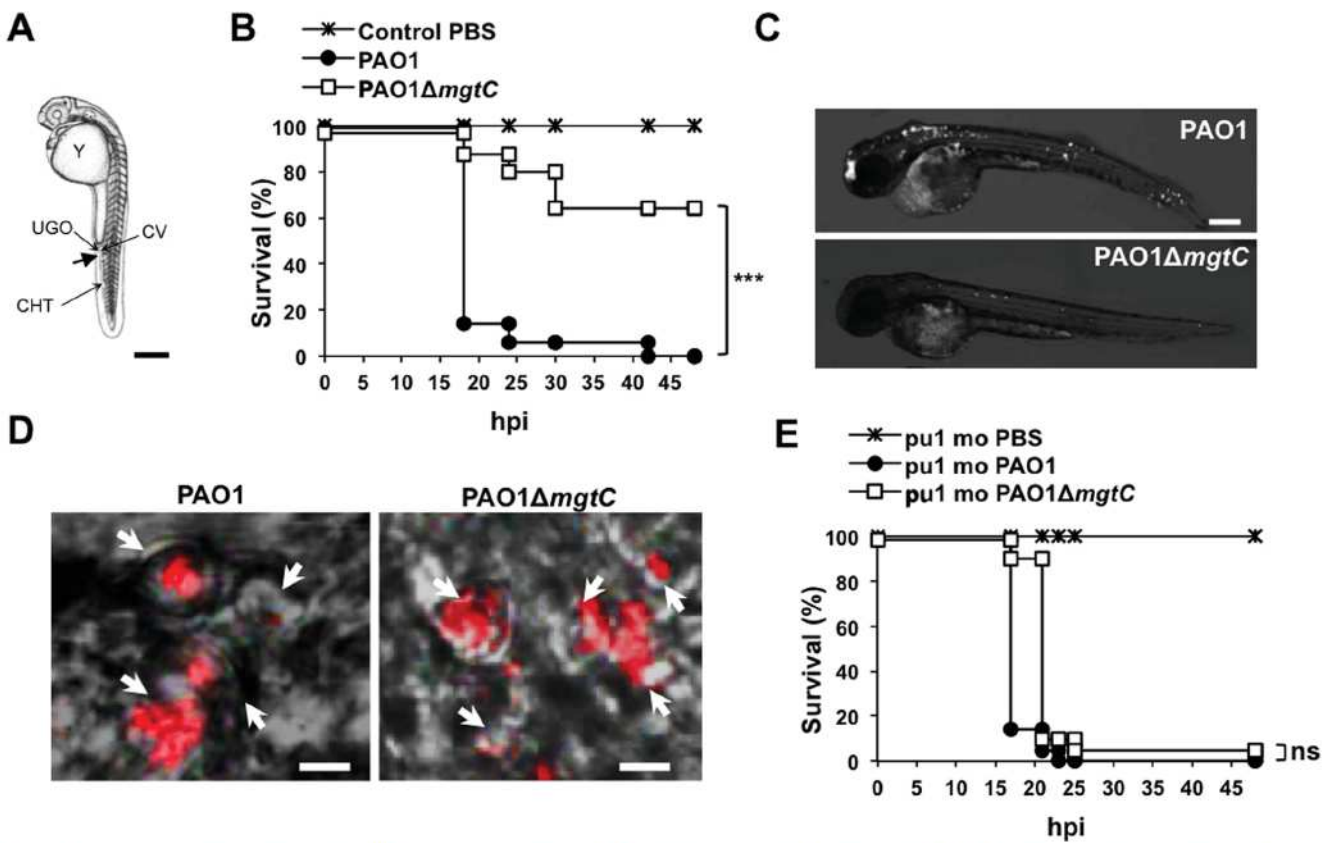


Fig 2. Infection of zebrafish embryos with the P. $aeruginosa\ mgtC$ mutant. (A) Diagram of 30 hours post-fertilization (hpf) zebrafish embryo showing the injection site used in this study (arrow). All injections were done in the caudal vein (CV) just behind to the urogenital opening (UGO). Y: Yolk, CHT: Caudal Hematopoietic Tissue. Scale bar, $100\ \mu m$. (B) Survival curves of embryos infected with PAO1 wild-type stain or PAO1 $\Delta mgtC$ mutant and PBS-injected (control). Approximately $1200-1400\ CFU\ P$. aeruginosa were microinjected into the caudal vein (n = 20 per group). Results are expressed as the percentage of surviving on each hour post-infection. Representative results of three biologically independent replicates are shown. Embryos are significantly more susceptible to infection with PAO1 wild-type than $\Delta mgtC$ mutant (P<0.001). (C) 30 hpf embryons are intravenously infected with PAO1 or $\Delta mgtC$ mutant expressing mCherry. Representative fluorescence microscopy images of 18 hpi embryos infected with PAO1 (top panel) or PAO1 $\Delta mgtC$ mutant (bottow panel) are shown ($1200-1400\ CFU$). Scale bar, $200\ \mu m$. (D) 30 hpf zebrafish embryos are intravenously infected with mCherry-expressing PAO1 (left panel) or PAO1 $\Delta mgtC$ mutant (right panel) and imaged by confocal microscopy. Arrows indicate maximum intensity projection of macrophages that phagocytose bacteria close to the site of injection at 1 hpi. Scale bar, $10\ \mu m$. (E) Survival curves of pu.1 morphant (pu.1 mo) embryos (n = $20\ each$) infected with 900 CFU of PAO1 wild type stain or PAO1 $\Delta mgtC$ mutant compared to the PBS-injected control. Representative results of three biologically independent replicates are shown. No statistically significant difference is obtained between wild type-infected embryos and $\Delta mgtC$ mutant-infected embryos (ns: non significant).

proposed to promote Salmonella MgtC production by increasing bacterial ATP level [7]. The acidification of the phagosome is dependent on the activity of the host vacuolar ATPase, which can be specifically inhibited by the inhibitor bafilomycin A1 [31]. To decipher the contribution of phagosome acidification in the intramacrophage role of Pseudomonas MgtC protein, macrophage infection was performed in presence of bafilomycin A1 (Fig 3C). The addition of bafilomycin A1 did not affect significantly the mutant strain whereas the survival rate of the PAO1 strain or the complemented strain was significantly reduced. As a consequence, the survival rate of wild-type and mutant strains did not differ when cells are treated with vacuolar ATPase inhibitor.

To visualize intracellular bacteria upon infection of J774 cells, we imaged slides of fixed macrophages infected with fluorescent bacteria (Fig 4A). Moreover, bacterial counts on images



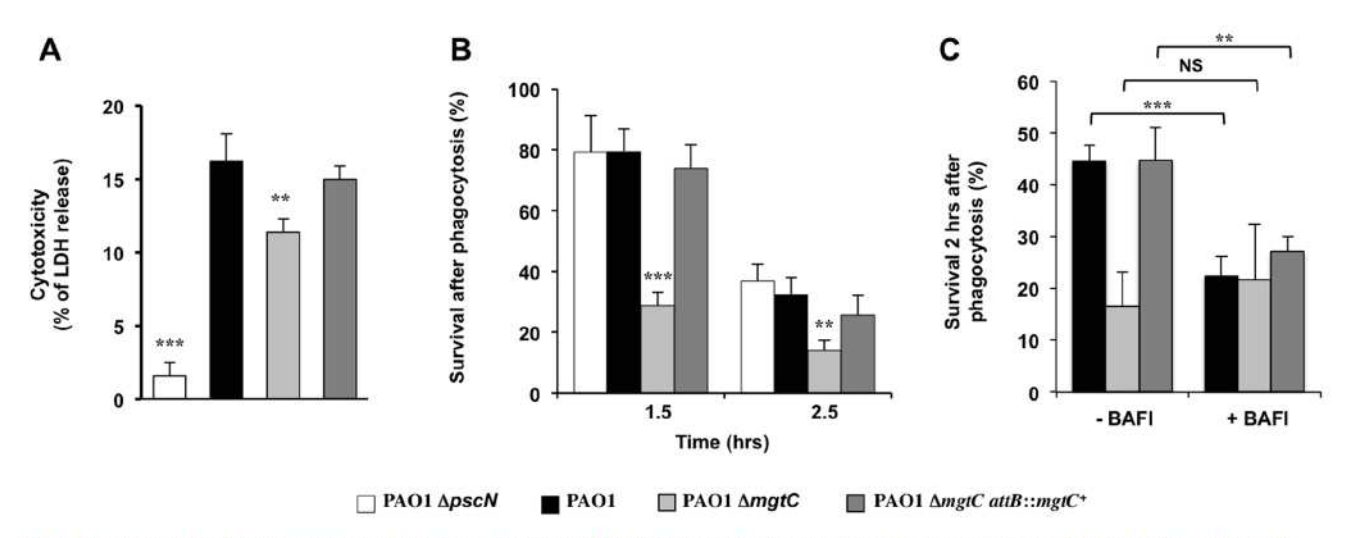


Fig 3. Behaviour of *mgtC* mutant towards J774 macrophages. (A) Strain cytotoxicity was evaluated using a LDH assay. A T3SS mutant (ΔρscN) is included as negative control. Error bars correspond to standard deviations from three independent experiments. (B) Survival of bacteria upon phagocytosis. Results are expressed as percentage of surviving bacteria at the indicated time comparatively to the number of bacteria internalized after 30 min of phagocytosis. Error bars correspond to standard errors (SE) from five independent experiments. (C) Effect of inhibition of vacuolar proton ATP ase on bacterial survival. The survival of bacteria was measured from macrophages treated or not with bafilomycin A1. Error bars correspond to standard errors (SE) from three independent experiments. In all panels the asterisks indicate P values (Student's t test, **P < 0.01, ***P < 0.001).

were made at time 0 and 2 hrs after phagocytosis (Fig 4B). Our results indicated that the number of bacteria per cell after phagocytosis is slightly higher for the mutant strain than for the wild-type strain. We further quantified the phagocytosis rate with CFUs counts and showed that the *mgtC* mutant is phagocytosed at a slightly but significantly higher rate than the wild-type strain (S4 Fig). The evolution of the patterns between time 0 and time 2 hrs (Fig 4B) indicated that the bacterial number per cell rather increased with the wild-type but not with the mutant. These experiments, which do not discriminate between live and dead/dying bacteria, suggested a survival of wild-type bacteria with limited bacterial multiplication.

We also investigated the behavior of the *mgtC* mutant towards non-phagocytic cells that can be targeted by the pathogen during the infection [22]. Gentamycin protection assays performed to measure internalisation in HeLa cells did not show significant difference between wild-type and *mgtC* mutant strains (S4 Fig).

Cumulatively, *ex vivo* experiments indicate that, similarly to intracellular pathogens, the MgtC virulence determinant of *P. aeruginosa* plays a role towards macrophages. Wild-type bacteria resisted better to phagocytosis and to bacterial killing by the phagosome than the *mgtC* mutant. Moreover, our results indicate an interplay between *Pseudomonas* MgtC role in macrophages and phagosome acidification.

Expression of P. aeruginosa mgtC is induced within macrophages

We first investigated the regulation of mgtC expression in liquid media depending on Mg^{2+} concentration and pH. Quantitative RT-PCR experiment showed that mgtC gene (PA4635) is strongly induced by low Mg^{2+} environment (Fig 5A). Moreover, in low Mg^{2+} condition, the level of mgtC gene expression can be further increased by lowering the pH (Fig 5A). On the other hand, the other mgtC-like gene (PA2558) was not regulated by Mg^{2+} nor pH (Fig 5B). We then quantified the mgtC mRNA level from infected macrophages. Importantly, we showed that mgtC is highly induced in macrophages, which agrees with a specific role in this



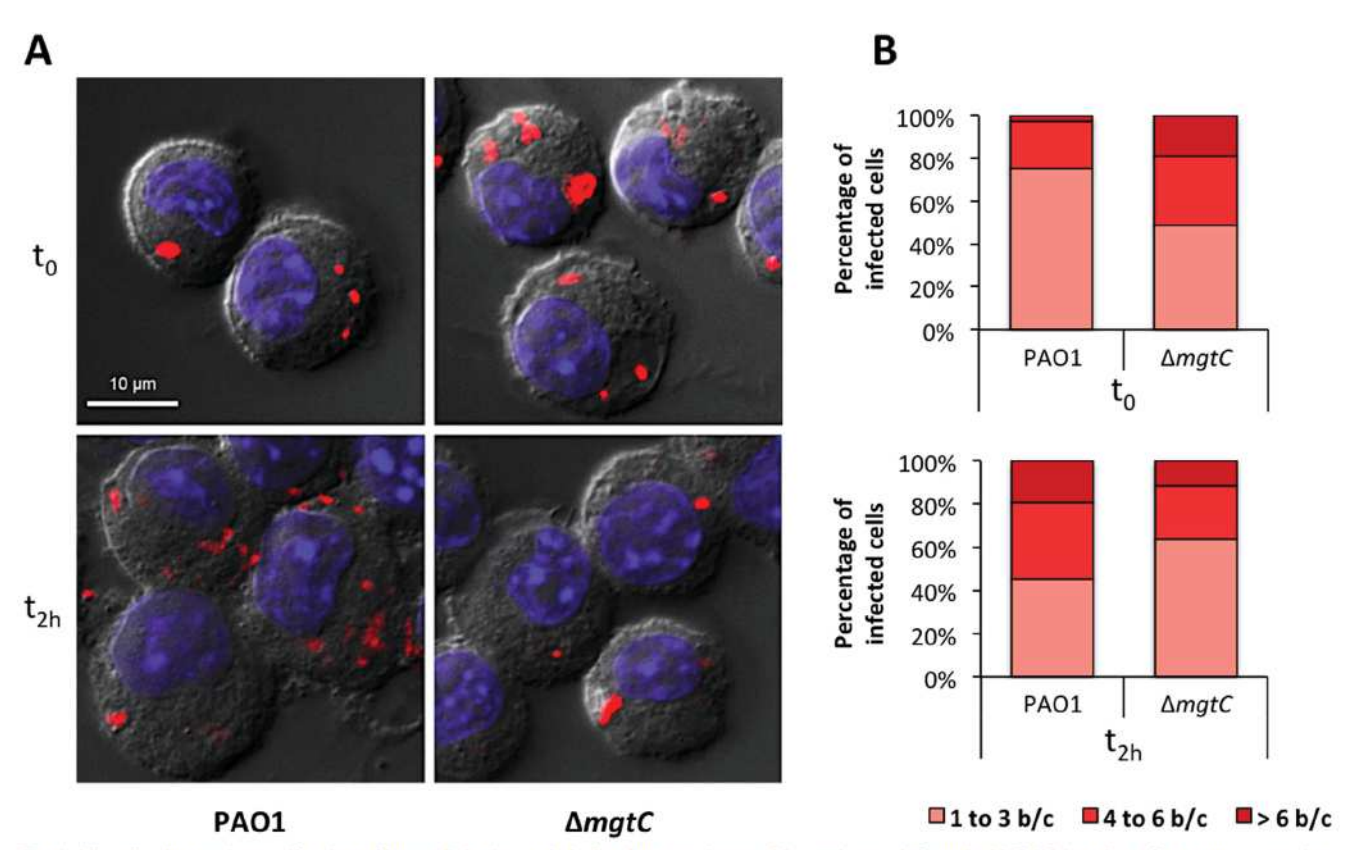


Fig 4. Visualisation and quantification of intracellular bacteria in fixed macrophages. Macrophages infected with PAO1 or $\Delta mgtC$ mutant expressing mCherry were fixed after phagocytosis and 20 min (t_0) or 2 hours (t_{2n}) treatment with amikacin. (A) Visualization of intracellular bacteria. The images shown were obtained by making a maximum projection of 12 central planes from a Z-stack. The merged image shows Differential Interference Contrast (DIC), nucleus staining (blue) and bacteria expressing mCherry (red). (B) Count of the number of bacteria in infected macrophages from images obtained with the maximum projection. The numbers of bacteria per cell (b/c) were classified in three groups and percentage of each class is shown. Count is done from at least 20 cells and results are expressed as means from three independent experiments.

step. On the other hand PA2558, as well as the T3SS gene pcrV or the house-keeping gene gyrA (S5 Fig), were similarly expressed in liquid medium and macrophages, and are therefore not induced in macrophages. Bafilomycin A1 treatment of macrophages, which decreases phagosome acidification, lowered mgtC expression intracellularly, which is consistent with the pH regulation observed in vitro. Taken together, these results indicate that mgtC is specifically expressed in macrophages and that phagosome acidification contributes to an optimal expression of the gene.

Role of MgtC for *P. aeruginosa* growth in low magnesium medium and biofilm formation on abiotic surface

Bacterial growth of P. aeruginosa strains was measured in minimal medium deprived for magnesium (without added Mg^{2+} or with $10~\mu M~Mg^{2+}$) or containing $1~mM~Mg^{2+}$ (corresponding to physiological concentration). Growth of the mgtC mutant was significantly impaired in low Mg^{2+} media (Fig~6A and Fig~6B), while it did grow similarly to the PAO1 wild-type strain in high Mg^{2+} medium (Fig~6C). The complemented strain displayed a wild-type growth in these conditions. Hence, MgtC contributes to the adaptation of P. aeruginosa to low Mg^{2+}



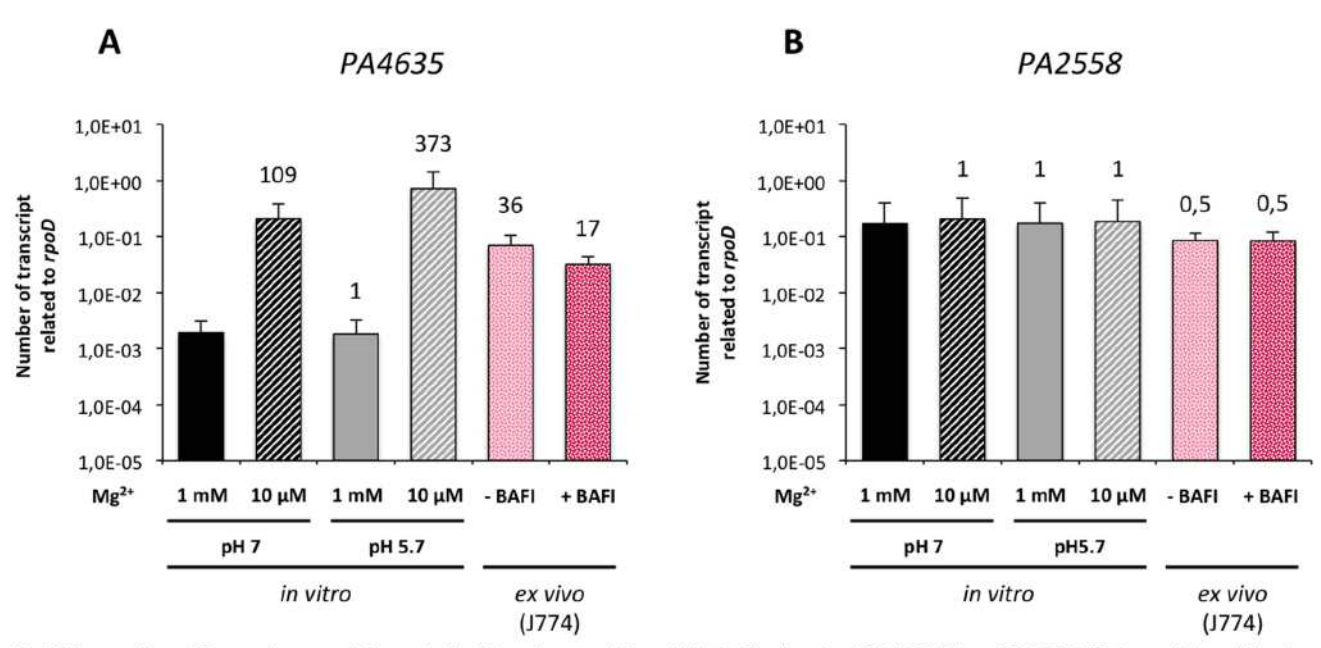


Fig 5. Expression of P. aeruginosa mgtC gene in liquid medium and intracellularly. The levels of PA4635 (A) and PA2558 (B) transcripts relative to those of the rpoD gene were measured by qRT-PCR. RNA was extracted from bacteria grown in liquid medium (in vitro) containing a high (1 mM) or low $(10 \mu\text{M})$ concentration of MgSO₄ and a pH of 7 or at 5.7. A pH of 5.7 is expected to mimic the pH faced by bacteria in the phagosome. Bacterial RNA was also extracted from infected J774 macrophages (ex vivo) that were treated (+ BAFI) or not (- BAFI) with bafilomycin A1. For all conditions, RNA were prepared two times independently. Results are expressed as means \pm SD from at least three independent measurements (each performed in triplicate). The numbers indicate the induction fold relatively to the condition $1 \text{ mM} \text{ MgSO}_4 \text{ pH} 7$.

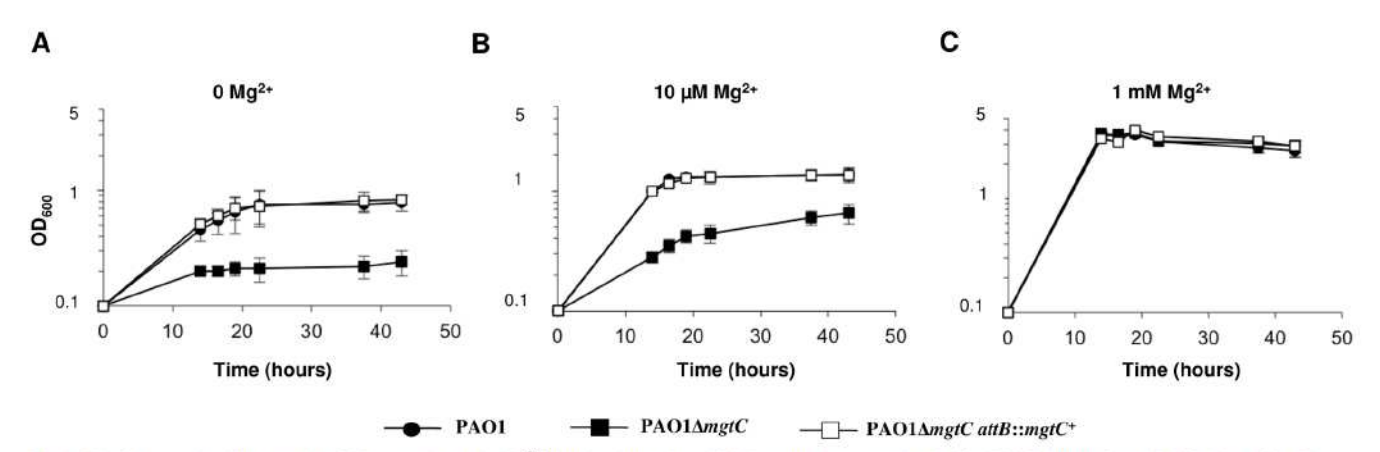


Fig 6. MgtC is required for growth of P. aeruginosa in Mg $^{2+}$ deprived medium. (A) P. aeruginosa strains PAO1, PAO1 Δ mgtC, and PAO1 Δ mgtC attB:: $mgtC^{+}$ were grown at 30°C in minimal medium without MgSO₄. OD₆₀₀ is indicated over the growth period. The experiment was independently repeated three times and results are expressed as means \pm SD. Statistical analyses indicate significant difference between growth of the mgtC mutant and the wild-type or the complemented strain (Student's t test, P <0.001 at times 20 hrs and 40 hrs). (B) The same strains were grown in medium with 10 μ M MgSO₄. Statistical analyses indicate significant difference between growth of the mgtC mutant and the wild-type or the complemented strain (Student's t test, P <0.001 at times 20 hrs and 40 hrs). (C) The same strains were grown in high magnesium medium (1 mM MgSO₄). No significant difference is found between the three strains.

doi:10.1371/journal.ppat.1004969.g006



environment, similarly to MgtC homologues from intracellular pathogens [1]. This result is consistent with the induction of mgtC gene expression in low Mg^{2+} environment (Fig 5A). To test whether the phenotype observed with the mgtC mutant in macrophages may be related to the growth defect upon Mg^{2+} limitation, the killing assay by J774 macrophages was repeated upon addition of 25 mM Mg^{2+} in the DMEM medium. However, addition of Mg^{2+} did not rescue the enhanced sensitivity of the mgtC mutant to macrophages (S6 Fig), suggesting that the increased killing of the mutant is not related to intracellular Mg^{2+} limiting environment.

 $P.\ aeruginosa$ ability to form biofilm is a crucial virulence determinant, more particularly in chronic infection. Interestingly, biofilm formation has been shown to be sensitive to EDTA through chelation of divalent cations including $Mg^{2^+}[18]$. To check the role of both MgtC and Mg^{2^+} ions during biofilm formation, wild-type, mutant and complemented strains were grown in different Mg^{2^+} concentrations in glass tubes for 24 h and bacterial adherence to the glass was visualized ($Fig\ 7A$) and quantified using crystal violet staining ($Fig\ 7B$) to infer the ability of strains to form biofilm. Profiles of the three strains were the same in both assays if bacteria are grown in high Mg^{2^+} , indicating similar biofilm formation at physiological Mg^{2^+} concentration.

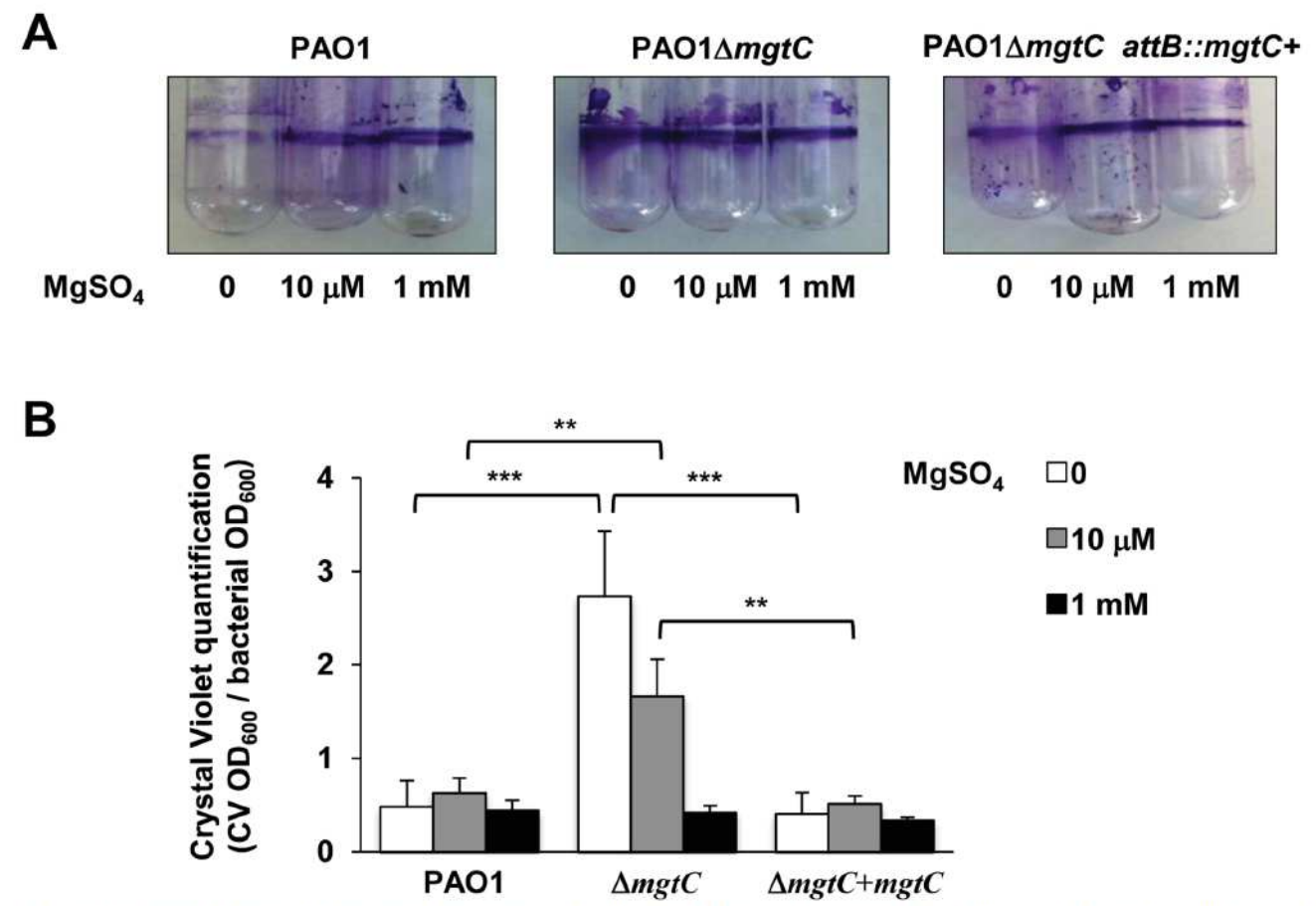


Fig 7. Quantification of bacterial adherence to glass tubes to infer the ability of strains to form biofilm. (A) Adherence assay with P. aeruginosa strains PAO1, PAO1 $\Delta mgtC$, and PAO1 $\Delta mgtC$ attB:: $mgtC^*$ grown at 30°C for 24 hrs in minimal medium without MgSO₄ or with MgSO₄ (10 μ M and 1 mM). The biofilm quantification is visualized by crystal violet ring on the glass tube. (B) Crystal violet quantification (CV OD₆₀₀) is divided by the bacterial density (bacterial OD₆₀₀). Error bars correspond to standard errors (+ SE) from three independent experiments and the asterisks indicate P values (Student's t test, **P <0.01, ***P<0.001).

doi:10.1371/journal.ppat.1004969.g007



However, in the absence of Mg^{2+} , wild-type and complemented strains poorly attached to the glass, indicating that Mg^{2+} is required for biofilm initiation by *P. aeruginosa*. In contrast, the $\Delta mgtC$ mutant was still able to form biofilm. The increased biofilm formation for the $\Delta mgtC$ mutant comparatively to the wild-type strain was also observed in the presence of $10~\mu M~Mg^{2+}$. Cumulatively, these results indicate that when expressed, i.e. under Mg^{2+} limitation, MgtC limits biofilm formation. Since exopolysaccharides (EPS) are essential biofilm matrix components, important for initial adherence and biofilm formation [32,33], EPS production was measured by Congo red assay [34] in low and high Mg^{2+} (S7 Fig). Whereas, all strains produced similar EPS level at $1~mM~Mg^{2+}$, the mutant strain produced significantly more EPS than wild-type and complemented strain in low Mg^{2+} medium.

We also investigated whether the increased biofilm formation of the mgtC mutant strain under Mg^{2+} limitation may be related to altered properties of the flagellum or the type IV pili, which are major adhesins required for initial attachment [35]. Our results indicated that the twitching and swimming motilities, which depend on type IV pili and flagellum, respectively, were similar in wild-type, mutant and complemented strain (S8 Fig). On the other hand, we observed that P. $aeruginosa \Delta mgtC$ bacteria grown under Mg^{2+} starvation were more elongated than wild-type bacteria (S9 Fig). Hence the increased biofilm formation of the mgtC mutant strain under Mg^{2+} limitation may be due to increased EPS production and/or bacterial cell elongation.

Heterologous production of the Salmonella MgtR peptide in PAO1 mimics the mgtC mutant virulencephenotypes

MgtR is a membrane peptide (30 amino-acid long) encoded downstream of mgtC in S. Typhimurium that regulates negatively MgtC expression [8]. MgtR interacts directly with Salmonella MgtC in a bacterial two-hybrid system and over-expression of mgtR in a wild-type Salmonella strain reduced significantly the ability of the strain to grow within macrophages, thus displaying an anti-infective effect [8]. Site-directed mutagenesis and structural analysis have suggested that MgtR interacts with the 4th transmembrane domain of MgtC [8,36]. Examination of the DNA region adjacent to PA4635 as well as Blast analyses did not reveal any peptide similar to MgtR in P. aeruginosa. Because the 4th transmembrane domain of MgtC is well conserved between S. Typhimurium and P. aeruginosa (S10 Fig), we have tested whether the Salmonella MgtR peptide could interact with P. aeruginosa MgtC (PaMgtC) using the bacterial two-hybrid system BACTH [37]. The interaction between T18-PaMgtC and T25-MgtR fusion proteins was evaluated by measuring β-galactosidase activity (Fig 8A). Negative controls consisted in T18-PaMgtC with empty pKT25 (Fig 8A) and empty pUT18 with T25-MgtR (S11 Fig). The high level of β-galactosidase activity, which was 60 fold the value of the negative control, was indicative of an interaction between the MgtR peptide and PaMgtC in this system. On the other hand, PaMgtC did not interact with another membrane peptide, the Salmonella KdpF peptide (S11 Fig), indicating that the interaction with MgtR is not due to sticky properties of PaMgtC.

We then transformed the wild-type *P. aeruginosa* strain with pMgtR, a plasmid that harbors the *Salmonella mgtR* gene [8]. Expression of *mgtR* in PAO1 was verified by RT-PCR (Fig 8B). The virulence of the strain was evaluated using the zebrafish embryo model. As shown in Fig 8C, a wild-type PAO1 strain that expressed *mgtR* was attenuated comparatively to a control PAO1 strain that harbored an empty vector. On the other hand, no effect of the pMgtR plasmid was detected in the context of the PAO1 *mgtC* mutant strain. Expression of *mgtR* also increased significantly the killing of wild-type PAO1 strain, whereas no significant effect was found in the presence of the *mgtC* mutation (Fig 8D). In addition, a mild but significant increase in



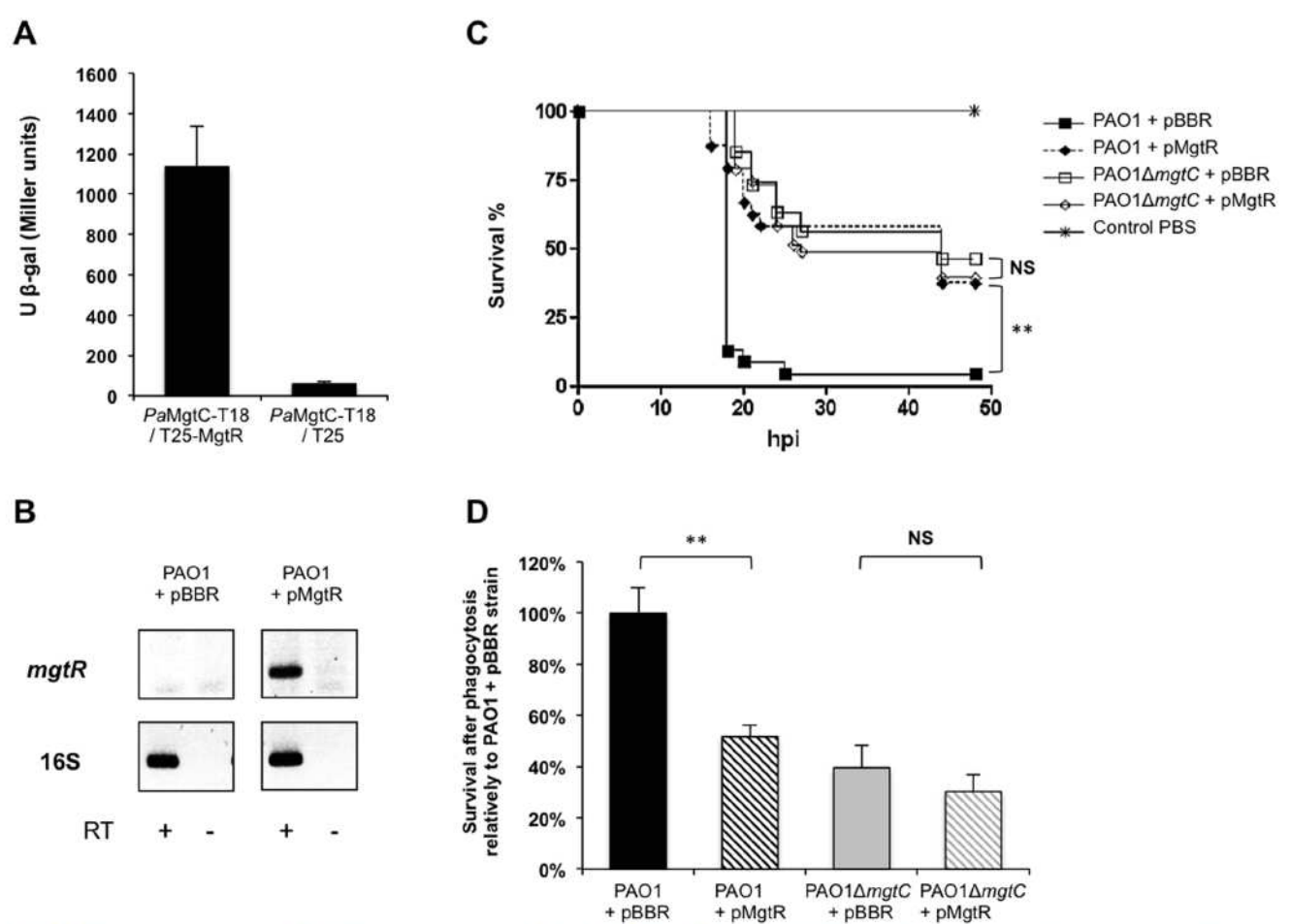


Fig 8. Virulence phenotypes of a PAO1 strain expressing mgtR. (A) Invivo interaction of Pa MgtC with MgtR peptide. The interaction was assayed using the BACTH system by transforming $E.\ coli$ BTH101 cells with plasmids producing PaMgtC-T18 and T25-MgtR. Liquid β -galactosidase assays were performed from six independent experiments. As negative control, BTH101 bacteria were cotransformed with a plasmid expressing PaMgtC-T18 and the pKT25 vector. Error bars represent SD. (B) Expression of Salmonella mgtR in PAO1 strain. RT-PCR experiment was performed with primers specific for mgtR gene from RNA isolated from PAO1 strain carrying the pBBR1MCS vector (pBBR) or a pBBR1MCS derivative that encodes mgtR (pMgtR). Primers specific for 16S gene were used as positive control. Controls where reverse transcriptase was omitted are indicated (RT-). (C) Survival curve of embryos infected with PAO1 strain expressing or not mgtR. PAO1 $\Delta mgtC$ strain expressing or not mgtR is also included in the experiment and non-injected embryos were used as control. Approximately 600-1000 CFU of P. aeruginosa were microinjected into the caudal vein (n = 24 per group). Results are expressed as the percentage of surviving on hour post-infection (hpi). Representative results of at least three biologically independent replicates are shown. Embryos are significantly more resistant to infection with PAO1 strain expressing mgtR than PAO1 strain with empty vector (P<0.01). (D) Behaviour of the PAO1 strain expressing mgtR than PAO1 strain with empty vector (P<0.01). (D) Behaviour of the PAO1 strain expressing or not mgtR is included in the experiment. Results are normalized to 100% for the PAO1-pBBR strain and are expressed as means +SE from four independent experiments. Asterisks indicate statistical significance ** P<0.01). NS, non significant.

phagocytosis was observed (S12 Fig). Taken together, these results suggest that heterologous production of the Salmonella MgtR peptide can lower PAO1 virulence and resistance to macrophage killing by targeting the P. aeruginosa MgtC. Regarding other phenotypes related to MgtC defect in P. aeruginosa, production of the Salmonella MgtR peptide did not modulate bacterial growth in magnesium deprived medium (S13 Fig). This correlates with results obtained in Salmonella and is consistent with the finding of a dual role for MgtC [15].



Discussion

Phylogenetic analysis indicated that the MgtC protein from the extracellular pathogen *P. aeru-ginosa* clustered in the same subgroup as MgtC proteins from intracellular pathogens, which are known to subvert macrophages and promote intracellular bacterial multiplication [1,16]. MgtC exhibits a sporadic distribution in *Pseudomonas* species, being mostly associated with strains that are pathogenic for humans and insects. In the present study, we show that MgtC plays a role in *P. aeruginosa* virulence in a systemic model of infection in a macrophage-dependent manner and in *P. aeruginosa* ability to escape the killing action of the macrophage. MgtC thus provides a singular example of a virulence determinant that subverts the antimicrobial behavior of macrophages both in intracellular and extracellular pathogens (Fig 9).

There is growing evidence that some cytotoxic extracellular pathogens can actually survive inside macrophages after phagocytosis to hide from the immune system [38], but little is known about the intracellular behavior of these pathogens. The zebrafish embryo model has contributed significantly to the study of an intracellular phase in phagocytic cells in the life

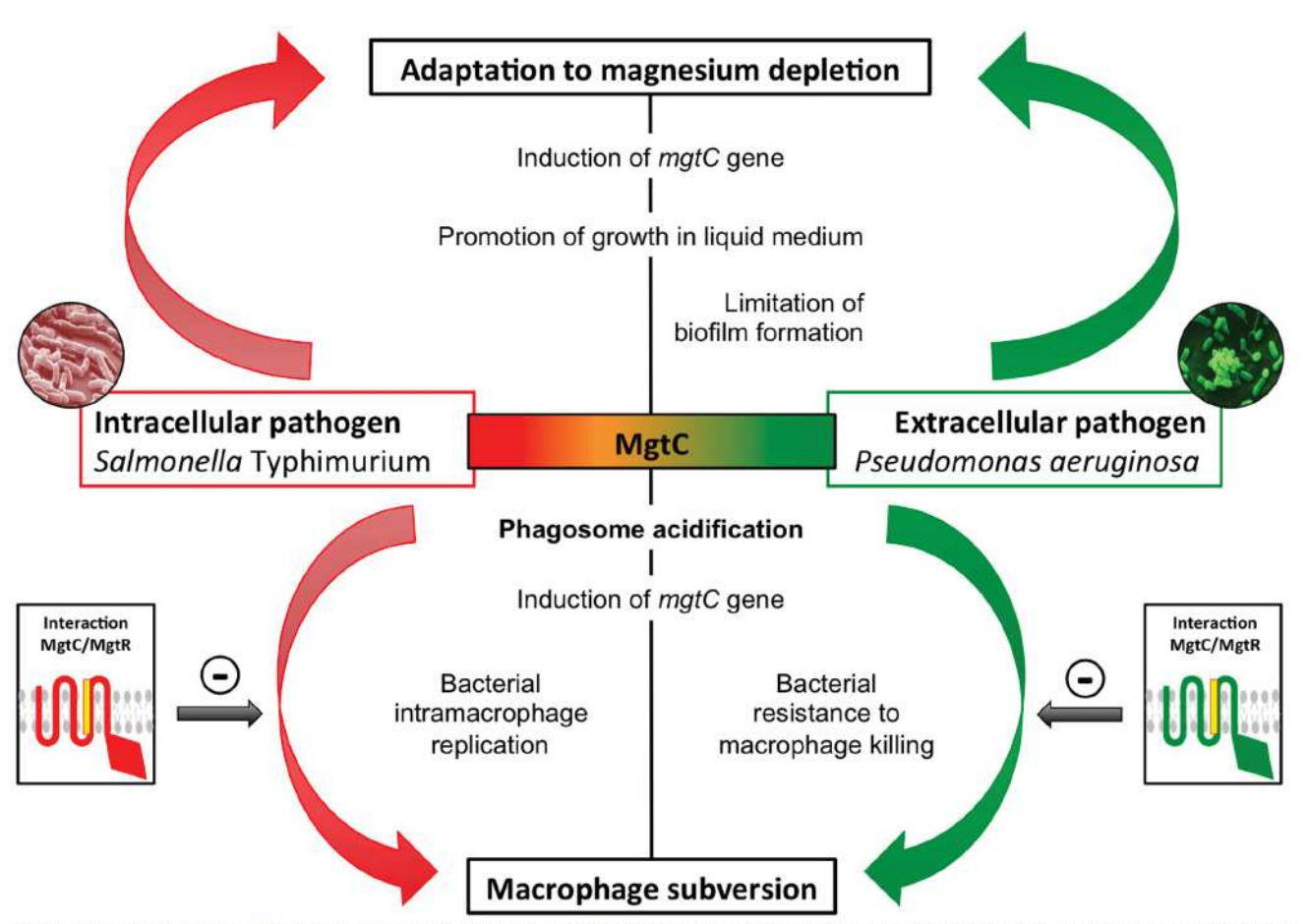


Fig 9. Role of MgtC in intracellular and extracellular pathogens. MgtC is involved in adaptation to magnesium deprivation and macrophage subversion both in intracellular and extracellular pathogens. We propose that MgtC share a similar function in intracellular and extracellular pathogens and that the bacterial lifestyle determines whether MgtC will promote intramacrophage bacterial multiplication or resistance to killing by macrophages. Expression of mgtCgene is induced in macrophages and phagosome acidification contributes to its optimal expression. The MgtR peptide can interfere with MgtC function, thus acting as a natural antagonist, and its production limits the macrophage subversion.

doi:10.1371/journal.ppat.1004969.g009



cycle of Staphylococcus aureus, a pathogen that has long been considered as an extracellular pathogen [39]. Interestingly, MgtC has been shown to promote intramacrophage survival of Yersinia. pestis [12], which is a facultative intracellular pathogen that replicates mainly extracellularly and produces antiphagocytic factors. Our present results identify MgtC as a novel actor in P. aeruginosa virulence, playing a role in an intramacrophage phase of this extracellular pathogen. The ability of P. aeruginosa to inhibit the microbicidal mechanisms of phagocytic cells is much less documented than its cytotoxicity towards mammalian cells, which is linked to the production of exotoxins and injected effector proteins by the T3SS. We have shown that the P. aeruginosa mgtC mutant is attenuated for acute infection in zebrafish embryos, which possess professional phagocytes that can engulf and kill P. aeruginosa upon infection [20]. MgtC acts by protecting P. aeruginosa against phagocytes since macrophage depletion suppressed the difference between mgtC mutant and PAO1 strain. Interestingly, a T3SS mutant has been reported to have a similar behavior in zebrafish embryos [20]. However, the phenotypes of the two mutants differ in ex vivo experiments because, contrary to a T3SS mutant, the mgtC mutant is more sensitive than the wild-type strain to the bactericidal effect of J774 macrophages. In contrast, the effect of the mgtC mutant on cytotoxicity towards macrophages is minor relatively to the one of T3SS mutant.

Consistent with the role of P. aeruginosa mgt C within macrophages, expression of the gene is highly induced when the bacteria reside inside macrophages, which is not the case for the mgtC-like PA2558 and for a T3SS gene. Strong intramacrophage induction has also been reported for the Salmonella mgtC gene [40] and to our knowledge, this is the first report of a P. aeruginosa gene induced within phagocytic cells. It has been proposed that phagosome acidification may contribute to Salmonella MgtC protein production via an increased level of cytoplasmic ATP [5,7]. Our results further support an interplay between MgtC role in macrophages and the function of the V-ATPase because inhibition of the V-ATPase suppressed the difference between wild-type strain and mgtC mutant strain. Noticeably, Pseudomonas wildtype strain, but not mgtC mutant strain, had a reduced macrophage survival in the presence of V-ATPase inhibitor. A reduced resistance of wild-type bacteria to macrophage killing upon bafilomycin treatment has been also described for intracellular bacteria, for which acidification is important for proper expression of genes required intracellularly [41,42]. We demonstrated that phagosome acidification contributes to an optimal production of Pseudomonas mgtC, which agrees with the maximization of mgtC induction in vitro at low pH. Cumulatively, our results identify mgtC as a key gene for P. aeruginosa intramacrophage stage. Moreover, uptake by macrophages, but not epithelial cells, was enhanced with the P. aeruginosa mgtC mutant compared to the wild-type strain. A similar phenotype has been described for a M. marinum mgtC mutant, with MgtC playing a role in later steps of the internalization process rather than initial attachment events of bacteria to macrophages [14]. Further experiments will be required to investigate the fate of intracellular bacteria but we propose that P. aeruginosa has acquired a macrophage subversion factor to resist to killing in case of phagocytosis by macrophages. Moreover, our findings highlight the importance of macrophage subversion by P. aeruginosa in a model of acute infection. In agreement, mgtC has been recovered in a recent screen as a Pseudomonas gene involved in bacterial fitness in a systemic model of infection in mice [43]. It would be of interest to further explore the role of Pseudomonas MgtC in the mice model, both during acute and chronic infection.

Growth kinetic analyses showed that MgtC is required for optimal growth in magnesium deprived medium in P. aeruginosa, which is a common feature with intracellular pathogens. This result agrees with previous complementation studies showing that heterologous expression of P. $aeruginosa\ mgtC\ (PA4635)$ in a S. Typhimurium mgtC mutant restored the growth defect in Mg^{2+} deprived medium [15]. Moreover, we have shown that mgtC expression in P.



aeruginosa is induced in conditions of Mg²⁺ starvation, which is consistent with a previous proteomic analysis [44], and implies a role of MgtC in such stressing condition. Hence, our results indicate a mechanism of convergent evolution between pathogens that have different niches in their ability to use MgtC to adapt to Mg²⁺ limitation (Fig 9). We believe that this ability does not account for *P. aeruginosa* MgtC role in macrophages because Mg²⁺ measurement in a phagosome indicated a concentration in the millimolar range [45] and because addition of extracellular Mg²⁺ did not rescue the increased sensitivity of mgtC mutant to macrophages.

Magnesium has been shown to influence attachment and subsequent Pseudomonas biofilm formation [46], which is a hallmark of Pseudomonas chronic infection, and biofilms are disrupted by cation chelators [18]. Moreover, Mg²⁺ is required for biofilm formation in fungal pathogens [47]. In Mg2+ limiting condition, the P. aeruginosa mgtC mutant retains the ability to form biofilm, while the wild-type strain is severely impaired for biofilm formation, indicating that MgtC limits biofilm formation. The biofilm phenotype of the mgtC mutant is associated with increased production of EPS, which are essential biofilm matrix components. In addition, biofilm formation could be favored by the elongated shape of the mgtC mutant grown under Mg²⁺ limitation, as bacterial elongation can promote biofilm formation [48]. Very interestingly, a recent report provides an unsuspected link between MgtC, cellulose (a polysaccharide associated with the formation of biofilm) and intramacrophage survival in Salmonella [49]. MgtC repressed cellulose biosynthesis during growth in low Mg²⁺ medium and cellulose production was shown to hinder Salmonella replication inside macrophages. Despite the fact that cellulose is not produced by P. aeruginosa strains (as PAO1), this new finding, combined to our finding of an increased EPS production by the P. aeruginosa mgtC mutant in low Mg^{2+} medium, suggests a potential link between EPS production and P. aeruginosa MgtC role in macrophages. Further studies will be required to determine the nature of the EPS involved, to investigate their production intracellularly and the putative link with intramacrophage phenotypes.

MgtC proteins consist of two structural domains, a highly conserved membrane N-terminal domain and a more divergent soluble C-terminal domain. Structural data as well as bioinformatic modeling indicate that the P. aeruginosa MgtC C-terminal domain adopts the same fold as the one of MgtC proteins from intracellular pathogens, and this despite a low level of sequence identity([50]; G. Labesse, personal communication). This suggests that MgtC may share a similar function in P. aeruginosa and intracellular pathogens, which is supported by the common role in adaptation to Mg^{2+} deprivation. Furthermore, whereas expression of P. aeruginosa mgtC does not complement the macrophage replication defect of a S. Typhimurium mgtC mutant, a significant complementation is observed when a P. aeruginosa MgtC variant carrying a single amino-acid change is produced [15]. Hence, MgtC proteins from P. aeruginosa and S. Typhimurium may have evolved in a very subtle way, possibly to optimally interact with partner protein(s).

The MgtR membrane peptide has been proposed as a natural MgtC antagonist because in S. Typhimurium, the intramacrophage replication of a wild-type strain can be reduced upon over-production of MgtR, which plays a negative regulatory role on mgtC expression [8]. In the present study, we have found that the phenotypes observed with Pseudomonas mgtC mutant in animal and cellular infection models can be mimicked upon production of the Salmonella MgtR peptide in a wild-type P. aeruginosa strain. Experiments in mgtC mutant strain indicated that the peptide requires a functional MgtC protein to play a role. Hence, these results support the action of MgtR natural peptide as an antagonist of MgtC and highlight MgtC as a promising new target for anti-virulence strategies.



Materials and Methods

Bacterial strains and growth conditions

Bacterial strains and plasmids are described in <u>S1 Table</u>. *P. aeruginosa* was grown at 37°C in Luria broth (LB) or at 30°C in MM63 medium supplemented with 0.5% casamino acids, 0.2% glucose, and MgSO₄ (10 μM or 1mM) or without MgSO₄. Plasmids were introduced in *P. aeruginosa* by conjugation, using an *E. coli* strain containing pRK2013. Recombinant bacteria were selected on *Pseudomonas* isolation agar (PIA). *P. aeruginosa* mutants obtained by using the pKNG101 suicide vector were selected on plates containing 6% sucrose. Antibiotic concentrations (μg/ml) were: for *E. coli*: ampicillin, kanamycin, streptomycin, gentamicin, 50; tetracycline, 40; for *P. aeruginosa*: gentamicin, 50 or 125 (plates); tetracycline, 200; streptomycin, 2000.

Construction of a P. aeruginosa mgtC mutant and complemented strain

To generate a non-polar deletion of the mgtC (PA4635) gene, 526 bp upstream and 580 bp downstream of the mgtC gene were amplified, cloned in pCR2.1 and subcloned in pKNG101 suicide vector giving the mutator pSBC44 which was mobilized in the wild-type P. aeruginosa strain PAO1 to select for double recombination event (S1 Text).

Complementation by a single copy of the $mgtC^+$ gene under its own promoter was carried out with the miniCTX integration method at attB region [51]. The entire mgtC gene with the 525 bp-upstream region, in which a σ^{70} dependent promoter was predicted (S1 Fig), was amplified, cloned in the pCR2.1 giving pSBC46, which was subcloned in mini-CTX1 plasmid vector giving pSBC47. Chromosomal insertion of pSBC47 carrying $mgtC^+$ and excision of plasmid DNA sequences resulted in an unmarked integrant (S1 Text).

Infection of Danio rerio embryos

Experiments were performed using the *golden* zebrafish mutant [52] or the Tg(mpeg1::mCherry) [29] zebrafish line and maintained under standard conditions (supplemental material). Bacterial strains, which were freshly streaked out from glycerol stocks, were grown in LB medium to mid-log phase (DO = 0.6), recovered by centrifugation and washed twice in Phosphate-Buffered Saline (PBS). Suspensions were homogenized through a 26-gauge needle and resuspended in PBS at about 10^9 bacteria/ml added with 10% phenol red to aid visualization of the injection process. Infections were carried out by microinjection of 1-2 nl of bacterial suspensions into the caudal vein of 30 hpf embryos, which were previously dechorionated and anesthetized with 0.02% tricaine. For survival kinetics after infection, the number of dead embryos was determined visually based on the absence of heartbeat. Depletion of macrophages was carried out upon microinjection of pu.1 morpholinos into zebrafish eggs and visualized by fluorescence microscopy (S1 Text).

Microscopic analysis of zebrafish embryos

For live imaging, anesthetized infected embryos were mounted in 35 mm dishes and immobilized with 1% low-melting point agarose. Direct visualization is performed using an Olympus MVX10 epifluorescent microscope equipped with a digital color camera (Olympus XC50). Fluorescence and bright-field images are acquired and processed with CellSens (Olympus) and assembled using GIMP 2.6 freeware to adjust levels and brightness and to remove out-of-focus background fluorescence.

For fixed samples observations, anesthetized embryos are fixed overnight at 4°C with 4% paraformaldehyde in PBS, then washed twice in PBS and transferred gradually from PBS to



50% glycerol-PBS. Fixed fishes were positioned flat onto depression transparent slides covered with a cover slip for observation with 40x Leica Apo oil 1.15 NA or 63x Leica Apo oil 1.33 NA objectives and using a Leica DM2500CSQ upright microscope equiped with a Leica TCS SPE confocal scan head and fluorescence and differential interference contrast (DIC) optics. Widefield fluorescence and DIC images were captured and assembled by LAS-AF software(Leica Microsystems).

Ethics statement

All animal experiments described in the present study were conducted at the University Montpellier 2 according to European Union guidelines for handling of laboratory animals (http://ec.europa.eu/environment/chemicals/lab_animals/home_en.htm) and were approved by the Direction Sanitaire et Vétérinaire de l'Hérault and Comité d'Ethique pour l'Expérimentation Animale under reference CEEA-LR-13007. The breeding of adult fish adhered to the international guidelines specified by the EU Animal Protection Directive 2010/63/EU and adult zebrafish were not sacrificed for this study. All experiments were performed before the embryos free-feeding stage and did not fall under animal experimentation law according to the EU Animal Protection Directive 2010/63/EU. For survival curves, cardiac rhythm was used as a clinical criterion to fix the endpoint at which embryos are euthanized using the anaesthetic Tricaine up to a lethal dose (500 mg/ml). Embryos that survive infection were anaesthetized with Tricaine up to a lethal dose before bleach treatment.

Cytotoxicity towards macrophages

The cytotoxicity of *P. aeruginosa* strains grown to mid-log phase in LB broth was assayed by using J774 macrophages as described in [53], except that macrophages were infected for 1.5 hr at a multiplicity of infection (MOI) of 20. The percentage of LDH release was calculated relatively to that of the uninfected control, which was set at 0% LDH release, and that of uninfected cells lysed with Triton X-100, which was set at 100% LDH release.

Macrophage-mediated bactericidal assay

The killing of *P. aeruginosa* strains by J774 macrophages was carried outessentially as described previously [54]. Mid-log phase *P. aeruginosa* grown in LB broth was centrifuged and resuspended in PBS to infect J774 macrophages grown in DMEM medium supplemented with 10% FBS at a MOI of 10. After centrifugation of 24-well culture plates, bacterial phagocytosis was allowed to proceed for 30 min before washing three times with sterile PBS and adding fresh DMEM media supplemented with 400 µg ml⁻¹ gentamicin. Macrophages were lysed after 1 h 30 min and 2 h 30 by using 1% Triton X-100 and the number of viable bacteria was determined by subsequent plating onto LB agar plates. The percentage of survival represents the ratio between the number of bacteria at time 1.5 hr or 2.5–3 hrs and the number of bacteria internalized after phagocytosis. In case of treatment with bafilomycin A1, the inhibitor was added at a concentration of 100 nM 30 min before phagocytosis and was also added after phagocytosis. Bafilomycin does not exhibit any bacterial toxicity at the working concentration. In experiments with strains expressing *mgtR*, macrophages were lysed after 20 min or 2 hrs of gentamicin treatment and the ratio between bacteria enumerated at the two time points was calculated.

Analysis of intracellular bacteria by fluorescence microscopy

For analysis of bacteria in fixed cells, infection of J774 macrophages was carried out as described above for the CFU assay, except that macrophages were seeded on glass coverslips



and infected at a MOI of 5 to 10 with bacteria that were previously passed four times through a 26G needle. Because fluorescent bacterial strains carry a plasmid-encoded gentamycin resistant gene, amikacin (300 µg ml⁻¹) was used to kill extracellular bacteria. For time 0, cells have beenin contact with amikacin for 20 min. At the end of the incubation period, the cells were fixed with 4% paraformaldehyde in PBS for at least 1 hr. Cells were washed three times with PBS and mounted on glass slides in Vectashield with DAPI (Vector Laboratories, Inc). The slides were examined using an upright fluorescence microscope (Axioimager Z2, Zeiss) equipped with an Apotome 1 for optical sectioning. A 63X Apochromat Objective (NA 1.4) was used, transmitted light was acquired using differential interference contrast (DIC), and m-Cherry fluorescence was acquired using a texas red filter set. Z-stacks were systematically acquired using a Z-step of 240 nm. Counting was performed taking into account a maximum projection of the Z-stack. Images were processed using ZEN blue software (Zeiss).

RNA extraction and quantitative RT-PCR (qRT-PCR)

For the study of expression of *PA4635* and *PA2558* genes, RNA was prepared from mid-logarithmic bacterial cultures grown for 1 hour in NCE-minimal medium supplemented with 0.1% casamino acids, 38 mM glycerol and 10 µM MgSO₄ or 1 mM MgSO₄ [8] at pH 7 or pH 5.7. For *mgtR* expression study, RNA was prepared from mid-logarithmic bacterial cultures grown in LB. For bacterial RNA extraction from infected J774, 4.10⁶ macrophages were seeded into a 100 cm² tissue culture dish and infected at an MOI of 10 as described above. One hour after phagocytosis, cells were washed three times with PBS, lysed with 0.1% Triton X100 and pelleted by centrifugation at 13 000 rpm for 10 min at 15°C. Bacteria were resuspended by adding 500 µI PBS and transferred to a new tube for RNA preparation (thus discarding non resuspended cellular debris).

RNA was prepared and reverse transcribed as previously described [55] except that bacteria were incubated only 5 min with RNA protect reagent and were disrupted with lyzozyme. Controls without reverse transcriptase were done on each RNA sample to rule out possible DNA contamination. Quantitative real-time PCR was performed using a Light Cycler 480 SYBR Green I Master mix and a 480 Light Cycler instrument (Roche). PCR conditions were as follows: 3 min denaturation at 98°C, 45 cycles of 98°C for 5 sec, 60°C for 10 sec and 72°C for 10 sec. PCR conditions for mgtR and 16S rRNA control gene were as follows: 25 cycles of 95°C for 30 sec, 46°C (59°C for 16S rRNA) for 20 sec and 72°C for 30 sec. The sequences of primers used for RT-PCR are listed in S1 Table.

Internalization in non-phagocytic cells

Invasion assay of HeLa cells were done as described [22] with mid-log phase *P. aeruginosa* grown in LB broth.

Adherence assay on inert surfaces and analysis of exopolysaccharide (EPS) production

The adherence assay was performed as previously described $[\underline{56}]$ except that the biofilm visualisation was done in glass tubes. O/N cultures were done in 2 ml of MM63 medium supplemented with glucose, Casamino acids and 1 mM MgSO₄, cells were washed with PBS before resuspension in the same medium with various concentrations of MgSO₄. The absorbance of the culture was measured at 600 nm (A₆₀₀) before attached bacteria were stained with 0.1% crystal violet for a period of 15 min and washed twice with water. The stain was then dissolved in ethanol and absorbance was measured at 600 nm.



For liquid Congo red (CR) assays, bacteria were grown as previously in a minimal medium containing 40 μ g/ml CR, under vigorous agitation. At 24 h, the A₆₀₀ (absorbance at 600 nm) was determined and the bacterial cells were pelleted by centrifugation at 15493 g. For quantification of CR binding, the A₄₉₀ of the supernatant of each sample was determined. The ratio of A₄₉₀/A₆₀₀ indicates the EPS production.

Bacterial two-hybrid analysis

The *P. aeruginosa mgt* C gene, amplified using PAO1 chromosomal DNA and primers PA4635-pUT18-F/PA4635-pUT18-R, was cloned at the *Hind*III and *EcoR*I sites of the pUT18 vector, to produce a fusion protein *Pa*MgtC-T18. This recombinant plasmid was cotransformed with a plasmid producing a fusion protein T25-MgtR [8] into BTH101 bacteria. Quantification of interaction between fusion proteins was carried out at 30°C as described previously [8]. Values are average from at least six independent cultures. A level of β-galactosidase activity at least fivefold higher than that measured for vectors indicates an interaction.

Statistical analysis

Statistical analyses of comparisons between survival curves were performed using the log rank test with Prism 4.0 (Graphpad, Inc). Statistical significance was assumed at P values < 0.05. For $ex\ vivo$ experiments (J774 or HeLa cells), paired Student's t test was performed using Excel software (Microsoft). In the figures, * means P values < 0.05, ** < 0.01, and *** < 0.001.

Supporting Information

S1 Fig. Construction of a PA4635 mutant. The genomic organization of the mgtC (PA4635) locus and the sequence of a predicted σ 70 promoter (BProm program (http://linux1.softberry.com/berry.phtml?topic = bprom&group = programs&subgroup = gfindb) found upstream mgtC are indicated. The position of oligonucleotides used in PCR experiment to check the mutant is shown.

(TIF)

S2 Fig. Visualisation of macrophage depletion in zebrafish embryos. Depiction of a transgenic (*mpeg1::mCherry*) zebrafish embryo lacking macrophages generated by the injection of *pu1* morpholino mixture at one stage cell. The absence of macrophages in morphants was confirmed after an observation by fluorescent microscopy while the load of macrophages is normal in standard control (inset). Auto-fluorescence is visible at the yolk. (TIF)

S3 Fig. Survival curves of pu.1 morphant embryos infected with a low bacterial dose (500 CFU). As shown by the graph, pu.1 morphant embryos (n = 20 each) are sensitive to infection even at low bacterial dose (whereas non treated embryos survive when infected with such dose). No statistically significant difference is obtained between pu.1 morphant embryos injected with PAO1 or $\Delta mgtC$ strain (ns: non significant). (TIF)

S4 Fig. MgtC is involved in uptake of P. aeruginosa by macrophages but not by non-phagocytic cells. (A) Phagocytosis of P. aeruginosa strains by J774 macrophages. A ratio is calculated between bacterial CFUs counted after phagocytosis and bacterial CFUs from the inoculum. The percentage of phagocytosis is normalized to the one of PAO1. All assays were performed a minimum of three times in triplicate. Error bars represent standard deviations and asterisk indicates P value (P < 0.05, P < 0.01). (B) Standard bacterial invasion assays in HeLa cells



upon infection with P. aeruginosa strains. A T6SS mutant ($\Delta clpV2$) is included as negative control. The percentage of invasion of PAO1 $\Delta clpV2$ or PAO1 $\Delta mgtC$ is normalized to the one PAO1 (that represents an average of 2.5 x 10^4 CFUs of internalized bacteria per well). All assays were performed a minimum of three times in triplicate. Error bars represent standard deviations and asterisk indicates P value (***P <0.001). (TIF)

S5 Fig. Expression of P. $aeruginosa\ pcrV\ and\ gyrA$ genes in liquid medium and intracellularly The levels of pcrV(A) and gyrA(B) transcripts relative to those of the rpoD gene were measured by qRT-PCR. RNA was extracted from bacteria grown in liquid medium ($in\ vitro$) containing a high (1 mM) or low (10 μ M) concentration of MgSO₄ and a pH of 7 or at 5.7. Bacterial RNA was also extracted from infected J774 macrophages ($ex\ vivo$) that were treated (+ BAFI) or not (- BAFI) with bafilomycin A1. For all conditions, RNA were prepared two times independently. Results are expressed as means \pm SD from at least three independent measurements (each performed in triplicate). (TIF)

S6 Fig. Effect of addition of extracellular magnesium on the survival of the $\Delta mgtC$ strain in J774 macrophages. The survival of bacteria was measured from macrophages cultured with or without additional magnesium (25 mM). Addition of extracellular magnesium does not rescue the survival defect of the $\Delta mgtC$ strain. The percentage of survival is normalized to the one of PAO1. Error bars correspond to standard errors (SE) from two independent experiments. (TIF)

S7 Fig. EPS production from P. aeruginosa strains. EPS production was measured by Congo Red staining from P. aeruginosa strains PAO1, PAO1 $\Delta mgtC$, and PAO1 $\Delta mgtC$ attB:: $mgtC^+$ grown at 30°C for 24 h in minimal medium with low MgSO₄(10 μ M) or high MgSO₄(1 mM). Results are representatives of three independent experiments. Error bars correspond to standard errors (+ SE) from three independent experiments and the asterisks indicate P value (Student's t test, ****P<0.001). (TIF)

S8 Fig. PAO1 $\Delta mgtC$ mutant motility with twitching and swimming assays. *P. aeruginosa* strains PAO1, PAO1 $\Delta mgtC$, and PAO1 $\Delta mgtC$ attB:: $mgtC^+$ were grown in minimal medium containing 10 μ M or 1 mM MgSO₄. For the swimming assay, the particular aspect of colonies in 1 mM MgSO₄ is not observed with the same MgSO₄ concentration when the preculture is done in LB medium (lower panel) instead of minimal medium (MM). (TIF)

S9 Fig. PAO1 $\Delta mgtC$ mutant morphology. *P. aeruginosa* strains PAO1, PAO1 $\Delta mgtC$, and PAO1 $\Delta mgtC$ attB:: $mgtC^{\dagger}$ were grown at 30°C in minimal medium supplemented with 10 μ M or 1 mM MgSO₄. Strains were observed by optical microscopy at 100 X, Zeiss Axioskop 40. Scale bar indicates a length of 1 μ m. (TIF)

S10 Fig. Alignment of amino-acid sequences of MgtC proteins from S. Typhimurium (STM3764) and P. aeruginosa (PA4635). Proteins were aligned using the ClustalX program. Conservation of residues is indicated below the sequences with the following rules: "*" for residues that are identical in all sequences in the alignment;":" for conserved substitutions; "." means for semi-conserved substitutions. Residues conserved in the phylogenetic subgroup only and subjected to site-directed mutagenesis in the present study are shaded in dark grey. Transmembrane (TM) domains are indicated above the sequence (TM1 to TM5). An Ala-coil motif,



which is an helix-helix interaction motif characterized by small residues (Ala, Gly, Ser) in heptad repeats, present in the TM4 of ST MgtC (red rectangles) is conserved in PA4635. In addition, three residues important for ST MgtC/MgtR interaction between TM3 and TM4 are indicated by red dots.

(TIF)

S11 Fig. In vivo interaction of PaMgtC with Salmonella KdpF peptide. The interaction was assayed using the BACTH system by transforming E. coli BTH101 cells with plasmids producing PaMgtC-T18 and T25-StKdpF. Liquid β -galactosidase assays were performed from three independent experiments in duplicate. As negative control, BTH101 bacteria were cotransformed with a plasmid expressing PaMgtC-T18 and the pKT25 vector or with the pUT18 vector and a plasmid expressing T25-MgtR. Both negative controls give similar β -galactosidase levels. Transformants with PaMgtC-T18 and T25-StKdpF give a β -galactosidase level that is not five times higher the level of negative controls, indicative of a lack of interaction between PaMgtC and StKdpF according to the BACTH protocol. Error bars represent SD.

(TIF)

S12 Fig. Phagocytosis of the PAO1 strain expressing mgtR by J774 macrophages. For PAO1 strain expressing or not mgtR, a ratio is calculated between bacterial CFUs counted after phagocytosis and 20 treatment of gentamycin and bacterial CFUs from the inoculum. Results are normalized to 100% for the PAO1-pBBR strain and are expressed as means +SE from four independent experiments. Asterisks indicate statistical significance *P <0.05). (TIF)

S13 Fig. Growth of *P. aeruginosa* PAO1 strain expressing mgtR in Mg^{2+} deprived medium. PAO1 straincarrying thepBBR1MCS vector(pBBR) or a pBBR1MCS derivative that encodes mgtR (pMgtR) were grown at 30°C in minimal medium with 0, 10 μ M or 1 mM MgSO₄. OD₆₀₀ is indicated over the growth period. The experiment was independently repeated two times and a representative curve is shown.

(TIF)

S1 Table. Bacterial strains, plasmids and primers used in the study. (DOC)

S1 Text. Supporting Protocols. (DOC)

Acknowledgments

We thank Marian Llamas for providing plasmid pBPF-mCherry, Cathy Gonzalez for fish facility maintenance, Kevin Esteves for construction of plasmid pUT18-PaMgtC and the Montpellier RIO Imaging microscopy plateform. We thank Georges Lutfalla for critical reading of the manuscript, Laurence Berry for discussions and cell imaging expertise, Romé Voulhoux's team and Laurent Kremer for support.

Author Contributions

Conceived and designed the experiments: SB ABBP. Performed the experiments: CB CS AB AL SB ABBP. Analyzed the data: CB CS AB AL SB ABBP. Contributed reagents/materials/analysis tools: SB ABBP. Wrote the paper: SB ABBP.



References

- Alix E, Blanc-Potard AB MgtC: a key player in intramacrophage survival. Trends Microbiol. 2007; 15: 252–256. PMID:17416526
- Blanc-PotardAB, Groisman EAThe Salmonella selClocus contains a pathogenicity island mediating intramacrophage survival. EMBO J. 1997; 16: 5376–5385. PMID: 9311997
- Lawley TD, Chan K, Thompson LJ, Kim CC, Govoni GR, et al. Genome-wide screen for Salmonella genes required for long-term systemic infection of the mouse. PLoS Pathog. 2006; 2: e11. PMID: 16518469
- Thompson JA, Liu M, Helaine S, Holden DW Contribution of the PhoP/Q regulon to survival and replication of Salmonella enterica serovar Typhimurium in macrophages. Microbiology. 2011; 157: 2084– 2093. doi: 10.1099/mic.0.048926-0 PMID: 21511762
- Lee EJ, Pontes MH, Groisman EA A bacterial virulence protein promotes pathogenicity by inhibiting the bacterium's own F1FoATP synthase. Cell. 2013; 154: 146–156. doi: 10.1016/j.cell.2013.06.004 PMID: 23827679
- Garcia Vescovi E, Soncini FC, Groisman EAMg2+ as an extracellular signal: environmental regulation of Salmonella virulence. Cell. 1996: 84: 165–174. PMID: 8548821
- Lee EJ, Groisman EA Control of a Salmonella virulence locus by an ATP-sensing leader messenger RNA. Nature. 2012; 486: 271–275. doi: 10.1038/nature11090 PMID: 22699622
- Alix E, Blanc-Potard AB Peptide-assisted degradation of the Salmonella MgtC virulence factor. EMBO J. 2008; 27: 546–557. doi: 10.1038/sj.emboj.7601983 PMID: 18200043
- Buchmeier N, Blanc-Potard A, Ehrt S, Piddington D, Riley L, et al. A parallel intraphagosomal survival strategy shared by mycobacterium tuberculosis and Salmonella enterica. Mol Microbiol. 2000; 35: 1375–1382. PMID: 10760138
- Lavigne JP, O'Callaghan D, Blanc-Potard AB Requirement of MgtC for Brucella suis intramacrophage growth: a potential mechanism shared by Salmonella enterica and Mycobacterium tuberculosis for adaptation to a low-Mg2+ environment. Infect Immun. 2005; 73: 3160–3163. PMID: 15845525
- Maloney KE, Valvano MA The mgtCgene of Burkholderia cenocepacia is required for growth under magnesium limitation conditions and intracellular survival in macrophages. Infect Immun. 2006; 74: 5477–5486. PMID: 16988222
- Grabenstein JP, Fukuto HS, Palmer LE, Bliska JB Characterization of phagosome trafficking and identification of PhoP-regulated genes important for survival of Yersinia pestis in macrophages. Infect Immun. 2006; 74:3727–3741. PMID: 16790745
- Retamal P, Castillo-Ruiz M, Mora GC Characterization of MgtC, a virulence factor of Salmonella enterica Serovar Typhi. PLoS One. 2009; 4:e5551. doi: 10.1371/journal.pone.0005551 PMID: 19436747
- Belon C, Gannoun-Zaki L, Lutfalla G, Kremer L, Blanc-Potard AB Mycobacterium marinum MgtC plays a role in phagocytosis but is dispensable for intracellular multiplication. PLoS One. 2014; 9:e116052. doi: 10.1371/journal.pone.0116052 PMID: 25545682
- Rang C, Alix E, Felix C, Heitz A, Tasse L, et al. Dual role of the MgtC virulence factor in host and non-host environments. Mol Microbiol. 2007; 63: 605–622. PMID: 17176255
- Blanc-Potard AB, Lafay B MgtC as a horizontally-acquired virulence factor of intracellular bacterial pathogens: evidence from molecular phylogeny and comparative genomics. J Mol Evol. 2003; 57: 479–486. PMID: 14708580
- Ripoll F, Pasek S, Schenowitz C, Dossat C, Barbe V, et al. Non mycobacterial virulence genes in the genome of the emerging pathogen *Mycobacterium abscessus*. PLoS One. 2009; 4:e5660. doi: 10. 1371/journal.pone.0005660 PMID: 19543527
- Banin E, Brady KM, Greenberg EP Chelator-induced dispersal and killing of Pseudomonas aeruginosa cells in a biofilm. Appl Environ Microbiol. 2006; 72: 2064–2069. PMID: 16517655
- Mulcahy H, Lewenza S Magnesium limitation is an environmental trigger of the Pseudomonas aeruginosa biofilm lifestyle. PLoS One. 2011; 6: e23307. doi: 10.1371/journal.pone.0023307 PMID: 21858064
- Brannon MK, Davis JM, Mathias JR, Hall CJ, Emerson JC, et al. Pseudomonas aeruginosa Type III secretion system interacts with phagocytes to modulate systemic infection of zebrafish embryos. Cell Microbiol.2009; 11:755–768.doi:10.1111/j.1462-5822.2009.01288.xPMID:19207728
- Garcia-Medina R, Dunne WM, Singh PK, Brody SL Pseudomonas aeruginosa acquires biofilm-like properties within airway epithelial cells. Infect Immun. 2005; 73: 8298–8305. PMID: 16299327
- Sana TG, Hachani A, Bucior I, Soscia C, Garvis S, et al. The second type VI secretion system of Pseudomonas aeruginosa strain PAO1 is regulated by quorum sensing and Fur and modulates



- internalization in epithelial cells. J Biol Chem. 2012; 287:27095–27105. doi: 10.1074/jbc.M112. 376368 PMID: 22665491
- Winsor GL, Lam DK, Fleming L, Lo R, Whiteside MD, et al. Pseudomonas Genome Database: improved comparative analysis and population genomics capability for Pseudomonas genomes. Nucleic Acids Res. 2011; 39: D596–600. doi: 10.1093/nar/gkq869 PMID: 20929876
- Roy PH, Tetu SG, Larouche A, Elbourne L, Tremblay S, et al. Complete genome sequence of the multiresistant taxonomic outlier *Pseudomonas aeruginosa* PA7. PLoS One. 2010; 5: e8842. doi: <u>1</u>0.1371/ journal.pone.0008842 PMID: <u>20107499</u>
- Torraca V, Masud S, Spaink HP, Meijer AH Macrophage-pathogen interactions in infectious diseases: new therapeutic insights from the zebrafish host model. Dis Model Mech. 2014; 7: 785–797. doi: 10. 1242/dmm.015594 PMID: 24973749
- Clatworthy AE, Lee JS, Leibman M, Kostun Z, Davidson AJ, et al. Pseudomonas aeruginosa infection of zebrafish involves both host and pathogen determinants. Infect Immun. 2009; 77: 1293–1303. doi: 10.1128/IAI.01181-08 PMID: 19168742
- Lieschke GJ, Oates AC, Crowhurst MO, Ward AC, Layton JE Morphologic and functional characterization of granulocytes and macrophages in embryonic and adultzebrafish. Blood. 2001; 98: 3087–3096.
 PMID: <u>11698295</u>
- Clay H, Davis JM, Beery D, Huttenlocher A, Lyons SE, et al. Dichotomous role of the macrophage in early Mycobacterium marinum infection of the zebrafish. Cell Host Microbe. 2007; 2: 29–39. PMID: 18005715
- Bernut A, Herrmann JL, Kissa K, Dubremetz JF, Gaillard JL, et al. Mycobacterium abscessus cording prevents phagocytosis and promotes abscess formation. Proc Natl Acad Sci U S A. 2014; 111: E943– 952. doi: 10.1073/pnas.1321390111 PMID: 24567393
- Engel J, Balachandran P Role of Pseudomonas aeruginosa type III effectors in disease. Curr Opin Microbiol. 2009; 12: 61–66. doi: 10.1016/j.mib.2008.12.007 PMID: 19168385
- Bowman EJ, Siebers A, Altendorf K Bafilomycins: a class of inhibitors of membrane ATPases from microorganisms, animal cells, and plant cells. Proc Natl Acad Sci U S A. 1988; 85: 7972–7976. PMID: 2973058
- Friedman L, Kolter R Genes involved in matrix formation in Pseudomonas aeruginosa PA14 biofilms. Mol Microbiol. 2004; 51: 675–690. PMID: 14731271
- Vasseur P, Vallet-Gely I, Soscia C, Genin S, Filloux A The pel genes of the Pseudomonas aeruginosa PAK strain are involved at early and late stages of biofilm formation. Microbiology. 2005; 151: 985– 997. PMID: 15758243
- Ma L, Jackson KD, Landry RM, Parsek MR, Wozniak DJ Analysis of Pseudomonas aeruginosa conditional psl variants reveals roles for the psl polysaccharide in adhesion and maintaining biofilm structure postattachment. J Bacteriol. 2006; 188: 8213–8221. PMID: 16980452
- O'Toole GA, Kolter R Flagellar and twitching motility are necessary for Pseudomonas aeruginosa biofilm development. Mol Microbiol. 1998; 30: 295–304. PMID: 9791175
- Jean-Francois FL, Dai J, Yu L, Myrick A, Rubin E, et al. Binding of MgtR, a Salmonella transmembrane regulatory peptide, to MgtC, a Mycobacterium tuberculosis virulence factor: a structural study. J Mol Biol. 2014; 426: 436–446. doi: 10.1016/j.jmb.2013.10.014 PMID: 24140750
- Karimova G, Pidoux J, Ullmann A, Ladant DA bacterial two-hybrid system based on a reconstituted signal transduction pathway. Proc Natl Acad Sci U S A. 1998; 95: 5752–5756. PMID: 9576956
- Geiger T, Francois P, Liebeke M, Fraunholz M, Goerke C, et al. The stringent response of Staphylococcus aureus and its impact on survival after phagocytosis through the induction of intracellular PSMs expression. PLoS Pathog. 2012; 8: e1003016. doi: 10.1371/journal.ppat.1003016 PMID: 23209405
- PrajsnarTK, Hamilton R, Garcia-Lara J, McVicker G, Williams A, et al. A privileged intraphagocyte niche is responsible for disseminated infection of Staphylococcus aureus in a zebrafish model. Cell Microbiol. 2012; 14: 1600–1619. doi: 10.1111/j.1462-5822.2012.01826.x PMID: 22694745
- Eriksson S, Lucchini S, Thompson A, Rhen M, Hinton JC Unravelling the biology of macrophage infection by gene expression profiling of intracellular Salmonella enterica. Mol Microbiol. 2003; 47:103–118. PMID: 12492857
- Rathman M, Sjaastad MD, Falkow S Acidification of phagosomes containing Salmonella typhimurium in murine macrophages. Infect Immun. 1996; 64:2765–2773. PMID: 8698506
- Porte F, Liautard JP, Kohler S Early acidification of phagosomes containing Brucella suis is essential for intracellular survival in murine macrophages. Infect Immun. 1999; 67:4041–4047. PMID: 10417172
- Skurnik D, Roux D, Aschard H, Cattoir V, Yoder-Himes D, et al. A comprehensive analysis of in vitro and in vivo genetic fitness of *Pseudomonas aeruginosa* using high-throughput sequencing of transposon libraries. PLoS Pathog. 2013; 9: e1003582. doi: 10.1371/journal.ppat.1003582.PMID: 24039572



- Guina T, Wu M, Miller SI, Purvine SO, Yi EC, et al. Proteomic analysis of Pseudomonas aeruginosa grown under magnesium limitation. J Am Soc Mass Spectrom. 2003; 14:742–751. PMID: 12837596
- Martin-Orozco N, Touret N, Zaharik ML, Park E, Kopelman R, et al. Visualization of vacuolar acidification-induced transcription of genes of pathogens inside macrophages. Mol Biol Cell. 2006; 17: 498– 510. PMID: 16251362
- Song B, Leff LG Influence of magnesium ions on biofilm formation by Pseudomonas fluorescens. Microbiol Res. 2006; 161: 355–361. PMID: 16517137
- Robertson EJ, Wolf JM, Casadevall A EDTA inhibits biofilm formation, extracellular vesicular secretion, and shedding of the capsular polysaccharide glucuronoxylomannan by *Cryptococcus neoformans*. Appl Environ Microbiol. 2012; 78: 7977–7984. doi: 10.1128/AEM.01953-12 PMID: 22941091
- Yoon MY, Lee KM, Park Y, Yoon SS Contribution of cell elongation to the biofilm formation of Pseudomonas aeruginosa during anaerobic respiration. PLoS One. 2011; 6: e16105. doi: 10.1371/journal. pone.0016105 PMID: 21267455
- Pontes MH, Lee EJ, Choi J, Groisman EA Salmonella promotes virulence by repressing cellulose production. Proc Natl Acad Sci U S A. 2015; 112: 5183–5188. doi: 10.1073/pnas.1500989112 PMID: 25848006
- Yang Y, Labesse G, Carrere-Kremer S, Esteves K, Kremer L, et al. (2012) The C-terminal domain of the virulence factor MgtC is a divergent ACT domain. J Bacteriol 194: 6255–6263. doi: 10.1128/JB. 01424-12 PMID:22984256
- Hoang TT, Kutchma AJ, Becher A, Schweizer HP Integration-proficient plasmids for Pseudomonas aeruginosa: site-specific integration and use for engineering of reporter and expression strains. Plasmid. 2000; 43: 59–72. PMID: 10610820
- Lamason RL, Mohideen MA, Mest JR, Wong AC, Norton HL, et al. SLC24A5, a putative cation exchanger, affects pigmentation in zebrafish and humans. Science. 2005; 310: 1782–1786. PMID: 16357253
- Soscia C, Hachani A, Bernadac A, Filloux A, Bleves S Cross talk between type III secretion and flagellar assembly systems in Pseudomonas aeruginosa. J Bacteriol. 2007; 189: 3124–3132. PMID: 17307856
- Del Porto P, Cifani N, Guarnieri S, Di Domenico EG, Mariggio MA, et al. Dysfunctional CFTR alters the bactericidal activity of human macrophages against *Pseudomonas aeruginosa*. PLoS One. 2011; 6: e19970. doi: 10.1371/journal.pone.0019970 PMID: 21625641
- Gannoun-Zaki L, Belon C, Dupont C, Hilbert F, Kremer L, et al. Overexpression of the Salmonella KdpF membrane peptide modulates expression of kdp genes and intramacrophage growth. FEMS Microbiol Lett. 2014; 359: 34–41. doi: 10.1111/1574-6968.12559 PMID: 25197761
- Vallet I, Olson JW, Lory S, Lazdunski A, Filloux A The chaperone/usher pathways of *Pseudomonas* aeruginosa: identification of fimbrial gene clusters (cup) and their involvement in biofilm formation. Proc Natl Acad Sci U S A. 2001; 98: 6911–6916. PMID: 11381121
- Dereeper A, Guignon V, Blanc G, Audic S, Buffet S, et al. Phylogeny.fr:robustphylogenetic analysis for the non-specialist. Nucleic Acids Res. 2008; 36: W465–469. doi: 10.1093/nar/gkn180 PMID: 18424797
- Gastebois A, Blanc Potard AB, Gribaldo S, Beau R, Latge JP, et al. Phylogenetic and functional analysis of Aspergillus fumigatus MGTC, a fungal protein homologous to a bacterial virulence factor. Appl Environ Microbiol. 2011; 77:4700–4703. doi: 10.1128/AEM.00243-11 PMID: 21602378

Figure S1

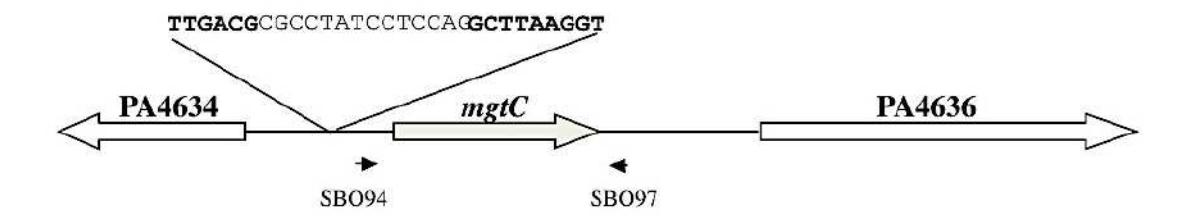


Figure S2

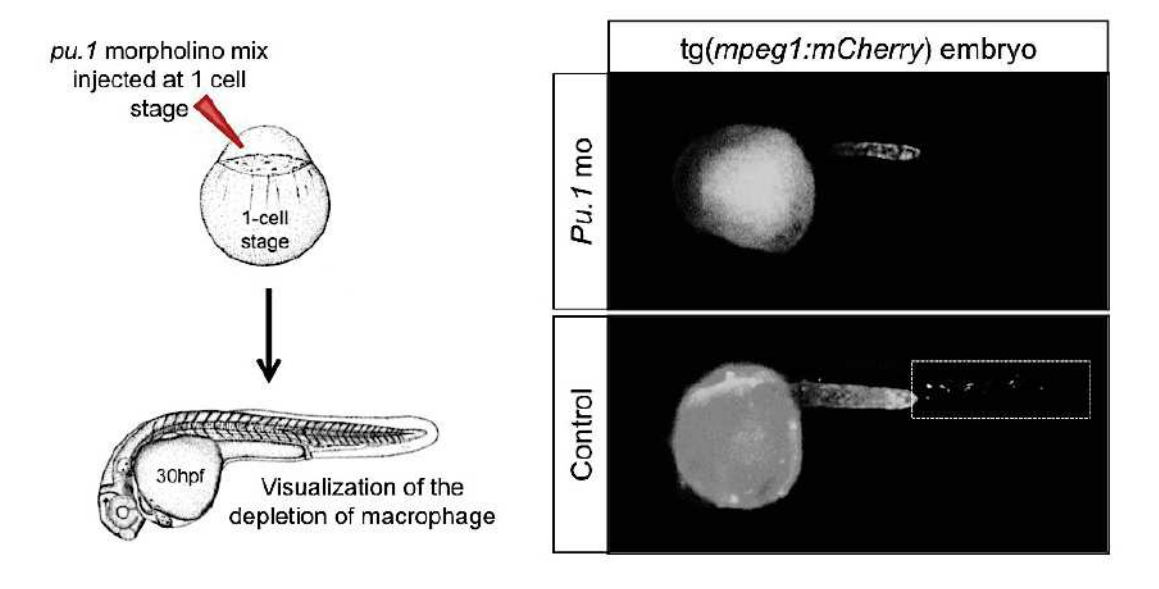


Figure S3

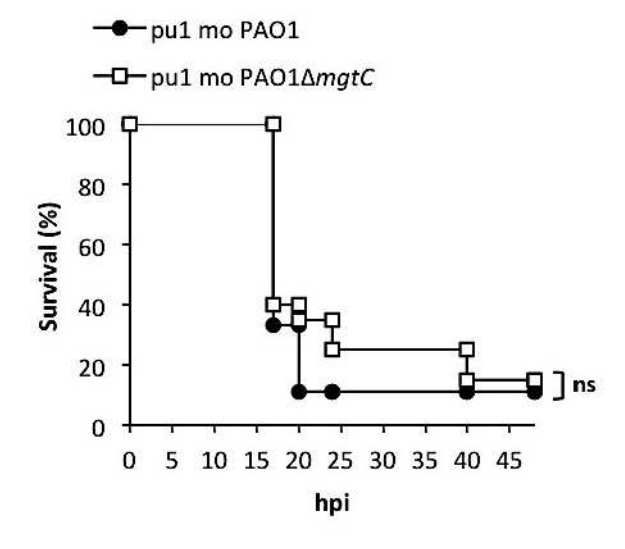


Figure S4

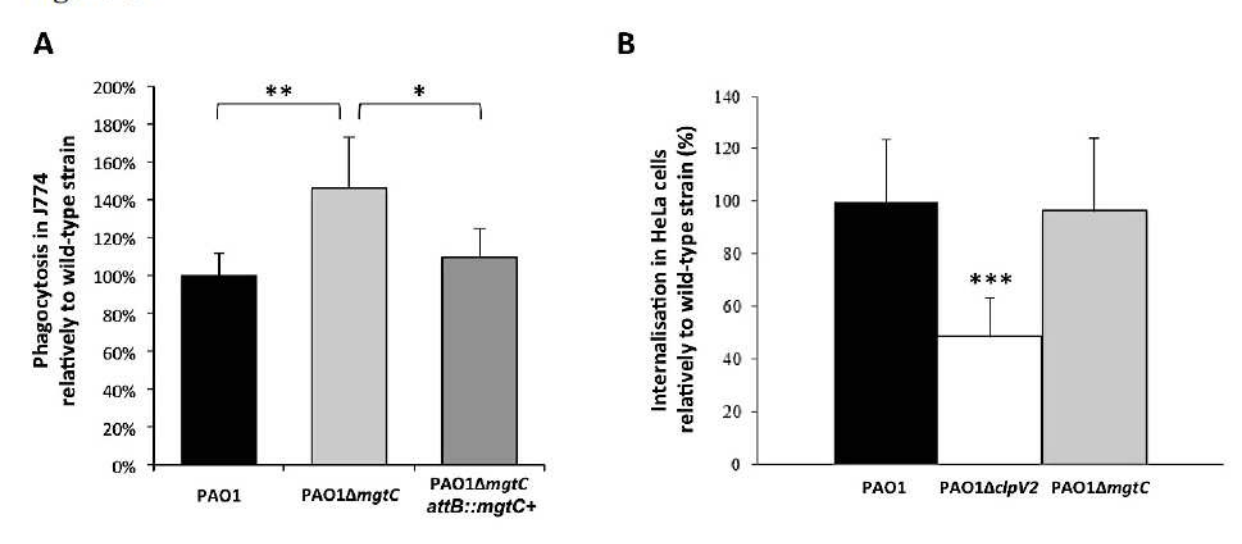


Figure S5

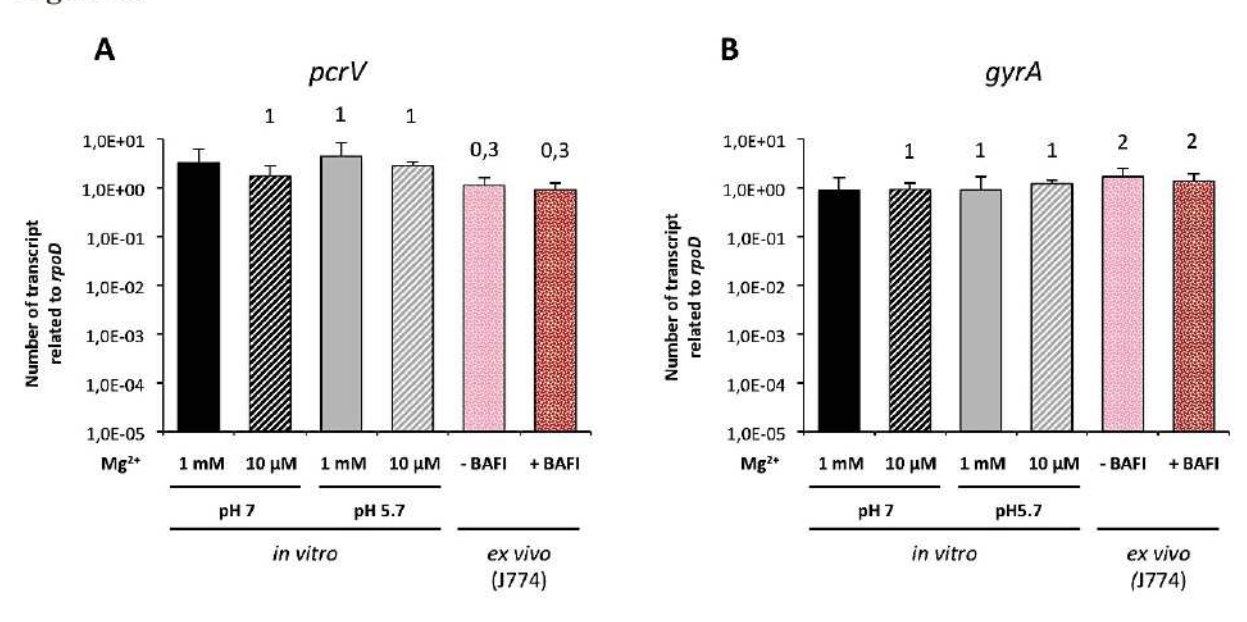


Figure S6

120

100

100

100

100

100

PA01 angtC

PA01 AmgtC

PA01 AmgtC

+ Mg2+

Figure S7

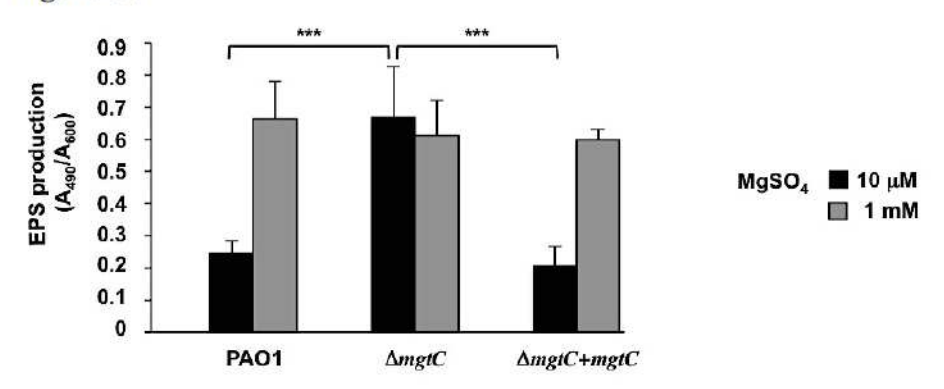


Figure S8

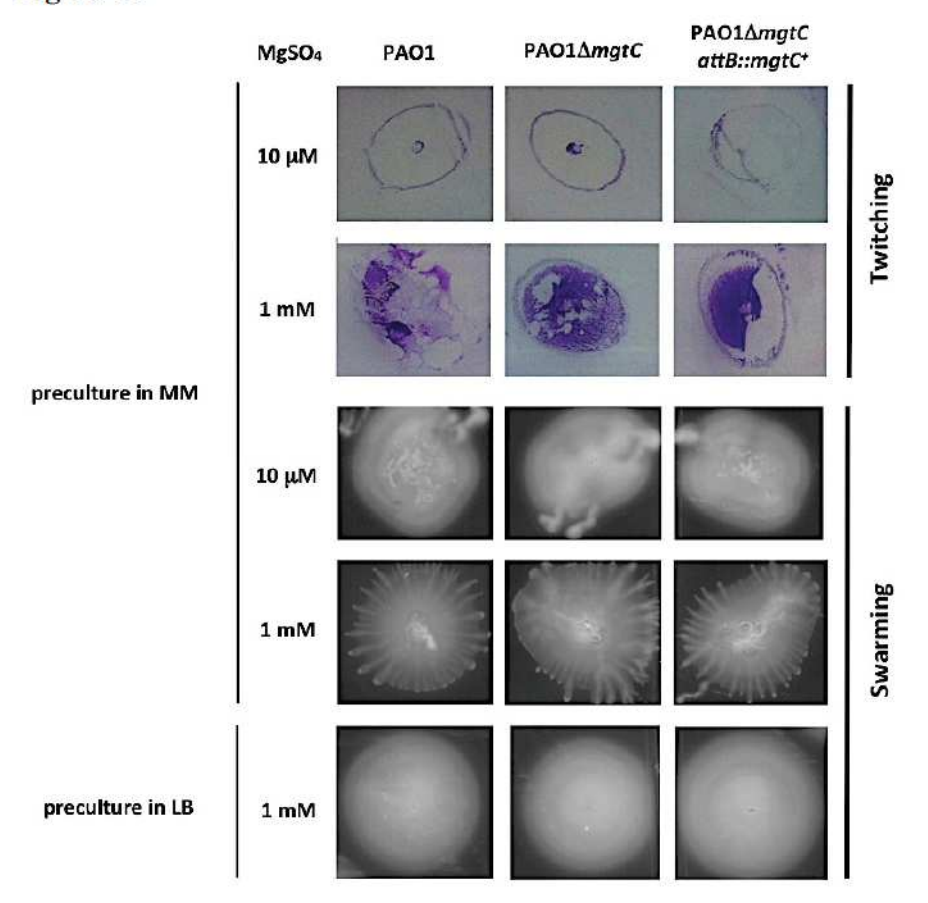


Figure S9

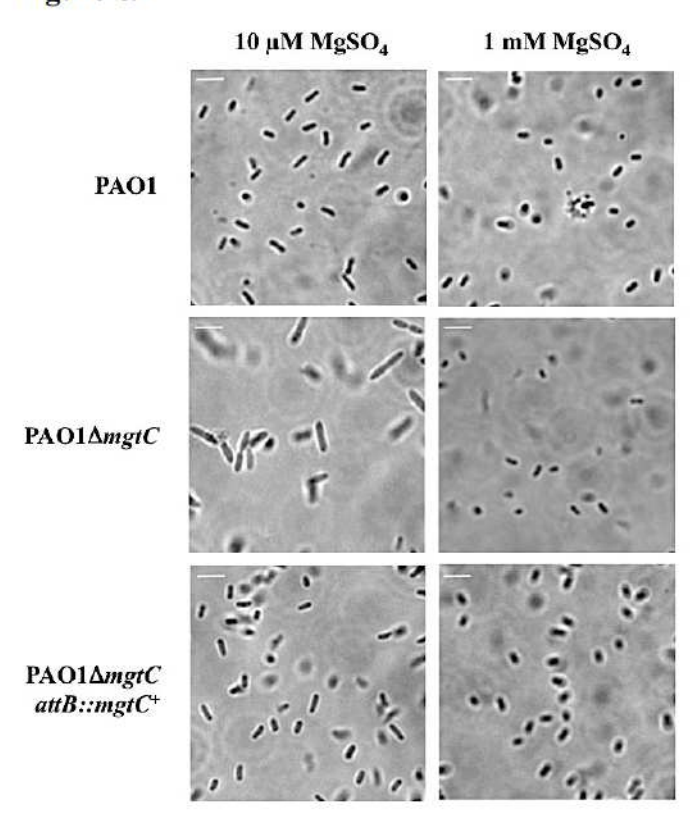


Figure S10

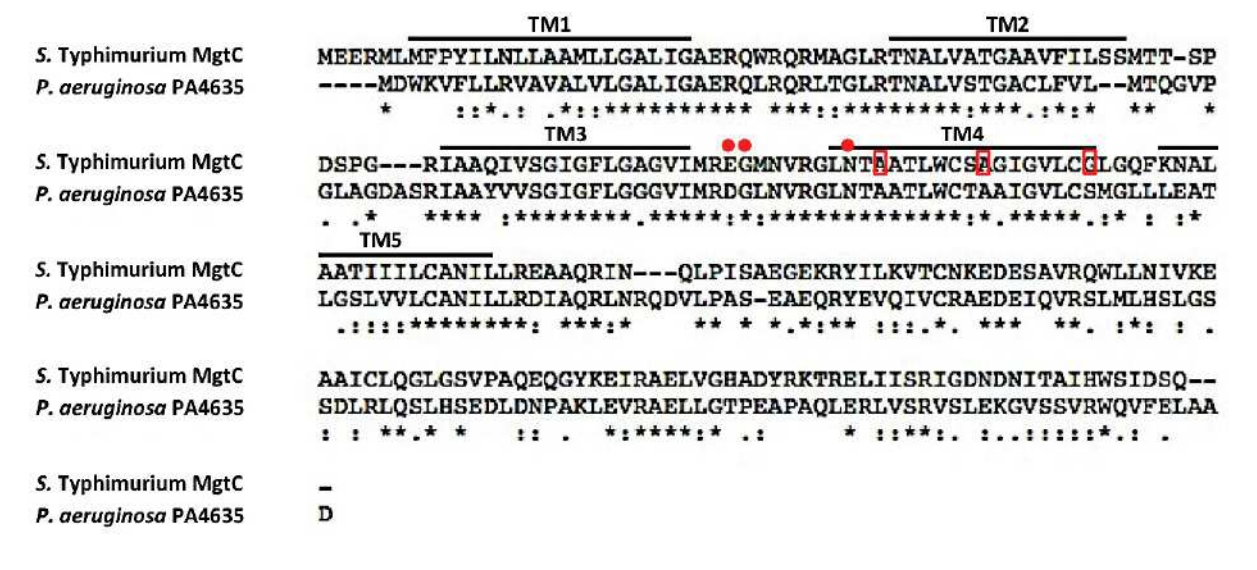


Figure S11

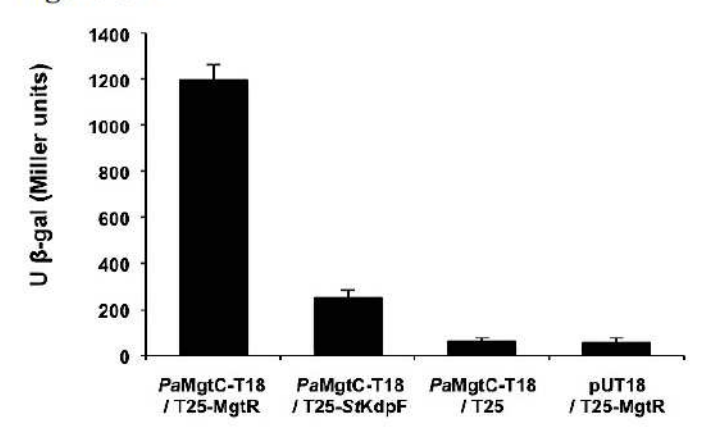


Figure S12

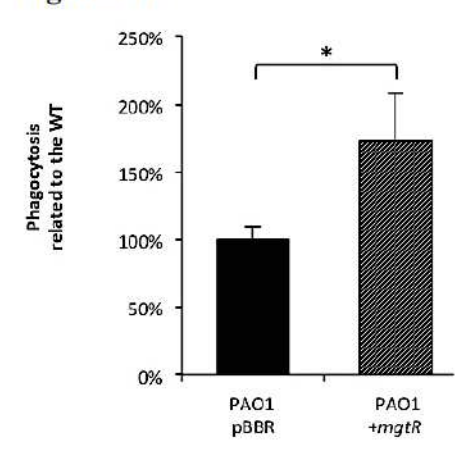


Figure S13

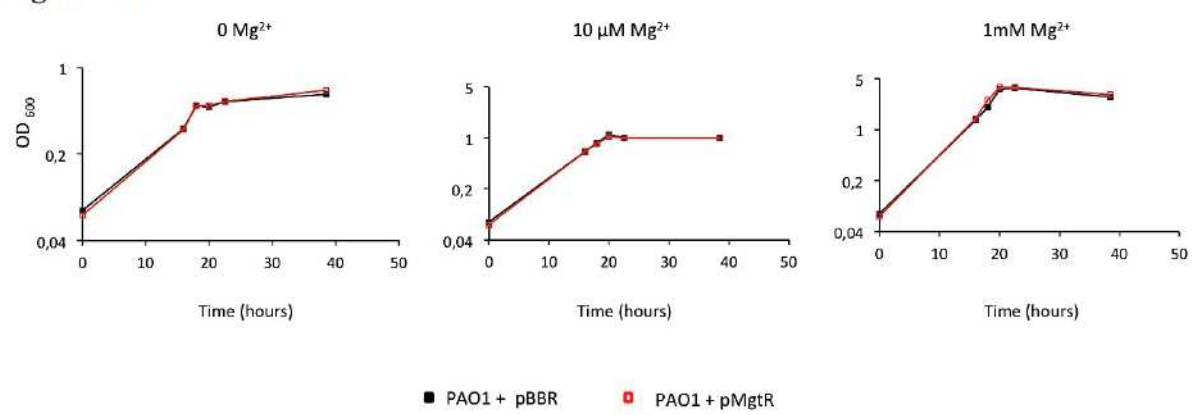


Table S1

Strain, plasmid, or	Genotype, description or sequence	Source and/or reference
oligonucleotide	71-1	
Strains		9
E.coli		
Top10 F'	F- mcrA Δ(mrr-hsdRMS-mcrBC) φ80lacZΔM15 ΔlacX74 nupG recA1 araD139 Δ(ara-leu)7697 galE15 galK16 rpsL(Str ^R) endA1 λ ⁻	Laboratory collection
CC118[pir	$(\lfloor pir) \otimes (ara-leu)$, $araD$, $\otimes lacX74$, $galE$, $galK$, $phoA-20$, $thi-1$, $rpsE$, $rpoB$, $Arg(Am)$, $recA1$, $Rfr(\lfloor pir)$	[1]
SM10	thi-1, thr, leu, tonA, lacY, supE, recA::RP4-2-Tc::Mu	Laboratory collection
P. aeruginosa		_
PAO1	Wild-type, prototroph, chl-2	B. Holloway
PAO1⊗mgtC	mgtC deletion mutant	This work
PAO1⊗mgt	complementation of the mgtC mutation by a mgtC copy inserted at the att B site on	This work
C	P. aeruginosa chromosome	88-20
$attB::mgtC^+$	pscN deletion mutant clpV2	[2]
PAO1⊗pscN	deletion mutant	[3]
PAO1@alnI/	The state of the s	
Plasmids		
pRK2013	Tra+, Mob+, ColE1, KmR	Laboratory collection
pCR2.1	TA cloning, lacZ\(, ColE1, f1 ori, ApR KmR	Invitrogen
pSBC43	526 bp upstream and 580 bp downstream mgtC in pCR2.1	This work
pKNG101	oriR6K, mobRK2, sacBR+, SmR (suicide vector)	[4]
pSBC44	mgtC deletion of pSBC43 in pKNG101	This work
mini-CTX1	Ω-FRT-attP-MCS, ori, int, oriT, TcR	[5]
pFLP2	Source of Flp recombinase, ApR	[6]
pSBC46	525 bp upstream region to the last nucleotide of mgtC in pCR2.1	This work
pSBC47	mgtC gene of pSBC46 in mini-CTX1	This work
pBPF-mCherry	P. aeruginosa oprF promoter region upstream of the mCherry coding sequence,	[7]
	GmR	
pUT18	AmpR rep _{ColE1}	[8]
pKT25	KanR rep _{p15A}	[8]
pKT25-MgtR	Fusion MgtR with T25, KanR rep _{p15A}	[9]
pKT25-StKdpF	Fusion StKdpF with T25, KanR rep _{p15A}	[10]
pUT18-PaMgtC	Fusion PaMgtC with T18, AmpR rep _{ColE1}	This work
pBBR1MCS	CmR	[11]
pMgtR	pBBR1MCS mgtR	[9]
Primers		
SBO94	5'-GCCGGAGAAATGTTCCACT-3'	This work
SBO95A	5'-TCAGTCGGCCGCCAGTTCCATGTTTCACCTCGT-3'	This work
SBO96A	5'-ACGAGGTGAAACATGGAACTGGCGGCCGACTGA-3'	This work
SBO97	5'-AGCGGTAGCGGACCAGGG-3'	This work
SBO98	5'-CTGGGCGTACGCGACAGGT-3'	This work
SBO 99	5'-AGCGGGCGCAGAACTGA-3'	This work
SBO100	5'-AGCGGTAGCGGACCAGGG-3'	This work
PA4635-18-HindF	5'-CCCAAGCTTGATGGATTGGAAAGTATTTC-3'	This work
PA4635-18-EcoR	5'-GGAATTCGTCGGCCGCCAGTTCGAAG-3'	This work
PA4635-F	5'-AAAGTATTTCTCCTGCGCGTC-3'	This work
PA4635-R	5'-CCGGAGACTACATAGGCGG-3'	This work
PA2558-F	5'-GGAGCGCTTCTACCAGATCA-3'	This work
PA2558-R	5'-TCTGTTCCACCAGCGAGTC-3'	This work
MgtR-F	5'-TGAATCGCTCACCCGATAAAA-3'	This work
MgtR-R	5'-GAAAACGATTTGCCAGAGGGC-3'	This work
16S-F	5'-CAAAACTACTGAGCTAGAGTACG-3'	[12]
16S-R	5'-TAAGATCTCAAGGATCCCAACGGCT-3'	[12]
12/24/20	5'-AGTGGGATCTGCGCGAGTT-3'	
pcrV-F	5'-TGGGTCTGCAGGACATCCTT-3'	[13]
pcrV-R	5'-AACGACTGGAACAAGCCCTAC-3'	[13]
gyrA-F	5'-GCGCACGATGGTGTCGTA-3'	[13]
gyrA-R	5'-GGGCGAAGAAGGAAATGGTC-3'	[13]
rpoD-F	5'-CAGGTGGCGTAGGTGGAGAA-3'	[14]
rpoD-R		[14]

- Herrero M, de Lorenzo V, Timmis KN (1990) Transposon vectors containing nonantibiotic resistance selection markers for cloning and stable chromosomal insertion of foreign genes in gram-negative bacteria. J Bacteriol 172: 6557-6567.
- 2. Soscia C, Hachani A, Bernadac A, Filloux A, Bleves S (2007) Cross talk between type III secretion and flagellar assembly systems in *Pseudomonas aeruginosa*. J Bacteriol 189: 3124-3132.
- 3. Sana TG, Hachani A, Bucior I, Soscia C, Garvis S, et al. (2012) The second type VI secretion system of *Pseudomonas aeruginosa* strain PAO1 is regulated by quorum sensing and Fur and modulates internalization in epithelial cells. J Biol Chem 287: 27095-27105.
- 4. Kaniga K, Delor I, Cornelis GR (1991) A wide-host-range suicide vector for improving reverse genetics in gram-negative bacteria: inactivation of the *blaA* gene of *Yersinia* enterocolitica. Gene 109: 137-141.
- Hoang TT, Kutchma AJ, Becher A, Schweizer HP (2000) Integration-proficient plasmids for *Pseudomonas aeruginosa*: site-specific integration and use for engineering of reporter and expression strains. Plasmid 43: 59-72.
- 6. Hoang TT, Karkhoff-Schweizer RR, Kutchma AJ, Schweizer HP (1998) A broad-host-range Flp-FRT recombination system for site-specific excision of chromosomally-located DNA sequences: application for isolation of unmarked *Pseudomonas aeruginosa* mutants. Gene 212: 77-86.
- 7. Llamas MA, van der Sar A, Chu BC, Sparrius M, Vogel HJ, et al. (2009) A Novel extracytoplasmic function (ECF) sigma factor regulates virulence in *Pseudomonas aeruginosa*. PLoS Pathog 5: e1000572.
- Karimova G, Pidoux J, Ullmann A, Ladant D (1998) A bacterial two-hybrid system based on a reconstituted signal transduction pathway. Proc Natl Acad Sci U S A 95: 5752-5756.
- 9. Alix E, Blanc-Potard AB (2008) Peptide-assisted degradation of the *Salmonella* MgtC virulence factor. EMBO J 27: 546-557.
- 10. Gannoun-Zaki L, Belon C, Dupont C, Hilbert F, Kremer L, et al. (2014) Overexpression of the *Salmonella* KdpF membrane peptide modulates expression of *kdp* genes and intramacrophage growth. FEMS Microbiol Lett 359: 34-41.
- 11. Kovach ME, Phillips RW, Elzer PH, Roop RM, 2nd, Peterson KM (1994) pBBR1MCS: a broad-host-range cloning vector. Biotechniques 16: 800-802.
- 12. Matsuda K, Tsuji H, Asahara T, Kado Y, Nomoto K (2007) Sensitive quantitative detection of commensal bacteria by rRNA-targeted reverse transcription-PCR. Appl Environ Microbiol 73: 32-39.
- Mikkelsen H, Sivaneson M, Filloux A (2011) Key two-component regulatory systems that control biofilm formation in *Pseudomonas aeruginosa*. Environ Microbiol 13: 1666-1681.
- 14. Savli H, Karadenizli A, Kolayli F, Gundes S, Ozbek U, et al. (2003) Expression stability of six housekeeping genes: A proposal for resistance gene quantification studies of *Pseudomonas aeruginosa* by real-time quantitative RT-PCR. J Med Microbiol 52: 403-408.

Supporting Protocols

Construction of a P. aeruginosa mgtC mutant and complemented strain

To generate the mgtC deletion, 526 bp upstream and 580 bp downstream of the mgtC gene were amplified by overlapping PCR with High Fidelity DNA polymerase (ROCHE) using SBO94, SBO95A, SBO96A, and SBO97 primers (S1 Table) [1]. The PCR product was cloned in pCR2.1 (TA-cloning KIT, Invitrogen) giving pSBC43, which was then sequenced (GATC) and subcloned in pKNG101 suicide vector giving the mutator pSBC44, pSBC44, maintained in the E. coli CC118 pir strain, was mobilized in the wild-type P. aeruginosa strain PAO1. The mutants, with a double recombination event resulting in the non-polar deletion of the mgtC gene, were verified by PCR using external primers SBO98-SBO100. Complementation by a single copy of the $mgtC^{+}$ gene under its own promoter was carried out with the miniCTX integration method at attB region [2]. The entire mgtC gene with the 525 bp-upstream region in which a \int_{0}^{70} dependent promoter was predicted (S1 Fig) was amplified with SBO94 and SBO99, cloned in the pCR2.1 giving pSBC46, which was then sequenced and subcloned in mini-CTX1 plasmid vector giving pSBC47. Chromosomal insertion of the mini-CTX construct pSBC47 carrying mgtC⁺ was obtained via a mating between the recipient PAO1⊗mgtC (grown O/N at 42 °C), and E. coli SM10 pSBC47, with selection on PIA for tetracycline. Finally, excision of the unwanted plasmid DNA sequences was achieved by producing the Flp recombinase from a conjugative plasmid, pFLP2. This step results in an unmarked integrant. The pFLP2 plasmid was cured on sucrose 6%.

Swimming and twitching motility assays

For motility assays, O/N cultures were done in MM63 medium supplemented with glucose, Casamino acids and 1mM MgSO₄. For twitching motility, plates containing 1.5% agar were inoculated by stabbing the agar plates. After 24 h growth at 30 °C, the agar was removed and the plates were stained with 1% crystal violet for 10 min and washed with water. Spreading of

bacteria from the inoculation point could be observed by the size of the stained surface on the plastic. For swimming assays, 0.3% agar plates were inoculated and were incubated 5 h at 37°C. The spreading of the colony on the agar could readily be observed.

Zebrafish maintenance

Zebrafish experiments were performed using the *golden* zebrafish mutant [3] purchased from a local company (Antinea SARL, Montpellier, France) and maintained according to standard described procedures [4]. The Tg(*mpeg1::mCherry*) zebrafish line, which was generated as described below, was used for antisense experiments. Eggs were obtained by natural spawning and incubated at 28.5 °C in "fish water" (water with NaCl 60 μg/mL). Ages of the embryos are expressed as hours post fertilization (hpf).

Generation of transgenic (mpeg1::mCherry)line

The Mpeg1 promoter is used to drive the specific expression of membrane targetted redfluorescent protein in macrophages. Amplificating primers for fragment of Mpeg1 promoter were zMpeg1P4 (TTGGAGCACATCTGAC) and zMpeg1E2N2 (TTATAGCGGCCGCGAAATGCTCTTGACTTCATGA), digested by NotI and ligated to the coding phase of the farnesylated mCherry protein so that the Mpeg1 AUG would be in phase with the downstream mCherry-F open reading frame on a Tol2 derived vector. The resulting plasmid was injected together with the Transposase mRNA in one cell stage embryos.

Microinjection of Morpholinos into embryos

A mix of splice-blocking (GGTCTTTCTCCTTACCATGCTCTCC) and ATG (CCTCCATTCTGTACGGATGCAGCAT) morpholinos (MO) against *pu.1* gene were purchased from Gene Tools and combined as described [5] [6]. MO mix were prepared in MO

buffer containing 10 % phenol red and injected (3 nl) into one cell stage tg(mpeg1::mCherry) using a Tritech Research digital microINJECTOR (MINJ-D). The correct depletion of macrophages cells in pu.1 morphants was confirmed by fluorescent microscopy observation.

Fluorescence Microscopy

Fluorescence live microscopy of embryos are using an Olympus MVX10 epifluorescent microscope equipped with a X-Cite[®]120Q (Lumen Dynamics) 120W mercury light source. Images are acquired with a digital color camera (Olympus XC50) and processed using CellSens (Olympus). Fluorescence filters cubes TRITC-MVX10 are used for detection of red light. Final images analysis and visualization are performed using GIMP 2.6 freeware to adjust levels and brightness and to remove out-of-focus background fluorescence.

- Vasseur P, Vallet-Gely I, Soscia C, Genin S, Filloux A (2005) The pel genes of the Pseudomonas aeruginosa PAK strain are involved at early and late stages of biofilm formation. Microbiology 151: 985-997.
- 2. Hoang TT, Kutchma AJ, Becher A, Schweizer HP (2000) Integration-proficient plasmids for *Pseudomonas aeruginosa*: site-specific integration and use for engineering of reporter and expression strains. Plasmid 43: 59-72.
- Lamason RL, Mohideen MA, Mest JR, Wong AC, Norton HL, et al. (2005) SLC24A5, a
 putative cation exchanger, affects pigmentation in zebrafish and humans. Science 310:
 1782-1786.
- 4. Westerfield M (2007) In: The zebrafish book: a guide for the laboratory use of the zebrafish (*Danio rerio*). 5th edition, Eugene, University of Oregon Press. Paperback.
- Clay H, Davis JM, Beery D, Huttenlocher A, Lyons SE, et al. (2007) Dichotomous role of the macrophage in early *Mycobacterium marinum* infection of the zebrafish. Cell Host Microbe 2: 29-39.
- Bernut A, Herrmann JL, Kissa K, Dubremetz JF, Gaillard JL, et al. (2014) Mycobacterium abscessus cording prevents phagocytosis and promotes abscess formation. Proc Natl Acad Sci U S A 111: E943-952.

1.2.3 Résultats complémentaires

Dans cette partie, je vais présenter les résultats complémentaires qui n'ont pas été inclus lors de la soumission de l'article 2 mais dont certains ont été ajoutés dans la version révisée et publiée de cet article. Ces résultats ont pour but de décrypter les mécanismes impliqués dans les phénotypes observés avec le mutant mgtC, de préciser la régulation de MgtC et d'analyser le rôle de MgtC dans la phagocytose.

1.2.3.1 Etude de la résistance au stress oxydatif

Le stress oxydatif est un mécanisme important de défense de l'hôte contre les bactéries. Une augmentation de la sensibilité du mutant mgtC au stress oxydatif aurait pu expliquer pourquoi le mutant mgtC est plus sensible à l'effet bactéricide des macrophages.

Des tests de sensibilité au stress oxydatif ont été réalisés in vitro, par ajout d' H_2O_2 dans les milieux de culture aux concentrations de 5 et 10 mM. Le pourcentage de survie a été calculé après 20, 30, 40 min ou 1h d'incubation. Les résultats n'ont pas permis de mettre en évidence une sensibilité du mutant mgtC différente de celle de la souche sauvage.

1.2.3.1 Régulation de MgtC

Un autre mécanisme important de défense de l'hôte contre les bactéries est l'acidification du phagosome. Nous n'avons pas mis en évidence de différence entre les souches dans la sensibilité au stress acide (G. Accard et A. Blanc-Potard). Mais nous avons étudié l'effet du pH acide sur la régulation de MgtC couplé à l'étude de la régulation par le magnésium. Dans l'article 2, une RT-PCR montre que l'expression de l'homologue MgtC PA4635 est induite par une faible concentration en Mg²⁺ contrairement à l'homologue PA2558 (figure S4).

Pour aller plus loin dans la compréhension de la régulation de MgtC par le magnésium et par le pH acide, des expériences de qRT-PCR ont été faites sur différents niveaux.

La régulation a été étudiée in vitro en comparant l'expression de mgtC à partir de cultures en milieu à pH neutre (pH7) et en milieu à pH acide (pH 5,7), en condition de carence en Mg²⁺ ou avec une concentration normale de Mg²⁺.

Dans l'article, l'utilisation d'un inhibiteur de l'ATPase vacuolaire (Bafilomycine A1) suggère que l'acidification phagosomale pourrait contribuer à l'expression de mgtC. Pour tester cette hypothèse nous avons aussi évalué l'expression de mgtC lors d'une infection de macrophage en comparant cette expression en présence et en absence de l'inhibiteur. Les résultats des qRT-PCR sont représentés dans la figure 40.

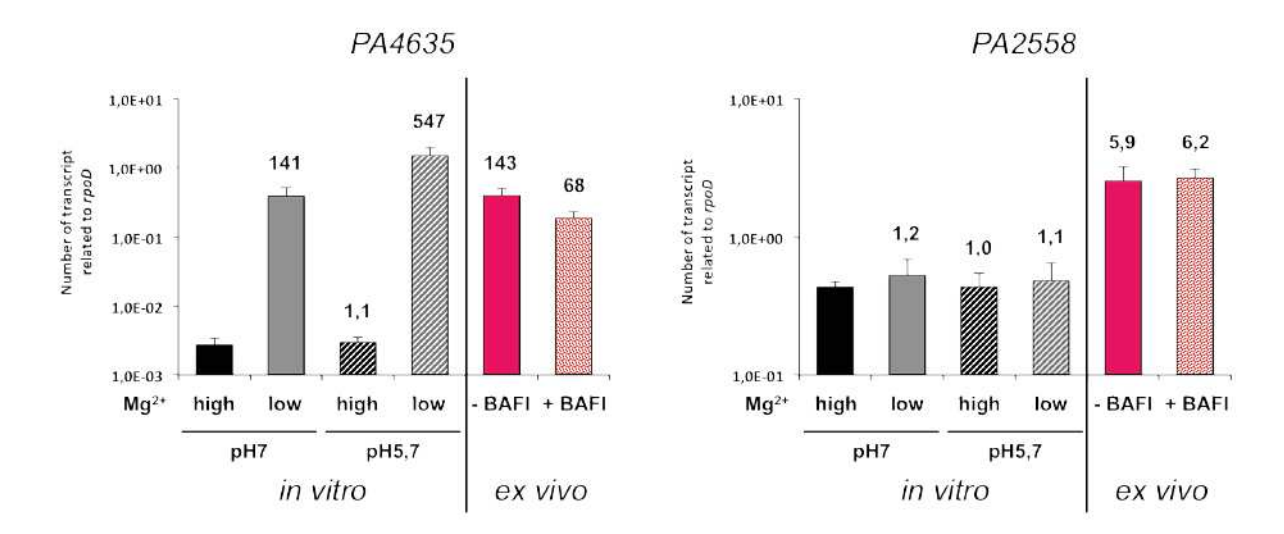


Figure 40 – Expression des gènes *mgtC* de *P. aeruginosa* dans différentes conditions. Les nombres audessus des histogrammes indiquent le facteur d'induction par rapport à l'expression de *mgtC* dans les conditions high Mg²⁺ et pH7. Le gène *rpoD* est utilisé comme contrôle interne. Les expériences *ex vivo* ont été réalisées dans des macrophages J774.

In vitro, on remarque tout d'abord que l'expression de l'homologue PA4635 est fortement induite (141 fois) par une carence en Mg²⁺. Cette induction est majorée en pH acide (547 fois). L'effet du pH acide n'est cependant pas visible en condition high Mg²⁺ (1,1 fois). En revanche, pour PA2558, on observe que son expression n'est ni régulé par le Mg²⁺, ni par le pH avec des taux d'induction autour de 1.

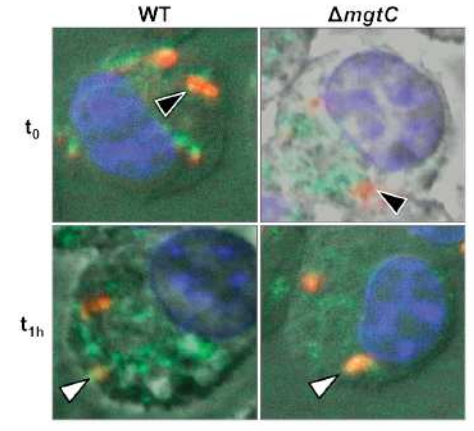
Ex vivo, l'expression intracellulaire de PA4635 est fortement induite (143 fois) par rapport à celle de PA2558 (5,9 fois). Pour PA4635, l'induction est similaire à celle observée in vitro en condition de carence en Mg²⁺. Enfin, alors que l'expression intracellulaire de PA4635 est diminuée de moitié en présence d'inhibiteur de la V-ATPase, l'expression de PA2558 est identique en présence ou en absence de cet inhibiteur. Ces expériences doivent être répétées pour déterminer si l'effet observé est significatif mais les résultats obtenus sont en faveur de l'hypothèse proposée dans l'article 2 et la forte induction de PA4635 dans le macrophage est en accord avec le rôle intracellulaire proposé pour ce gène.

1.2.3.2 Visualisation de l'infection dans le macrophage

Une analyse microscopique préliminaire a également été réalisée après infection de macrophages J774 dans les conditions décrites dans l'article. Les souches bactériennes utilisées expriment le marqueur fluorescent mCherry. Après infection, les cellules sont fixées au PAF aux temps 0, 1h et 2h. Les noyaux des cellules sont marqués au DAPI (bleu) et un marquage LAMP2 est également utilisé pour visualiser les lysosomes (vert). Le marquage LAMP2 est réalisé après perméabilisation des cellules à l'aide d'un anticorps spécifique (procuré par M. Vidal et A. Bonhoure). Les résultats obtenus montrent des bactéries internalisées dont certaines colocalisent avec LAMP2. Au temps 0, on observe peu de colocalisation bactérie/lysosome. Aux temps 1h et 2h, on observe une dégradation des

bactéries associée avec une colocalisation avec les lysosomes. Une quantification serait nécessaire pour établir s'il y a une différence entre la souche sauvage et le mutant mgtC car les images fournies lors de cette analyse préliminaire n'ont pas permis de voir une différence évidente (figure 41).

Figure 41 – Visualisation de l'infection de macrophages J774 par la souche sauvage et le mutant *mgtC* de *Pseudomonas aeruginosa*. Les bactéries apparaissent en rouge, le noyau des cellules en bleu et les lysosomes en vert. Les triangles noirs indiquent des bactéries internalisées au temps 0 (t₀). Les triangles blancs pointent des bactéries en cours de dégradation et qui colocalisent avec les lysosomes au temps 1h (t_{1h}).



1.2.3.3 Etude de la phagocytose

L'effet de MgtC sur la phagocytose n'avait pas été abordé jusqu'à mon étude chez M. marinum. J'ai donc évalué cet effet chez P. aeruginosa dans le cadre de l'étude avec MgtR. Les infections ont été réalisées dans les mêmes conditions que celles décrites dans l'article. Le pourcentage de phagocytose est déterminé après l'incubation initiale à laquelle s'ajoute une incubation en présence de gentamycine pour éliminer les bactéries extracellulaires. On calcule ensuite le pourcentage de phagocytose en faisant le rapport entre le nombre de CFU après phagocytose et l'inoculum. Cette analyse a été réalisées avec la souche sauvage exprimant ou non MgtR et le mutant mgtC exprimant ou non MgtR.

Les résultats indiquent que le mutant mgtC a une phagocytose significativement augmentée par rapport à la souche sauvage. La souche sauvage exprimant MgtR présente le même phénotype que le mutant mgtC ce qui renforce l'hypothèse d'un effet anti-virulence de MgtR sur MgtC de P. aeruginosa. De plus, l'effet de MgtR n'apparaît dans un contexte mutant mgtC (figure 42).

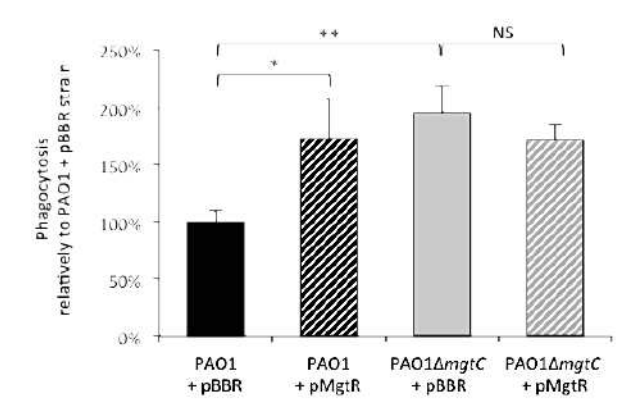


Figure 42 – Effets du mutant mgtC et de l'expression de MgtR sur la phagocytose lors d'une infection de macrophage. * p < 0.05; ** p < 0.01; NS: Non Significatif.

2 Les peptides régulateurs de la virulence

2.1 Potentialités anti-virulence du peptide MgtR chez les mycobactéries

2.1.1 Résumé de l'article 3

L'interférence avec la virulence bactérienne est une stratégie puissante qui pourrait engendrer une moindre pression de sélection pour le développement de résistances bactériennes que les stratégies antimicrobiennes traditionnelles.

Le facteur de virulence MgtC a été proposé comme une cible attractive pour les stratégies anti-virulence parce qu'il est présent chez plusieurs pathogènes bactériens intracellulaires majeurs, notamment Salmonella enterica et *Mycobacterium tuberculosis*. De plus, un peptide naturel antagoniste, MgtR, qui interagit avec MgtC et module sa stabilité, a été identifié chez *Salmonella*, ce qui fournit une base pour cibler MgtC chez d'autres pathogènes.

Nous avons montré que le peptide MgtR de Salmonella pouvait interagir avec la protéine MgtC de M. tuberculosis (MgtC Tb), in vivo, dans un système de double hybride bactérien. La mutagénèse de motifs supposés intervenir dans les interactions hélice/hélice suggère que les interactions moléculaires entre MgtR et MgtC Tb différent de celles proposées pour MgtC de Salmonella.

L'expression hétérologue de MgtR de Salmonella chez M. bovis BCG entraine une augmentation de la phagocytose et une diminution de la survie intramacrophagique. Or ces deux phénotypes ont été décrits lors de l'inactivation du gène mgtC chez les mycobactéries. Chez M. bovis BCG, aucune modulation du niveau d'expression de MgtC n'a été détectée en présence de MgtR mais nous avons mis en évidence que du peptide MgtR synthétique pouvait réduire la dimérisation de MgtC Tb.

L'ensemble des résultats indique donc que l'expression de MgtR chez M. bovis BCG réduisait la virulence et nous proposons que MgtR pourrait agir à travers son interaction avec la protéine MgtC mycobactérienne en empêchant sa dimérisation et/ou son interaction avec d'autres partenaires.

2.1.2 Article 3 - Anti-virulence properties of the Salmonella MgtR peptide expressed in mycobacteria

1

Anti-virulence properties of the Salmonella MgtR peptide expressed in

2	mycobacteria
3	
4	Running title: MgtR as anti-virulence peptide in mycobacteria
5	
6	
7	Claudine Belon ^{1,2} , Laurent Kremer ^{1,2,3,\$} and Anne Blanc-Potard ^{1,2,#}
8	
9	
10	¹ Laboratoire de Dynamique des Interactions Membranaires Normales et Pathologiques,
11	Université de Montpellier, Place Eugène Bataillon, 34095 Montpellier Cedex 05, France.
12	² CNRS, UMR5235, 34095 Montpellier Cedex 05, France.
13	³ INSERM, DIMNP, CNRS-UMR5235, Montpellier, France.
14	^{\$} Present address : Centre d'étude des Pathogènes pour la Biotechnologie et la Santé (CPBS),
15	1919 route de Mende, 34293 Montpellier, France
16	
17	
18	#Corresponding author:
19	Laboratoire de Dynamique des Interactions Membranaires Normales et Pathologiques,
20	Universités de Montpellier 2 et 1, CNRS UMR 5235, case 107, Place Eugène Bataillon,
21	34095 Montpellier Cedex 05, France.
22	ABBP: Tel:(+33) 4 67 14 47 26, Fax: (+33) 4 67 14 42 86, E-mail: <u>anne.blanc-potard@univ-</u>
23	montp1.fr
24	

Abstract

26

27

28

29

30

31

32

33

34

35

36

37

38

39

40

41

42

43

44

45

46

25

Interference with bacterial virulence is a compelling strategy, that may apply less selective pressure for the development of bacterial resistance than traditional antimicrobial strategies. The MgtC virulence factor has been proposed as an attractive target for anti-virulence strategies because it is shared by several important intracellular bacterial pathogens, including Salmonella enterica and Mycobacterium tuberculosis (Mtb). Moreover, a natural antagonistic peptide, MgtR, that interacts with MgtC and modulates its stability, has been identified in Salmonella, thus providing a basis to target MgtC in other pathogens. In this study, we show that the Salmonella MgtR peptide can interact with the Mtb MgtC protein in an in vivo bacterial two-hybrid system. Site-directed mutagenesis of putative helix-helix interacting motifs suggests that the molecular interaction between MgtR and Mtb MgtC differs from the one proposed for Salmonella MgtC. Heterologous expression of Salmonella MgtR in Mycobacterium bovis BCG resulted in increased phagocytosis and reduced intramacrophage survival, both phenotypes being reminiscent to those previously described upon inactivation of mgtC gene in mycobacteria. In M. bovis BCG, we failed to detect a modulation in the expression level of MgtC in the presence of MgtR, but we provide evidence that synthetic MgtR peptide can reduce the dimerization of Mtb MgtC. Cumulatively, our present results indicate that MgtR expression in M. bovis BCG reduces virulence and we propose that MgtR acts through its interaction with mycobacterial MgtC by preventing dimerization and/or interaction with partners. This work provides a promising new scaffold for the development of anti-virulence compounds.

47

Introduction

51	Recent efforts in genomics and natural product discovery have led to a tremendous
52	increase in the number and diversity of small proteins (size below 50 amino-acids, called
53	hereafter peptides) produced by bacteria (1). A few studies have highlighted the regulatory
54	role of bacterial membrane peptides (2, 3). These peptides may act by interacting with protein
55	partners at the membrane, thereby modulating protein partner's activity and/or stability. Some
56	peptides, such as MgrB and SafA, have been shown to interact with the PhoQ sensor kinase
57	(4-6), thus being able to modulate the expression of genes under the control of the
58	corresponding two-component system. Other peptides, as KdpF or AcrZ, are supposed to
59	interact with transporter or efflux pump, respectively (7, 8). We have recently shown that
60	overexpression of the 30 amino-acid-long KdpF membrane peptide in Mycobacterium bovis
61	BCG resulted in altered cording morphology and reduced intramacrophage growth (7).
62	MgtR is a membrane peptide identified in Salmonella enterica serovar Typhimurium
63	(S. Typhimurium), encoded by the mgtCBR operon, that regulates the MgtC virulence factor
64	(9). MgtR has been shown to directly interact with MgtC and promotes its degradation (9).
65	Salmonella MgtC is a membrane protein that harbors five transmembrane (TM) domains.
66	Based on site-directed mutagenesis, the fourth TM domain as well as the loop between TM3
67	and TM4 have been implicated in the interaction between MgtR and Salmonella MgtC (9).
68	An Ala-coil motif (characterized by three small residues in heptad repeat), known to promote
69	interaction between helices, present in both MgtR and TM4 MgtC has been proposed to play a
70	role in the interaction. MgtC is required for Salmonella intramacrophage multiplication and
71	systemic infection in mice (10-12) and promotes pathogenicity by inhibiting the Salmonella's
72	own F_1F_0 ATP synthase (13). Deletion of the $mgtR$ gene did not have a significant impact on
73	the ability of Salmonella to replicate in macrophages or to kill mice (9, 14). However,

overexpression of MgtR reduces intramacrophage survival of a wild-type *Salmonella* strain, thus indicating that MgtR can lower *Salmonella* virulence (9). Besides its effect on MgtC stability, MgtR has also been reported to negatively control expression of the MgtA Mg²⁺ transporter (15). On the other hand, MgtR does not modulate expression of the related MgtB protein (9, 14).

The increasing understanding of bacterial pathogenesis has revealed potential strategies to develop novel drugs against infectious bacteria (16, 17). Interference with bacterial virulence is a promising approach alternative or complementary to traditional antibiotherapy. Because this approach does not directly kill the bacteria, at least *in vitro*, it is thought to apply less selective pressure for resistance and to preserve gut microbiota. MgtC is a singular virulence factor that has been proposed as a suitable target for anti-virulence strategies because it is conserved in several intracellular pathogens (18). It has been described as a critical factor for the intramacrophage growth of *Mycobacterium tuberculosis*, *Brucella suis*, *Yersinia pestis*, *Burkholderia cenocepacia* and *Salmonella enterica* serovar Typhi (19–23). Recently, a contribution for MgtC in phagocytosis has been uncovered in *Mycobacterium marinum* (24). In addition, MgtC has been involved in adaptation to low Mg²⁺ environments in these pathogens (18).

The aim of the present study is to address whether the *Salmonella* MgtR peptide modulates the virulence of mycobacterial strains. MgtR is not found in other species that encode MgtC homologues. A recent structural study has shown that a purified MgtR peptide can bind the isolated TM4 fragment of *M. tuberculosis* MgtC protein and a model for interaction has been proposed (25). In the present study, we investigated the *in vivo* interaction between MgtR peptide and the entire *M. tuberculosis* MgtC protein and we analyzed the effect of MgtR overexpression on the behaviour of *Mycobacterium bovis* BCG

in macrophages. Our results indicate a strong interaction between *Mtb* MgtC and MgtR and, importantly, we provide evidence that heterologous expression of MgtR can mimic phenotypes reported for mycobacterial *mgtC* deletion mutants. Moreover, we provide clues to understand MgtR action inmycobacteria.

Material and methods

Bacterial strains and growth conditions

Mycobacterium bovis BCG Pasteur 1173P2 strain was grown on Middlebrook 7H10 agar (Difco) plates supplemented with Oleic Acid-Dextrose-Catalase (OADC) enrichment or in Sauton's medium containing 0.025% tyloxapol (Sigma), in the presence of kanamycin (25 μg/ml) when required. Plates were incubated at 37°C for 2-3 weeks prior to visual counting of the colony forming units (CFU). Low magnesium medium was obtained by replacing the magnesium sulfate in the Sauton's medium by a similar concentration of potassium sulfate. Escherichia coli (DH5α) was used for cloning and was grown in LB medium with kanamycin (25 \propto g/ml) at 37°C. E. coli BTH101 (26) was used for BACTH experiments (see below).

Bacterial two-hybrid analysis

The Bacterial Adenylate Cyclase Two-Hybrid (BACTH) system (26) was used to evaluate the interaction between MgtC and MgtR and the effect of purified MgtR peptide on MgtC dimerization. The fusion protein T25-MgtR is produced by the pKT25-MgtR plasmid (9), whereas *Mtb* MgtC-T18 is produced by pUT18-*Mtb*MgtC (27). To evaluate *Mtb* MgtC dimerization, we have used the pKNT25-*Mtb* MgtC plasmid (27). To investigate the role of specific *Mtb* MgtC residues in the interaction, site-directed mutagenesis was performed on pKNT25-*Mtb* MgtC plasmid using the Quickchange® II kit (Stratagene), according to

manufacturer's instructions. Recombinant plasmids carrying both T18 and T25 derivatives were co-transformed into BTH101 bacteria. Transformants were plated on LB broth with ampicillin and kanamycin (100 μg/ml, 25 μg/ml respectively) containing 50 μg/ml 5-bromo-4-chloro-3-indolyl-®-D-galactopyranoside (X-gal) at 30°C for 30 hrs. To quantify the interaction between hybrid proteins, bacteria were grown overnight at 30°C in LB broth containing 100 μg/ml ampicillin and 25 μg/ml kanamycin supplemented with 0.5 mM IPTG. To evaluate the effect of MgtR on *Mtb* MgtC dimerization, purified peptide (PolyPeptide, Strasbourg, 5 mM in 50 % isopropanol) was added to the O/N culture at a final concentration of 100 μM (equivalent volume of 50 % isopropanol was added to non treated cultures). Plasmids pT18-zip and pT25-zip encoding leucine zipper fused to T18 and T25 were used as control for the effect of MgtR on interaction between cytoplasmic proteins. The assays were carried out as described previously (28) with activities expressed in arbitrary Miller units. Values are average from at least four independent cultures. A level of ®-galactosidase activity at least five-fold higher than the one of the control vectors indicates an interaction between the protein partners (29).

Construction of a M. bovis BCG strain expressing MgtR

The *mgtR* gene was PCR-amplified from *S*. Typhimurium chromosomal DNA using the primers MgtR-blunt-F and MgtR-Hind-R (Table 1) and cloned into the pMV261 (30) at the *MscI* and *HindIII* sites. The resulting recombinant plasmid, pMV-*mgtR*, was checked by sequencing and introduced, along with the empty pMV261 vector, by electroporation into wild-type *M. bovis* BCG. Recombinant strains were selected on Middlebrook 7H10 containing 25 µg/ml kanamycin after 3 weeks of incubation at 37°C and subsequently grown in liquid medium. Wild-type *M. bovis* BCG expressing *kdpF* gene was constructed earlier (7) and is included in the study.

RNA extraction and RT-PCR

149 RNA and cDNA were prepared as described previously (7). Controls without reverse
150 transcriptase were done to rule out possible DNA contamination. Reverse transcription-PCR
151 (RT-PCR) was carried out with the GoldStar Master mix (EurogentecTM), and denaturation
152 was followed by 25 cycles of 95°C for 30 sec, 46°C for 20 sec and 72°C for 30 sec. The *sigA*153 gene (*rv2703*) was used as internal control. The sequences of primers used for RT-PCR are
154 listed in Table 1.

Macrophage infection assays

J774 cells were maintained at 37°C in 5% CO₂ in Dulbecco's modified Eagle medium (DMEM) (Gibco) supplemented with 10% fetal bovine serum (FBS) (Gibco). J774 cells were allowed to adhere in a 24-well plate at a density of 5.10⁴ cells/ well for 24 h at 37°C in 5% CO₂. For infection, *M. bovis* BCG cultures grown exponentially in Sauton's medium (OD₆₀₀ around 0.8 to 1) were centrifuged, washed in phosphate buffer saline (PBS) and bacterial clumps were disrupted by 8 successive passages through a 26G needle. The remaining aggregates were then eliminated with a short spin (1 min at 1,100 rpm). Macrophages were infected at a multiplicity of infection (MOI) of approximately 2. The infection was allowed to proceed for 3 hrs at 37°C in 5% CO₂. Infected cells were then washed three times with PBS to eliminate the remaining extracellular bacteria. Cells were then lysed with 0.1 ml of 1% Triton X-100 in PBS and the number of intracellular mycobacteria counted by plating appropriate dilutions onto Middlebrook 7H10 agar plates. To evaluate the numbers of phagocytosed bacteria, the ratio between the count of internalized bacteria and the count of bacteria in the inoculum was determined. To evaluate the multiplication rate, infected cells were incubated for 5 days in DMEM medium at 37°C in 5% CO₂ prior to cell lysis and bacterial enumeration.

172	The ratio between the number of internalized bacteria at day 5 and the number of internalized
173	bacteria after 3 h infection was calculated. All results are derived from a least three
174	independent experiments where strains are tested in triplicate.
175	
176	Preparation of bacterial lysates and Western blot analysis
177	Five ml of bacterial culture grown in Sauton's medium were harvested, resuspended in 500 μl
178	of phosphate-buffered saline (PBS), and disrupted using a bead beater (Retsch). The protein
179	concentration was determined on total lysates using the bicinchoninic acid (BCA) protein
180	assay reagent kit (Pierce). Expression of MgtC was investigated by Western blotting
181	following migration of the crude extracts. Bacterial lysates equivalent to 40 μg of total
182	proteins were separated by electrophoresis on a 15% SDS-PAGE gel, transferred to a
183	membrane, probed with rabbit anti-MgtC antibodies (1:1,000 dilution) (27), and subsequently
184	incubated with anti-rabbit antibodies conjugated to alkaline phosphatase (1:7,500 dilution;
185	Promega). An unrelated membrane protein, OmpATb, was used as a control and probed with
186	rabbit anti-OmpATb _{73_326} antibodies (1:6,000 dilution)(31).
187	
188	Statistical analysis
189	For macrophage infection assays, averages were compared by using an unpaired Student t-
190	test. Only <i>P</i> -values < 0.05 were considered as statistically significant.
191	
192	Results and discussion
193	Interaction of Salmonella MgtR peptide with the entire Mtb MgtC protein in an in vivo
194	two-hybrid system
195	For Salmonella MgtC protein, residues in the loop between TM3 and TM4 (especially residue
196	G85) and in the TM4 domain have been involved in the interaction with MgtR (9). As shown
	8

in the alignment in Fig. 1A, this part of the protein is well conserved in Mtb MgtC. The TM4 domain St MgtC harbors an Ala-coil motif and mutation of the third position (G108) was the only one that significantly decreased interaction with MgtR upon mutagenesis (9). An Alacoil motif, which harbors a A (A107) instead of G at the third position, is also present in Mtb MgtC TM4. In addition, a second consecutive Ala-coil motif is present in Mtb MgtC TM4. This has led to two structural interacting models for the interaction between MgtR and the isolated TM4 domain of Mtb MgtC (Fig.1B) (25). The previous analysis of Mtb MgtC / MgtR interaction has been done with synthetic peptides fragments that includes only the isolated Mtb MgtC TM4 domain (25). To evaluate the interaction of MgtR with the entire Mtb MgtC protein, we have used the bacterial two-hybrid (BACTH) system that has been previously validated for detecting interactions between innermembrane proteins in living bacteria (29). Plasmids encoding the T18 or T25 fragment of adenylate cyclase fused to Mtb MgtC and MgtR, respectively, were introduced in an E. coli cya mutant (BTH101) and functional complementation was determined by measuring βgalactosidase activity (Fig. 2A). A basal level of β-galactosidase activity was measured with the negative control (T18 / MgtR-T25). A high level of β-galactosidase activity (47-fold the value of negative control) was observed when BTH101 was co-transformed with Mtb MgtC-T18 and MgtR-T25 plasmids, indicative of a robust interaction between the two proteins. The interaction appears of similar magnitude as the one observed with Salmonella MgtC, which is sligthly stronger (64-fold the value of negative control).

217

218

219

220

221

197

198

199

200

201

202

203

204

205

206

207

208

209

210

211

212

213

214

215

216

To test the contribution of Ala-coil motifs in MgtC-MgtR interaction, we have substituted small residues of the motif by large hydrophobic residues. Individual replacements of the three residues in the MgtR Ala-Coil motif (A10L, S17I, A24L) resulted in slight decreases in the interaction with *Mtb* MgtC as compared to wild-type MgtR (Fig. 2B). This contrasts with

222 St MgtC for which the interaction with MgtR S17I was abrogated (Fig. 2B). To test the 223 contribution of the two consecutive Ala-coil motifs of TM4 MgtC, we mutagenised the third 224 residue of the motif, which has be shown to contribute to the interaction with St MgtC. 225 However, none of these mutations lowered the interaction level (Fig. 2C). In addition, 226 mutation of the G84 residue in the loop does not modulate the interaction with MgtR (Fig. 227 2C). 228 229 Cumulatively, these results indicate a strong interaction between MgtR and Mtb MgtC protein 230 in the bacterial two-hybrid system, albeit to a lesser extent than the one reported with St MgtC 231 protein. Because each three mutations in the Ala-coil motif of MgtR displayed a similar 232 effect, this supports the implication of this Ala-coil motif in the interaction. However, the 233 minor effect of these mutations on the interaction comparatively to what has been reported 234 with St MgtC suggests that the molecular interactions differ between MgtR and Mtb MgtC or 235 St MgtC. Alternatively, the lower strength of the interaction with Mtb MgtC could explain the 236 mild effect of mutations in MgtR Ala-coil. Two models have been proposed for the

241

242

243

244

245

237

238

239

240

Heterologous expression of MgtR in M. bovis BCG increases phagocytosis and reduces

interaction between MgtR and the TM4 domain of Mtb MgtC based on interaction with

isolated domains (25). Our mutagenesis analysis did not allow to further validate any of the

two structural models and raises the hypothesis that residues additional to TM4 are likely to

intramacrophage survival

participate in the interaction.

The Salmonella mgtR gene has been ectopically expressed in M. bovis BCG. The mgtR gene was first cloned in the pMV261 multicopy plasmid under the control of the hsp60 promoter

and the resulting plasmid, pMV-mgtR, was introducted into M. bovis BCG Pasteur.

Heterologous expression of *mgtR* gene has been verified by RT-PCR (Fig. 3A).

We investigated the behaviour of *M. bovis* BCG expressing or not *mgtR* in J774 macrophages over a 5-day period. As a control, we have used a strain overexpressing the *kdpF* gene, a peptide that has been shown previously to reduce *M. bovis* BCG intramacrophage replication (7). Results shown in Fig. 3B indicate that the bacterial multiplication is significantly lowerin a strain overexpressing *mgtR*, to a similar extend as the one observed for *kdpF*. In addition, overexpression of *mgtR* but not of *kdpF*, increases the phagocytic rate (Fig. 3C). The growth defect of *mgtR*-overexpressing strain within macrophages is not due to an inherent growth defect of the strain because this strain grows similarly to the control strain carrying the pMV261 in Sauton's medium (Fig. 4A). Because MgtC has been involved for optimal growth in media with limiting magnesium in mycobacteria (19, 24), we have tested the growth of the two strains in Sauton's medium depleted from magnesium. Both strains exhibited similar growth in such medium (Fig. 4B).

In mycobacteria, MgtC has been involved in phagocytosis and intramacrophage replication (19, 24). Hence, the phenotypes observed in a *M. bovis* BCG strain upon expression of MgtR are consistent with phenotypes observed in *mgtC* mutants from mycobacteria. On the other hand, MgtR expression has no major effect on the growth in liquid medium with limiting magnesium, which is consistent with results obtained upon overexpression of MgtR in *S.* Typhimurium (9). This finding emphasizes the idea that the role of MgtC differs in low magnesium environment and towards macrophages (32) and further suggests that MgtR may interfere only with the function of MgtC towardsmacrophages.

Heterologous expression of MgtR in M. bovis BCG does not modulate the level of MgtC

272 protein

In Salmonella, expression of MgtC is tightly regulated. The transcription level of mgtC gene and amount of MgtC protein are increased in inducing conditions (as magnesium deprivation) and MgtR has been proposed as a negative regulator to prevent excess of MgtC protein (9, 14). The mechanism that drives St MgtC degradation remains unknown but a modification of St MgtC conformation upon interaction with MgtR may facilitate accessibility for the FtsH protease (9). On the other hand, the level of Mtb MgtC expression is rather low (27). To investigate the effect of MgtR expression on Mtb MgtC protein level, bacterial lysates were assayed to monitor MgtC protein expression. We failed to detect any difference in the amount of Mtb MgtC protein from strains expressing or not MgtR as shown by Western blot analysis on crude bacterial extract using specific anti-MgtC antibodies (Fig. 5A). This could be related to differential molecular interactions between MgtR and Mtb MgtC or St MgtC that may induce diverse conformational changes.

Purified MgtR peptide can interfere with Mtb MgtC dimerization

Because we failed to detect changes in the MgtC protein level upon MgtR heterologous expression in *M. bovis* BCG, we hypothetized that MgtR may have other effect on *Mtb* MgtC. One hypothesis, which derives from the known role of other membrane peptides, may be related to the interference of MgtR with protein-protein interaction. We have previously shown using the BACTH system that *Mtb* MgtC dimerizes (27). To test whether MgtR may alter *Mtb* MgtC dimerization, we have added synthetic MgtR peptide in the culture medium (Fig. 5B). A significant decrease (40 % reduction) of beta-galactosidase activity was

measured, indicative of a decreased interaction. On the other hand, no effect is seen with control proteins (Zip) that also strongly interact together but are located in the cytoplasm. The addition of synthetic peptide suggests that MgtR can interfere with Mtb MgtC dimerization. As a consequence, one can imagine that MgtR has also the ability to interfere with other MgtC partner(s). One suitable candidate is the AtpB submit which has been shown to interact with the St MgtC protein (13). Alternatively, differences may exist in the MgtC interacting partner(s) in the different species and additional work is required to address this point.

Conclusion

We propose that the MgtR membrane peptide has an anti-virulence effect in mycobacteria through a direct binding with *Mtb* MgtC. This interaction may prevent interaction of *Mtb* MgtC with itself or with other protein(s) that are essential for MgtC to be functional in macrophages. This work provides a promising new scaffold for the development of anti-virulence strategies. Because hydrophobic peptides are difficult to handle, we consider our results as a proof of concept for the pertinence of targeting MgtC. Screening for other molecules may provide more potentinhibitors.

Aknowledgments

We thank Daniel Ladant (Pasteur Institute, Paris) for BACTH vectors and Zip plasmids. This work is supported by Vaincre La Mucoviscidose (IC0902). CB is supported by a MRT fellowship from the French Ministry of Research and the Fondation for Medical Research (FRM FDT20140930905).

- 319 References
- 320 1. Flaherty RA, Freed SD, Lee SW. 2014. The wide world of ribosomally encoded
- 321 bacterial peptides. PLoS Pathog 10:e1004221.
- 322 2. Alix E, Blanc-Potard A-B. 2009. Hydrophobic peptides: novel regulators within
- 323 bacterial membrane, Mol. Microbiol. 72:5–11.
- 324 3. Hobbs EC, Fontaine F, Yin X, Storz G. 2011. An expanding universe of small
- 325 proteins. Curr. Opin. Microbiol. 14:167–173.
- 4. Lippa AM, Goulian M. 2009. Feedback inhibition in the PhoQ/PhoP signaling system
- by a membrane peptide. PLoS Genet. 5:e1000788.
- 328 5. Eguchi Y, Ishii E, Yamane M, Utsumi R. 2012. The connector SafA interacts with the
- 329 multi-sensing domain of PhoQ in Escherichia coli. Mol. Microbiol. 85:299–313.
- 330 6. Eguchi Y, Itou J, Yamane M, Demizu R, Yamato F, Okada A, Mori H, Kato A,
- 331 Utsumi R. 2007. B1500, a small membrane protein, connects the two-component
- 332 systems EvgS/EvgA and PhoQ/PhoP in Escherichia coli. Proc. Natl. Acad. Sci. U. S. A.
- **104**:18712–18717.
- 334 7. Gannoun-Zaki L, Alibaud L, Carrère-Kremer S, Kremer L, Blanc-Potard A-B.
- 335 2013. Overexpression of the KdpF membrane peptide in Mycobacterium bovis BCG
- 336 results in reduced intramacrophage growth and altered cording morphology. PLoS ONE
- 337 **8**:e60379.
- 338 8. Hobbs EC, Yin X, Paul BJ, Astarita JL, Storz G. 2012. Conserved small protein
- associates with the multidrug efflux pump AcrB and differentially affects antibiotic
- 340 resistance. Proc. Natl. Acad. Sci. U. S. A. 109:16696–16701.
- 9. Alix E, Blanc-Potard A-B. 2008. Peptide-assisted degradation of the Salmonella MgtC
- 342 virulence factor. EMBO J. **27**:546–557.

- 343 10. Blanc-Potard A-B. 1997. The Salmonella selC locus contains a pathogenicity island
- mediating intramacrophage survival. EMBO J. 16:5376–5385.
- 345 11. Lawley TD, Chan K, Thompson LJ, Kim CC, Govoni GR, Monack DM. 2006.
- 346 Genome-wide screen for Salmonella genes required for long-term systemic infection of
- the mouse. PLoS Pathog 2:e11.
- 348 12. Thompson JA, Liu M, Helaine S, Holden DW. 2011. Contribution of the PhoP/Q
- regulon to survival and replication of Salmonella enterica serovar Typhimurium in
- macrophages. Microbiology 157:2084–2093.
- 351 13. Lee E-J, Pontes MH, Groisman EA. 2013. A bacterial virulence protein promotes
- pathogenicity by inhibiting the bacterium's own F_1F_0 ATP synthase. Cell **154**:146–156.
- 353 14. Lee E-J, Groisman EA. 2010. An antisense RNA that governs the expression kinetics
- of a multifunctional virulence gene. Mol. Microbiol. **76**:1020–1033.
- 355 15. Choi E, Lee K-Y, Shin D. 2012. The MgtR regulatory peptide negatively controls
- 356 expression of the MgtA Mg²⁺ transporter in Salmonella enterica serovar Typhimurium.
- 357 Biochem. Biophys. Res. Commun. 417:318–323.
- 358 16. Rasko DA, Sperandio V. 2010. Anti-virulence strategies to combat bacteria-mediated
- disease. Nat. Rev. Drug Discov. 9:117–128.
- 360 17. Heras B, Scanlon MJ, Martin JL. 2015. Targeting virulence not viability in the search
- for future antibacterials. Br. J. Clin. Pharmacol. **79**:208–215.
- 362 18. Alix E, Blanc-Potard A-B. 2007. MgtC: a key player in intramacrophage survival.
- 363 Trends Microbiol. 15:252–256.
- 364 19. Buchmeier N, Blanc-Potard A, Ehrt S, Piddington D, Riley L, Groisman EA. 2000.
- 365 A parallel intraphagosomal survival strategy shared by Mycobacterium tuberculosis and
- 366 Salmonella enterica. Mol. Microbiol. 35:1375–1382.

- 367 20. Lavigne J-P, O'Callaghan D, Blanc-Potard A-B. 2005. Requirement of MgtC for
- 368 Brucella suis intramacrophage growth: a potential mechanism shared by Salmonella
- 369 enterica and Mycobacterium tuberculosis for adaptation to a low-Mg²⁺ environment.
- 370 Infect. Immun. 73:3160–3163.
- 371 21. Maloney KE, Valvano MA. 2006. The mgtC gene of Burkholderia cenocepacia is
- 372 required for growth under magnesium limitation conditions and intracellular survival in
- 373 macrophages. Infect. Immun. **74**:5477–5486.
- 22. Grabenstein JP, Fukuto HS, Palmer LE, Bliska JB. 2006. Characterization of
- 375 phagosome trafficking and identification of PhoP-regulated genes important for survival
- of Yersinia pestis in macrophages. Infect. Immun. 74:3727–3741.
- 377 23. Retamal P, Castillo-Ruiz M, Mora GC. 2009. Characterization of MgtC, a virulence
- factor of Salmonella enterica serovar Typhi. PLoS ONE 4:e5551.
- 379 24. Belon C, Gannoun-Zaki L, Lutfalla G, Kremer L, Blanc-Potard A-B. 2014.
- 380 Mycobacterium marinum MgtC plays a role in phagocytosis but is dispensable for
- intracellular multiplication. PLoS ONE 9:e116052.
- 382 25. Jean-Francois FL, Dai J, Yu L, Myrick A, Rubin E, Fajer PG, Song L, Zhou H-X,
- 383 Cross TA. 2014. Binding of MgtR, a Salmonella transmembrane regulatory peptide, to
- 384 MgtC, a Mycobacterium tuberculosis virulence factor: a structural study. J. Mol. Biol.
- **426**:436–446.
- 386 26. Karimova G, Pidoux J, Ullmann A, Ladant D. 1998. A bacterial two-hybrid system
- based on a reconstituted signal transduction pathway. Proc. Natl. Acad. Sci. U. S. A.
- 388 **95**:5752–5756.
- 389 27. Yang Y, Labesse G, Carrère-Kremer S, Esteves K, Kremer L, Cohen-Gonsaud M,
- 390 Blanc-Potard A-B. 2012. The C-terminal domain of the virulence factor MgtC is a
- 391 divergent ACT domain. J. Bacteriol. 194:6255–6263.

392	28. Miller J. 1972. Experiments in molecular genetics. Cold Spring Harbor Laboratory. Cold
393	Spring Harbor, NY.
394	29. Karimova G, Dautin N, Ladant D. 2005. Interaction network among Escherichia coli
395	membrane proteins involved in cell division as revealed by bacterial two-hybrid
396	analysis. J. Bacteriol. 187:2233-2243.
397	30. Stover CK, de la Cruz VF, Fuerst TR, Burlein JE, Benson LA, Bennett LT, Bansal
398	GP, Young JF, Lee MH, Hatfull GF, Snapper SB, Barletta RG, Jacobs WR, Bloom
399	BR. 1991. New use of BCG for recombinant vaccines. Nature 351:456–460.
400	31. Veyron-Churlet R, Brust B, Kremer L, Blanc-Potard A-B. 2011. Expression of
401	OmpATb is dependent on small membrane proteins in Mycobacterium bovis BCG.
402	Tuberculosis 91 :544–548.
403	32. Rang C, Alix E, Felix C, Heitz A, Tasse L, Blanc-Potard A-B. 2007. Dual role of the
404	MgtC virulence factor in host and non-host environments. Mol. Microbiol. 63:605-622.
405	

Figure	legen	ds

407

406

FIG 1 Alignment of MgtC proteins from S. Typhimurium and M. tuberculosis and 408 409 model of interaction between MgtR and the isolated M.tb MgtC TM4 domain. (A) 410 Alignment of S. Typhimurium MgtC (Accession Number AAL22622.1) and M. tuberculosis 411 MgtC (Accession Number NP_216327.1) was done using ClustalW. The upper lines indicate 412 the five transmembrane domains (TM1 to TM5). The Ala-coil motif in St MgtC TM4 and the 413 G85 residue in the loop that has been implicated in the interaction between MgtR and St 414 MgtC are indicated. (B) Structural models proposed for the MgtR (residues 7-26) and Mtb 415 MgtC TM4 (residues 92-112) heterodimer implying the two putative successive Ala-coils 416 (A93, A100, A107 and A94, A101, S108) present in Mtb MgtC TM4 (25). In the left model, 417 the Ala-coil correspond to the one present in St MgtC TM4 but the favorite structural model 418 based on the interface scores of scatter plots is the one shown in the right (25). The residues 419 mutagenized in the present study to adress the models are within circles. 420 421 FIG 2 Analysis of in vivo interaction between MgtC and MgtR using the BACHT system 422 and role of Ala-coil motifs in the interaction. The E. coli BTH101 strain was co-423 transformed with plasmids encoding MgtC-T18 and T25-MgtR fusions. The basal level of β-424 galactosidase activity measured with vector is approximately 50 Miller units. (A) Interaction 425 of Mtb MgtC/MgtR is compared with St MgtC/MgtR. (B) The role of MgtR Ala-coil is 426 adressed by introducing three mutations, A10L, S17I and A24L, in the T25-MgtR fusion. 427 Each mutated peptide was tested for interaction with Mtb MgtC. As a control, the mutated peptide S17I was used in interaction with St MgtC. (C) The role of the two consecutive Ala-428 429 coil motifs present in Mtb MgtC TM4 is adressed by introducing two mutations, A107I and

430	S108I in the Mtb MgtC-T18 fusion. In addition, the G84 residue of Mtb MgtC (corresponding
431	to G85 residue in St MgtC) has been mutated.
432	
433	FIG 3 Phagocytosis and replication in J774 macrophages of M. bovis BCG strain
434	expressing mgtR. (A) RT-PCR experiment with mgtR primers on RNA isolated from wild-
435	type M. bovis BCG expressing or not mgtR. The sigA gene is used as an internal control.
436	Reactions where the reverse transcriptase was omitted are indicated by RT (B) Replication
437	of the WT+mgtR and WT+kdpF strains by J774 macrophages normalized to 100 % for the
438	wild-type strain with pMV261. Results are expressed as means + SE from three independent
439	experiments (WT+mgtR and WT+kdpF) or four independent experiments (WT). Asterisks
440	indicate statistical significance (* $P < 0.05$). (C) Phagocytosis of the WT+ $mgtR$ and
441	WT+kdpF strains by J774 macrophages normalized to 100 % for the wild-type strain with
442	pMV261. Results are expressed as means + SE from three independent experiments.
443	
444	FIG 4 Growth of M. bovis BCG expressing mgtR in liquid medium. (A) Growth curves of
445	M. bovis BCG strains expressing or not mgtR grown in Sauton's medium (B) or Sauton's
446	medium without magnesium. OD_{600} is indicated over the growth period. Results are expressed
447	as means \pm SE from at least two independant experiments.
448	
449	FIG 5 Effect of MgtR on Mtb MgtC stability and dimerization. (A) Analysis of the
450	amount of Mtb MgtC protein by Western blotting in M. bovis BCG strains expressing or not
451	mgtR. Bacterial lysates equivalent to 40 μg of total proteins were separated by 15% SDS-
452	PAGE. Membrane was incubated with rabbit anti-Mtb MgtC antibodies and rabbit anti-
453	OmpATb antibodies, as control. (B) Effect of synthetic MgtR peptide on Mtb MgtC
454	dimerization using the BACHT system. The E. coli BTH101 strain was co-transformed with

plasmids encoding MgtC-T18 and T25-MgtC fusions. Controls included an experiment with pT25-zip and pT18-zip plasmids that encode cytoplasmic interacting proteins. The synthetic MgtR peptide (100 μ M) was added to the cultures when indicated (+). Asterisks indicate statistical significance (** P < 0.001).

TABLE 1. Plasmids and primers used in this st

9			
pUT18		(26)	
pUT18-StMgtC		(9)	
pUT18-MtbMgt0	3/	(27)	
pKNT25-MtbMg	tC	(27)	
pKT25-MgtR		(9)	
pKT25-MgtR A	10L	(9)	
pKT25-MgtR S	17I	(9)	
pKT25-MgtR A	24L	(9)	
pUT18-MtbMg	C G84A	This study	
pUT18-MtbMg	C A 107I	This study	
pUT18-MtbMg	C S108I	This study	
pT18-zip		(26)	
pT25-zip		(26)	
pMV261		(30)	
pMV-mgtR		This study	
MgtR-blunt-F	ATCGCTCACCCC	GATAAAATC	
MgtR-Hind-R	CCCAAGCTTTTA	CCCAAGCTTTTAGAAAACGATTTGCCAG	
MgtCTb-G84A-	F CATCCTGCGGG.	CATCCTGCGGGAGGCGTTCAACGTCCGCGG	
MgtCTb-G84A-	R CCGCGGACGTT	GAACGCCTCCCGCAGGATG	
MgtCTb-A107I-	FI GCGGTCGGAGT	GCTGGCCATCTCCGGGCATCTGGTGTT	
MgtCTb-A1071-	RI AACACCAGATG	CCCGGAGATGGCCAGCACTCCGACCGC	
MgtCTb-S108I-l	TCGGAGTGCTG	GCCGCCATCGGGCATCTGGTGTTCAC	
MgtCTb-S108I-I	R GTGAACACCAG	ATGCCCGATGGCGGCCAGCACTCCGA	

489	MgtR-RT-F	CGGAGGAATCACTTCGCAATG
490	MgtR-RT-R	GAAAACGATTTGCCAGAGGGC
491	SigA-L-new	CCTACGCTACGTGGTGGATTC
492	SigA-R-new	CTGGATTTCCAGCACCTTCTC
493	_	

Figure 1

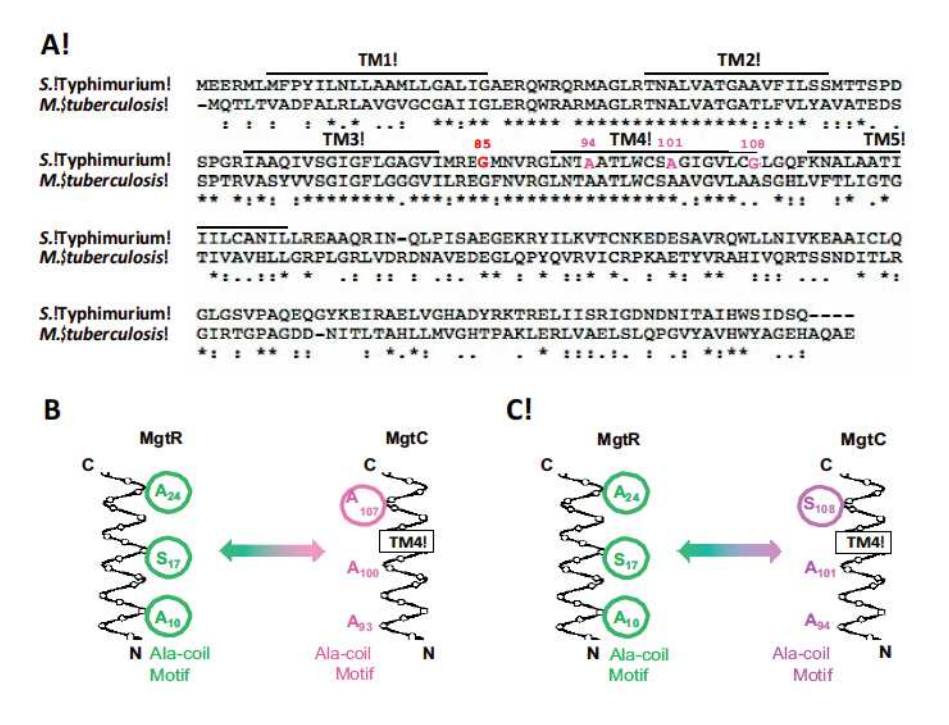


Figure 2

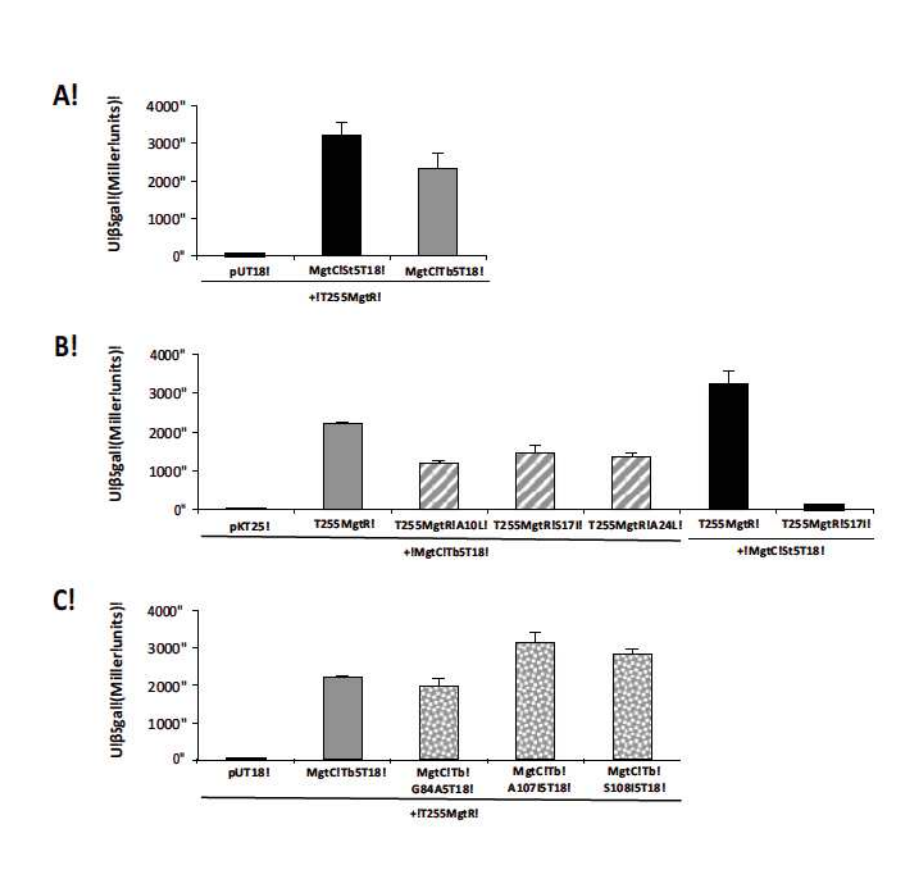


Figure 3

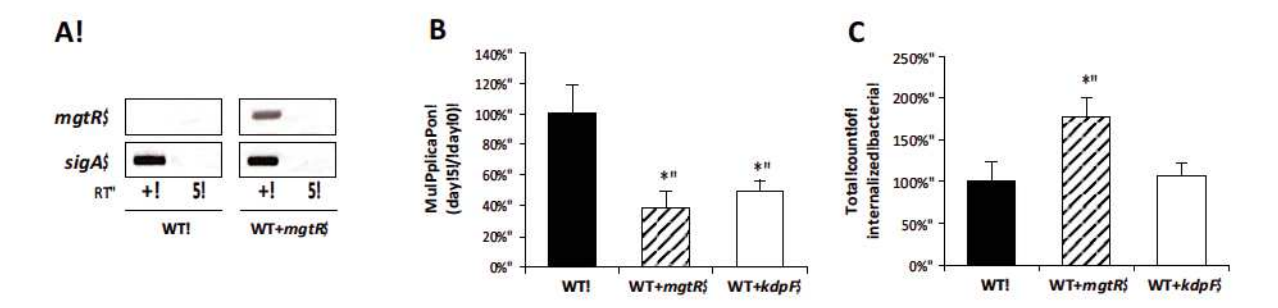


Figure 4

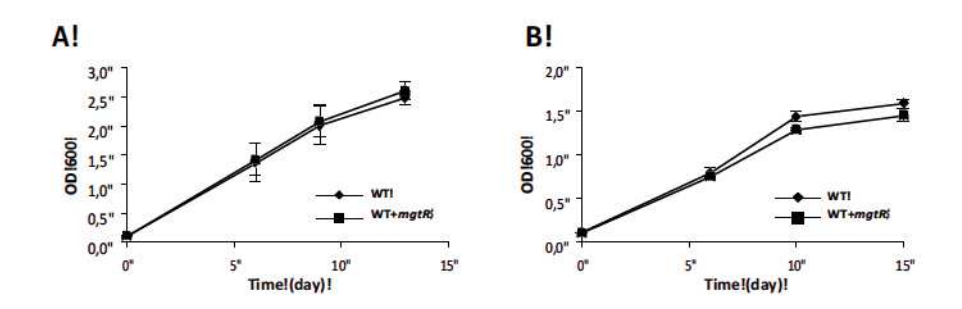
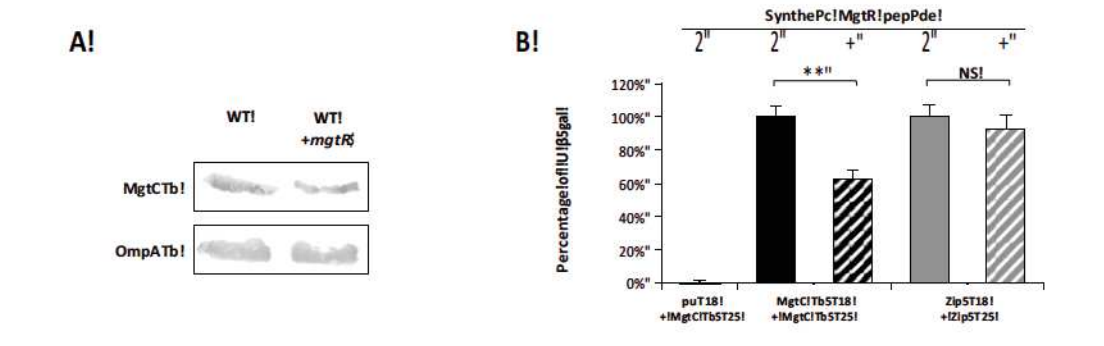


Figure 5



2.1.3 Résultats annexes

2.1.3.1 Interaction MgtC Mma / MgtR St

Un aspect principal de mon travail a été de tester les potentialités anti-virulence du peptide MgtR de S. Typhimurium sur des protéines MgtC hétérologues. Concernant les mycobactéries, cette étude a été faite avec la protéine MgtC de M. bovis BCG qui n'est pas le meilleur modèle pour étudier la virulence.

Nous avons donc cherché à savoir si la protéine MgtC de M. marinum (Mma) interagissait avec le peptide MgtR. Pour cela, des expériences in vivo de double hybride bactérien ont été réalisées et ont montré que MgtC Mma n'interagissait pas avec MgtR malgré la conservation du domaine d'interaction supposé. Suite à ce résultat, MgtR n'a pas été testé par expression hétérologue chez M. marinum d'autant qu'il s'est avéré que ce pathogène n'était pas non plus un bon modèle pour étudier la virulence de MgtC chez les mycobactéries.

2.2 Surexpression du peptide membranaire KdpF chez Salmonella: modulation de l'expression des gènes kdp et de la croissance intramacrophagique

Initialement, j'ai été mise à contribution dans le projet concernant KdpF pour évaluer les propriétés anti-virulence de ce peptide chez M. marinum dans le modèle d'infection d'embryons de danio. J'ai donc testé dans ce modèle d'infection la souche de M. marinum surexprimant le peptide KdpF. La souche testée n'a pas présenté de phénotype atténué concernant la virulence contrairement au phénotype observé avec M. bovis BCG dans un modèle d'infection cellulaire de macrophage. Cependant, j'ai poursuivi des recherches sur le peptide KdpF en étudiant la régulation des gènes kdpA et kdpD dans un contexte de surexpression de ce peptide membranaire chez Salmonella.

2.2.1 Résumé de l'article 4

Les peptides membranaires apparaissent comme une classe de émergente de molécules régulatrices des bactéries qui peuvent interagir avec des protéines membranaires tels que des transporteurs et des kinases senseurs. Le peptide KdpF, qui est co-transcrit avec les gènes kdpABC et régulé par le système à deux composants KdpDE, est supposé stabiliser le complexe transporteur de potassium KdpABC mais pourrait aussi avoir une fonction régulatrice innatendue. Le KdpF mycobactérien peut interagir avec l'histidine kinase KdpD et la surexpression de kdpF chez Mycobacterium bovis BCG a montré qu'elle réduisant la réplication intramacrophagique.

Nous avons donc voulu savoir si KdpF avait un comportement similaire chez un autre pathogène intracellulaire, Salmonella enterica serovar Typhimurium.

Dans un premier temps nous avons montré que KdpF de Salmonella pouvait interagir avec KdpD dans un système de double hybride bactérien. Une souche de Salmonella surexprimant kdpF a été construite pour étudier à la fois l'expression du régulon kdp et la survie intramacrophagique. Ainsi j'ai montré que la surexpression de kdpF réduisait l'expression des gènes kdpA et kdpD en condition de carence en potassium alors qu'un gène de contrôle non régulé par le potassium n'est pas affecté. De plus, nous avons montré que la surexpression de kdpF augmentait la multiplication intramacrophagique de S. Typhimurium.

Ces résultats indiquent que KdpF joue un rôle dans la régulation de S. Typhimurium en modulant l'expression de gènes kdp et la survie intramacrophagique mais d'une manière différente de celle décrite pour M. bovis BCG.

2.2.2 Article 4 – Overexpression of the Salmonella KdpF membrane peptide modulates expression of kdp genes and intramacrophage growth



RESEARCHLETTER

Overexpression of the Salmonella KdpF membrane peptide modulates expression of kdp genes and intramacrophage growth

Laila Gannoun-Zaki¹, Claudine Belon¹, Christian Dupont¹, Friederike Hilbert², Laurent Kremer^{1,3} & Anne-Beatrice Blanc-Potard1

¹Laboratoire de Dynamique des Interactions Membranaires Normales et Pathologiques, Universités de Montpellier 2 et 1, CNRS-UMR5235, Montpellier, France; ²Institute of Meat Hygiene, Meat Technology and Food Science, University of Veterinary Medicine Vienna, Vienna, Austria; and 3INSERM, DIMNP, CNRS-UMR5235, Montpellier, France

Correspondence: Anne-Beatrice Blanc-Potard, Laboratoire de Dynamique des Interactions Membranaires Normales et Pathologiques, Universités de Montpellier 2 et 1, CNRS UMR 5235, case 107, Place Eugene Bataillon, 34095 Montpellier Cedex 05, France. Tel.: (+33) 4 67 14 47 26; fax: (+33) 4 67 14 42 86; e-mail: anne.blanc-potard@univ-montp2.fr

Received 16 May 2014; revised 9 July 2014; accepted 25 July 2014. Final version published online 8 September 2014.

DOI: 10.1111/1574-6968.12559

Editor: Klaus Hantke

Keywords

KdpF; Salmonella; membrane peptide;

macrophage; potassium.

Abstract

Membrane peptides appear as an emerging class of regulatory molecules in bacteria, which can interact with membrane proteins, including transporters and sensor kinases. The KdpF peptide, which is cotranscribed with kdpABC genes and regulated by the KdpDE two-component system, is supposed to stabilize the KdpABC potassium transporter complex but may also exhibit unsuspected regulatory function(s). The mycobacterial KdpF can interact with the KdpD histidine kinase, and kdpF overexpression has been shown to reduce intramacrophage replication of Mycobacterium bovis BCG. In this study, we investigated whether KdpF displays similar behavior in another intracellular pathogen, Salmonella enterica serovar Typhimurium. We show that Salmonella KdpF can interact with KdpD in a bacterial two-hybrid assay. We have constructed a Salmonella strain overexpressing kdpF, and we have investigated expression of the kdp regulon, as well as intramacrophage survival. We show that kdpF overexpression reduces expression of kdpA and kdpD genes under potassium limitation. Moreover, kdpF overexpression increases intramacrophage multiplication of S. Typhimurium. Hence, our results indicate that KdpF can play a regulatory role in S. Typhimurium, modulating kdp gene expression and intramacrophage survival, but in a way that differs from the one reported for M. bovis BCG.

Introduction

Recent studies have highlighted the regulatory role of small membrane proteins (size below 50 amino acids, called hereafter peptides) in bacteria (Alix & Blanc-Potard, 2009; Hobbs et al., 2011). These peptides seem to play a regulatory role by interacting with protein partners at the membrane, thereby modulating protein partner's activity and/or stability. Some peptides, such as MgrB and SafA, have been shown to interact with the PhoQ sensor kinase (Eguchi et al., 2007, 2012; Lippa & Goulian, 2009), thus being able to modulate the expression of genes under the control of the corresponding two-component system. Other peptides, as KdpF or AcrZ, are supposed to interact with transporter or efflux pump,

respectively (Hobbs et al., 2012; Gannoun-Zaki et al., 2013). A Salmonella peptide, MgtR, has been involved in the degradation of the MgtC virulence factor and thus contributes to Salmonella pathogenicity (Alix & Blanc-Potard, 2008; Lee & Groisman, 2010). Subtle phenotypes are associated with the inactivation or overexpression of small membrane ORFs, suggesting that such peptides might play a role for bacterial fitness under certain conditions or in specific environments, being otherwise involved in subtle regulatory mechanisms that are not essential to bacterial growth.

We have recently shown that overexpression of the 30 amino acid-long KdpF membrane peptide in Mycobacterium bovis BCG resulted in reduced intramacrophage growth and altered cording morphology (Gannoun-Zaki

* 2014 Federation of European Microbiological Societies. Published by John Wiley & Sons Ltd. All rights reserved

FEMS Microbiol Lett 359 (2014) 34-41

et al., 2013). Hence, KdpF appeared as an attractive membrane peptide because it displayed antivirulence functions upon overexpression in mycobacteria. The kdpF gene is the first gene of the kdpFABC operon, which is conserved among bacteria. Expression of the kdpFABC operon is dependent on external K⁺ concentration and is regulated by the KdpDE two-component system (Greie & Altendorf, 2007; Heermann & Jung, 2010). The Kdp system, which has been extensively studied in E. coli, is a Ptype ATPase that transports K+ with high affinity (Greie & Altendorf, 2007; Greie, 2011). In E. coli, the KdpF peptide has been proposed to be a subunit involved in the stabilization of the KdpABC complex in vitro, possibly acting as a kind of lipid-like peptide for the holoenzyme (Gassel et al., 1999). However, the role of KdpF in vivo remains elusive because it is not essential for the function of the Kdp transporter (Gassel et al., 1999). The mechanism by which kdpF overexpression reduces bacterial cording and intramacrophage growth in M. bovis BCG is unknown, but it may be related to the fact that mycobacterial KdpF can interact with the KdpD sensor and a lipid transporter, which is supported by bacterial two-hybrid experiments (Gannoun-Zaki et al., 2013). Moreover, the KdpDE two-component system, which appears to play a role in the virulence of several bacterial pathogens (Freeman et al., 2013), is involved in M. tuberculosis pathogenicity because a M. tuberculosis strain deleted for the kdpDE genes displayed increased virulence (Parish et al.,

Similar to *M. tuberculosis*, *Salmonella enterica* serovar Typhimurium (*S.* Typhimurium) is an intracellular pathogen that has the ability to replicate within macrophages. The KdpDE two-component system plays also a role in *Salmonella* pathogenicity because a *S.* Typhimurium strain deleted for the *kdpDE* genes is attenuated in the nematode model and exhibits reduced survival in macrophages (Alegado *et al.*, 2011). The *kdp* operon, whose expression is dependent on external K⁺ concentration (Frymier *et al.*, 1997), is the only operon regulated by

the KdpDE system identified so far in S. Typhimurium. A Salmonella enterica serovar enteritidis kdpA mutant has been very recently described, but its role in virulence has been only studied in combination with a mutation in other Trk or Kup potassium transporters, suggesting that the single kdpA mutant does not have a relevant phenotype (Liu et al., 2013). To determine whether the results obtained with mycobacterial KdpF are also observed with another intracellular pathogen, we have investigated the potential interaction between KdpF and KdpD proteins from S. Typhimurium using a bacterial two-hybrid system and we have tested the phenotypes displayed upon kdpF overexpression in S. Typhimurium.

Materials and methods

Bacterial strains and growth conditions

Salmonella enterica serovar Typhimurium strains are derived from wild-type 14028s (gift from E.A. Groisman). Escherichia coli DH5a (Hanahan, 1983) was used as host in cloning experiments. Plasmids were introduced into Salmonella by electroporation using a Bio-Rad apparatus and into E. coli by chemical transformation using standard procedures. Plasmids used in this study are listed in Table 1, and primers are listed in Supporting Information, Table S1. Bacteria were grown in Luria broth (LB). Kanamycin and ampicillin were used at concentration of 25 and 100 Ig mL⁻¹, respectively. Growth in liquid medium with defined K⁺ concentration was carried out by adding indicated concentration of KCl to the previously described potassium-deprived K0 medium (Epstein & Kim, 1971).

Overexpression of *kdpF* in wild-type S. Typhimurium

The kdpF gene was amplified from 14028s chromosomal DNA using pNM11-kdpF-F and kdpF-25-Eco-R primers

Table 1. Plasmids used in this study

Plasmids	Description	Reference
pBR322	Ap ^R Tc ^R rep _{pMB1}	Bolivar et al. (1977)
pUT18	Amp ^R rep _{ColE1} (pBluescript II KS derivative)	Karimova et al. (1998)
pKT25	Kan ^R rep _{p15A} (pACYC184 derivative)	Karimova et al. (1998)
pUT18-MgtC	MgtC-T18	Alix & Blanc-Potard (2008
pNM11	pBR322/mgtC regulatory sequences	Rang et al. (2007)
pNM11-kdpF	pNM11 expressing kdpF gene (mgtC promoter)	This study
pBR-kdpF	pBR322 expressing kdpF gene (kdpF promoter)	This study
pUT18-KdpD	KdpD-T18	This study
pKT25-KdpF	T25-KdpF	This study
pKT25-KdpF G4L-G8L	T25-KdpF G4L-G8L	This study
pKT25-KdpF A22V-A26V	T25-KdpF A22V-A26V	This study

FEMS Microbiol Lett 359 (2014) 34-41

^a2014 Federation of European Microbiological Societies. Published by John Wiley & Sons Ltd. All rights reserved 36 L. Gannoun-Zaki et al.

(Table S1) and cloned into the pNM11 plasmid (Rang et al., 2007) to express kdpF from the mgtC promoter, which is known to be highly induced in macrophages (Eriksson et al., 2003). The pNM11-kdpF plasmid (also named pkdpF) was transformed into 14028s wild-type strain. In addition, the kdpF gene and its promoter were amplified using pBR322-prom+kdpF-F and kdpF-25- Eco-R primers (Table S1), and the PCR fragment was cloned in pBR322 to produce the pBR-kdpF plasmid that expresses kdpF from its own promoter.

RNA extraction and quantitative RT-PCR (qRT-PCR)

RNA was prepared from mid-logarithmic bacterial cultures grown in K0.1 or K1 medium containing 20 IM magnesium. Seven-hundred and fifty microliter of bacterial cultures was added to 1.5 mL of RNA protect reagent (Qiagen) and incubated 5 min at room temperature. Bacteria were centrifuged and resuspended in 100 IL of TE buffer containing 1 mg mL⁻¹ lysozyme, incubated 5 min at room temperature. Three-hundred and fifty microliter of RLT (Qiagen) and 250 L of 100% ethanol was added. RNA was purified with the RNA easy kit according to the manufacturer's instructions. DNA was further removed using DNAsel (Invitrogen). cDNA was produced using Superscript III reverse transcriptase (Invitrogen). Controls without reverse transcriptase were carried out on each RNA sample to rule out possible DNA contamination. Quantitative real-time PCR was performed using an inhouse SYBR Green mix (Lutfalla et al., 2006) and a 480 light cycler instrument (Roche). PCR conditions were as follows: 3-min denaturation at 98 °C, 45 cycles of 98 °C for 5 s, 60 °C for 10 s, and 72 °C for 10 s. The 16S rRNA gene was used as internal control. The sequences of primers used for qRT-PCR are listed in Table S1.

Bacterial two-hybrid analysis of KdpF–KdpD interaction

The bacterial adenylate cyclase two-hybrid (BACTH) system (Karimova et al., 1998) was used to evaluate the interaction between KdpF and KdpD. The kdpF gene was PCR-amplified using 14028s chromosomal DNA as template and primers kdpF-25-Bam-F and kdpF-25-Eco-R (Table S1). The PCR fragment was cloned at the BamHI and EcoRI sites of pKT25, to produce a fusion protein, KdpF-T25, where the T25 fragment is fused at the N-terminus of KdpF. To generate the pKT18-kdpD construct, the kdpD gene was PCR-amplified using primers kdpD-18-Hind-F and kdpD-18-Bam-R using 14028s genomic DNA. The amplicon was then restricted by HindIII–BamHI and ligated into the pKT18 vector to

produce a fusion protein, KdpD-T18. All constructs were verified by DNA sequencing.

Recombinant plasmids derived from pUT18 and pKT25 genes were cotransformed into BTH101 bacteria. Transformants were plated on LB with ampicillin and kanamycin containing 50 Ig mL⁻¹ 5-bromo-4-chloro-3-indolyl-b-p-galactopyranoside (X-gal) at 30 °C for 30 h. To quantify the interaction between hybrid proteins, bacteria were grown overnight at 30 °C in LB Amp Kan broth supplemented with 0.5 mM IPTG. The assays were carried out as described previously (Miller, 1972) with activities expressed in arbitrary Miller units. Values are average from at least four independent cultures. A level of (b-galactosidase activity at least fivefold higher than the one of the control vectors indicates an interaction between the protein partners (Karimova et al., 2005).

Site-directed mutagenesis

Site-directed mutagenesis was conducted on pKT25-KdpF plasmid using the Quickchange® II kit (Stratagene) according to the manufacturer's instructions. Sets of primers were designed for each engineered mutation including sufficiently long flanking regions (Table S1). Sequencing was conducted to confirm the presence of the desired mutation.

Swarming motility

Swarming experiments were performed in LB (Oxoid) with 0.2% agar (Difco) at 37 °C. Swarming agars were used immediately after solidification. Overnight cultures of *Salmonella* strains were diluted 1:100 and grown to OD_{600 nm} 0.2. Exact bacterial counts were determined by colony counting of serial dilutions. Twenty microliters of the culture was spotted in the center of the swarming agar. Swarming zone diameter was determined after 7-h and 9-h growth at 37 °C.

Macrophage infection experiments

The rate of intramacrophage replication after 18-h infection was performed in J774 mouse macrophages as described previously (Rang et al., 2007).

Results and discussion

Salmonella KdpF interacts with Salmonella KdpD in a bacterial two-hybrid system

The kdpF gene is the first gene of the kdpFABC operon, in both S. Typhimurium (Fig. 1a) and M. tuberculosis (http://genolist.pasteur.fr/TubercuList/). In S. Typhimurium,

^a 2014 Federation of European Microbiological Societies. Published by John Wiley & Sons Ltd. All rights reserved FEMS Microbiol Lett 359 (2014) 34-41

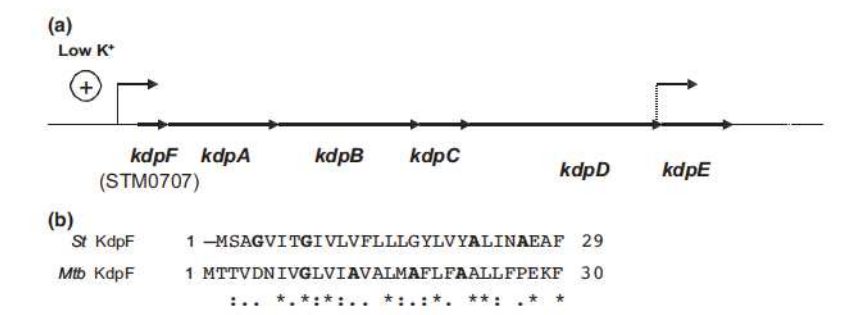


Fig. 1. Genomic context of Salmonella kdpF gene and measurement of kdpF expression. (a) Genomic organization of the kdpFABC and kdpDE genes in S. Typhimurium. The Salmonella kdpFABCDE genes form a single transcriptional unit with a potential internal transcription start upstream kdpE (http://bioinf.gen.tcd.ie/cgi-bin/salcom.pl, Kro€ger et al., 2013). (b) Alignment of KdpF sequences from S. Typhimurium and Mycobacterium tuberculosis. The putative helix interacting motifs are indicated in bold. Alignment was performed with clustalw software (http://www.genome.jp/tools/clustalw/). *Identical residues among the two sequences.

the *kdpFABC* and *kdpDE* operons are organized in tandem, which contrasts to the gene organization in *M. tuberculosis* where both operons are transcribed in the opposite direction (Gannoun-Zaki *et al.*, 2013). The KdpF peptides of *S.* Typhimurium and *M. tuberculosis* share only 30% identity (41% similarity) (Fig. 1b), which is lower than the conservation found for the structural KdpA, KdpB, and KdpC proteins (46–64% identity and 61–77% similarity).

We have previously shown that KdpF peptide from M. tuberculosis interacts with KdpD sensor from M. tuberculosis (Gannoun-Zaki et al., 2013). To test whether the KdpF peptide from S. Typhimurium could interact with the S. Typhimurium KdpD sensor kinase, we have used the BACTH system that has been previously validated for detecting interactions between innermembrane proteins in living bacteria (Karimova et al., 2005). Constructs were made to fuse the T18 or T25 fragment of adenylate cyclase to KdpD and KdpF, respectively. The T18 fragment has been fused at the cytoplasmic C-terminal of KdpD (pUT18 vector). We have made the hypothesis that S. Typhimurium KdpF had a similar topological orientation as M. tuberculosis KdpF [cytoplasmic N-terminal extremity (Gannoun-Zaki et al., 2013)], and we have therefore cloned the T25 fragment at the KdpF N-terminal end (KdpF-T25). Plasmids encoding the T18 and T25 fusion proteins were introduced in an E. coli cya mutant (BTH101), and functional complementation was determined by measuring b-galactosidase activity (Fig. 2a). A high level of b-galactosidase activity (1100 Miller units) was observed when BTH101 was cotransformed with KdpD-T18 and KdpF-T25 plasmids, indicating a robust interaction between both proteins, whereas a basal level of b-galactosidase activity was measured with the negative control (T18/KdpF-T25). The level of interaction is of similar magnitude to the one reported for Mycobacterium KdpF and KdpD proteins (Gannoun-Zaki

et al., 2013). On the other hand, Salmonella KdpF does not interact with another S. Typhimurium membrane protein that harbors five transmembrane segments, MgtC (Fig. 2a), indicating that KdpF does not bind to transmembrane segments in a nonspecific way.

Natural hydrophobic peptides with a single transmembrane domain offer opportunities to decipher motifs that drive the interaction between transmembrane helices. The GxxxG motif (where Gly can also be replaced by Ala or Ser) has been reported to favor close contact between transmembrane helices (Senes et al., 2004). The KdpF peptide harbors one GxxxG motif (G4-G8) and one AxxxA motif (A22-A26) (Fig. 1b). We have carried out site-directed mutagenesis of both motifs to investigate their role in the interaction between KdpF and KdpD. The amino acids of the motifs are converted to hydrophobic amino acids (G4L-G8L or A22V-A26V) to preserve transmembrane segment hydrophobicity minimize side effects on protein level and/or membrane insertion. Whereas mutagenesis of the first motif failed to alter the interaction, mutagenesis of the second motif resulted in a twofold decrease in b-galactosidase activity (Fig. 2b), indicating that this AxxxA motif may contribute to the interaction, at least to some extent.

Taken together, these results indicate that S. Typhimurium KdpF can interact with S. Typhimurium KdpD in the BACTH system, similar to what has been found previously with the KdpF and KdpD proteins from M. tuberculosis.

Construction of S. Typhimurium strains that overexpress kdpF

To investigate the regulatory role of KdpF in S. Typhimurium, we have first constructed a strain that harbors a plasmid-encoded additional copy of kdpF under the control of the mgtC promoter (pNM11-kdpF), which is

FEMS Microbiol Lett 359 (2014) 34-41

^a2014 Federation of European Microbiological Societies. Published by John Wiley & Sons Ltd. All rights reserved 38 L. Gannoun-Zaki et al.

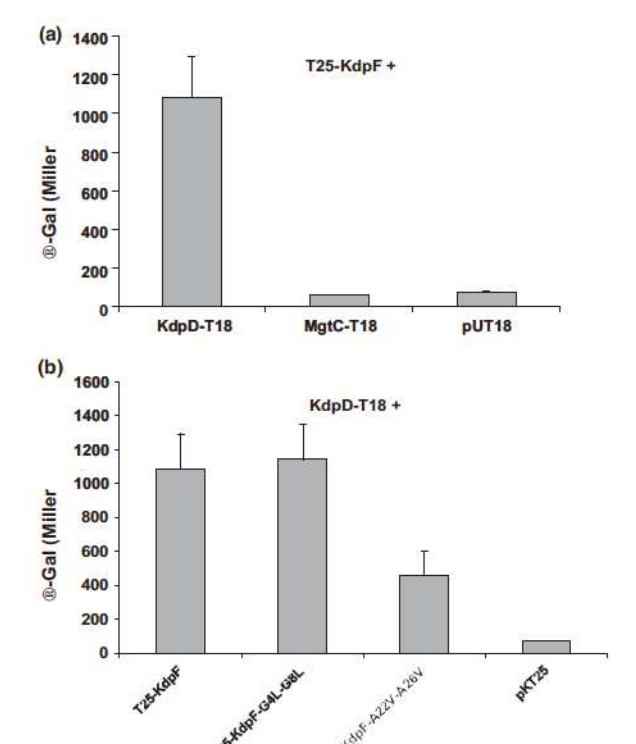


Fig. 2. In vivo interaction of KdpF with KdpD and effect of mutations in transmembrane interaction motifs. (a) The interaction between KdpF and KdpD was assayed using the BACTH system by transforming Escherichia coli BTH101 cells with KdpF-T25 and KdpD-T18 plasmids. Liquid b-galactosidase assays were performed from three independent experiments. Error bars represent SD. (b) Interaction of KdpD with KdpF peptide mutated in putative GxxxG and AxxxA motifs. Liquid b-galactosidase assays were performed from three independent experiments. Error bars represent SD.

known to be highly induced in macrophages and in low magnesium medium (Vescovi et al., 1996; Eriksson et al., 2003). We have verified by qRT-PCR that kdpF is overexpressed when bacteria are grown in 20 IM Mg²⁺ in both 0.1 mM and 1 mM potassium (Fig. 3a). In liquid culture with 20 IM Mg²⁺, this strain grows similarly than a control strain that does not overexpress kdpF (Fig. S1). We have also constructed a \$. Typhimurium strain that harbors a plasmid-encoded additional copy of kdpF under its own promoter (pBR-kdpF). Overexpression of kdpF for strains grown in K1 medium has been checked by qRT-PCR (eightfold overexpression, data not shown).

Role of KdpF in regulation of kdp gene expression

The interaction between KdpF and KdpD proteins implies that KdpF may modulate the K⁺ regulation mediated by

the KdpDE two-component system. To further investigate a putative regulatory role of KdpF on kdp gene expression, we have carried out qRT-PCR experiments to compare expression of the kdpA and kdpD genes in a strain overexpressing kdpF relatively to the wild-type strain. As expected, expression of kdpA and kdpD is induced in 0.1 mM K⁺ comparatively to 1 mM K⁺ (Fig. 3b and c). A significant reduction in kdpA and kdpD expression in K 0.1 medium is seen in the strain overexpressing kdpF. Such a reduction in transcript levels upon kdpF overexpression is not seen with a control gene (mgtB) that is not regulated by potassium (Fig. 3d). Hence, the reduced expression of kdp genes upon kdpF overexpression may be mediated by the ability of KdpF to interact with the KdpD sensor.

Role of KdpF in intramacrophage survival

Potassium transporters have been recently reported to play a role in *Salmonella* motility (Liu *et al.*, 2013), and we have first investigated whether a strain that overexpresses *kdpF* differs in swarming motility comparatively to the wild-type strain. However, no difference in motility was observed at 37 °C (data not shown).

We have previously reported a decrease in intramacrophage replication of wild-type M. bovis BCG that carries a plasmidic copy of kdpF expressed under the control of a constitutive promoter (Gannoun-Zaki et al., 2013). To investigate whether a similar effect may occur with S. Typhimurium, we have tested strains overexpressing kdpF for their ability to replicate in the murine J774 macrophage cell line. Results in Fig. 4a indicate that overexpression of kdpF from the mgtC promoter correlated with a significant increase in intracellular replication. A similar result was obtained when kdpF is overexpressed on a plasmid under the control of its own promoter (Fig. 4b). Hence, kdpF overexpression modified the Salmonella intramacrophage replication rate, but the effect differs from the phenotype observed in M. bovis BCG. An increased intramacrophage replication is not a general feature observed upon overexpression of a membrane peptide in Salmonella, because overexpression of the MgtR membrane peptide resulted in a decrease in intramacrophage replication (Alix & Blanc-Potard, 2008).

Conclusion

In the present study, we have investigated phenotypes upon overexpression of the Salmonella KdpF peptide, which has the propensity to interact with both the KdpABC transporter and, as shown in the present study, the KdpD kinase. Our results indicate that kdpF overexpression slightly reduced kdp transcription in low

^a 2014 Federation of European Microbiological Societies. Published by John Wiley & Sons Ltd. All rights reserved FEMS Microbiol Lett 359 (2014) 34-41

Fig. 3. Effect of kdpF overexpression on the regulation of kdp genes by K*. K*-regulated expression of kdp genes from S. Typhimurium strains carrying or not the pNM11-kdpF plasmid (pkdpF) grown in 20 IM Mg medium containing 0.1 mM (K0.1) or 1 mM (K1) potassium. The levels of kdpF (a), kdpA (b) and kdpD (c) transcripts relative to those of the 16S rRNA gene were measured by qRT-PCR. Results are expressed as means ± SD from at least three (kdpF, kdpA) or two (kdpD) independent experiments (each performed in triplicate). The decrease of kdpA and kdpD transcripts in K0.1 medium upon kdpF overexpression is statistically significant (Student's t-test, *P < 0.05, ***P < 0.001). (d) The expression of mgtB, a gene not regulated by K+, is shown as control.

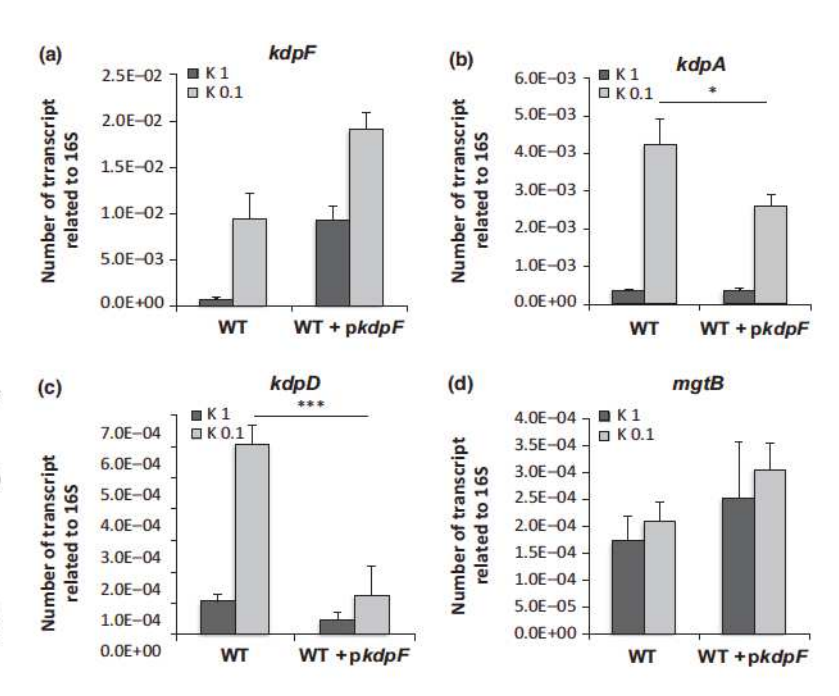


Fig. 4. Effect of *kdpF* overexpression on *Salmonella* replication in J774 macrophages. The bacterial replication was determined after 18 h. The *kdpF* gene is overexpressed from the pNM11-*kdpF* plasmid (*pkdpF*) (a) or the pBR-*kdpF* plasmid (b). Values presented are the percentage relative to that of the control strain: wild-type 14028s carrying pNM11 plasmid in (a) and wild-type 14028s carrying pBR322 plasmid in (b). Data represent the mean values ± SD from at least three independent experiments.

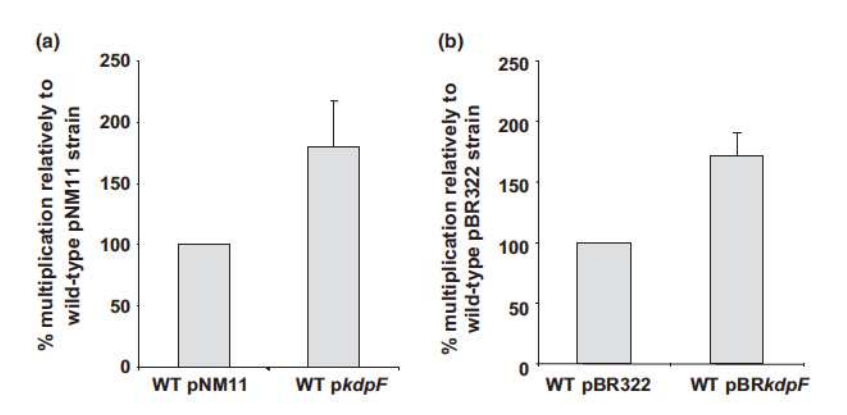
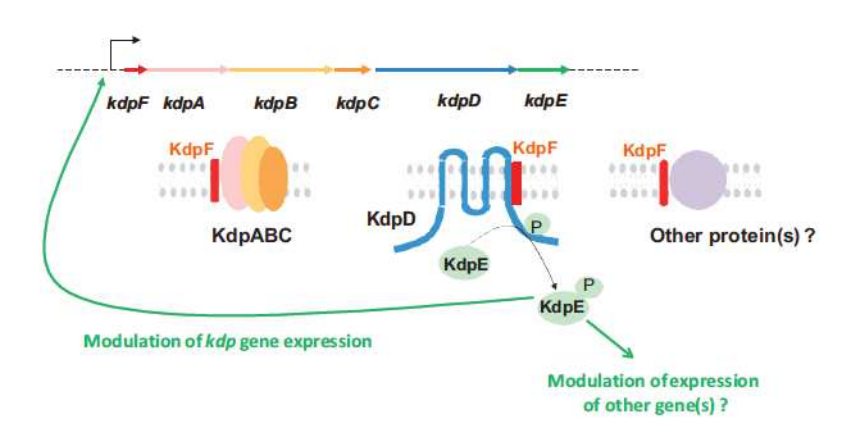


Fig. 5. Model for the regulatory effect of KdpF in S. Typhimurium. The KdpF peptide is drawn as a red rectangle. The modulation of kdp gene expression may be linked to the interaction between KdpD and KdpF. The effect of KdpF on intramacrophage multiplication could be due to the modulation of expression of genes regulated by the KdpDE system or to the interaction of KdpF with other protein(s) than KdpD.



FEMS Microbiol Lett 359 (2014) 34-41

^a2014 Federation of European Microbiological Societies. Published by John Wiley & Sons Ltd. All rights reserved L. Gannoun-Zaki et al.

potassium conditions and increased intramacrophage multiplication. It is currently unclear whether these phenotypes are linked to the interaction between KdpF and KdpD or to interaction(s) between KdpF and other protein(s) (Fig. 5). The effect of kdpF overexpression on Salmonella intramacrophage growth thus differs with the one reported for mycobacteria. Hence, the antivirulence properties displayed upon overexpression of KdpF in mycobacteria are not observed with the intracellular pathogen S. Typhimurium. This may be related to opposite phenotypes reported for mutations in kdpDE two-component system genes in the virulence of both bacteria. Alternatively, the regulatory role of KdpF in macrophages may be driven by the interaction with distinct/additional proteins in Salmonella and Mycobacterium species.

Acknowledgements

We thank Daniel Ladant (Paris, France) for providing plasmids. This work was supported by the CNRS and the French ministry of research (MRT fellowship for C.B.).

Authors' contribution

L.G.-Z. and C.B. contributed equally to this work.

References

- Alegado RA, Chin C-Y, Monack DM & Tan M-W (2011) The two-component sensor kinase KdpD is required for Salmonella typhimurium colonization of Caenorhabditis elegans and survival in macrophages. Cell Microbiol 13: 1618–1637.
- Alix E & Blanc-Potard AB (2008) Peptide-assisted degradation of the Salmonella MgtC virulence factor. EMBO J 27: 546–557.
- Alix E & Blanc-Potard AB (2009) Hydrophobic peptides: novel regulators within bacterial membrane. Mol Microbiol 72: 5— 11.
- Bolivar F, Rodriguez R, Greene P, Betlach M, Heyneker H, Boyer H, Crosa J & Falkow S (1977) Construction and characterization of new cloning vehicles. II. A multipurpose cloning system. Gene 2: 95–113.
- Eguchi Y, Itou J, Yamane M, Demizu R, Yamato F, Okada A, Mori H, Kato A & Utsumi R (2007) B1500, a small membrane protein, connects the two-component systems EvgS/EvgA and PhoQ/PhoP in Escherichia coli. P Natl Acad Sci USA 104: 18712–18717.
- Eguchi Y, Ishii E, Yamane M & Utsumi R (2012) The connector SafA interacts with the multi-sensing domain of PhoQ in Escherichia coli. Mol Microbiol 85: 299–313.
- Epstein W & Kim BS (1971) Potassium transport loci in Escherichia coli K-12. J Bacteriol 108: 639–644.
- Eriksson S, Lucchini S, Thompson A, Rhen M & Hinton JCD (2003) Unravelling the biology of macrophage infection by

- gene expression profiling of intracellular *Salmonella enterica*. *Mol Microbiol* 47: 103–118.
- Freeman ZN, Dorus S & Waterfield NR (2013) The KdpD/ KdpE Two-component system: integrating K⁺ homeostasis and virulence. *PLoS Pathog* 9: e1003201.
- Frymier JS, Reed TD, Fletcher SA & Csonka LN (1997)
 Characterization of transcriptional regulation of the kdp
 operon of Salmonella typhimurium. J Bacteriol 179: 3061–3063.
- Gannoun-Zaki L, Alibaud L, Carrere-Kremer S, Kremer L & Blanc-Potard AB (2013) Overexpression of the KdpF membrane peptide in *Mycobacterium bovis* BCG results in reduced intramacrophage growth and altered cording morphology. *PLoS One* 8: e60379.
- Gassel M, Mollenkamp T, Puppe W & Altendorf K (1999) The KdpF subunit is part of the K⁺-translocating Kdp complex of Escherichia coli and is responsible for stabilization of the complex in vitro. J Biol Chem 274: 37901–37907.
- Greie Jr-C (2011) The KdpFABC complex from Escherichia coli: a chimeric K⁺ transporter merging ion pumps with ion channels. Eur J Cell Biol 90: 705–710.
- Greie Jr-C & Altendorf K (2007) The K⁺-translocating KdpFABC complex from Escherichia coli: a P-type ATPase with unique features. J Bioenerg Biomembr 39: 397–402.
- Hanahan D (1983) Studies on transformation of Escherichia coli with plasmids. J Mol Biol 166: 557–580.
- Heermann R & Jung K (2010) The complexity of the 'simple' two-component system KdpD/KdpE in Escherichia coli. FEMS Microbiol Lett 304: 97–106.
- Hobbs EC, Fontaine F, Yin X & Storz G (2011) An expanding universe of small proteins. Curr Opin Microbiol 14: 167–173.
- Hobbs EC, Yin X, Paul BJ, Astarita JL & Storz G (2012) Conserved small protein associates with the multidrug efflux pump AcrB and differentially affects antibiotic resistance. P Natl Acad Sci USA 109: 16696–16701.
- Karimova G, Pidoux J, Ullmann A & Ladant D (1998) A bacterial two-hybrid system based on a reconstituted signal transduction pathway. P Natl Acad Sci USA 95: 5752– 5756.
- Karimova G, Dautin N & Ladant D (2005) Interaction network among *Escherichia coli* membrane proteins involved in cell division as revealed by bacterial two-hybrid analysis. *J Bacteriol* 187: 2233–2243.
- Kro€ger C, Colgan A, Srikumar S et al. (2013) An infection-relevant transcriptomic compendium for Salmonella enterica Serovar Typhimurium. Cell Host Microbe 14:683–695.
- Lee E-J & Groisman EA (2010) An antisense RNA that governs the expression kinetics of a multifunctional virulence gene. Mol Microbiol 76: 1020–1033.
- Lippa AM & Goulian M (2009) Feedback inhibition in the PhoQ/PhoP signaling system by a membrane peptide. PLoS Genet 5: e1000788.
- Liu Y, Ho KK, Su J, Gong H, Chang AC & Lu S (2013) Potassium transport of *Salmonella* is important for type III secretion and pathogenesis. *Microbiology* 159: 1705–1719.

^a 2014 Federation of European Microbiological Societies. Publishedby John Wiley & Sons Ltd. All rights reserved FEMS Microbiol Lett 359 (2014) 34-41

- Lutfalla G, Uze G, Alan K & Brian O (2006) Performing quantitative reverse transcribed polymerase chain reaction experiments. Meth Enzy 410: 386–400.
- Miller J (1972) Experiments in Molecular Genetics. Cold Spring Harbor Laboratory, Cold Spring Harbor, NY.
- Parish T, Smith DA, Kendall S, Casali N, Bancroft GJ & Stoker NG (2003) Deletion of two-component regulatory systems increases the virulence of *Mycobacterium tuberculosis*. *Infect Immun* 71: 1134–1140.
- Rang C, Alix E, Felix C, Heitz A, Tasse L & Blanc-Potard AB (2007) Dual role of the MgtC virulence factor in host and non-host environments. *Mol Microbiol* 63:605–622.
- Senes A, Engel DE & DeGrado WF (2004) Folding of helical membrane proteins: the role of polar, GxxxG-like and proline motifs. Curr Opin Struct Biol 14: 465–479.

Vescovi EG, Soncini FC & Groisman EA (1996) Mg²⁺ as an extracellular signal: environmental regulation of Salmonella virulence. Cell 84: 165–174.

Supporting Information

Additional Supporting Information may be found in the online version of this article:

Fig. S1. Effect of kdpF overexpression on S. Typhimurium growth in liquid cultures.

Table S1. Primers list used in this study.

2.2.1 Rôle du peptide KdpF dans la virulence de Salmonella

KdpF apparaît comme un peptide attractif du fait de ses fonctions anti-virulences chez les mycobactéries même si le mécanisme est inconnu.

Tout comme chez les mycobactéries, chez S. Typhimurium, le peptide KdpF peut interagir avec le transporteur KdpABC et nous avons montré qu'il pouvait également interagir avec la kinase KdpD.

J'ai montré que la surexpression de *kdpF* réduisait sensiblement la transcription de *kdp* en condition de carence en potassium. Il a été montré par ailleurs que cette surexpression augmentait la réplication intramacrophagique. Nous n'avons pas pu définir clairement si ces phénotypes étaient liés à l'interaction entre KdpF et KdpD ou aux interactions entre KdpF et d'autres protéines.

L'effet de la surexpression de *kdpF* sur la croissance intramacrophagique de *Salmonella* est donc à l'opposé de l'effet décrit pour les mycobactéries. Par conséquent, les propriétés antivirulences affichées par la surexpression de KdpF chez les mycobactéries ne sont pas observées chez le pathogène intracellulaire *S*. Typhimurium. Cela pourrait être relié aux phénotypes opposés observés lors de la mutation des gènes *kdpDE* du système à deux composants dans la virulence de ces deux bactéries. Par ailleurs, l'hypothèse concernant les différences dans le (ou les) partenaire(s) interagissant avec MgtC entre différentes espèces, pourrait être appliquée dans le cas de KdpF dans la mesure où son rôle régulateur dans les macrophages pourrait solliciter son interaction avec des protéines différentes ou additionnelles entre les deux espèces, *Salmonella* et Mycobacterium.

Un schéma récapitulatif des effets régulateurs de KdpF chez Salmonella est présenté dans la figure 43 ci-après.

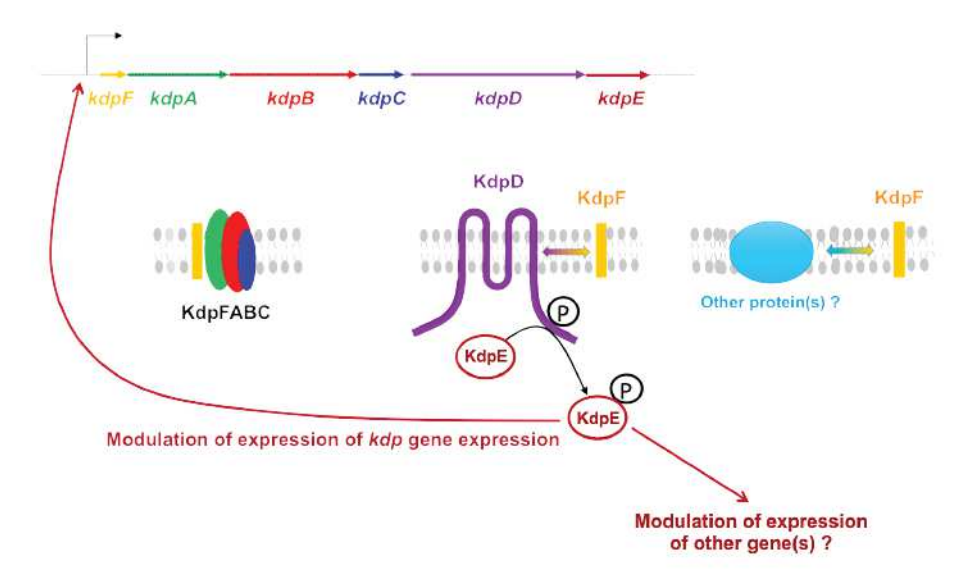


Figure 43 - Schéma récapitulatif des effets régulateurs de KdpF chez Salmonella.

IV DISCUSSION



Dans la recherche en commun par la discussion, celui qui est vaincu gagne plus, dans la mesure où il a accru son savoir.

Epicure

Il ne peut y avoir de discussion sans contradiction.

Montaigne

Mes travaux de thèse m'ont conduits à étudier la régulation et la fonction de MgtC chez différentes bactéries. J'ai également étudié les potentialités anti-virulence du peptide MgtR chez ces bactéries. Concernant les articles en co-1er auteur, la discussion portera principalement sur les expériences que j'ai réalisées.

1 Régulation de MgtC chez les mycobactéries et chez Pseudomonas aeruginosa

Chez S. Typhimurium, MgtC est régulé de manière particulièrement complexe. En effet, MgtC est régulé positivement par le système à deux composants PhoP-PhoQ mais aussi par un ARNm senseur d'ATP (Lee and Groisman, 2012). Par ailleurs MgtC est régulé négativement par un ARN antisens et par le peptide MgtR (Alix and Blanc-Potard, 2008; Lee and Groisman, 2010). Il a été suggéré que cette complexité était liée au mécanisme d'action de MgtC qui cible la propre F₁F₀ ATP synthase du pathogène (Lee et al., 2013a).

1.1 Régulation par le magnésium

Chez S. Typhimurium, la régulation de MgtC par le magnésium intervient via le système à deux composants PhoP-PhoQ puisqu'une faible concentration extracellulaire en Mg²+ est l'un des signaux activateur du système. Chez S. Typhimurium et Y. pestis, une carence en Mg²+ induit fortement l'expression du gène mgtC (Blanc-Potard and Groisman, 1997; Grabenstein et al., 2006) alors que l'induction est très faible chez M. tuberculosis (Walters et al., 2006; Yang et al., 2012b). Les gènes mgtC de Salmonella et de Y. pestis sont co-transcrits avec mgtB qui code pour un transporteur de magnésium, contrairement à mgtC de M. tuberculosis. Pour expliquer cette différence de régulation, il a été suggéré que mgtC était régulé par le magnésium uniquement lorsqu'il était co-transcrit avec un transporteur de magnésium.

Chez M. marinum et pour l'homologue PA4635 de MgtC de P. aeruginosa (Pa), les expériences ont révélé une très forte induction de l'expression du gène mgtC par une carence en Mg²⁺. De plus, des études préliminaires menées chez M. abscessus montrent également que l'expression de mgtC est fortement induite par une carence en Mg²⁺ (G. Accard, C. Belon). Cette régulation est donc similaire à celle observée chez S. Typhimurium et Y. pestis mais elle diffère de la régulation de mgtC chez M. tuberculosis. Pourtant chez M. marinum, P. aeruginosa et M. abscessus il n'y a pas de co-transcription avec un transporteur de magnésium. Cela indique que cette régulation est indépendante de la présence d'une telle organisation génomique. Par ailleurs, il faut noter que l'expression de l'homologue PA2558 de MgtC Pa reste constante quelque soit la concentration en Mg²⁺.

Concernant le mécanisme de régulation, des études plus poussées sont nécessaires pour le décrypter. Chez Salmonella, le magnésium contrôle l'expression de mgtC. En effet, MgtC est régulé au niveau transcriptionnel via le système à deux composants PhoP-PhoQ activé par une carence en Mg²⁺ (Véscovi et al., 1996). On pourrait donc imaginer qu'il existe un

équivalent du système à deux composants PhoP-PhoQ chez les pathogènes dont MgtC est régulé par le magnésium. Le transporteur de Mg²+ MgtA est également régulé par le Mg²+ via PhoP-PhoQ. Mais il existe une régulation de MgtA par le magnésium indépendante de PhoP-PhoQ. Cette régulation se fait au niveau post-transcriptionnel par un riboswitch Mg²+ localisé dans la région 5' non traduite (5'UTR) de mgtA. Il semblerait que l'ARN senseur de Mg²+ contrôle l'expression de mgtA en ciblant son transcrit pour une dégradation par l'intermédiaire de la RNase E. Les 5'UTR de mgtA mais aussi de mgtCB sont responsables d'un ajustement dépendant du Mg²+ de la régulation de ces gènes (Spinelli et al., 2008). On pourrait donc également envisager une régulation de MgtC par riboswitch Mg²+ chez d'autres pathogènes.

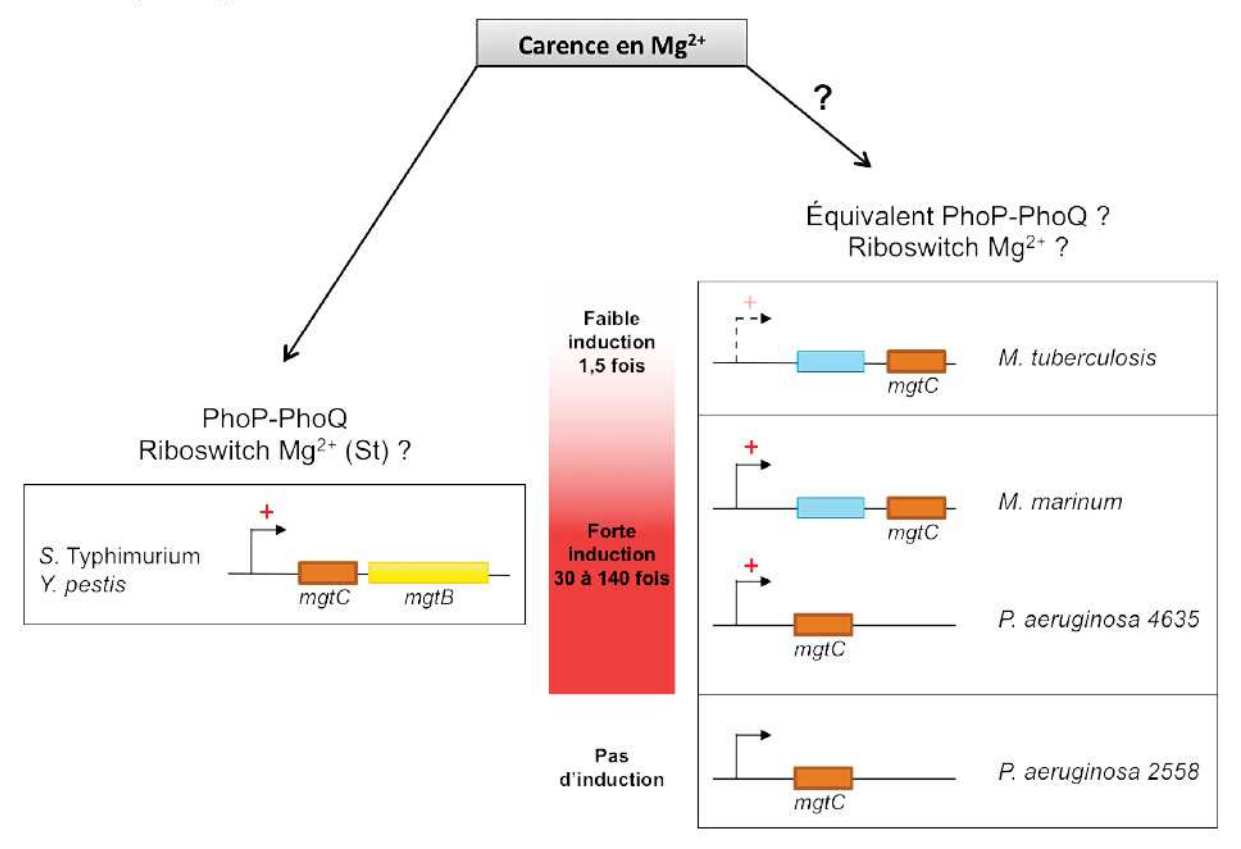


Figure 44 – Régulation de MgtC par le magnésium. Les signes + indiquent une forte (rouge) ou une faible (rosé) induction de l'expression de *mgtC* par une carence en Mg²⁺ et sont positionnés au-dessus de flêches indiquant l'emplacement du promoteur. La flêche en pointillé indique que le promoteur n'est pas forcément situé à ce niveau. Les carrés bleus représentent les gènes en amont de *mgtC* sous contrôle du même promoteur.

Bien que ces espèces bactériennes soient phylogénétiquements éloignées, la régulation par une carence en magnésium est conservée. Cette conservation de la régulation est probablement liée à la conservation de la fonction de MgtC dans l'adaptation aux fluctuations en magnésium. Les protéines MgtC des différents pathogènes cités précédemment sont nécessaires, in vitro, à une croissance optimale en milieu carencé en magnésium (Buchmeier et al., 2000). Le fait que mgtC de M. tuberculosis soit faiblement régulé par le magnésium suggère que la régulation de mgtC aurait évolué différemment

pour cette espèce. Cela pourrait s'expliquer par le fait que M. tuberculosis est un pathogène avec une niche écologique strictement restreinte à l'homme contrairement à S. Typhimurium, Y. pestis, M. marinum ou P. aeruginosa. M. tuberculosis est donc uniquement exposé à des conditions environnementales où les concentrations en magnésium fluctuent peu alors que les autres pathogènes seraient soumis à des variations des concentrations en magnésium inhérentes aux différents environnements auxquels ils sont confrontés. Les études préliminaires menées chez M. abscessus confirment ce phénomène puisque l'expression de mgtC de ce pathogène environnemental est fortement induite par une carence en Mg²⁺.

1.2 Régulation par le pH et activation intracellulaire chez P. aeruginosa

Chez S. Typhimurium la régulation de MgtC par le pH intervient via le système à deux composants PhoP-PhoQ et indirectement, via un ARN messager senseur d'ATP. Pour le premier, un pH acide est l'un des signaux activateur du système (Prost et al., 2007). Pour le second, le pH acide produit un gradient de protons à travers la membrane interne ce qui a pour effet d'augmenter le niveau d'ATP intracellulaire. Lorsque l'ARNm senseur d'ATP capte un niveau élevé d'ATP, les séquences adjacentes adoptent une structure particulière permettant l'expression de mgtC (Lee and Groisman, 2012).

J'ai étudié cette régulation chez P. aeruginosa. In vitro le gène mgtC (PA4635) est fortement induit dans un milieu carencé en Mg²⁺. Cet effet est amplifié à pH acide. En revanche, l'effet à pH acide dans des conditions normales en Mg²⁺ est quasi nul. L'expression de mgtC a également été étudiée ex vivo dans des macrophages traités ou non avec un inhibiteur de la V-ATPase qui permet de bloquer l'acidification phagosomale. Les résultats indiquent une induction très importante de PA4635 dans le macrophage. Le gène mgtC de Salmonella est également très induit dans le macrophage (Eriksson et al., 2003). Par ailleurs, lors d'une réduction de l'acidification phagosomale, l'expression de mgtC (PA4635) est diminuée d'un facteur 2. Cela suggère que l'expression de ce gène est partiellement dépendante de l'acidification phagosomale. L'expression du gène mgtC (PA2558) n'est pas régulée par le pH acide dans les conditions étudiées.

Comme pour la régulation par le magnésium, des études plus poussées sont nécessaires pour comprendre le mécanisme de régulation par le pH. Il n'est pas exclu qu'il puisse exister un ARN messager senseur d'ATP chez *P. aeruginosa*. Concernant le système à deux composants PhoP-PhoQ de *P. aeruginosa*, on sait qu'il répond à une carence en Mg²⁺ (McPhee et al., 2006). La réponse au pH acide n'a pas été étudiée. Il est donc possible que l'expression de MgtC (PA4635) soit régulée par ce système.

2 Rôle (intra)macrophagique de MgtC et étude de la virulence dans le modèle Danio rerio

Le rôle de MgtC dans la virulence se caractérise par son implication dans la croissance et la survie intracellulaire. Les études ayant évalué ce rôle chez différents pathogènes (S. Typhimurium, S. Typhi, B. cenocepacia, B. suis, Y. pestis et M. tuberculosis) ont montré que MgtC était nécessaire à la survie intra-macrophagique (Blanc-Potard and Groisman, 1997; Buchmeier et al., 2000; Grabenstein et al., 2006; Lavigne et al., 2005; Maloney and Valvano, 2006; Retamal et al., 2009). Cette fonction de MgtC est donc très conservée entre les espèces. In vivo, l'implication de MgtC dans la virulence a été démontrée dans des modèles d'infection murins chez S. Typhimurium, B. cenocepacia et M. tuberculosis (Blanc-Potard and Groisman, 1997; Buchmeier et al., 2000; Hunt et al., 2004). Le rôle de MgtC dans la virulence in vivo est donc également conservé entre les espèces étudiées.

2.1 Réplication intramacrophagique et virulence dans le modèle d'infection d'embryons de Danio chez M. marinum

Bien que M. marinum et M. tuberculosis soit deux pathogènes qui partagent de nombreuses similarités dans leurs caractéristiques de virulence, l'étude de MgtC de M. marinum a montré que la protéine ne contribuerait pas significativement à la réplication intramacrophagique, ni à la virulence de la bactérie in vivo dans un modèle d'infection d'embryons de danio. Ces résultats sont donc en contradiction avec le rôle de MgtC dans la virulence décrit pour M. tuberculosis mais également pour les autres pathogènes pour lesquels l'implication de MgtC dans la virulence a été étudié (Alix and Blanc-Potard, 2007).

Concernant l'absence de phénotype fort du mutant *mgtC* pour la réplication intramacrophagique et pour l'infection d'embryons de danio plusieurs hypothèses peuvent être développées.

Tout d'abord, cela pourrait être associé à la niche intracellulaire de M. marinum. Même si M. marinum et M. tuberculosis ont de nombreuses caractéristiques de virulence communes, les deux pathogènes présentent aussi des différences notables telle que la capacité de M. marinum à promouvoir la formation d'une queue d'actine dans le cytoplasme, probablement pour favoriser sa propagation de cellule à cellule (Stamm et al., 2003). Par ailleurs, M. marinum est capable de s'échapper du phagosome de manière rapide et fréquente ce qui pourrait expliquer le manque de contribution de MgtC de M. marinum dans la réplication intramacrophagique (Collins et al., 2009). Certaines études ont montré que M. tuberculosis était également capable d'un tel échappement (Simeone et al., 2012; van der Wel et al., 2007). Cependant, la rapidité et surtout la fréquence de ce type d'évènement serait très probablement inférieur à ce qui se passe chez M. marinum. De plus, la contribution

physiologique d'échappement du phagosome vers le cytosol reste controversée chez M. tuberculosis (Welin and Lerm, 2012).

Ensuite, la divergence de phénotype pourrait être liée au background génétique de M. tuberculosis. En effet, le mutant mgtC pour lequel un défaut de réplication intramacrophagique est observé a été construit dans un background Erdman (Buchmeier et al., 2000). Une revue indique que des travaux non publiés (Smith, 2003) n'ont pas permis de déceler un défaut de croissance intracellulaire pour un mutant mgtC construit dans le background H37Rv. Or, il existe des différences de virulence entre ces souches. Certaines études suggèrent que la souche Erdman serait plus virulente que la souche H37Rv dans certaines conditions (Dunn and North, 1995).

Par ailleurs, concernant M. marinum il existe également différents background génétiques qui déterminent notamment le développement d'une pathologie aigüe ou chronique chez le Danio et donc une pathogénèse différente (Van der Sar et al., 2004). Dans notre étude nous avons utilisé la souche M qui est couramment utilisée en laboratoire et à l'origine d'infections aigües chez le danio. L'absence de phénotype du mutant mgtC de M. marinum dans le modèle d'infection d'embryons de danio pourrait donc être associé au background génétique utilisé.

Malgré l'absence de phénotype clair du mutant mgtC chez l'embryon de danio en terme de survie, la moindre charge bactérienne observée est associée à une absence de neutropénie qui est un marqueur de sévérité de l'infection, suggérant une virulence moindre du mutant mgtC. Le modèle danio était prometteur pour décortiquer le rôle de MgtC lors d'une infection mycobactérienne en temps réel, mais l'absence d'effet significatif sur la virulence, probablement liée au manque de phénotype dans le macrophage, ne m'a pas permis de mettre à profit tous les avantages du modèle. Cependant, il m'a permis de mettre en évidence un nouveau phénotype qui sera décrit dans le paragraphe suivant.

2.2 Mise en évidence d'un nouveau rôle du facteur de virulence MgtC dans la phagocytose en utilisant le modèle Mycobacterium marinum

Dans la littérature, les études sur MgtC ne s'intéressent pas aux étapes précoces de l'infection et notamment à la phagocytose. Chez M. marinum, bien que MgtC ne soit pas indispensable à la réplication intramacrophagique, la protéine jouerait un rôle dans la phase précoce d'infection.

Dans le modèle d'infection d'embryons de danio, les neutrophiles ne phagocytent pas les mycobactéries dans la circulation sanguine (Yang et al., 2012a) mais sont capables de phagocyter *E. coli* dans le compartiment sous-cutanée (Colucci-Guyon et al., 2011). J'ai montré que dans le compartiment sous-cutané, les neutrophiles étaient également capables de phagocyter les mycobactéries.

De manière inattendue, j'ai observé que le mutant mgtC est plus efficacement phagocyté que la souche sauvage par les neutrophiles dans le cas d'une infection sous-cutanée. Un phénotype équivalent est observé dans différents modèles d'infection cellulaire de macrophages. Ce phénotype semble spécifique des cellules phagocytaires puisque aucune différence n'est retrouvée dans l'internalisation par des cellules épithéliales contrairement à un mutant déficient en LOS qui montre clairement une augmentation de l'internalisation par les macrophages et les cellules épithéliales. De plus, aussi bien les cinétiques de phagocytose que les infections de macrophages à 4°C, indiquent que MgtC ne joue pas un rôle dans les étapes initiales d'attachement des bactéries aux macrophages mais aurait un rôle plus tardif dans le processus d'internalisation. Enfin, des infections de macrophages menées en présence d'un inhibiteur de polymérisation de l'actine, confirment que le phénotype est associé à un processus actine dépendant.

Pour tenter d'élucider le mécansime d'action mis en jeu chez M. marinum, nous nous sommes intéressés aux composants de la surface et de la paroi cellulaire mycobactérienne. Il a été montré que des molécules tels que les LOS, PAT/DAT, DIM et PGL étaient capables de moduler la phagocytose mycobactérienne (Astarie-Dequeker et al., 2010). La partie externe riche en glycanes de la paroi cellulaire de M. tuberculosis peut servir de capsule antiphagocytaire (Stokes et al., 2004). Cependant cet effet est limité par l'association de la bactérie aux macrophages contrairement à l'effet impliquant MgtC. Dans les cellules nonphagocytaires, les phénotypes distincts des mutants mgtC et LOS indique qu'il semble peu probable que les différences impliquent ces glycolipides. Concernant les PAT/DAT, leur présence conditionne la liaison et l'entrée de M. tuberculosis à la fois dans les cellules phagocytaires et non-phagocytaires, profil qui diffère encore du phénotype observé avec le mutant mgtC (Rousseau et al., 2003). L'analyse chromatographique par TLC des PAT/DAT des souches sauvage et du mutant mgtC n'a pas révélé de différence entre elles dans les conditions testées. En revanche, l'absence de DIM réduit l'internalisation de M. tuberculosis par les macrophages en utilisant un processus dépendant de l'actine (Astarie-Dequeker et al., 2009). Cependant, ici encore, l'analyse par TCL des DIM n'a pas permis de déceler de différence entre les souches. Finalement, l'absence de différence dans les profils de TLC pourrait être imputé aux conditions expérimentales qui ne seraient peut-être pas optimisées pour détecter des différences quantitatives de ces lipides ou d'autres molécules de surface qui pourraient être impliquées. Une autre hypothèse serait que le phénotype de prise en charge pourrait être dû à un mécanisme déclenché par des voies de signalisation de récepteurs phagocytaires et/ou par le traffic précoce sans modification notable de la surface bactérienne.

Par ailleurs, il faut noter que ce phénotype de phagocytose ne se limite pas à M. marinum comme le montre les résultats obtenus chez P. aeruginosa (voir paragraphe 2.3). Les résultats obtenus chez M. bovis BCG suggèrent également qu'il pourrait y avoir un phénotype similaire

chez ce pathogène (voir paragraphe 3.1.2). Cependant, le mécanisme d'action reste inconnu à ce jour mais son étude serait très bénéfique pour la compréhension globale du rôle et de la fonction précise de MgtC.

Les résultats obtenus avec le mutant mgtC de M. marinum sont schématisés dans le tableau suivant. Malgré les phénotypes observés dans l'embryon de danio, il n'y a pas d'impact sur la survie de l'embryon.

Macrophage Ex vivo	Embryon de Danio rerio In vivo
Phagocytose	Phagocytose (Neutrophiles)
Multiplication \(\frac{1}{3} \)	Charge bactérienne
	Neutropénie
	≈ Survie de l'embrye

Tableau 4 – Comparatif des phénotypes observés pour le mutant mgtC de M. marinum par rapport à la souche sauvage dans les modèles d'infection de macrophage et d'embryon de danio.

2.3 Subversion macrophagique chez Pseudomonas aeruginosa

P. aeruginosa est un pathogène extracellulaire. Pourtant, il possède une protéine MgtC dont la fonction principale est de permettre la survie intracellulaire. La protéine MgtC de P. aeruginosa étudiée est cependant phylogénétiquement proche de celles de pathogènes intracellulaires tels que S. Typhimurium ou M. tuberculosis. Cette proximité suggère donc une fonction potentielle commune entre ce pathogène extracellulaire et les pathogènes intracellulaires. De plus une étape intracellulaire dans les cellules épithéliales des voies aériennes pourrait avoir lieu lors de la phase aigüe de l'infection avant la formation de biofilms (caractéristique de la phase chronique de l'infection à Pseudomonas) (Garcia-Medina et al., 2005; Sana et al., 2012).

Bien qu'il semblerait que quelques pathogènes extracellulaires cytotoxiques peuvent survivre dans les macrophages après la phagocytose pour échapper au système immunitaire (Geiger et al., 2012), le comportement intracellulaire de ces pathogènes est peu connu.

Les travaux auxquels j'ai contribué ont permis d'identifier MgtC comme un nouvel acteur jouant un rôle dans la phase intracellulaire du pathogène extracellulaire *P. aeruginosa*, vraisemblablement en favorisant sa résistance face à l'effet bactéricide du macrophage. En ce qui me concerne j'ai essentiellement contribué à ce projet par l'étude du mécanisme mis en jeu.

La cytotoxicité de *P. aeruginosa* envers les cellules de mammifères est liée à la production d'exotoxines et de protéines effectrices injectées via le système de sécrétion de type 3 (T3SS). Un mutant T3SS a le même comportement que le mutant *mgt*C dans l'embryon de Danio, à savoir, une atténuation dépendante de la présence de macrophages (Brannon et al., 2009). Cependant, les phénotypes divergent dans un modèle cellulaire de macrophage. Alors que le mutant *mgt*C est sensible à l'effet bactéricide des macrophages, le mutant T3SS ne l'est pas. Nous proposons que le T3SS agisse vis-à-vis du macrophage (cytotoxicité) lorsque les bactéries sont extracellulaires alors que le rôle de MgtC est important lorsque les bactéries sont dans le macrophage.

Le phénotype observé du mutant mgtC dans les macrophages n'est pas lié à une sensibilité accrue au stress oxydatif qui est l'un des stress intramacrophagique majeur. Aucune différence n'ayant été observée vis-à-vis du stress oxydatif, nous nous sommes intéressés à un autre grand mécanisme de défense de l'hôte contre les bactéries: la baisse de pH du phagosome. C'est ce qui nous a permis de montrer que MgtC de P. aeruginosa était régulé par le pH puisque l'abaissement de pH accentue fortement l'induction de mgtC observée dans des conditions de carence en Mg^{2+} (paragraphe 1.2).

Des expériences préliminaires de visualisation des bactéries dans les macrophages ont montré des bactéries localisées dans les compartiments acides des cellules (colocalisation avec le marquage LAMP2). Nous n'avons pour le moment pas effectué de quantification qui nous permettrait de distinguer la souche sauvage et le mutant mgtC vis-à-vis de leur localisation dans le compartiment acide.

D'une façon très intéressante, l'ajout d'un inhibiteur de la V-ATPase (Bafilomycine A1), dont l'effet est de limiter l'acidification du phagosome, supprime la différence de phénotype entre la souche sauvage et le mutant mgtC. Les deux souches deviennent aussi sensibles l'une que l'autre à l'effet bactéricide des macrophages. On observe deux effets :

- (1) une augmentation de la sensibilité de la souche sauvage. Ceci pourrait être dû au fait que l'acidification contribue à l'expression de gènes importants pour cette étape intramacrophagique. J'ai montré que mgtC serait un de ces gènes car son induction est potentialisée par le pH. En cohérence avec cela, l'expression de mgtC dans les macrophages est diminuée après ajout de Bafilomycine.
- (2) une diminution de la sensibilité du mutant mgtC. Bien que, in vitro, le mutant mgtC ne semble pas être plus sensible que la souche sauvage au stress acide, ex vivo, l'acidification phagosomale contribue à une élimination accrue du mutant mgtC.

Les expériences d'infection de macrophages ont également mis en évidence un phénotype dans la phagocytose. Comme cela a été montré chez M. marinum, la phagocytose du mutant mgtC de P. aeruginosa est augmentée.

L'ensemble de ces résultats a permis de mettre en évidence un rôle de MgtC dans la subversion macrophagique par *P. aeruginosa* dans un modèle d'infection aiguë.

Un parallèle entre les protéines MgtC de S. Typhimurium, pathogène intracellulaire et P. aeruginosa, pathogène extracellulaire est résumé dans la figure 45. Chez S. Typhimurium, l'acidification phagosomale contribuerait à l'expression de la protéine MgtC via une augmentation du niveau d'ATP cytoplasmique (Lee and Groisman, 2012; Lee et al., 2013a).

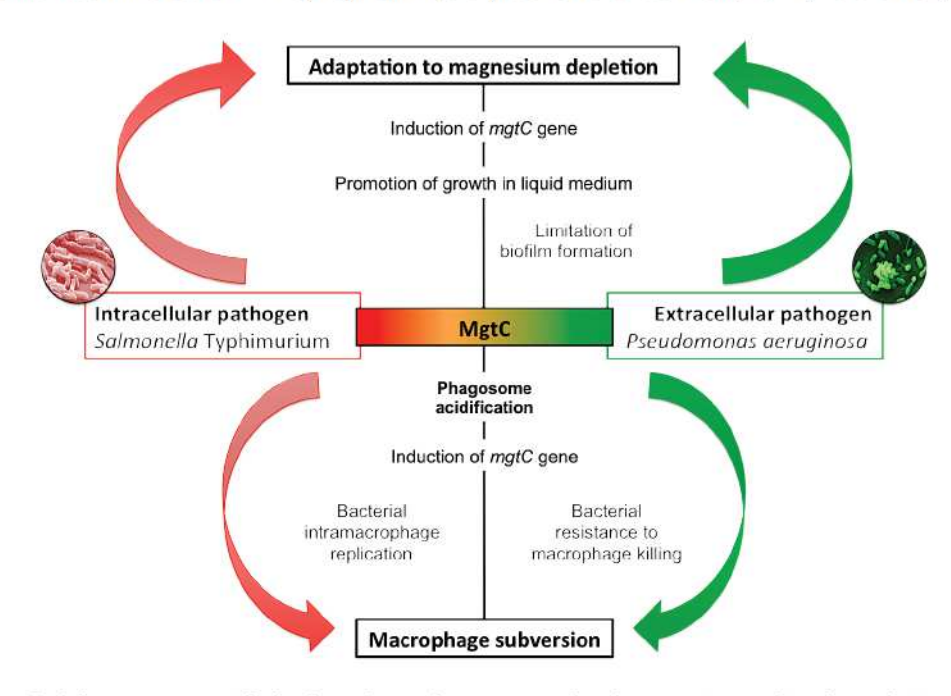


Figure 45 – Schéma comparatif de la subversion macrophagique entre pathogènes intracellulaire et extracellulaire.

3 Propriétés anti-virulence de peptides membranaires

3.1 MgtR comme potentielle molécule thérapeutique dans les infections à P. aeruginosa et mycobactériennes

MgtR est un peptide membranaire identifié chez S. Typhimurium pour réguler négativement le facteur de virulence MgtC par interaction directe, ce qui favoriserait sa dégradation par une protéase FtsH. Bien qu'aucun homologue de MgtR ne soit connu à ce jour, nous avons cherché à utiliser MgtR comme potentielle molécule antagoniste de MgtC de P. aeruginosa et des mycobactéries. Notre objectif était de tester les propriétés « anti-virulence » de MgtR.

3.1.1 Interactions MgtR/MgtC

Chez S. Typhimurium (St), le 4ème domaine transmembranaire (TM4) et la boucle entre les domaines TM3 et TM4 de MgtC ont été impliqués dans l'interaction avec MgtR. De manière plus spécifique, les motifs Ala-coil présents dans MgtR et dans le domaine TM4 de MgtC, joueraient un rôle dans cette interaction.

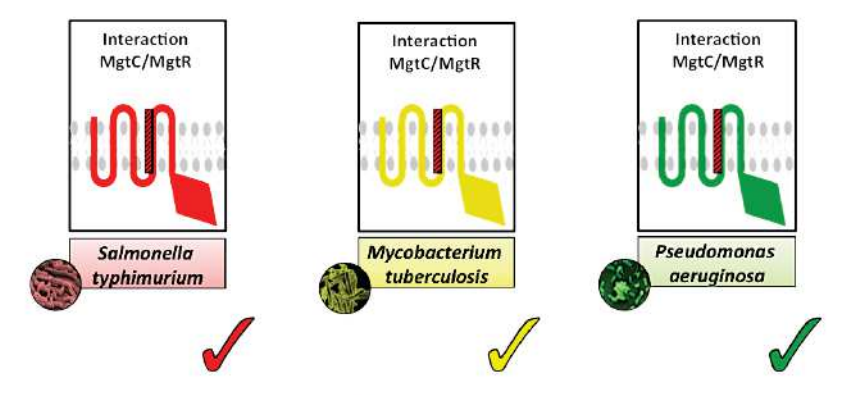
Une analyse de l'interaction entre MgtR et MgtC de M. tuberculosis (MgtC Tb) a été réalisée en utilisant uniquement le domaine TM4 de MgtC (Jean-Francois et al., 2014). Nous avons évalué l'interaction in vivo de MgtR avec les protéines entières de M. tuberculosis, de M. marinum et de P. aeruginosa grâce à un système de double hybride bactérien (BACTH) (figure 46). Le peptide MgtR interagit de manière significative avec les protéines MgtC de M. tuberculosis et de P. aeruginosa. En revanche, le peptide n'interagit pas avec MgtC de M. marinum (MgtC Mma) ce qui est surprenant si on considère la conservation du domaine TM4 chez ce pathogène. Cela suggère que l'interaction MgtR/MgtC Tb pourrait impliquer d'autres résidus que ceux présents dans le domaine TM4. Une hypothèse alternative serait que la topologie de la protéine MgtC Mma pourrait être différente de celle de MgtC Tb et être inadaptée pour l'analyse BACTH. Aucune de ces deux hypothèses n'a été testée expérimentalement.

Interaction

MgtC/MgtR

Mycobacterium

marinum





L'interaction de MgtR/MgtC Tb a été comparée à l'interaction MgtR/MgtC St. Bien que l'interaction MgtR/MgtC Tb soit moins forte qu'avec MgtC St, l'ampleur de l'interaction reste similaire. Cependant, les interactions moléculaires semblent différer puisque des mutations du motif Ala-coil de MgtR ont un effet mineur sur l'interaction avec MgtC Tb en comparaison avec ce qui a été décrit avec MgtC St où l'interaction est abolie par mutagénèse d'un seul résidu du motif. Ceci pourrait être imputé à la plus faible force d'interaction avec MgtC Tb. Cependant, il serait intéressant de tester l'interaction avec une triple mutagénèse du motif Ala-coil de MgtR. En effet, seules des mutagénèses simples ont été réalisées. Il est possible que malgré une interaction un peu moins forte avec MgtC Tb, le motif Ala-coil de MgtR soit nécessaire dans son intégralité pour une interaction optimale.

Par ailleurs, nos expériences de mutagénèse menées sur le motif Ala-coil de MgtC Tb ne nous permettent pas de valider l'un ou l'autre des modèles structuraux proposés pour l'interaction de MgtR avec le domaine TM4 de MgtC Tb. En effet, les interactions restent similaires en présence des deux mutations effectuées pour tester l'un et l'autre des modèles. L'hypothèse déjà émise ci dessus que d'autres domaines TM pourraient être impliqués dans l'interaction, pourrait expliquer ce résultat.

3.1.2 Expression hétérologue de MgtR chez les mycobactéries et chez Pseudomonas aeruginosa et effet anti-virulence

Chez Salmonella, l'expression de MgtC est très finement régulée et la transcription du gène mgtC est très importante en condition d'induction telle que la carence en magnésium. Cependant, la quantité de protéine MgtC reste faible et MgtR a donc été proposé comme un régulateur négatif important pour prévenir un excès de protéine MgtC (Alix and Blanc-Potard, 2008; Lee and Groisman, 2010). Chez M. tuberculosis, la transcription du gène mgtC en conditions d'induction reste limitée et l'expression de MgtC est plutôt basse (Yang et al., 2012b).

Mon objectif initial était d'étudier l'effet « anti-virulence » de MgtR chez la bactérie pathogène M. marinum et d'utiliser les modèles d'infection que j'utilisais pour l'analyse du mutant mgtC de M. marinum. Du fait de l'absence d'interaction entre MgtR et MgtC Mma dans le système BACTH, je me suis concentrée sur l'étude de MgtC Tb. J'ai utilisé pour les tests de virulence, la bactérie M. bovis BCG qui n'est pas le modèle le plus pertinent mais qui a régulièrement été utilisé pour décrypter certains aspects de la pathogenèse mycobactérienne. De plus, M. bovis BCG possède une protéine MgtC strictement identique à celle de M. tuberculosis. Il serait tout de même important de tester les effets chez M. tuberculosis. Pour simplifier, je nommerai MgtC Tb la protéine MgtC de M. bovis BCG.

Chez les mycobactéries, MgtC est impliqué dans la phagocytose (Belon et al., 2014) et dans la réplication intramacrophagique (Buchmeier et al., 2000). Nous avons pu montré que la souche de M. bovis BCG dans laquelle MgtR a été exprimé, présente des phénotypes

similaires à ceux de mutants mgtC de mycobactéries. En effet, dans un modèle d'infection cellulaire de macrophage, la souche exprimant MgtR présente une diminution de la survie intramacrophagique et une augmentation de la phagocytose. Par extrapolation, la protéine MgtC de M. tuberculosis, qui est strictement identique à celle de M. bovis BCG, pourrait également être responsable d'une limitation de la phagocytose du pathogène.

Chez S. Typhimurium, bien que le mécanisme qui conduit à la dégradation de MgtC St reste inconnu, une modification de la conformation de MgtC St sous l'effet de l'interaction avec MgtR pourrait faciliter l'accès à une protéase FtsH. La protéine MgtC Tb ne semble pas soumise à une dégradation lors de l'expression du peptide MgtR puisque qu'aucune différence dans la quantité de protéine provenant de souches exprimant MgtR n'a été montrée par une analyse de Western blot. Cette différence pourrait être associée à la différence d'interaction moléculaire entre MgtR et MgtC St ou MgtC Tb qui pourrait induire des changements conformationels divers.

L'effet de MgtR sur la protéine MgtC Tb n'étant pas la dégradation de la protéine, nous avons émis l'hypothèse que MgtR pourrait interférer dans des interactions de type protéine/protéine. Des expériences d'interaction utilisant le système de double hybride bactérien ont montré que MgtC Tb pouvait dimériser (Yang et al., 2012b). Dans un premier temps, nous avons essayé de réaliser des expériences de triple hybride bactérien pour évaluer l'effet de MgtR de manière endogène, mais sans succès. Nous n'avons jamais réussi à cloner les gènes mgtR et mgtC dans un même vecteur. Nous avons émis l'hypothèse que MgtR pouvait être toxique pour la bactérie dans les conditions expérimentales utilisées. Cependant, nous avons montré que l'ajout de peptide synthétique MgtR de manière exogène permettait d'interférer dans la dimérisation de MgtC Tb. Bien que l'interaction protéine-protéine soit perturbée par ajout de peptide synthétique, elle n'est pas pour autant supprimée. Des expériences préliminaires indiquent cependant que l'effet de MgtR serait dose-dépendant mais le peptide est ajouté dans le milieu à des concentrations relativement importantes et la quantité de peptide qui s'insère à la membrane pour interagir avec MgtC est inconnue.

Puisque MgtR est capable d'interférer dans la dimérisation de MgtC, il est envisageable que MgtR puisse interférer dans les interactions de MgtC avec d'autres protéines. C'est dans ce contexte que nous avons étudié l'interaction de MgtC Tb avec la protéine AtpB (sous-unité de la F-ATP synthase) connue pour interagir avec MgtC St (Lee et al., 2013a). Cependant, aucune interaction n'a été détectée entre MgtC Tb et AtpB Tb dans un système de double hybride bactérien (A. Blanc-Potard). L'ATP synthase étant composée de plusieurs sous-unités, il est possible que l'interaction in vivo soit dépendante de la présence du complexe. Par ailleurs, des différences pourrait exister dans le (ou les) partenaire(s) interagissant avec MgtC entre les différentes espèces.

De la même manière, une souche sauvage de *P. aeruginosa* exprimant le peptide MgtR a été construite et mime les phénotypes de virulence du mutant *mgtC* de *P. aeruginosa*. En effet, la souche exprimant MgtR est atténuée dans un modèle d'infection d'embryon de danio. Dans un modèle d'infection cellulaire de macrophage, la phagocytose est augmentée tout comme l'élimination intramacrophagique. Une souche contrôle a été construite en exprimant le peptide MgtR dans le mutant *mgtC* pour évaluer si les phénotypes observés étaient dépendants de l'interaction spécifique de MgtR avec MgtC Pa. Aucun effet additionnel n'ayant été observé pour cette souche contrôle par rapport au mutant *mgtC*, cela indique que les phénotypes observés sont bien dépendants de l'interaction MgtR/MgtC Pa.

La figure 47 résume les effets « anti-virulence » par expression hétérologue de MgtR chez M. bovis BCG et P. aeruginosa.

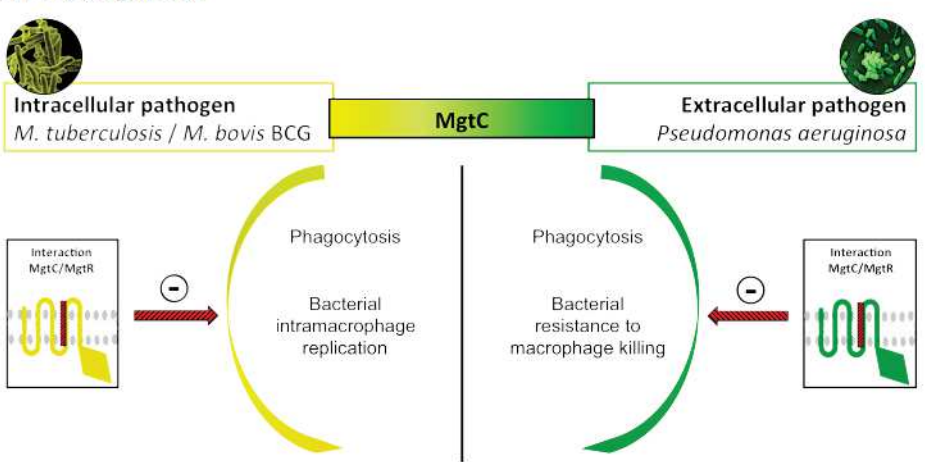


Figure 47 – Effets « anti-virulence » par expression hétérologue de MgtR chez M. bovis BCG et P. aeruginosa.

Les effets « anti-virulence » ont été observés après expression endogène de MgtR. À terme, l'objectif serait d'avoir une molécule inhibitrice ajoutée de façon exogène. Du peptide synthétique a déjà pu être utilisé dans le cadre d'expériences de BACTH mais une synthèse plus importante permettra d'effectuer des tests avec du peptide ajouté de manière exogène dans les expériences d'infection.

3.2 Applications: utilisation de peptides synthétiques comme adjuvant des traitements antibiotiques

Un des objectifs de mon travail de thèse était d'envisager MgtC comme cible thérapeutique. Un premier aspect abordé a été de mettre à profit l'interaction décrite entre MgtC et la F₁F₀ ATP synthase chez S. Typhimurium et la disponibilité de drogues anti-ATP synthase chez M. tuberculosis.

La F₁F₀ ATP synthase mycobactérienne est d'ores et déjà validée comme cible antituberculeuse (Andries et al., 2005). La Bedaquiline (TMC207) est une drogue antituberculeuse membre de la classe des diarylquinolines qui cible cette enzyme et qui a spécifiquement été approuvée par la Food and Drug Administration (FDA) américaine pour le traitement de la tuberculose multirésistante. Malgré une efficacité prouvée, cette drogue s'accompagne de nombreux effets indésirables (Andries et al., 2005; Khan et al., 2013; Koul et al., 2007; Matteelli et al., 2010; 2012, 2013). Très récemment, une étude a présenté de nouveaux inhibiteurs sélectifs de l'ATP synthase mycobactérienne actifs contre M. tuberculosis et non cytotoxiques (Singh et al., 2015).

Nous avons mis à profit le mutant mgtC de M. marinum pour tester sa sensibilité à la bédaquiline par rapport à celle de la souche sauvage (collaboration avec N. Veziris INSERM U1135 – CIMI). Aucune différence n'a été observée mais il serait pertinent de répéter les expériences en condition de carence en Mg^{2+} et avec d'autres inhibiteurs sélectifs.

L'ensemble de ces données conforte notre projet de cibler le facteur de virulence MgtC puisque chez *Salmonella*, il a été montré que sa fonction était de réguler négativement cette ATP synthase bactérienne (sous réserve que chez les mycobactéries et chez *Pseudomonas*, MgtC interagisse aussi avec l'ATP synthase).

Les deux approches ont pour conséquence la perturbation de l'homéostasie de l'ATP mais la stratégie que nous proposons diffère de celle décrite pour l'inhibiteur. Alors que les molécules inhibent l'ATP synthase mycobactérienne, nous voulons au contraire bloquer la régulation négative de l'ATP synthase en inhibant MgtC par des antagonistes naturels à large spectre d'action.

De plus, malgré le fait que les peptides hydrophobes soient particulièrement difficiles à manipuler, l'ensemble des résultats obtenus, à la fois chez *P. aeruginosa* et chez les mycobactéries, est une preuve supplémentaire de la pertinence dans le choix de MgtC en tant que nouvelle cible thérapeutique dans le cadre d'une stratégie anti-virulence et le criblage d'autres molécules pourrait fournir des inhibiteurs potentiels plus simples à manipuler. De manière générale, certains obstacles s'opposent encore à l'utilisation de peptides anti-microbiens comme molécule thérapeutique. Tout d'abord, ces peptides, qui ont une demi-vie courte *in vivo*, pourraient perdre leur activité dans des conditions physiologiques. Ensuite, ils ont généralement une taille supérieure à celle des antibiotiques classiques. Enfin, leur hydrophobicité (Ryan et al., 2013) est un phénomène qui pourrait entrâver les applications cliniques. Malgré tout, des stratégies sont mises en oeuvre pour générer des peptides avec de meilleures activités anti-microbiennes et surmonter ces obstacles (Teng et al., 2015; Wan et al., 2013).

Dans la lutte contre la tuberculose, la combinaison de drogues anti-mycobactériennes avec des peptides anti-mycobactériens permet de prévenir la résistance aux drogues et d'augmenter l'action bactéricide (Devocelle, 2012; Li et al., 2012; Yan et al., 2013). Bien que ces stratégies soient récentes, l'utilisation de peptides synthétiques comme adjuvant des traitements antibiotiques semble être très prometteuse.

V CONCLUSION



Une conclusion, c'est quand vous en avez assez de penser.

H. A. L. Fisher

À l'heure actuelle, parmi les nouvelles stratégies thérapeutiques développées pour contrer l'émergence et la propagation des résistances aux antibiotiques, certaines ont pour but de cibler la virulence bactérienne. Pour cela, deux aspects doivent être envisagés, d'une part, trouver une cible pertinente, d'autre part, développer des molécules thérapeutiques efficaces.

Mes travaux de thèse reposent sur cette approche innovante. En effet, je me suis intéressée au facteur de virulence MgtC afin de valider cette protéine comme cible potentielle dans le cadre d'une stratégie anti-virulence. Pour cela, j'ai étudié le rôle et la régulation de MgtC chez des pathogènes majeurs, les mycobactéries et *Pseudomonas aeruginosa*.

MgtC est impliqué dans la survie intramacrophagique de nombreux pathogènes intracellulaires. Chez Salmonella l'expression de la protéine MgtC est très finement régulée. L'aspect fondamental de mes recherches m'a permis de mettre en évidence un nouveau rôle de MgtC dans la phagocytose. J'ai également contribué à une étude sur le rôle de MgtC chez un pathogène extracellulaire, P. aeruginosa. Dans cette étude, j'ai abordé la régulation de MgtC dans les macrophages et cherché à décrypter la contribution intracellulaire de MgtC. L'ensemble des résultats obtenus a permis de découvrir un rôle non suspecté de MgtC à une étape précoce de l'infection macrophagique et de montrer que, d'une façon inattendue, MgtC joue un rôle lors d'une étape intramacrophagique chez P. aeruginosa. Ces travaux constituent donc une avancée dans la compréhension des fonctions de virulence impliquant MgtC.

Une seconde partie de mon travail de thèse repose sur l'étude d'un peptide naturel antagoniste de MgtC. Il s'agit de MgtR dont j'ai évalué les potentialités anti-virulence chez les mycobactéries et *P. aeruginosa*. Des résultats très prometteurs ont été obtenus avec la mise en évidence de propriétés « anti-virulence » du peptide MgtR, dont l'expression mime les phénotypes observés suite à l'inactivation du gène mgtC. Cependant, les expériences ont été réalisées en utilisant du peptide exprimé de manière endogène par les bactéries et l'objectif futur est d'avoir une molécule exogène efficace. Malgré les contraintes techniques qu'entrainerait l'utilisation exogène de ce type de molécule, les résultats obtenus confirment le choix de cibler le facteur de virulence MgtC et nous encouragent à envisager d'utiliser MgtR ou d'autres molécules inhibitrices de MgtC pour développer de nouvelles molécules thérapeutiques.

VI BIBLIOGRAPHIE





Abadie, V., Badell, E., Douillard, P., Ensergueix, D., Leenen, P.J.M., Tanguy, M., Fiette, L., Saeland, S., Gicquel, B., and Winter, N. (2005). Neutrophils rapidly migrate via lymphatics after *Mycobacterium bovis* BCG intradermal vaccination and shuttle live bacilli to the draining lymph nodes. Blood *106*, 1843–1850.

Alegado, R.A., Chin, C.-Y., Monack, D.M., and Tan, M.-W. (2011). The two-component sensor kinase KdpD is required for *Salmonella* typhimurium colonization of *Caenorhabditis elegans* and survival in macrophages. Cell. Microbiol. 13, 1618–1637.

Alibaud, L., Pawelczyk, J., Gannoun-Zaki, L., Singh, V.K., Rombouts, Y., Drancourt, M., Dziadek, J., Guérardel, Y., and Kremer, L. (2014). Increased phagocytosis of *Mycobacterium marinum* mutants defective in lipooligosaccharide production. J. Biol. Chem. 289, 215–228.

Alix, E., and Blanc-Potard, A.-B. (2007). MgtC: a key player in intramacrophage survival. Trends Microbiol. 15, 252–256.

Alix, E., and Blanc-Potard, A.-B. (2008). Peptide-assisted degradation of the *Salmonella MgtC* virulence factor. EMBO J. 27, 546–557.

Alix, E., and Blanc-Potard, A.-B. (2009). Hydrophobic peptides: novel regulators within bacterial membrane. Mol. Microbiol. 72, 5–11.

Alix, E., Godreuil, S., and Blanc-Potard, A.-B. (2006). Identification of a Haarlem genotype-specific single nucleotide polymorphism in the *mgtC* virulence gene of *Mycobacterium tuberculosis*. J. Clin. Microbiol. 44, 2093–2098.

Allen, R.C., Popat, R., Diggle, S.P., and Brown, S.P. (2014). Targeting virulence: can we make evolution-proof drugs? Nat. Rev. Microbiol. 12, 300–308.

Amiel, E., Lovewell, R.R., O'Toole, G.A., Hogan, D.A., and Berwin, B. (2010). *Pseudomonas aeruginosa* evasion of phagocytosis is mediated by loss of swimming motility and is independent of flagellum expression. Infect. Immun. 78, 2937–2945.

Andries, K., Verhasselt, P., Guillemont, J., Göhlmann, H.W.H., Neefs, J.-M., Winkler, H., Gestel, J.V., Timmerman, P., Zhu, M., Lee, E., et al. (2005). A diarylquinoline drug active on the ATP synthase of *Mycobacterium tuberculosis*. Science 307, 223–227.

Appelberg, R. (2006). Macrophage nutriprive antimicrobial mechanisms. J. Leukoc. Biol. 79, 1117-1128.

Arnoulet, C., and Sebahoun, G. (2005). Neutropénie. In Hématologie Clinique et Biologique, (Sebahoun), pp. 135–139.

Astarie-Dequeker, C., Le Guyader, L., Malaga, W., Seaphanh, F.-K., Chalut, C., Lopez, A., and Guilhot, C. (2009). Phthiocerol dimycocerosates of M. tuberculosis participate in macrophage invasion by inducing changes in the organization of plasma membrane lipids. PLoS Pathog 5, e1000289.

Astarie-Dequeker, C., Nigou, J., Passemar, C., and Guilhot, C. (2010). The role of mycobacterial lipids in host pathogenesis. Drug Discov. Today Dis. Mech. 7, e33–e41.

B

Bader, M.W., Sanowar, S., Daley, M.E., Schneider, A.R., Cho, U., Xu, W., Klevit, R.E., Le Moual, H., and Miller, S.I. (2005). Recognition of antimicrobial peptides by a bacterial sensor kinase. Cell 122, 461–472.

Baker, T.A., and Sauer, R.T. (2006). ATP-dependent proteases of bacteria: recognition logic and operating principles. Trends Biochem. Sci. 31, 647–653.

Barczak, A.K., and Hung, D.T. (2009). Productive steps toward an antimicrobial targeting virulence. Curr. Opin. Microbiol. 12, 490–496.

Belon, C., Gannoun-Zaki, L., Lutfalla, G., Kremer, L., and Blanc-Potard, A.-B. (2014). Mycobacterium marinum MgtC plays a role in phagocytosis but is dispensable for intracellular multiplication. PLoS ONE 9, e116052.

Bernut, A., Herrmann, J.-L., Kissa, K., Dubremetz, J.-F., Gaillard, J.-L., Lutfalla, G., and Kremer, L. (2014). *Mycobacterium abscessus* cording prevents phagocytosis and promotes abscess formation. Proc. Natl. Acad. Sci. 111, E943–E952.

Berón, W., Alvarez-Dominguez, C., Mayorga, L., and Stahl, P.D. (1995). Membrane trafficking along the phagocytic pathway. Trends Cell Biol. 5, 100–104.

Le Berre, R., Nguyen, S., Nowak, E., Kipnis, E., Pierre, M., Quenee, L., Ader, F., Lancel, S., Courcol, R., Guery, B.P., et al. (2011). Relative contribution of three main virulence factors in *Pseudomonas aeruginosa* pneumonia. Crit. Care Med. 39, 2113–2120.

Bittar, F., Richet, H., Dubus, J.-C., Reynaud-Gaubert, M., Stremler, N., Sarles, J., Raoult, D., and Rolain, J.-M. (2008). Molecular detection of multiple emerging pathogens in sputa from cystic fibrosis patients. PLoS ONE 3, e2908.

Blanc-Potard, A.-B., and Groisman, E.A. (1997). The *Salmonella selC* locus contains a pathogenicity island mediating intramacrophage survival. EMBO J. 16, 5376–5385.

Blanc-Potard, A.-B., and Lafay, B. (2003). MgtC as a horizontally-acquired virulence factor of intracellular bacterial pathogens: evidence from molecular phylogeny and comparative genomics. J. Mol. Evol. *57*, 479–486.

Blanc-Potard, A.-B., Solomon, F., Kayser, J., and Groisman, E.A. (1999). The SPI-3 Pathogenicity Island of Salmonella enterica. J. Bacteriol. 181, 998–1004.

Bold, T.D., and Ernst, J.D. (2009). Who benefits from granulomas, mycobacteria or host? Cell 136, 17–19.

Borregaard, N., Sørensen, O.E., and Theilgaard-Mönch, K. (2007). Neutrophil granules: a library of innate immunity proteins. Trends Immunol. 28, 340–345.

Botella, H., Stadthagen, G., Lugo-Villarino, G., de Chastellier, C., and Neyrolles, O. (2012). Metallobiology of host–pathogen interactions: an intoxicating new insight. Trends Microbiol. 20, 106–112.

Brannon, M.K., Davis, J.M., Mathias, J.R., Hall, C.J., Emerson, J.C., Crosier, P.S., Huttenlocher, A., Ramakrishnan, L., and Moskowitz, S.M. (2009). *Pseudomonas aeruginosa* Type III secretion system interacts with phagocytes to modulate systemic infection of zebrafish embryos. Cell. Microbiol. 11, 755–768.

Brennan, P.J., and Nikaido, H. (1995). The envelope of mycobacteria. Annu. Rev. Biochem. 64, 29–63.

Brosch, R., Gordon, S.V., Marmiesse, M., Brodin, P., Buchrieser, C., Eiglmeier, K., Garnier, T., Gutierrez, C., Hewinson, G., Kremer, K., et al. (2002). A new evolutionary scenario for the *Mycobacterium tuberculosis* complex. Proc. Natl. Acad. Sci. U. S. A. 99, 3684–3689.

Buchmeier, N., Blanc-Potard, A., Ehrt, S., Piddington, D., Riley, L., and Groisman, E.A. (2000). A parallel intraphagosomal survival strategy shared by Mycobacterium tuberculosis and Salmonella enterica. Mol. Microbiol. 35, 1375–1382.

Buddenkotte, J., Stroh, C., Engels, I.H., Moormann, C., Shpacovitch, V.M., Seeliger, S., Vergnolle, N., Vestweber, D., Luger, T.A., Schulze-Osthoff, K., et al. (2005). Agonists of proteinase-activated receptor-2 stimulate upregulation of intercellular cell adhesion molecule-1 in primary human keratinocytes via activation of NF-kappa B. J. Invest. Dermatol. 124, 38–45.

C

Cegelski, L., Marshall, G.R., Eldridge, G.R., and Hultgren, S.J. (2008). The biology and future prospects of antivirulence therapies. Nat. Rev. Microbiol. 6, 17–27.

Chan, J., Fan, X.D., Hunter, S.W., Brennan, P.J., and Bloom, B.R. (1991). Lipoarabinomannan, a possible virulence factor involved in persistence of *Mycobacterium tuberculosis* within macrophages. Infect. Immun. *59*, 1755–1761.

Chen, null, Langer, null, and Edwards, null (1997). A film tension theory of phagocytosis. J. Colloid Interface Sci. 190, 118–133.

Cho, U.S., Bader, M.W., Amaya, M.F., Daley, M.E., Klevit, R.E., Miller, S.I., and Xu, W. (2006). Metal bridges between the PhoQ sensor domain and the membrane regulate transmembrane signaling. J. Mol. Biol. 356, 1193–1206.

Choi, E., Lee, K.-Y., and Shin, D. (2012). The MgtR regulatory peptide negatively controls expression of the MgtA Mg²⁺ transporter in *Salmonella enterica* serovar Typhimurium. Biochem. Biophys. Res. Commun. 417, 318–323.

Chua, J., and Deretic, V. (2004). Mycobacterium tuberculosis reprograms waves of phosphatidylinositol 3-phosphate on phagosomal organelles. J. Biol. Chem. 279, 36982–36992.

Clatworthy, A.E., Lee, J.S.-W., Leibman, M., Kostun, Z., Davidson, A.J., and Hung, D.T. (2009). *Pseudomonas aeruginosa* infection of zebrafish involves both host and pathogen determinants. Infect. Immun. 77, 1293–1303.

Clay, H., Davis, J.M., Beery, D., Huttenlocher, A., Lyons, S.E., and Ramakrishnan, L. (2007). Dichotomous role of the macrophage in early *Mycobacterium marinum* infection of the zebrafish. Cell Host Microbe 2, 29–39.

Clemens, D.L., and Horwitz, M.A. (1996). The *Mycobacterium tuberculosis* phagosome interacts with early endosomes and is accessible to exogenously administered transferrin. J. Exp. Med. 184, 1349–1355.

Coggan, K.A., and Wolfgang, M.C. (2012). Global regulatory pathways and cross-talk control *Pseudomonas aeruginosa* environmental lifestyle and virulence phenotype. Curr. Issues Mol. Biol. 14, 47–70.

Cole, S.T., Brosch, R., Parkhill, J., Garnier, T., Churcher, C., Harris, D., Gordon, S.V., Eiglmeier, K., Gas, S., Barry, C.E., et al. (1998). Deciphering the biology of *Mycobacterium tuberculosis* from the complete genome sequence. Nature 393, 537–544.

Collins, C.A., De Maziere, A., van Dijk, S., Carlsson, F., Klumperman, J., and Brown, E.J. (2009). Atg5-independent sequestration of ubiquitinated mycobacteria. PLoS Pathog. 5, e1000430.

Colucci-Guyon, E., Tinevez, J.-Y., Renshaw, S.A., and Herbomel, P. (2011). Strategies of professional phagocytes in vivo: unlike macrophages, neutrophils engulf only surface-associated microbes. J. Cell Sci. 124, 3053–3059.

Corleis, B., Korbel, D., Wilson, R., Bylund, J., Chee, R., and Schaible, U.E. (2012). Escape of *Mycobacterium tuberculosis* from oxidative killing by neutrophils. Cell. Microbiol. 14, 1109–1121.

Coutinho, H.D.M., Falcão-Silva, V.S., and Gonçalves, G.F. (2008). Pulmonary bacterial pathogens in cystic fibrosis patients and antibiotic therapy: a tool for the health workers. Int. Arch. Med. 1, 24.

Cox, J.S., Chen, B., McNeil, M., and Jacobs, W.R. (1999). Complex lipid determines tissue-specific replication of *Mycobacterium tuberculosis* in mice. Nature 402, 79–83.

Cruz, A., Fraga, A.G., Fountain, J.J., Rangel-Moreno, J., Torrado, E., Saraiva, M., Pereira, D.R., Randall, T.D., Pedrosa, J., Cooper, A.M., et al. (2010). Pathological role of interleukin 17 in mice subjected to repeated BCG vaccination after infection with *Mycobacterium tuberculosis*. J. Exp. Med. 207, 1609–1616.

Cystic Fibrosis Foundation (2011). Patient Registry 2011 Annual Report (Bethesda, MD, USA: Cystic Fibrosis Foundation).

D

Daffé, M., and Draper, P. (1998). The envelope layers of mycobacteria with reference to their pathogenicity. Adv. Microb. Physiol. 39, 131–203.

Daniel, J., Maamar, H., Deb, C., Sirakova, T.D., and Kolattukudy, P.E. (2011). Mycobacterium tuberculosis uses host triacylglycerol to accumulate lipid droplets and acquires a dormancy-like phenotype in lipid-loaded macrophages. PLoS Pathog. 7, e1002093.

Datta, A.B., Roy, S., and Parrack, P. (2005). Role of C-terminal residues in oligomerization and stability of lambda CII: implications for lysis-lysogeny decision of the phage. J. Mol. Biol. 345, 315–324.

Davey, M.S., Tamassia, N., Rossato, M., Bazzoni, F., Calzetti, F., Bruderek, K., Sironi, M., Zimmer, L., Bottazzi, B., Mantovani, A., et al. (2011). Failure to detect production of IL-10 by activated human neutrophils. Nat. Immunol. 12, 1017–1018.

Davis, J.M., and Ramakrishnan, L. (2009). The role of the granuloma in expansion and dissemination of early tuberculous infection. Cell 136, 37–49.

Davis, J.M., Clay, H., Lewis, J.L., Ghori, N., Herbomel, P., and Ramakrishnan, L. (2002). Real-time visualization of *Mycobacterium*-macrophage interactions leading to initiation of granuloma formation in zebrafish embryos. Immunity *17*, 693–702.

Devocelle, M. (2012). Targeted antimicrobial peptides. Front. Immunol. 3.

Devulder, G., Montclos, M.P. de, and Flandrois, J.P. (2005). A multigene approach to phylogenetic analysis using the genus *Mycobacterium* as a model. Int. J. Syst. Evol. Microbiol. *55*, 293–302.

Domenech, P., Reed, M.B., and Barry, C.E. (2005). Contribution of the Mycobacterium tuberculosis MmpL protein family to virulence and drug resistance. Infect. Immun. 73, 3492–3501.

Döring, G., Flume, P., Heijerman, H., and Elborn, J.S. (2012). Treatment of lung infection in patients with cystic fibrosis: Current and future strategies. J. Cyst. Fibros. 11, 461–479.

Dougan, D.A., Mogk, A., Zeth, K., Turgay, K., and Bukau, B. (2002). AAA+ proteins and substrate recognition, it all depends on their partner in crime. FEBS Lett. 529, 6–10.

Dulon, S., Leduc, D., Cottrell, G.S., D'Alayer, J., Hansen, K.K., Bunnett, N.W., Hollenberg, M.D., Pidard, D., and Chignard, M. (2005). *Pseudomonas aeruginosa* elastase disables proteinase-activated receptor 2 in respiratory epithelial cells. Am. J. Respir. Cell Mol. Biol. 32, 411–419.

Dunn, P.L., and North, R.J. (1995). Virulence ranking of some *Mycobacterium tuberculosis* and *Mycobacterium bovis* strains according to their ability to multiply in the lungs, induce lung pathology, and cause mortality in mice. Infect. Immun. 63, 3428–3437.

E

Engel, J., and Balachandran, P. (2009). Role of *Pseudomonas aeruginosa* type III effectors in disease. Curr. Opin. Microbiol. 12, 61–66.

Eriksson, S., Lucchini, S., Thompson, A., Rhen, M., and Hinton, J.C.D. (2003). Unravelling the biology of macrophage infection by gene expression profiling of intracellular *Salmonella enterica*. Mol. Microbiol. 47, 103–118.

F

Fang, F.C. (2004). Antimicrobial reactive oxygen and nitrogen species: concepts and controversies. Nat. Rev. Microbiol. 2, 820–832.

Ferrari, G., Langen, H., Naito, M., and Pieters, J. (1999). A coat protein on phagosomes involved in the intracellular survival of mycobacteria. Cell 97, 435–447.

Fialkow, L., Wang, Y., and Downey, G.P. (2007). Reactive oxygen and nitrogen species as signaling molecules regulating neutrophil function. Free Radic. Biol. Med. 42, 153–164.

Fine, M., Smith, M., Carson, C., Mutha, S., Sankey, S., Weissfeld, L., and Kapoor, W. (1996). Prognosis and outcomes of patients with community-acquired pneumonia: A meta-analysis. JAMA 275, 134–141.

Flannagan, R.S., Jaumouillé, V., and Grinstein, S. (2012). The cell biology of phagocytosis. Annu. Rev. Pathol. Mech. Dis. 7, 61–98.

Folkesson, A., Jelsbak, L., Yang, L., Johansen, H.K., Ciofu, O., Høiby, N., and Molin, S. (2012). Adaptation of *Pseudomonas aeruginosa* to the cystic fibrosis airway: an evolutionary perspective. Nat. Rev. Microbiol. 10, 841–851.

Fortier, A., Min-Oo, G., Forbes, J., Lam-Yuk-Tseung, S., and Gros, P. (2005). Single gene effects in mouse models of host: pathogen interactions. J. Leukoc. Biol. 77, 868–877.

Fratti, R.A., Backer, J.M., Gruenberg, J., Corvera, S., and Deretic, V. (2001). Role of phosphatidylinositol 3-kinase and Rab5 effectors in phagosomal biogenesis and mycobacterial phagosome maturation arrest. J. Cell Biol. 154, 631–644.

Freeman, Z.N., Dorus, S., and Waterfield, N.R. (2013). The KdpD/KdpE two-component system: integrating K+homeostasis and virulence. PLoS Pathog. 9, e1003201.

Froschauer, E.M., Kolisek, M., Dieterich, F., Schweigel, M., and Schweyen, R.J. (2004). Fluorescence measurements of free [Mg²⁺] by use of mag-fura 2 in *Salmonella enterica*. FEMS Microbiol. Lett. 237, 49–55.

Frymier, J.S., Reed, T.D., Fletcher, S.A., and Csonka, L.N. (1997). Characterization of transcriptional regulation of the kdp operon of Salmonella typhimurium. J. Bacteriol. 179, 3061–3063.

Fu, L.M. (2003). The potential of human neutrophil peptides in tuberculosis therapy. Int. J. Tuberc. Lung Dis. Off. J. Int. Union Tuberc. Lung Dis. 7, 1027–1032.

G

Gagneux, S., and Small, P.M. (2007). Global phylogeography of *Mycobacterium tuberculosis* and implications for tuberculosis product development. Lancet Infect. Dis. 7, 328–337.

Gannoun-Zaki, L., Alibaud, L., Carrère-Kremer, S., Kremer, L., and Blanc-Potard, A.-B. (2013). Overexpression of the KdpF membrane peptide in *Mycobacterium bovis BCG* results in reduced intramacrophage growth and altered cording morphology. PLoS ONE 8, e60379.

Gao, L.-Y., Guo, S., McLaughlin, B., Morisaki, H., Engel, J.N., and Brown, E.J. (2004). A mycobacterial virulence gene cluster extending RD1 is required for cytolysis, bacterial spreading and ESAT-6 secretion. Mol. Microbiol. 53, 1677–1693.

García-Contreras, R., Martínez-Vázquez, M., Guadarrama, N.V., Pañeda, A.G.V., Hashimoto, T., Maeda, T., Quezada, H., and Wood, T.K. (2013). Resistance to the quorum-quenching compounds brominated furanone C-30 and 5-fluorouracil in *Pseudomonas aeruginosa* clinical isolates. Pathog. Dis. 68, 8–11.

Garcia-Medina, R., Dunne, W.M., Singh, P.K., and Brody, S.L. (2005). *Pseudomonas aeruginosa* acquires biofilm-like properties within airway epithelial cells. Infect. Immun. 73, 8298–8305.

Gaßel, M., Möllenkamp, T., Puppe, W., and Altendorf, K. (1999). The KdpF subunit is part of the K⁺-translocating Kdp complex of *Escherichia coli* and is responsible for stabilization of the complex *in vitro*. J. Biol. Chem. 274, 37901–37907.

Gastebois, A., Potard, A.-B.B., Gribaldo, S., Beau, R., Latgé, J.P., and Mouyna, I. (2011). Phylogenetic and functional analysis of Aspergillus fumigatus MgtC, a fungal protein homologous to a bacterial virulence factor. Appl. Environ. Microbiol. 77, 4700–4703.

Geiger, T., Francois, P., Liebeke, M., Fraunholz, M., Goerke, C., Krismer, B., Schrenzel, J., Lalk, M., and Wolz, C. (2012). The stringent response of *Staphylococcus aureus* and its impact on survival after phagocytosis through the induction of intracellular PSMs expression. PLoS Pathog. 8, e1003016.

Gennaro, R., and Zanetti, M. (2000). Structural features and biological activities of the cathelicidinderived antimicrobial peptides. Biopolymers 55, 31–49.

Gilljam, M., Scherstén, H., Silverborn, M., Jönsson, B., and Ericsson Hollsing, A. (2010). Lung transplantation in patients with cystic fibrosis and *Mycobacterium abscessus* infection. J. Cyst. Fibros. Off. J. Eur. Cyst. Fibros. Soc. 9, 272–276.

Gokhale, R.S., Saxena, P., Chopra, T., and Mohanty, D. (2007). Versatile polyketide enzymatic machinery for the biosynthesis of complex mycobacterial lipids. Nat. Prod. Rep. 24, 267–277.

Gordon, S.V., Bottai, D., Simeone, R., Stinear, T.P., and Brosch, R. (2009). Pathogenicity in the tubercle bacillus: molecular and evolutionary determinants. BioEssays 31, 378–388.

Grabenstein, J.P., Fukuto, H.S., Palmer, L.E., and Bliska, J.B. (2006). Characterization of phagosome trafficking and identification of PhoP-regulated genes important for survival of *Yersinia pestis* in macrophages. Infect. Immun. 74, 3727–3741.

Greie, J.-C. (2011). The KdpFABC complex from *Escherichia coli*: A chimeric K⁺ transporter merging ion pumps with ion channels. Eur. J. Cell Biol. 90, 705–710.

Greie, J.-C., and Altendorf, K. (2007). The K⁺-translocating KdpFABC complex from Escherichia coli: A P-type ATPase with unique features. J. Bioenerg. Biomembr. 39, 397–402.

Grode, L., Seiler, P., Baumann, S., Hess, J., Brinkmann, V., Nasser Eddine, A., Mann, P., Goosmann, C., Bandermann, S., Smith, D., et al. (2005). Increased vaccine efficacy against tuberculosis of recombinant *Mycobacterium bovis* bacille Calmette-Guérin mutants that secrete listeriolysin. J. Clin. Invest. 115, 2472–2479.

Guirado, E., Schlesinger, L.S., and Kaplan, G. (2013). Macrophages in tuberculosis: friend or foe. Semin. Immunopathol. 35, 563–583.

Günzel, D., Kucharski, L.M., Kehres, D.G., Romero, M.F., and Maguire, M.E. (2006). The MgtC virulence factor of *Salmonella enterica* serovar Typhimurium activates Na⁺,K⁺-ATPase. J. Bacteriol. 188, 5586–5594.

H

Hagedorn, M., Rohde, K.H., Russell, D.G., and Soldati, T. (2009). Infection by tubercular mycobacteria is spread by nonlytic ejection from their amoeba hosts. Science 323, 1729–1733.

ben Haj Khalifa, A., Moissenet, D., Vu Thien, H., and Khedher, M. (2011). Virulence factors in *Pseudomonas aeruginosa*: mechanisms and modes of regulation. Ann. Biol. Clin. (Paris) 69, 393–403.

Hamann, K., Zimmann, P., and Altendorf, K. (2008). Reduction of turgor is not the stimulus for the sensor kinase KdpD of Escherichia coli. J. Bacteriol. 190, 2360–2367.

Hauser, A.R. (2009). The type III secretion system of *Pseudomonas aeruginosa*: infection by injection. Nat. Rev. Microbiol. 7, 654–665.

Hemm, M.R., Paul, B.J., Schneider, T.D., Storz, G., and Rudd, K.E. (2008). Small membrane proteins found by comparative genomics and ribosome binding site models. Mol. Microbiol. 70, 1487–1501.

Hemm, M.R., Paul, B.J., Miranda-Ríos, J., Zhang, A., Soltanzad, N., and Storz, G. (2010). Small stress response proteins in *Escherichia coli*: proteins missed by classical proteomic studies. J. Bacteriol. 192, 46–58.

Hobbs, E.C., Astarita, J.L., and Storz, G. (2010). Small RNAs and small proteins Involved in resistance to cell envelope stress and acid shock in *Escherichia coli*: analysis of a bar-coded mutant collection. J. Bacteriol. 192, 59–67.

Hogardt, M., and Heesemann, J. (2010). Adaptation of *Pseudomonas aeruginosa* during persistence in the cystic fibrosis lung. Int. J. Med. Microbiol. 300, 557–562.

Høiby, N., Ciofu, O., and Bjarnsholt, T. (2010). *Pseudomonas aeruginosa* biofilms in cystic fibrosis. Future Microbiol. 5, 1663–1674.

Hoshino, Y., Hoshino, S., Gold, J.A., Raju, B., Prabhakar, S., Pine, R., Rom, W.N., Nakata, K., and Weiden, M. (2007). Mechanisms of polymorphonuclear neutrophil-mediated induction of HIV-1 replication in macrophages during pulmonary tuberculosis. J. Infect. Dis. 195, 1303–1310.

Hoskins, J.R., and Wickner, S. (2006). Two peptide sequences can function cooperatively to facilitate binding and unfolding by CIpA and degradation by CIpAP. Proc. Natl. Acad. Sci. U. S. A. 103, 909–914.

Houben, D., Demangel, C., van Ingen, J., Perez, J., Baldeón, L., Abdallah, A.M., Caleechum, L., Bottai, D., van Zon, M., de Punder, K., et al. (2012). ESX-1-mediated translocation to the cytosol controls virulence of mycobacteria. Cell. Microbiol. 14, 1287–1298.

Hu, J., Qin, H., Li, C., Sharma, M., Cross, T.A., and Gao, F.P. (2007). Structural biology of transmembrane domains: efficient production and characterization of transmembrane peptides by NMR. Protein Sci. Publ. Protein Soc. 16, 2153–2165.

Hung, D.T., Shakhnovich, E.A., Pierson, E., and Mekalanos, J.J. (2005). Small-molecule inhibitor of *Vibrio cholerae* virulence and intestinal colonization. Science 310, 670–674.

Hunt, T.A., Kooi, C., Sokol, P.A., and Valvano, M.A. (2004). Identification of *Burkholderia cenocepacia* genes required for bacterial survival *in vivo*. Infect. Immun. 72, 4010–4022.

Ibrahim, M., Nicolas, P., Bessières, P., Bolotin, A., Monnet, V., and Gardan, R. (2007). A genome-wide survey of short coding sequences in streptococci. Microbiol. Read. Engl. 153, 3631–3644.

Ito, K., and Akiyama, Y. (2005). Cellular functions, mechanism of action, and regulation of FtsH protease. Annu. Rev. Microbiol. 59, 211–231.

Jain, K., and Smyth, A.R. (2012). Current dilemmas in antimicrobial therapy in cystic fibrosis. Expert Rev. Respir. Med. 6, 407–422.

Jankowski, A., and Grinstein, S. (2002). Modulation of the cytosolic and phagosomal pH by the NADPH oxidase. Antioxid. Redox Signal. 4, 61–68.

Jankowski, A., Scott, C.C., and Grinstein, S. (2002). Determinants of the phagosomal pH in neutrophils. J. Biol. Chem. 277, 6059–6066.

Jean-Francois, F.L., Dai, J., Yu, L., Myrick, A., Rubin, E., Fajer, P.G., Song, L., Zhou, H.-X., and Cross, T.A. (2014). Binding of MgtR, a *Salmonella* transmembrane regulatory peptide, to MgtC, a *Mycobacterium* tuberculosis virulence factor: a structural study. J. Mol. Biol. 426, 436–446.

K

Kaisho, T., and Akira, S. (2000). Critical roles of Toll-like receptors in host defense. Crit. Rev. Immunol. 20, 393–405.

Kan-Sutton, C., Jagannath, C., and Hunter, R.L. (2009). Trehalose 6.6'-dimycolate on the surface of *Mycobacterium tuberculosis* modulates surface marker expression for antigen presentation and costimulation in murine macrophages. Microbes Infect. Inst. Pasteur 11, 40–48.

Khan, S.R., Singh, S., Roy, K.K., Akhtar, M.S., Saxena, A.K., and Krishnan, M.Y. (2013). Biological evaluation of novel substituted chloroquinolines targeting mycobacterial ATP synthase. Int. J. Antimicrob. Agents 41, 41–46.

Kinchen, J.M., and Ravichandran, K.S. (2008). Phagosome maturation: going through the acid test. Nat. Rev. Mol. Cell Biol. 9, 781–795.

Kohler, S., Foulongne, V., Ouahrani-Bettache, S., Bourg, G., Teyssier, J., Ramuz, M., and Liautard, J.-P. (2002). The analysis of the intramacrophagic virulome of *Brucella suis* deciphers the environment encountered by the pathogen inside the macrophage host cell. Proc. Natl. Acad. Sci. U. S. A. 99, 15711–15716.

Koul, A., Dendouga, N., Vergauwen, K., Molenberghs, B., Vranckx, L., Willebrords, R., Ristic, Z., Lill, H., Dorange, I., Guillemont, J., et al. (2007). Diarylquinolines target subunit c of mycobacterial ATP synthase. Nat. Chem. Biol. 3, 323–324.

Kreda, S.M., Davis, C.W., and Rose, M.C. (2012). CFTR, mucins, and mucus obstruction in cystic fibrosis. Cold Spring Harb. Perspect. Med. 2.

Krieg, D.P., Helmke, R.J., German, V.F., and Mangos, J.A. (1988). Resistance of mucoid *Pseudomonas* aeruginosa to nonopsonic phagocytosis by alveolar macrophages in vitro. Infect. Immun. 56, 3173–3179.

L

Lavigne, J.-P., O'Callaghan, D., and Blanc-Potard, A.-B. (2005). Requirement of MgtC for *Brucella suis* intramacrophage growth: a potential mechanism shared by *Salmonella enterica* and *Mycobacterium tuberculosis* for adaptation to a low-Mg²⁺ environment. Infect. Immun. 73, 3160–3163.

Lawley, T.D., Chan, K., Thompson, L.J., Kim, C.C., Govoni, G.R., and Monack, D.M. (2006). Genome-wide screen for *Salmonella* genes required for long-term systemic infection of the mouse. PLoS Pathog 2, e11.

Lawrence, J.G., and Ochman, H. (2002). Reconciling the many faces of lateral gene transfer. Trends Microbiol. 10, 1–4.

Lee, E.-J., and Groisman, E.A. (2010). An antisense RNA that governs the expression kinetics of a multifunctional virulence gene. Mol. Microbiol. 76, 1020–1033.

Lee, E.-J., and Groisman, E.A. (2012). Control of a Salmonella virulence locus by an ATP-sensing leader messenger RNA. Nature 486, 271–275.

Lee, E.-J., Pontes, M.H., and Groisman, E.A. (2013a). A bacterial virulence protein promotes pathogenicity by inhibiting the bacterium's own F₁F₀ ATP synthase. Cell *154*, 146–156.

Lee, W., VanderVen, B.C., Fahey, R.J., and Russell, D.G. (2013b). Intracellular Mycobacterium tuberculosis exploits host-derived fatty acids to limit metabolic stress. J. Biol. Chem. 288, 6788–6800.

Leto, T.L., and Geiszt, M. (2006). Role of Nox family NADPH oxidases in host defense. Antioxid. Redox Signal. 8, 1549–1561.

Leung, J.M., and Olivier, K.N. (2013). Nontuberculous mycobacteria: the changing epidemiology and treatment challenges in cystic fibrosis. Curr. Opin. Pulm. Med. 19, 662–669.

Ley, K., Laudanna, C., Cybulsky, M.I., and Nourshargh, S. (2007). Getting to the site of inflammation: the leukocyte adhesion cascade updated. Nat. Rev. Immunol. 7, 678–689.

Li, Y., Xiang, Q., Zhang, Q., Huang, Y., and Su, Z. (2012). Overview on the recent study of antimicrobial peptides: origins, functions, relative mechanisms and application. Peptides 37, 207–215.

Lippa, A.M., and Goulian, M. (2009). Feedback inhibition in the PhoQ/PhoP signaling system by a membrane peptide. PLoS Genet. 5, e1000788.

López, B., Aguilar, D., Orozco, H., Burger, M., Espitia, C., Ritacco, V., Barrera, L., Kremer, K., Hernandez-Pando, R., Huygen, K., et al. (2003). A marked difference in pathogenesis and immune response induced by different *Mycobacterium tuberculosis* genotypes. Clin. Exp. Immunol. 133, 30–37.

Lovewell, R.R., Collins, R.M., Acker, J.L., O'Toole, G.A., Wargo, M.J., and Berwin, B. (2011). Step-wise loss of bacterial flagellar torsion confers progressive phagocytic evasion. PLoS Pathog. 7, e1002253.

Lovewell, R.R., Patankar, Y.R., and Berwin, B. (2014). Mechanisms of phagocytosis and host clearance of *Pseudomonas aeruginosa*. Am. J. Physiol. - Lung Cell. Mol. Physiol. 306, L591–L603.

Lowe, D.M., Redford, P.S., Wilkinson, R.J., O'Garra, A., and Martineau, A.R. (2012). Neutrophils in tuberculosis: friend or foe? Trends Immunol. 33, 14–25.

Lukacs, G.L., Rotstein, O.D., and Grinstein, S. (1990). Phagosomal acidification is mediated by a vacuolar-type H⁽⁺⁾-ATPase in murine macrophages. J. Biol. Chem. 265, 21099–21107.

Lukacs, G.L., Rotstein, O.D., and Grinstein, S. (1991). Determinants of the phagosomal pH in macrophages. In situ assessment of vacuolar H⁽⁺⁾-ATPase activity, counterion conductance, and H⁺ "leak." J. Biol. Chem. 266, 24540–24548.

Luong, M.-L., Morrissey, O., and Husain, S. (2010). Assessment of infection risks prior to lung transplantation. Curr. Opin. Infect. Dis. 23, 578–583.

Luzar, M.A., Thomassen, M.J., and Montie, T.C. (1985). Flagella and motility alterations in *Pseudomonas* aeruginosa strains from patients with cystic fibrosis: relationship to patient clinical condition. Infect. Immun. *50*, 577–582.

Lyons, M.J., Yoshimura, T., and McMurray, D.N. (2004). Interleukin (IL)-8 (CXCL8) induces cytokine expression and superoxide formation by guinea pig neutrophils infected with Mycobacterium tuberculosis. Tuberc. Edinb. Scotl. 84, 283–292.

M

Maeda, T., García-Contreras, R., Pu, M., Sheng, L., Garcia, L.R., Tomás, M., and Wood, T.K. (2012). Quorum quenching quandary: resistance to antivirulence compounds. ISME J. 6, 493–501.

Maggini, S., Wintergerst, E.S., Beveridge, S., and Hornig, D.H. (2007). Selected vitamins and trace elements support immune function by strengthening epithelial barriers and cellular and humoral immune responses. Br. J. Nutr. 98 Suppl 1, \$29–\$35.

Maloney, K.E., and Valvano, M.A. (2006). The *mgtC* gene of *Burkholderia* cenocepacia is required for growth under magnesium limitation conditions and intracellular survival in macrophages. Infect. Immun. 74, 5477–5486.

Manca, C., Tsenova, L., Bergtold, A., Freeman, S., Tovey, M., Musser, J.M., Barry, C.E., Freedman, V.H., and Kaplan, G. (2001). Virulence of a *Mycobacterium tuberculosis* clinical isolate in mice is determined by failure to induce Th1 type immunity and is associated with induction of IFN-alpha/beta. Proc. Natl. Acad. Sci. U. S. A. 98, 5752–5757.

Mantovani, A., Cassatella, M.A., Costantini, C., and Jaillon, S. (2011). Neutrophils in the activation and regulation of innate and adaptive immunity. Nat. Rev. Immunol. 11, 519–531.

Martineau, A.R., Newton, S.M., Wilkinson, K.A., Kampmann, B., Hall, B.M., Nawroly, N., Packe, G.E., Davidson, R.N., Griffiths, C.J., and Wilkinson, R.J. (2007). Neutrophil-mediated innate immune resistance to mycobacteria. J. Clin. Invest. 117, 1988–1994.

Martin-Orozco, N., Touret, N., Zaharik, M.L., Park, E., Kopelman, R., Miller, S., Finlay, B.B., Gros, P., and Grinstein, S. (2006). Visualization of vacuolar acidification-induced transcription of genes of pathogens inside macrophages. Mol. Biol. Cell 17, 498–510.

Matteelli, A., Carvalho, A.C., Dooley, K.E., and Kritski, A. (2010). TMC207: the first compound of a new class of potent anti-tuberculosis drugs. Future Microbiol. 5, 849–858.

Mattila, J.T., and Thomas, A.C. (2014). Nitric oxide synthase: non-canonical expression patterns. Front. Immunol. 5.

McPhee, J.B., Bains, M., Winsor, G., Lewenza, S., Kwasnicka, A., Brazas, M.D., Brinkman, F.S.L., and Hancock, R.E.W. (2006). Contribution of the PhoP-PhoQ and PmrA-PmrB two-component regulatory systems to Mg²⁺-induced gene regulation in *Pseudomonas aeruginosa*. J. Bacteriol. 188, 3995–4006.

Meijer, A.H., van der Vaart, M., and Spaink, H.P. (2014). Real-time imaging and genetic dissection of host-microbe interactions in zebrafish. Cell. Microbiol. 16, 39–49.

Miller, S.I., Kukral, A.M., and Mekalanos, J.J. (1989). A two-component regulatory system (phoP phoQ) controls *Salmonella* typhimurium virulence. Proc. Natl. Acad. Sci. U. S. A. 86, 5054–5058.

Mishra, M., Byrd, M.S., Sergeant, S., Azad, A.K., Parsek, M.R., McPhail, L., Schlesinger, L.S., and Wozniak, D.J. (2012). *Pseudomonas aeruginosa* Psl polysaccharide reduces neutrophil phagocytosis and the oxidative response by limiting complement-mediated opsonization. Cell. Microbiol. 14, 95–106.

Mócsai, A. (2013). Diverse novel functions of neutrophils in immunity, inflammation, and beyond. J. Exp. Med. 210, 1283–1299.

Moncrief, M.B.C., and Maguire, M.E. (1998). Magnesium and the role of *mgtC* in growth of *Salmonella* typhimurium. Infect. Immun. 66, 3802–3809.

Moraes, T.J., Martin, R., Plumb, J.D., Vachon, E., Cameron, C.M., Danesh, A., Kelvin, D.J., Ruf, W., and Downey, G.P. (2008). Role of PAR2 in murine pulmonary pseudomonal infection. Am. J. Physiol. Lung Cell. Mol. Physiol. 294, L368–L377.

Myrvik, Q.N., Leake, E.S., and Wright, M.J. (1984). Disruption of phagosomal membranes of normal alveolar macrophages by the H37Rv strain of *Mycobacterium tuberculosis*. A correlate of virulence. Am. Rev. Respir. Dis. 129, 322–328.

N

Nandi, B., and Behar, S.M. (2011). Regulation of neutrophils by interferon- γ limits lung inflammation during tuberculosis infection. J. Exp. Med. 208, 2251–2262.

Narasimhan, M., and Cohen, R. (2011). New and investigational treatments in cystic fibrosis. Ther. Adv. Respir. Dis. 5, 275–282.

Nathan, C. (2006). Neutrophils and immunity: challenges and opportunities. Nat. Rev. Immunol. 6, 173–182.

Nessar, R., Cambau, E., Reyrat, J.M., Murray, A., and Gicquel, B. (2012). Mycobacterium abscessus: a new antibiotic nightmare. J. Antimicrob. Chemother. 67, 810–818.

Nguyen, L., and Pieters, J. (2005). The Trojan horse: survival tactics of pathogenic mycobacteria in macrophages. Trends Cell Biol. 15, 269–276.

Nordenfelt, P., and Tapper, H. (2011). Phagosome dynamics during phagocytosis by neutrophils. J. Leukoc. Biol. 90, 271–284.

Nourshargh, S., Hordijk, P.L., and Sixt, M. (2010). Breaching multiple barriers: leukocyte motility through venular walls and the interstitium. Nat. Rev. Mol. Cell Biol. 11, 366–378.

Nunes, P., Demaurex, N., and Dinauer, M.C. (2013). Regulation of the NADPH oxidase and associated ion fluxes during phagocytosis. Traffic 14, 1118–1131.

O

Okuno, T., Yamanaka, K., and Ogura, T. (2006). An AAA protease FtsH can initiate proteolysis from internal sites of a model substrate, apo-flavodoxin. Genes Cells Devoted Mol. Cell. Mech. 11, 261–268.

Oliver, A.M., and Weir, D.M. (1985). The effect of *Pseudomonas* alginate on rat alveolar macrophage phagocytosis and bacterial opsonization. Clin. Exp. Immunol. *59*, 190–196.

P

Palmer, K.L., Mashburn, L.M., Singh, P.K., and Whiteley, M. (2005). Cystic fibrosis sputum supports growth and cues key aspects of *Pseudomonas aeruginosa*. Physiology. J. Bacteriol. 187, 5267–5277.

Parish, T., Smith, D.A., Kendall, S., Casali, N., Bancroft, G.J., and Stoker, N.G. (2003). Deletion of two-component regulatory systems increases the virulence of *Mycobacterium tuberculosis*. Infect. Immun. 71, 1134–1140.

Peyron, P., Vaubourgeix, J., Poquet, Y., Levillain, F., Botanch, C., Bardou, F., Daffé, M., Emile, J.-F., Marchou, B., Cardona, P.-J., et al. (2008). Foamy macrophages from tuberculous patients' granulomas constitute a nutrient-rich reservoir for M. tuberculosis persistence. PLoS Pathog. 4, e1000204.

Pieters, J. (2008). Mycobacterium tuberculosis and the macrophage: maintaining a balance. Cell Host Microbe 3, 399–407.

Pitt, A., Mayorga, L.S., Stahl, P.D., and Schwartz, A.L. (1992). Alterations in the protein composition of maturing phagosomes. J. Clin. Invest. 90, 1978–1983.

Pozos, T.C., and Ramakrishnan, L. (2004). New models for the study of *Mycobacterium*-host interactions. Curr. Opin. Immunol. 16, 499–505.

Prost, L.R., Daley, M.E., Le Sage, V., Bader, M.W., Le Moual, H., Klevit, R.E., and Miller, S.I. (2007). Activation of the bacterial sensor kinase PhoQ by acidic pH. Mol. Cell 26, 165–174.

R

Rakoff-Nahoum, S., Paglino, J., Eslami-Varzaneh, F., Edberg, S., and Medzhitov, R. (2004). Recognition of commensal microflora by toll-like receptors is required for intestinal homeostasis. Cell 118, 229–241.

Ramakrishnan, L. (2012). Revisiting the role of the granuloma in tuberculosis. Nat. Rev. Immunol. 12, 352–366.

Rang, C., Alix, E., Felix, C., Heitz, A., Tasse, L., and Blanc-Potard, A.-B. (2007). Dual role of the MgtC virulence factor in host and non-host environments. Mol. Microbiol. 63, 605–622.

Rasko, D.A., and Sperandio, V. (2010). Anti-virulence strategies to combat bacteria-mediated disease. Nat. Rev. Drug Discov. 9, 117–128.

Rasko, D.A., Moreira, C.G., Li, D.R., Reading, N.C., Ritchie, J.M., Waldor, M.K., Williams, N., Taussig, R., Wei, S., Roth, M., et al. (2008). Targeting QseC signaling and virulence for antibiotic development. Science 321, 1078–1080.

Ratjen, F.A. (2009). Cystic fibrosis: pathogenesis and future treatment strategies. Respir. Care 54, 595-

Ratjen, F., Munck, A., Kho, P., and Angyalosi, G. (2010). Treatment of early *Pseudomonas aeruginosa* infection in patients with cystic fibrosis: the ELITE trial. Thorax 65, 286–291.

Rau, M.H., Hansen, S.K., Johansen, H.K., Thomsen, L.E., Workman, C.T., Nielsen, K.F., Jelsbak, L., Høiby, N., Yang, L., and Molin, S. (2010). Early adaptive developments of *Pseudomonas aeruginosa* after the transition from life in the environment to persistent colonization in the airways of human cystic fibrosis hosts. Environ. Microbiol. 12, 1643–1658.

Reiner, N.E. (1994). Altered cell signaling and mononuclear phagocyte deactivation during intracellular infection. Immunol. Today 15, 374–381.

Ren, H., Dover, L.G., Islam, S.T., Alexander, D.C., Chen, J.M., Besra, G.S., and Liu, J. (2007). Identification of the lipooligosaccharide biosynthetic gene cluster from *Mycobacterium marinum*. Mol. Microbiol. 63, 1345–1359.

Renshaw, S.A., Loynes, C.A., Trushell, D.M.I., Elworthy, S., Ingham, P.W., and Whyte, M.K.B. (2006). A transgenic zebrafish model of neutrophilic inflammation. Blood 108, 3976–3978.

Retamal, P., Castillo-Ruiz, M., and Mora, G.C. (2009). Characterization of MgtC, a virulence factor of Salmonella enterica serovar Typhi. PLoS ONE 4, e5551.

Rhodes, J., Hagen, A., Hsu, K., Deng, M., Liu, T.X., Look, A.T., and Kanki, J.P. (2005). Interplay of pu.1 and gata1 determines myelo-erythroid progenitor cell fate in zebrafish. Dev. Cell 8, 97–108.

Ripoll, F., Pasek, S., Schenowitz, C., Dossat, C., Barbe, V., Rottman, M., Macheras, E., Heym, B., Herrmann, J.-L., Daffé, M., et al. (2009). Non mycobacterial virulence genes in the genome of the emerging pathogen Mycobacterium abscessus. PLoS ONE 4.

Roberts, T., Beyers, N., Aguirre, A., and Walzl, G. (2007). Immunosuppression during active tuberculosis is characterized by decreased interferon-γ production and CD25 expression with elevated forkhead box P3, transforming growth factor-β, and interleukin-4 mRNA levels. J. Infect. Dis. 195, 870–878.

Roth, M.G. (2004). Phosphoinositides in constitutive membrane traffic. Physiol. Rev. 84, 699–730.

Rousseau, C., Neyrolles, O., Bordat, Y., Giroux, S., Sirakova, T.D., Prevost, M.-C., Kolattukudy, P.E., Gicquel, B., and Jackson, M. (2003). Deficiency in mycolipenate- and mycosanoate-derived acyltrehaloses enhances early interactions of *Mycobacterium tuberculosis* with host cells. Cell. Microbiol. 5, 405–415.

Roux, A.-L., Catherinot, E., Ripoll, F., Soismier, N., Macheras, E., Ravilly, S., Bellis, G., Vibet, M.-A., Roux, E.L., Lemonnier, L., et al. (2009). Multicenter study of prevalence of nontuberculous mycobacteria in patients with cystic fibrosis in France. J. Clin. Microbiol. 47, 4124–4128.

Rubin, E.J. (2009). The granuloma in tuberculosis — friend or foe? N. Engl. J. Med. 360, 2471-2473.

Russell, D.G. (2011). The galvanizing of Mycobacterium tuberculosis: an antimicrobial mechanism. Cell Host Microbe 10, 181–183.

Russell, D.G., Dant, J., and Sturgill-Koszycki, S. (1996). Mycobacterium avium- and Mycobacterium tuberculosis-containing vacuoles are dynamic, fusion-competent vesicles that are accessible to glycosphingolipids from the host cell plasmalemma. J. Immunol. 156, 4764–4773.

Ryan, G., Singh, M., and Dwan, K. (2011). Inhaled antibiotics for long-term therapy in cystic fibrosis. Cochrane Database Syst. Rev. CD001021.

Ryan, L., Lamarre, B., Diu, T., Ravi, J., Judge, P.J., Temple, A., Carr, M., Cerasoli, E., Su, B., Jenkinson, H.F., et al. (2013). Anti-antimicrobial peptides. J. Biol. Chem. 288, 20162–20172.

Ryder, C., Byrd, M., and Wozniak, D.J. (2007). Role of polysaccharides in *Pseudomonas aeruginosa* biofilm development. Curr. Opin. Microbiol. 10, 644–648.

S

Sana, T.G., Hachani, A., Bucior, I., Soscia, C., Garvis, S., Termine, E., Engel, J., Filloux, A., and Bleves, S. (2012). The second type VI secretion system of *Pseudomonas aeruginosa* strain PAO1 is regulated by quorum sensing and fur and modulates internalization in epithelial cells. J. Biol. Chem. 287, 27095–27105.

van der Sar, A.M., Abdallah, A.M., Sparrius, M., Reinders, E., Vandenbroucke-Grauls, C.M.J.E., and Bitter, W. (2004). *Mycobacterium marinum* strains can be divided into two distinct types based on genetic diversity and virulence. Infect. Immun. 72, 6306–6312.

Sawicki, G.S., Signorovitch, J.E., Zhang, J., Latremouille-Viau, D., von Wartburg, M., Wu, E.Q., and Shi, L. (2012). Reduced mortality in cystic fibrosis patients treated with tobramycin inhalation solution. Pediatr. Pulmonol. 47, 44–52.

Scandurra, G.M., Britton, W.J., and Triccas, J.A. (2008). Inactivation of the Mycobacterium tuberculosis fadB4 gene results in increased virulence in host cell and mice. Microbes Infect. 10, 38–44.

Schapiro, J.M., Libby, S.J., and Fang, F.C. (2003). Inhibition of bacterial DNA replication by zinc mobilization during nitrosative stress. Proc. Natl. Acad. Sci. U. S. A. 100, 8496–8501.

Schelstraete, P., Haerynck, F., Van daele Sabine, Deseyne, S., and De Baets, F. (2013). Eradication therapy for *Pseudomonas aeruginosa* colonization episodes in cystic fibrosis patients not chronically colonized by *P. aeruginosa*. J. Cyst. Fibros. 12, 1–8.

Schlesinger, L.S., and Horwitz, M.A. (1991). Phenolic glycolipid-1 of *Mycobacterium leprae* binds complement component C3 in serum and mediates phagocytosis by human monocytes. J. Exp. Med. 174, 1031–1038.

Schneider, D., Finger, C., Prodöhl, A., and Volkmer, T. (2007). From interactions of single transmembrane helices to folding of alpha-helical membrane proteins: analyzing transmembrane helix-helix interactions in bacteria. Curr. Protein Pept. Sci. 8, 45–61.

Schobert, M., and Jahn, D. (2010). Anaerobic physiology of *Pseudomonas aeruginosa* in the cystic fibrosis lung. Int. J. Med. Microbiol. 300, 549–556.

Seddon, P., Fidler, K., Raman, S., Wyatt, H., Ruiz, G., Elston, C., Perrin, F., Gyi, K., Bilton, D., Drobniewski, F., et al. (2013). Prevalence of nontuberculous mycobacteria in cystic fibrosis clinics, United Kingdom, 2009. Emerg. Infect. Dis. 19, 1128–1130.

Shafeeq, S., Yesilkaya, H., Kloosterman, T.G., Narayanan, G., Wandel, M., Andrew, P.W., Kuipers, O.P., and Morrissey, J.A. (2011). The cop operon is required for copper homeostasis and contributes to virulence in *Streptococcus pneumoniae*. Mol. Microbiol. 81, 1255–1270.

Shigenaga, T., Dannenberg, A.M., Lowrie, D.B., Said, W., Urist, M.J., Abbey, H., Schofield, B.H., Mounts, P., and Sugisaki, K. (2001). Immune responses in tuberculosis: antibodies and CD4-CD8 lymphocytes with vascular adhesion molecules and cytokines (chemokines) cause a rapid antigen-specific cell infiltration at sites of bacillus Calmette-Guérin reinfection. Immunology 102, 466–479.

Silby, M.W., Winstanley, C., Godfrey, S.A.C., Levy, S.B., and Jackson, R.W. (2011). *Pseudomonas* genomes: diverse and adaptable, FEMS Microbiol. Rev. 35, 652–680.

Simeone, R., Bobard, A., Lippmann, J., Bitter, W., Majlessi, L., Brosch, R., and Enninga, J. (2012). Phagosomal rupture by *Mycobacterium tuberculosis* results in toxicity and host cell death. PLoS Pathog 8, e1002507.

Simeone, R., Sayes, F., Song, O., Gröschel, M.I., Brodin, P., Brosch, R., and Majlessi, L. (2015). Cytosolic access of *Mycobacterium tuberculosis*: critical impact of phagosomal acidification control and demonstration of occurrence *in vivo*. PLoS Pathog 11, e1004650.

Singh, S., Roy, K.K., Khan, S.R., Kashyap, V.K., Sharma, A., Jaiswal, S., Sharma, S.K., Krishnan, M.Y., Chaturvedi, V., Lal, J., et al. (2015). Novel, potent, orally bioavailable and selective mycobacterial ATP synthase inhibitors that demonstrated activity against both replicating and non-replicating M. tuberculosis. Bioorg. Med. Chem. 23, 742–752.

Smith, I. (2003). Mycobacterium tuberculosis pathogenesis and molecular determinants of virulence. Clin. Microbiol. Rev. 16, 463–496.

Smith, L.M., and May, R.C. (2013). Mechanisms of microbial escape from phagocyte killing. Biochem. Soc. Trans. 41, 475–490.

Smith, R.L., and Maguire, M.E. (1998). Microbial magnesium transport: unusual transporters searching for identity. Mol. Microbiol. 28, 217–226.

Smith, J., Manoranjan, J., Pan, M., Bohsali, A., Xu, J., Liu, J., McDonald, K.L., Szyk, A., LaRonde-LeBlanc, N., and Gao, L.-Y. (2008). Evidence for pore formation in host cell membranes by ESX-1-secreted ESAT-6 and its role in *Mycobacterium marinum* escape from the vacuole. Infect. Immun. 76, 5478–5487.

Smith, M.A., Coinçon, M., Paschos, A., Jolicoeur, B., Lavallée, P., Sygusch, J., and Baron, C. (2012). Identification of the binding site of *Brucella* VirB8 interaction inhibitors. Chem. Biol. 19, 1041–1048.

Snavely, M.D., Florer, J.B., Miller, C.G., and Maguire, M.E. (1989). Magnesium transport in *Salmonella* typhimurium: expression of cloned genes for three distinct Mg²⁺ transport systems. J. Bacteriol. *171*, 4752–4760.

Snavely, M.D., Miller, C.G., and Maguire, M.E. (1991). The *mgtB* Mg²⁺ transport locus of *Salmonella* typhimurium encodes a P-type ATPase. J. Biol. Chem. 266, 815–823.

Soehnlein, O. (2009). Direct and alternative antimicrobial mechanisms of neutrophil-derived granule proteins. J. Mol. Med. Berl. Ger. 87, 1157–1164.

Solomons, N.W. (2007). Malnutrition and infection: an update. Br. J. Nutr. 98 Suppl 1, S5-S10.

Soncini, F.C., Véscovi, E.G., Solomon, F., and Groisman, E.A. (1996). Molecular basis of the magnesium deprivation response in *Salmonella* typhimurium: identification of PhoP-regulated genes. J. Bacteriol. 178, 5092–5099.

Sousa, A.M., and Pereira, M.O. (2014). *Pseudomonas aeruginosa* diversification during infection development in cystic fibrosis lungs—A Review. Pathogens 3, 680–703.

Spinelli, S.V., Pontel, L.B., Véscovi, E.G., and Soncini, F.C. (2008). Regulation of magnesium homeostasis in *Salmonella*: Mg²⁺ targets the mgtA transcript for degradation by RNase E. FEMS Microbiol. Lett. 280, 226–234.

Sriramulu, D.D., Lünsdorf, H., Lam, J.S., and Römling, U. (2005). Microcolony formation: a novel biofilm model of *Pseudomonas aeruginosa* for the cystic fibrosis lung. J. Med. Microbiol. *54*, 667–676.

Stamm, L.M., Morisaki, J.H., Gao, L.-Y., Jeng, R.L., McDonald, K.L., Roth, R., Takeshita, S., Heuser, J., Welch, M.D., and Brown, E.J. (2003). *Mycobacterium marinum* escapes from phagosomes and is propelled by actin-based motility. J. Exp. Med. 198, 1361–1368.

Steinberg, B.E., Huynh, K.K., and Grinstein, S. (2007). Phagosomal acidification: measurement, manipulation and functional consequences. Biochem. Soc. Trans. 35, 1083.

Steiner, H., Hultmark, D., Engström, A., Bennich, H., and Boman, H.G. (1981). Sequence and specificity of two antibacterial proteins involved in insect immunity. Nature 292, 246–248.

Steyn, A.J.C., Joseph, J., and Bloom, B.R. (2003). Interaction of the sensor module of Mycobacterium tuberculosis H37Rv KdpD with members of the Lpr family. Mol. Microbiol. 47, 1075–1089.

Stinear, T.P., Seemann, T., Harrison, P.F., Jenkin, G.A., Davies, J.K., Johnson, P.D.R., Abdellah, Z., Arrowsmith, C., Chillingworth, T., Churcher, C., et al. (2008). Insights from the complete genome sequence of Mycobacterium marinum on the evolution of Mycobacterium tuberculosis. Genome Res. 18, 729–741.

Stokes, R.W., Norris-Jones, R., Brooks, D.E., Beveridge, T.J., Doxsee, D., and Thorson, L.M. (2004). The glycan-rich outer layer of the cell wall of *Mycobacterium tuberculosis* acts as an antiphagocytic capsule limiting the association of the bacterium with macrophages. Infect. Immun. 72, 5676–5686.

Sturgill-Koszycki, S., Schlesinger, P.H., Chakraborty, P., Haddix, P.L., Collins, H.L., Fok, A.K., Allen, R.D., Gluck, S.L., Heuser, J., and Russell, D.G. (1994). Lack of acidification in *Mycobacterium* phagosomes produced by exclusion of the vesicular proton-ATPase. Science 263, 678–681.

Sturgill-Koszycki, S., Schaible, U.E., and Russell, D.G. (1996). *Mycobacterium*-containing phagosomes are accessible to early endosomes and reflect a transitional state in normal phagosome biogenesis. EMBO J. 15, 6960–6968.

Sugawara, I., Udagawa, T., and Yamada, H. (2004). Rat neutrophils prevent the development of tuberculosis. Infect. Immun. 72, 1804–1806.

T

Tabouret, G., Astarie-Dequeker, C., Demangel, C., Malaga, W., Constant, P., Ray, A., Honore, N., Bello, N.F., Perez, E., Daffe, M., et al. (2010). *Mycobacterium leprae* phenolglycolipid-1 expressed by engineered M. bovis BCG modulates early interaction with human phagocytes. PLoS Pathog. 6, e1001159.

Tailleux, L., Neyrolles, O., Honoré-Bouakline, S., Perret, E., Sanchez, F., Abastado, J.-P., Lagrange, P.H., Gluckman, J.C., Rosenzwajg, M., and Herrmann, J.-L. (2003). Constrained intracellular survival of *Mycobacterium tuberculosis* in human dendritic cells. J. Immunol. Baltim. Md 1950 170, 1939–1948.

Tan, T., Lee, W.L., Alexander, D.C., Grinstein, S., and Liu, J. (2006). The ESAT-6/CFP-10 secretion system of *Mycobacterium marinum* modulates phagosome maturation. Cell. Microbiol. 8, 1417–1429.

Teng, T., Liu, J., and Wei, H. (2015). Anti-mycobacterial peptides: from human to phage. Cell. Physiol. Biochem. 35, 452–466.

Tjelle, T.E., Lovdal, T., and Berg, T. (2000). Phagosome dynamics and function. BioEssays News Rev. Mol. Cell. Dev. Biol. 22, 255–263.

Tobin, D.M., and Ramakrishnan, L. (2008). Comparative pathogenesis of Mycobacterium marinum and Mycobacterium tuberculosis. Cell. Microbiol. 10, 1027–1039.

Tumer, A.K., Barber, L.Z., Wigley, P., Muhammad, S., Jones, M.A., Lovell, M.A., Hulme, S., and Barrow, P.A. (2003). Contribution of proton-translocating proteins to the virulence of *Salmonella enterica* serovars Typhimurium, Gallinarum, and Dublin in chickens and mice. Infect. Immun. 71, 3392–3401.

U

Unoson, C., and Wagner, E.G.H. (2008). A small SOS-induced toxin is targeted against the inner membrane in *Escherichia coli*. Mol. Microbiol. 70, 258–270.

V

Vergne, I., Fratti, R.A., Hill, P.J., Chua, J., Belisle, J., and Deretic, V. (2004). *Mycobacterium tuberculosis* phagosome maturation arrest: mycobacterial phosphatidylinositol analog phosphatidylinositol mannoside stimulates early endosomal fusion. Mol. Biol. Cell 15, 751–760.

Véscovi, E.G., Soncini, F.C., and Groisman, E.A. (1996). Mg²⁺ as an extracellular signal: environmental regulation of *Salmonella* virulence. Cell 84, 165–174.

Véscovi, E.G., Ayala, Y.M., Di Cera, E., and Groisman, E.A. (1997). Characterization of the bacterial sensor protein PhoQ. Evidence for distinct binding sites for Mg²⁺ and Ca²⁺. J. Biol. Chem. 272, 1440–1443.

Veyron-Churlet, R., Brust, B., Kremer, L., and Blanc-Potard, A.-B. (2011). Expression of OmpATb is dependent on small membrane proteins in *Mycobacterium bovis* BCG. Tuberculosis 91, 544–548.

Via, L.E., Deretic, D., Ulmer, R.J., Hibler, N.S., Huber, L.A., and Deretic, V. (1997). Arrest of mycobacterial phagosome maturation is caused by a block in vesicle fusion between stages controlled by rab5 and rab7. J. Biol. Chem. 272, 13326–13331.

Vieira, O., Botelho, R., and Grinstein, S. (2002). Phagosome maturation: aging gracefully. Biochem. J. 366 689–704.

Vilcheze, C., Molle, V., Carrere-Kremer, S., Leiba, J., Mourey, L., Shenai, S., Baronian, G., Tufariello, J., Hartman, T., Veyron-Churlet, R., et al. (2014). Phosphorylation of KasB regulates virulence and acid-fastness in Mycobacterium tuberculosis. PLoS Pathog. 10, e1004115.



Walters, R.F.S., and DeGrado, W.F. (2006). Helix-packing motifs in membrane proteins. Proc. Natl. Acad. Sci. U. S. A. 103, 13658–13663.

Walters, S.B., Dubnau, E., Kolesnikova, I., Laval, F., Daffe, M., and Smith, I. (2006). The Mycobacterium tuberculosis PhoPR two-component system regulates genes essential for virulence and complex lipid biosynthesis. Mol. Microbiol. 60, 312–330.

Wan, Y., Han, J., Fan, G., Zhang, Z., Gong, T., and Sun, X. (2013). Enzyme-responsive liposomes modified adenoviral vectors for enhanced tumor cell transduction and reduced immunogenicity. Biomaterials 34, 3020–3030.

Wassing, G.M., Bergman, P., Lindbom, L., and van der Does, A.M. (2014). Complexity of antimicrobial peptide regulation during pathogen–host interactions. Int. J. Antimicrob. Agents.

Waters, L.S., and Storz, G. (2009). Regulatory RNAs in bacteria. Cell 136, 615–628.

Watkins, R.R., and Lemonovich, T.L. (2012). Evaluation of infections in the lung transplant patient. Curr. Opin. Infect. Dis. 25, 193–198.

Welin, A., and Lerm, M. (2012). Inside or outside the phagosome? The controversy of the intracellular localization of Mycobacterium tuberculosis. Tuberculosis 92, 113–120.

van der Wel, N., Hava, D., Houben, D., Fluitsma, D., van Zon, M., Pierson, J., Brenner, M., and Peters, P.J. (2007). M. tuberculosis and M. leprae translocate from the phagolysosome to the cytosol in myeloid cells. Cell 129, 1287–1298.

White, S.H., Wimley, W.C., and Selsted, M.E. (1995). Structure, function, and membrane integration of defensins. Curr. Opin. Struct. Biol. 5, 521–527.

WHO (2006). OMS | Stratégie Halte à la tuberculose.

WHO (2014). WHO | Global tuberculosis report 2014.

Wirth, T., Hildebrand, F., Allix-Béguec, C., Wölbeling, F., Kubica, T., Kremer, K., van Soolingen, D., Rüsch-Gerdes, S., Locht, C., Brisse, S., et al. (2008). Origin, spread and demography of the Mycobacterium tuberculosis Complex. PLoS Pathog 4, e1000160.

Wong, D., Bach, H., Sun, J., Hmama, Z., and Av-Gay, Y. (2011). *Mycobacterium tuberculosis* protein tyrosine phosphatase (PtpA) excludes host vacuolar-H⁺-ATPase to inhibit phagosome acidification. Proc. Natl. Acad. Sci. U. S. A. 108, 19371–19376.



Xu, L., Shen, X., Bryan, A., Banga, S., Swanson, M.S., and Luo, Z.-Q. (2010). Inhibition of host vacuolar H⁺-ATPase activity by a *Legionella pneumophila* effector. PLoS Pathog 6, e1000822.



Yan, J., Wang, K., Dang, W., Chen, R., Xie, J., Zhang, B., Song, J., and Wang, R. (2013). Two hits are better than one: membrane-active and DNA binding-related double-action mechanism of NK-18, a novel antimicrobial peptide derived from mammalian NK-lysin. Antimicrob. Agents Chemother. 57, 220–228.

Yang, C.-T., Cambier, C.J., Davis, J.M., Hall, C.J., Crosier, P.S., and Ramakrishnan, L. (2012a). Neutrophils exert protection in the early tuberculous granuloma by oxidative killing of mycobacteria phagocytosed from infected macrophages. Cell Host Microbe 12, 301–312.

Yang, Y., Labesse, G., Carrère-Kremer, S., Esteves, K., Kremer, L., Cohen-Gonsaud, M., and Blanc-Potard, A.-B. (2012b). The C-terminal domain of the virulence factor MgtC is a divergent ACT domain. J. Bacteriol. 194, 6255–6263.

Yoshimori, T., Yamamoto, A., Moriyama, Y., Futai, M., and Tashiro, Y. (1991). Bafilomycin A1, a specific inhibitor of vacuolar-type H⁽⁺⁾-ATPase, inhibits acidification and protein degradation in lysosomes of cultured cells. J. Biol. Chem. 266, 17707–17712.

Z

Zasloff, M. (2002). Antimicrobial peptides of multicellular organisms. Nature 415, 389-395.

Zhang, X., Majlessi, L., Deriaud, E., Leclerc, C., and Lo-Man, R. (2009). Coactivation of Syk kinase and MyD88 adaptor protein pathways by bacteria promotes regulatory properties of neutrophils. Immunity 31, 761–771.

Zhou, D., Han, Y., Qiu, J., Qin, L., Guo, Z., Wang, X., Song, Y., Tan, Y., Du, Z., and Yang, R. (2006). Genome-wide transcriptional response of *Yersinia pestis* to stressful conditions simulating phagolysosomal environments. Microbes Infect. Inst. Pasteur 8, 2669–2678.

Zuber, P. (2001). A peptide profile of the Bacillus subtilis genome. Peptides 22, 1555-1577.

2

(2012). Anti-Infective Drugs Advisory Committee Meeting Report (The U.S. Food and Drug Administration).

(2013). The Use of Bedaquiline in the Treatment of Multidrug-Resistant Tuberculosis: Interim Policy Guidance (Geneva: World Health Organization).

(2014). Registre français de la mucoviscidose - Bilan des données 2012. (Paris: Vaincre la Mucoviscidose et Institut national d'études démographiques (Ined)).

ADRESSE DU LABORATOIRE

CNRS UMR5235 – Dynamique des Interactions Membranaires Normales et Pathologiques Université Montpellier 2 – Place Eugène Bataillon, 34095 Montpellier Cedex 5

RÉSUMÉ

Rôle du facteur de virulence MgtC chez les mycobactéries et *Pseudomonas aeruginosa* et son inhibition par un peptide naturel

La résistance aux antibiotiques est un problème majeur en santé publique qui mène à développer de nouvelles stratégies thérapeutiques, notamment en ciblant des facteurs de virulence bactériens. MgtC est un facteur de virulence impliqué dans la survie intra-macrophagique chez plusieurs pathogènes intracellulaires. La protéine MgtC est également présente chez le pathogène extracellulaire *Pseudomonas aeruginosa*. De plus, un peptide MgtR a été identifié comme étant un antagoniste naturel potentiel de MgtC.

Pour étudier le rôle de MgtC dans la virulence des mycobactéries, j'ai analysé un mutant mgtC de Mycobacterium marinum dans les modèles d'infection d'embryons de danio et de macrophages en culture. Cela a permis de mettre en évidence un nouveau rôle de MgtC au niveau de l'étape de phagocytose qui est augmentée avec le mutant mgtC. Chez P. aeruginosa, nous avons montré qu'un mutant mgtC est atténué dans l'embryon de danio et présente une sensibilité accrue à l'action bactéricide du macrophage. Par ailleurs, j'ai montré que les gènes mgtC de M. marinum et de P. aeruginosa sont régulés par le magnésium. De plus, l'expression de mgtC de P. aeruginosa est fortement induite dans les macrophages.

Enfin, concernant les propriétés antagonistes de MgtR, des souches de Mycobacterium bovis BCG ou de P. aeruginosa exprimants mgtR semblent se comporter de la même manière que les mutants mgtC, suggérant des propriétés anti-virulence prometteuses pour MgtR et confirmant le choix de MgtC en tant que cible dans le cadre d'une stratégie anti-virulence.

ABSTRACT

Role of MgtC virulence factor in mycobacteria and Pseudomonas aeruginosa and its inhibition with a natural peptide

Antibiotic resistance is a major problem in public health, which leads to develop new therapeutics strategies, including strategies targeting bacterial virulence factors. MgtC is a virulence factor involved in intramacrophage survival in several intracellular pathogens. MgtC protein is also present in extracellular pathogen *Pseudomonas aeruginosa*. Moreover, a peptide MgtR has been identified as a potential and natural antagonist of MgtC.

To study the role of MgtC in mycobacterial virulence, I have analysed a Mycobacterium marinum mgtC mutant in zebrafish embryo and macrophage infection models. This approach allowed us to uncover a new role of MgtC in phagocytosis, which is increased with mgtC mutant. In P. aeruginosa, we have shown that a mgtC mutant is attenuated in zebrafish embryos. In ex vivo experiments, mgtC mutant is more sensitive to macrophage killing. In parallel, I have shown that M. marinum and P. aeruginosa mgtC genes are regulated by magnesium. In addition, expression of P. aeruginosa mgtC is highly induced in macrophages.

Finally, regarding MgtR antagonistic properties, Mycobacterium bovis BCG or P. aeruginosa strains expressing mgtR appear to mimic the behaviour of mgtC mutants, suggesting promising anti-virulence properties for MgtR and supporting the choice of MgtC as a suitable target of an anti-virulence strategy.

MOTS-CLEFS

Mycobactéries – Pseudomonas aeruginosa – MgtC – MgtR – Danio rerio – phagocytose

SPÉCIALITÉ

Microbiologie

JURY

Mme Catherine ASTARIE-DEQUEKER
M. Jean-Louis HERRMANN
Mme Estelle JUMAS-BILAK
Mme Emma COLUCCI-GUYON
Mme Anne BLANC-POTARD

CNRS Toulouse Université de Versailles St Quentin Université de Montpellier Institut Pasteur Paris Université de Montpellier Rapporteur Rapporteur Examinateur Examinateur (Invitée) Directeur de thèse